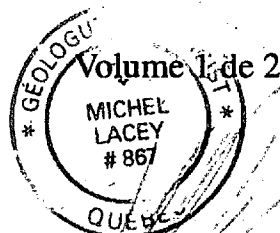




Rapport de travaux de terrain, été 2015
Propriété Extension 167, Région du Nord du Québec
Visible Gold Mines Inc.



GM 69443



Par

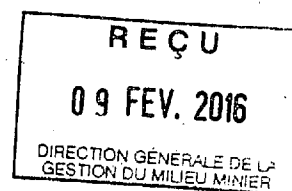
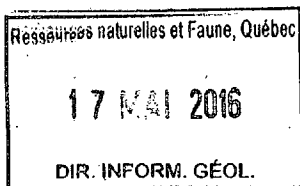
Michel Lacey, B.Sc.

OGQ 867

Services Technominex Inc.



13 novembre 2015



1530763

Sommaire

Services Technominex Inc. (Technominex) a été mandaté par M. Martin Dallaire de **Visible Gold Mines Inc. (V.G.)** afin d'effectuer un levé de prospection sur sa propriété Extension 167 située à quelques 300 km au nord de la ville de Chibougamau. Ce levé a eu lieu entre le 3 juin et le 21 juillet 2015.

Un tapis magnétique (« *Beep Mat* ») a été utilisé lors de cette campagne. Il a permis de localiser certains éléments conducteurs et / ou magnétique ainsi que de dégrossir la géologie du secteur et ce, sur une bonne partie des titres miniers de **V.G.** situés à l'intérieur d'un corridor de 2 km, le long de la route 167.

Un total de 422 échantillons a été récolté par le personnel de **Technominex**. Ceux-ci ont été analysés au laboratoire **Techni-Lab S.G.B. Abitibi Inc. (Techni-Lab)** situé à Ste-Germaine Boulé récemment acquis par **Activation Laboratories Ltd (Actlabs)** pour le contenu en or (absorption atomique) et 36 autres éléments en spectrométrie de masse (ICP).

De ces 37 éléments, le seuil anomalique a été calculé pour l'or (107 ppb), l'argent (2,68 ppm), le cobalt (165,8 ppm), le chrome (667 ppm), le cuivre (1 556,6 ppm), le nickel (379 ppm), le plomb (76,5 ppm) et le zinc (2 508,9 ppm) afin de déterminer les endroits prospectifs. Le Tableau 01 contient les 21 échantillons recueillis pendant la campagne de 2015 dépassant de plus de 2 fois le seuil anomalique (2 X (moyenne+2 écarts-types)). Deux autres échantillons (62249 et 62250) faisaient partis de ce groupe mais ceux-ci ont été récoltés un peu à l'extérieur de la propriété.

Tableau 01 : Échantillons de plus de 2 fois le seuil anomalique

Échantillon	Secteur	Au (ppb)	Ag (ppm)	Co (ppm)	Cr (ppm)	Cu (ppm)	Ni (ppm)	Pb (ppm)	Zn (ppm)
61771	Nord	<8	2,4	5	310	5 550	97	3	855
61778	Nord	<8	0,8	22	230	49	83	275	140
61825	Sud	38	0,7	133	203	4 080	207	7	33
61826	Sud	45	0,8	253	322	4 500	309	8	26
61827	Sud	112	1,3	174	194	3 770	314	10	15
61840	Sud	9	0,5	337	505	509	275	20	324
61863	Sud	35	120	292	172	968	295	22	7 690
61867	Sud	75	1,5	113	189	551	340	96	5 740
61888	Sud	25	1,9	384	213	2 620	999	17	1 040
61910	Sud	28	2,2	135	160	1 010	272	416	3 350
61949	Sud	<8	1,0	46	260	187	137	21	17 300
61958	Nord	98	3,1	88	119	6 150	215	11	1 250
61963	Nord	22	1,0	571	124	172	159	14	192
62016	Nord	528	0,7	199	211	685	104	27	883
62017	Nord	663	0,4	216	145	188	94	32	632
62033	Nord	<8	0,7	41	98	159	164	11	6 510
62039	Nord	15	2,8	11	414	3 180	21	<3	91
62158	Centre	<8	1,4	17	442	371	45	187	1 010
62178	Nord	<8	19,2	62	167	1 250	265	109	122
62212	Centre	<8	<0,3	74	2 100	47	805	<3	81
62245	Centre	<8	<0,3	50	1 650	4	663	<3	64

Table des matières

Sommaire	i
Listes des figures.....	iv
Liste des tableaux.....	iv
Liste des annexes	iv
Introduction.....	1
Propriété : localisation et accès.....	1
Géologie régionale	4
Géologie locale	4
Géologie économique	9
Gîtes internes.....	9
Gîtes externes	9
Projet Matoush.....	9
Mine Eastmain.....	10
Mine Renard	10
Historique de la propriété.....	11
Travaux effectués en 2015	24
Discussion	25
Partie <i>sud</i>	26
Partie centrale.....	27
Partie <i>nord</i>	27
Recommandations.....	32
Portion <i>sud</i>	32
Portion <i>nord</i>	33
Bibliographie.....	34
Certificat de qualification.....	39

Listes des figures

Figure 01 : Localisation générale.....	2
Figure 02 : Localisation de la propriété 167	3
Figure 03 : Géologie régionale.....	7
Figure 04 : Géologie de la propriété	8

Liste des tableaux

Tableau 01 : Échantillons de plus de 2 fois le seuil anormalique.....	ii
Tableau 02 : Résultats des forages antérieurs	12
Tableau 03 : Tableau des échantillons dépassant de 2 fois les seuils anormaux, campagne 2015	29

Liste des annexes

Annexe I : Liste des titres miniers

Annexe II : Carte des titres miniers

Annexe III : Compilation des forages

Annexe IV : Trois cartes (sud, centre et nord) de localisation des échantillons

Annexe V : Notes de terrain

Annexe VI : Certificats d'analyse

Introduction

M. Martin Dallaire, président de **Visible Gold Mines Inc. (V.G.)** a mandaté **Services Technominex Inc. (Technominex)** afin d'effectuer une campagne de prospection au marteau et au tapis magnétique sur sa propriété Extension 167 localisée au *nord* de Chibougamau (Qc) faisant suite à la découverte de blocs à fortes teneurs aurifères (communiqués de presse (<http://www.visiblegoldmines.com/press-release/y-2014.html>) du 24 septembre 2014, du 04 novembre 2014 et du 11 novembre 2014). Suite à l'examen des sites de blocs minéralisés, il a été conclu par l'auteur que leur origine impliquait un transport autre que naturel et convenu avec le client que l'énergie devait être mise sur la propriété proprement dite et à une distance minimum des accès routiers sauf dans le cas d'affleurements rocheux.

Propriété : localisation et accès

La propriété Extension 167 de **V.G.** est localisée à quelque 300 km au *nord* de la ville de Chibougamau dans le secteur de la rivière Eastmain, Région du Nord du Québec (S.N.R.C. : 33A01, 33A08 et 23D05) (Figure 01). On y accède via la route gravellée nouvellement construite dans le cadre du Plan Nord du gouvernement québécois qui relie le village d'Albanel jusqu'à la mine Renard de **Stornoway Diamond Corporation** (Figure 02).

La limite australes de la propriété est localisée aux environs de la borne km 513 et s'étend de façon presque continue jusqu'aux environs de la borne km ±636. Elle est constituée de 1 257 titres miniers totalisant 66 493,78 ha. Ces titres miniers, enregistrés au nom de **Visible Gold Mines Inc.** avec la participation ou non de **Telos Géoservices** ou **Otish Energy**, étaient en bonne et due forme au moment de la rédaction de ce rapport. La liste complète des titres est fournie à l'Annexe I et la carte des titres miniers en fournie à l'Annexe II respectivement.

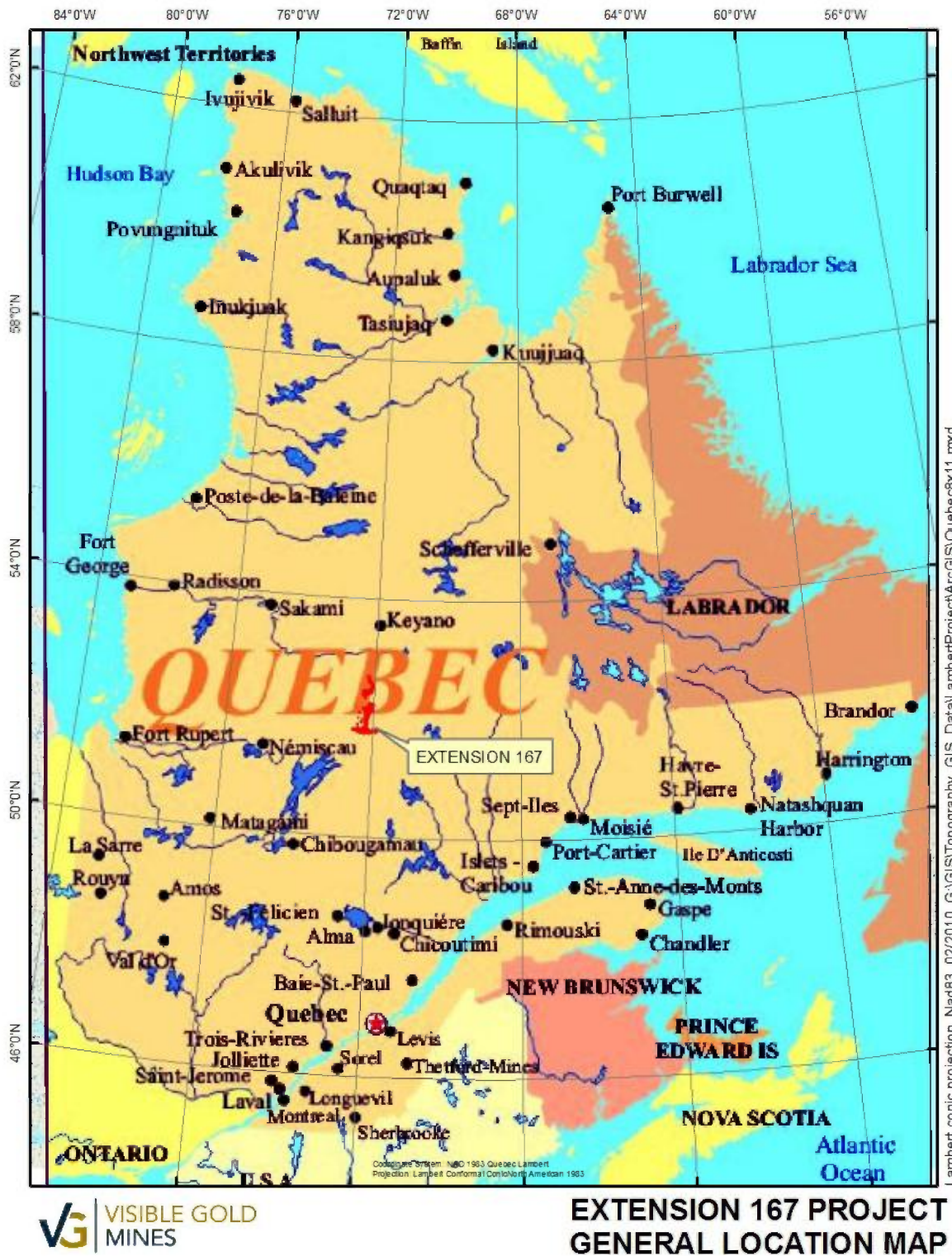


Figure 01 : Localisation générale

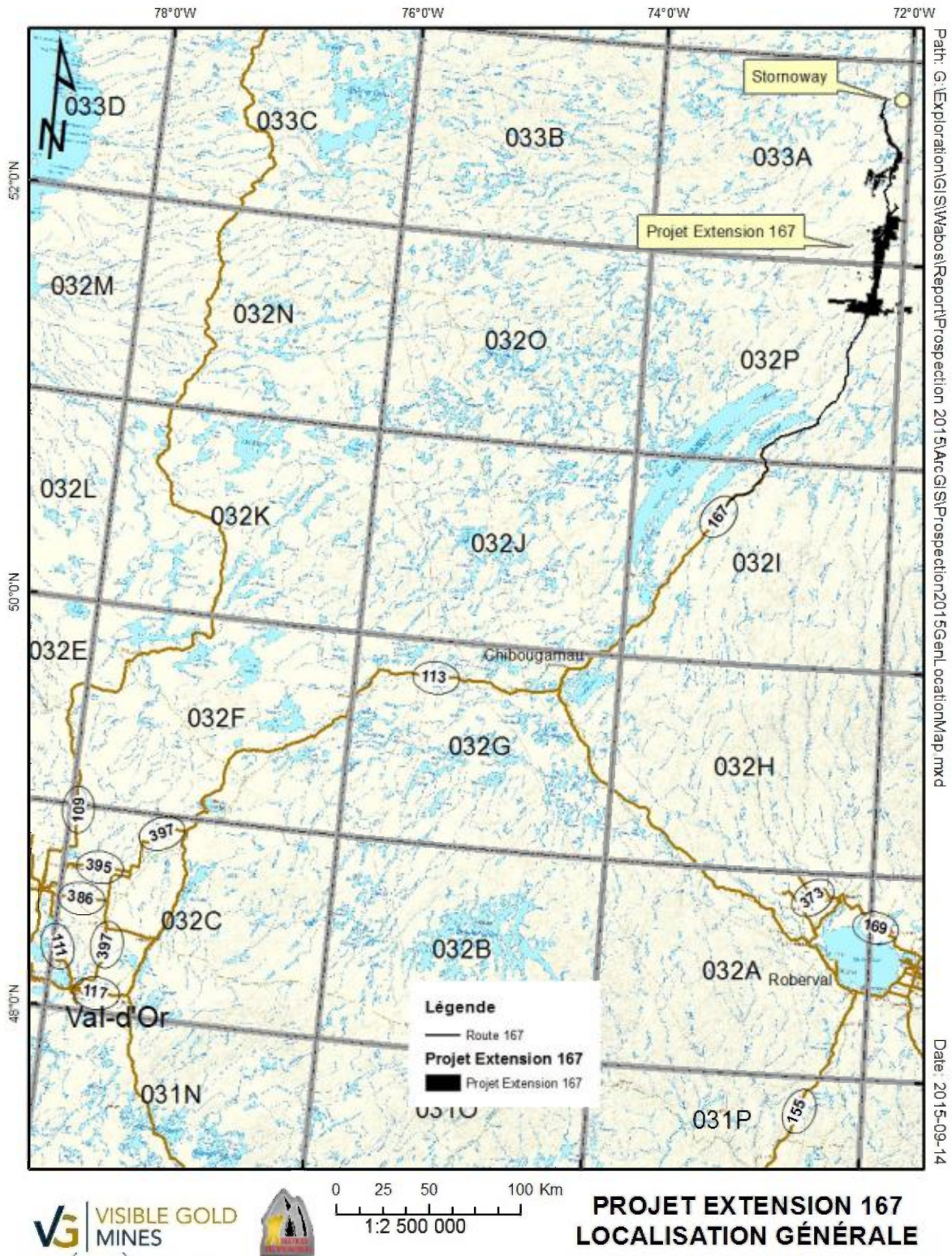


Figure 02 : Localisation de la propriété 167

Géologie régionale

La majorité des roches de la propriété Projet 167 de **V.G.** fait partie de la Province du Supérieur, d'âge archéen. On y retrouve à la base des unités métamorphiques telles des gneiss, des amphibolites, des migmatites et des granitoïdes sur lesquelles reposent des roches vertes (Hocq, 1983). Ces roches vertes, principalement constituées de roches mafiques et ultramafiques et de quelques niveaux felsiques, pourraient être en discordance angulaire sur la série de roches métamorphiques. Le grain tectonique est d'orientation général *est - ouest* à *nord-est - sud-ouest* et leur pendage est fort vers le *nord* ou vers le *nord-ouest*. Ces roches vertes sont recoupées par de grands complexes intrusifs de composition dominante felsique à intermédiaire. L'ensemble archéen est affecté par des grands plis régionaux d'attitude ENE - OSO puis est recouvert par les sédiments terrigènes (conglomérats et grès) protérozoïques appartenant au Groupe d'Otish qui lui-aussi, serait en discordance angulaire. Toutes ces roches, qui appartiennent à la Sous-Province d'Opatoca, sont recoupées par des intrusions de diabase, de direction NNO-SSE (Figure 03).

D'épaisses formations quaternaires recouvrent le socle, principalement des tills et des moraines.

Géologie locale

Le socle rocheux présent dans la région fait partie de la Sous-province d'Opatoca (Province du Supérieur). À la base, on retrouve des gneiss des leucocrates à mésocrates riches en biotite-muscovite et biotite hornblende surmontés d'ultramafites (métapéridotites et métapyroxénites etc.), amphibolites foliées et de gneiss leucocrates appartenant au Complexe d'Épervanche. Les roches de la portion centrale des titres de **V.G.** appartiennent à cet assemble métamorphique et qui forment les Monts Otish.

Sur ce socle archéen reposent des roches vertes subdivisées en deux segments distincts soit : le Groupe de Tichégami dans la partie *sud* des titres de **V.G.** près du Lac Hippocampe et la Bande Volcanosédimentaires de la Rivière Eastmain Supérieure (BVRES) dans la partie *nord* des titres de

V.G. Ces bandes de roches vertes pourraient avoir été préservées soit parce qu'elles se sont mises en place dans des dépressions topographiques ou qu'elles constituent des dépressions tectoniques (synformes ou clips).

La BVRES est subdivisée en deux groupes également d'âge archéen soit, le Groupe de René et celui de Bohier. Le premier, au *sud*, est constitué de roches effusives et intrusives de composition ultramafique à felsique tandis que le deuxième, au *nord*, est constitué de roches à dominance sédimentaire de toutes granulométries et environnements de déposition, que ce soit des conglomérats, des wackes et des argilites. La relation temporelle entre ces deux groupes est inconnue puisque le contact entre eux est tectonique (Couture, 1993). La BVRES occupe la partie centrale du Synclinorium de Lac Lavallet dont le plan axial est d'attitude *est-nord-est – ouest-sud-ouest* et largement ouvert vers l'*est* (Hocq, 1983). Dans sa portion *sud*, les unités de la BVRES ont une attitude *nord-ouest – sud-est* et un pendage moyen vers le NE. Dans sa portion *nord*, les unités sont d'attitude *nord-est – sud-ouest* à *est-nord-est – ouest-sud-ouest* et le pendage y est moyen vers le SE (Couture, 1993). Les polarités ont surtout été déterminées à partir des unités coussinées. Le degré de métamorphisme des roches du BRVES est au faciès d'amphibolite moyen.

Toutes ces unités sont recoupées par deux principales masses intrusives de composition felsiques à intermédiaires. Le Massif du Lac Cadieux, de composition granodioritique, est localisé principalement sur le flanc nord du Synclinorium du Lac Lavallette. Le Pluton d'Érasme, quant à lui, est de composition granodioritique et occupe la portion centrale du Synclinorium du Lac Lavallette. Il serait génétiquement lié à la granodiorite de l'Île Bohier (Roy, 1988).

Dans la portion *sud* des titres de **V.G.**, des volcanites mafiques archéennes appartenant au Groupe de Tichégami sont présentes le long d'un synclinal d'attitude général *est - ouest* et dont le plan axial est sub-vertical. On y retrouve des basaltes, des amphibolites metabasaltiques, des gabbros, des amphibolites métagabbroïques, des formations de fer ainsi que des sédiments. Les formations de fer sont à dominance silicatée mais peuvent contenir de minces couches de magnétite massive. Cette séquence de roches vertes pourrait se corrélérer avec celles des groupes de Tocqueco et Sam Gunnar décrites respectivement dans les années 1950 et 1960 (Chown, 1971).

Les roches vertes du Groupe de Tichégami sont surmontées par les sédiments terrigènes protérozoïques du Groupe d’Otish, auparavant connu sous les noms de Groupe des Otish ou Groupe de Mistassini (Chown, 1971). Ces arkoses, conglomérats, grès et schistes argileux sont en discordance angulaire sur les roches sous-jacentes vertes archéennes et leur attitude peut varier beaucoup puisque leur pendage est très faible. Certains forages historiques ont traversé cette séquence sédimentaire et ont atteint les volcanites mafiques archéennes sus-jacentes. Le métamorphisme a très peu affecté les roches du Group d’Otish.

Toutes ces unités sont recoupées par de grands corps élancés de diabases de direction NNO-SSE (Figure 04).

La couverture glaciaire, quaternaire, y est impressionnante de par ces nombreux blocs centimétriques à pluri-métriques qui recouvrent une bonne partie de la région. De nombreuses moraines, des tills, des drumlins et des dépôts fluvio-glaciaires et des plaines d’épandage modulent la topographie. Aucune argile lacustre de type Barlow-Ojibway n’est présent dans le secteur. Finalement, le couvert végétal se compose de mousse, d’épinettes noires et de sapins lorsque celui n’a pas été affecté par les feux de forêt.

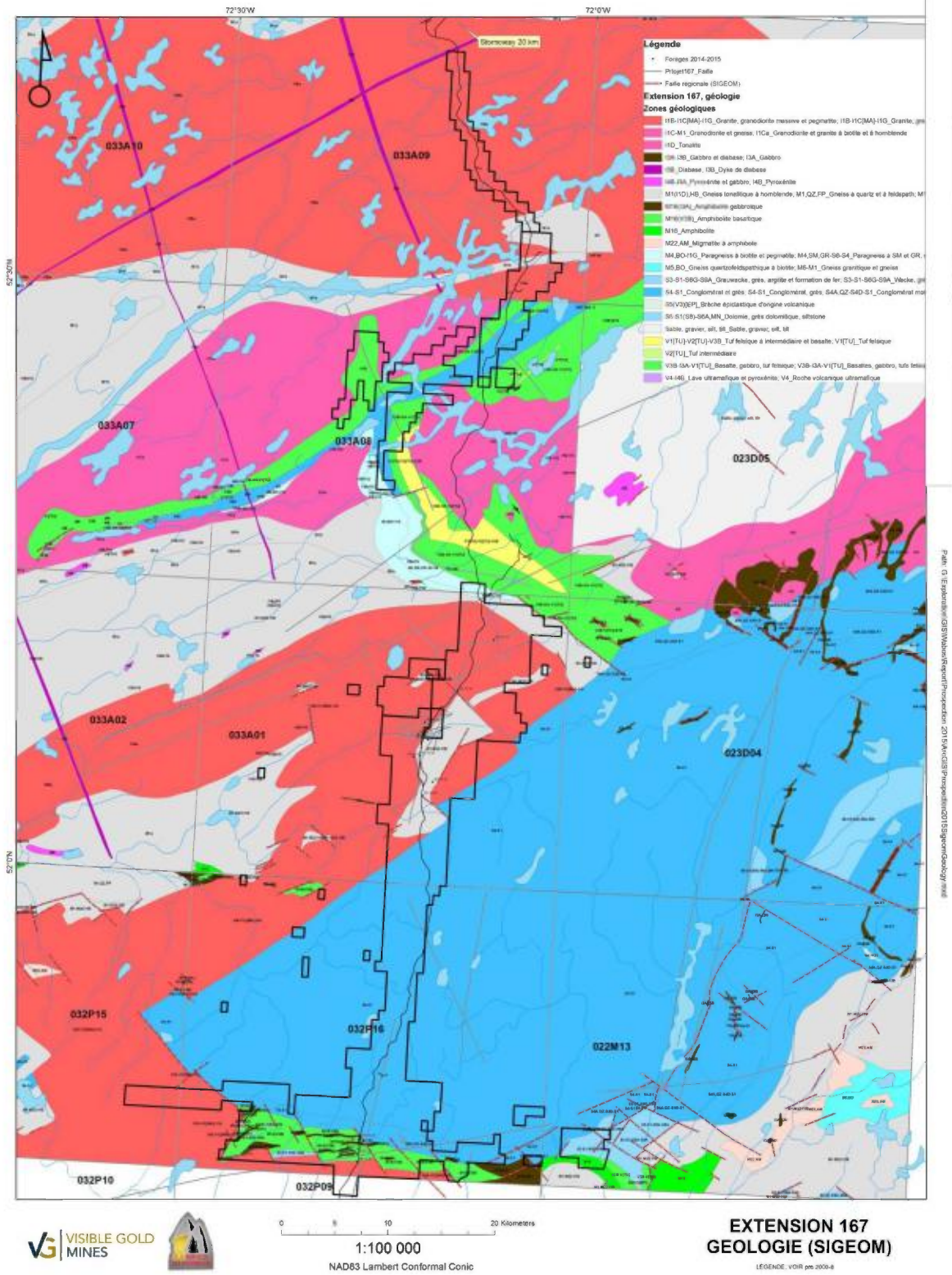


Figure 03 : Géologie régionale

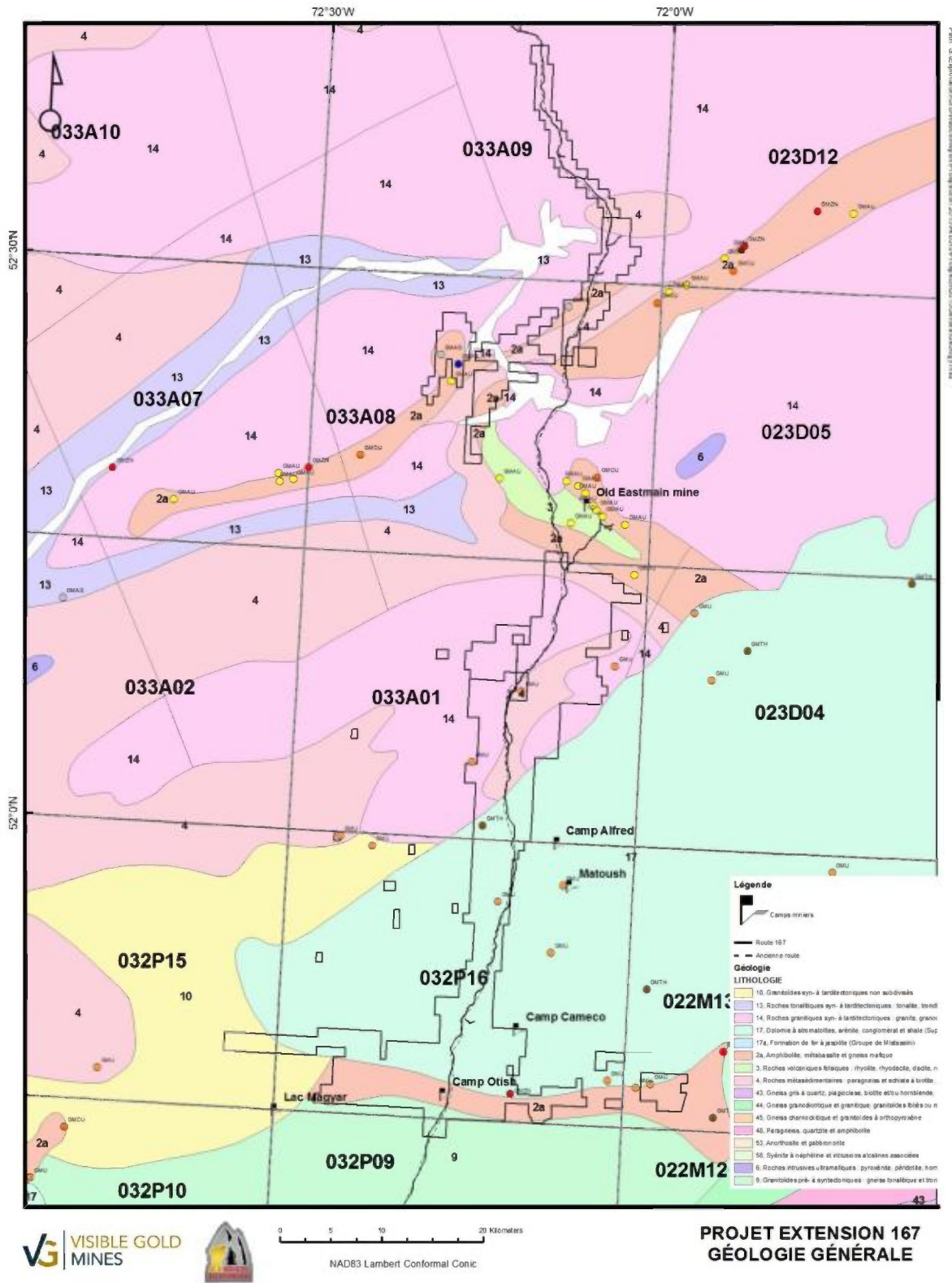


Figure 04 : Géologie de la propriété

Géologie économique

Le secteur de la propriété Extension 167 de **V.G.** a surtout été exploré pour l'uranium.

Gîtes internes

Aucun gîte ou gisement n'est présent sur la propriété Extension 167 de **V.G.** Cependant, quelques indices en métaux de base ont été rencontrés lors de campagnes exploratoires précédentes.

Gîtes externes

Projet Matoush

Plus régionalement, le projet Matoush appartenant à **Strateco Inc.** est localisé à quelque 5,6 km à l'est du projet Extension 167 à vol d'oiseau, aux environs des coordonnées 699 400E, 5 760 900N (UTMNad83, Z18). On y accède par une route gravelée d'environ 10 km dont la jonction est aux environs de la borne 532. Il s'agit d'un gîte d'uranium contenant des ressources indiquées de 586 000 tonnes à 0,95 % U_3O_8 et des ressources inférées de 1,69 millions de tonnes à 0,44 % U_3O_8 (<http://www.stratecoinc.com/fr/le-projet-matoush/ressources-minerales.php>). Ces ressources datant de janvier 2012 sont conformes à la norme 43-101. La minéralisation dominante, l'uraninite, serait sous forme de veines semi-massives et concordantes associées à des niveaux de grès conglomératiques appartenant au Groupe d'Otish. Ceux-ci, d'attitude subhorizontale, reposeraient en discordance angulaire sur le socle archéen. Les veines peuvent aussi contenir des minéraux de gangue tels le quartz, l'amphibole, l'hématite et la tourmaline. Le bureau des audiences publiques sur l'environnement (BAPE) a conclu à l'été 2015 qu'il y avait trop d'incertitudes autour des projets uranifères et qu'il ne recommandait le développement d'aucun projet de ce type sur son territoire.

Mine Eastmain

La Mine Eastmain est localisée à quelque 3 kilomètres à l'est de la route 167, entre la portion *nord* et la portion centrale du projet Extension 167, aux environs des coordonnées 698 500E, 5 798 600N (UTM Nad83, Z18). On y accède à partir d'une route gravelée de 8 km dont l'embranchement est quelques centaines de mètres au *nord* de la borne kilométrique 574. La minéralisation consiste en une veine aurifère de quartz±sulfures localisée à l'intérieur de la Zone de Déformation Eastmain (ZDE) qui affecte une volcanite mafique à ultramafique amphibolitisée appartenant au Groupe de René (Couture, 1993). Originellement découvert par **Placer Dome** en 1970, le gisement fut exploité entre 1989 et 1994 par **Ressources MSV** suite à une entente de partenariat signée en 1988. Pendant la période de production, le minerai était transporté par camion via une route d'hiver de 320 km jusqu'à l'usine de **Ressources Campbell** à Chibougamau. Aucune activité d'exploitation n'est présentement effectuée à la mine Eastmain.

Le site internet de **Eastmain Resources** (<http://www.eastmain.com/projects/eastmain-mine>) indique que le gîte renfermerait des ressources mesurées de 91 500 tonnes titrant 9,19 g Au / t et des ressources indiquées de 786 600 tonnes à 10,08 g Au / t. Toujours selon ce site, ces ressources pourraient ne pas être conformes à la norme nationale 43-101.

Mine Renard

La mine Renard appartient à **Stornoway** et est localisée aux environs des coordonnées 688 500E, 5 855 750N (UTM Nad83, Z18). La minéralisation en diamant a été développée par le consortium **Ashton Mining of Canada (Ashton)** et **SOQUEM** au milieu des années 1990 et est associée à des cheminées kimberlitiques d'âge protérozoïque recoupant principalement des gneiss granitiques et granodioritiques d'âge archéenne. Le faciès métamorphisme général des roches encaissantes du secteur est amphibolite avec des secteurs plus restreints appartenant au faciès de granulite. Les ressources indiquées des gîtes de Renard 2, de Renard 3, Renard 4, Renard 9, Lynx, et Hibou combinées totalisent près de 26,63 millions de tonnes à 89,2 carats par 100 tonnes (cpht) et les ressources inférées combinées des mêmes gîtes totalisent près de 31,12 millions de tonnes titrant

56,1 cpht (Bagnell et al., 2013). Ces ressources sont conformes à la norme 43-101. La mine Renard est présentement en phase de construction.

Historique de la propriété

Les travaux antérieurs ont été entièrement compilés par le personnel de **V.G.** Pour un historique autre que celle concernant les forages antérieurs déposés au **Ministère des richesses naturelles**, le lecteur est référé aux documents produits par le personnel de **V.G.**

Plusieurs campagnes d'exploration ont été réalisées sur les titres de **V.G.** mais les travaux ont principalement été orientés autour de cibles uranifères potentielles. Le Tableau 02 qui suit contient un résumé des intersections de forage compris à l'intérieur du périmètre des titres de **V.G.** et contenant plus de 1,0 % Pb, 1,0 % Zn, 0,5 % Cu, 0,5 % Ni, 0,5 g Au / t, 10 g Ag / t et 10 % de minéralisation (oxydes, sulfures, graphite...) indépendamment des unités hôtes. Une attention particulière a aussi été faite quant à la présence de chlorite noire et/ou talc, minéraux souvent indicateurs d'activité hydrothermale liée au sulfures massifs volcanogènes. Veuillez noter que les sites de forage n'ont pas été visités et la localisation utilisée pour cet exercice est celle fournie dans la banque de donnée Sigéom. La localisation des sondages est fournie à l'Annexe III.

Tableau 02 : Résultats des forages antérieurs

Année	Compagnies	Sondages	Résultat(s)	Référence
1968	Noranda Explorations	5 trous (1 à 3, 1A et 2A) totalisant 167,34 mètres	-2A : 10 % magnétite sur 5,18 m dans une rhyolite chloritisée à 22,25 m.	GM 23188
1974	Canadian Nickel	13 forages dont 1 (55369) sur la propriété totalisant 48,77 m	55369 : Veines de quartz contenant 10 % sulfures sur 0,64 m à 24,05 m et 23 % sulfures en veinules sur 4,27 m à 25,73 m incluses dans une argilite graphitique.	GM 57887
1981	Uranerz	12 sondages dont 3 sur le projet (48, 49 et 50) totalisant 799,19 m	Aucune valeur ou minéralisation d'intérêt.	GM 39246
1982	Uranerz	28 trous dont 21 (TS-01 à 21) sur la propriété totalisant 2 277,47 m	-TS-2 : 25 % pyrite sur 0,91 m à 109,73 m dans une rhyolite bréchique chloritisée. -TS-3 : Sulfures semi-massifs sur 2,13 m à 32,31 m dans un tuf felsique chloritisé. -TS-6 : Méta-sédiments graphiteux sur 10,06 m à 97,54 m, sphalérite mineure. TS-7 : 70 % sulfures sur 1,22 m à 92,05 m, 50 % sulfures sur 0,61 m à 102,11 m et 50 % sulfures sur 0,91 m à 105,77 m dans une volcanite bréchique. TS-8 : Pyrite massive sur 9,75 m à 41,76 m dans une	GM 40358

Année	Compagnies	Sondages	Résultat(s)	Référence
			<p>volcanite localement altérée en chlorite noire.</p> <p>-TS-9 : 0,98 % Cu sur 0,5 m dans une zone chertreuse contenant 5 % sulfures.</p> <p>TS-11 : Pyrite massive sur 10,06 m à 140,21 m au contact d'un tuf felsique et d'un tuf intermédiaire. 70 % pyrite massive sur 0,61 m à 150,57 m dans un tuf intermédiaire.</p> <p>-TS-12 : 25 % pyrite sur 4,27 m à 73,15 m dans des méta-sédiments graphiteux.</p> <p>-TS-13 : 28 % pyrite sur 7,32 m à 79,55 m et pyrite massive sur 1,52 m à 88,39 m dans un tuf rhyolitique.</p> <p>-TS-14 : 25 % pyrite sur 3,96 m à 36,58 m dans des méta-sédiments cherteux.</p> <p>-TS-15 : 25 % pyrite sur 3,05 m à 37,49 m dans des méta-sédiments graphiteux.</p> <p>-TS-17 : 10 % pyrite sur 8,53 m à 62,18 m dans des méta-sédiments cherteux.</p> <p>-TS-20 : 60 % magnétite sur 1,52 m à 122,53 m, 80 % magnétite sur 0,30 m à 124,97 m et 10 % magnétite sur 10 cm à 125,88 m dans une lave intermédiaire ou des méta-sédiments.</p> <p>-TS-21 : 65 % magnétite sur 1,07 m à 120,85 m, 80 %</p>	

Année	Compagnies	Sondages	Résultat(s)	Référence
			magnétite sur 0,30 m à 124,66 m et 70 % magnétite sur 0,30 m à 128,32 m dans une lave intermédiaire ou des méta-sédiments.	
1990	Kingswood	8 trous dont 6 (90-EM-05 à 08, 11 et 12) sur la propriété pour un total de 787,93 m	<p>-90-EM-05 : 20 % sulfures avec graphite sur 9,24 m à 74,76 m dans une granodiorite chloritisée, 20 % sulfures sur 1,57 m à 103,17 m et 13% pyrrhotine avec graphite sur 1,35 m à 107,85 m tous deux dans un chert silicifié et amphibolitisé inclus dans une intrusion ultramafique.</p> <p>-90-EM-07 : 27 % sulfures sur 0,79 m à 129,54 m dans un chert chloritisé et biotisé contenant des veines de quartz et inclus dans une intrusion ultramafique.</p> <p>-90-EM-08 : 4 niveaux décimétriques à métriques contenant 15 % pyrrhotine et du graphite associés à des veines de quartz-calcite entre 107,19 m et 120,67 m dans des méta-sédiments biotisés.</p> <p>-90-EM-11 : 10 % sulfures avec graphite sur 1,79 m à 71,81 m dans des méta-sédiments amphibolitisés contenant des veines de quartz-calcite, 10 % pyrite sur 2,26 m à 90,19 m dans des méta-sédiments amphibolitisés et 13 % sulfures sur 1,67 m à 107,80 m</p>	GM 51536

Année	Compagnies	Sondages	Résultat(s)	Référence
			dans une pegmatite silicifiée et chloritisée.	
1995	Géonova	11 forages dont 1 (GE-95-01, 156,00 m) sur la propriété	GE-95-01 : 15,50 g Ag / t sur 0,35 m à 26,65 m dans une unité mafique à ultramafique (effusive?) contenant des veines sulfures et de quartz-sulfures.	GM 53600
1997	Géonova	8 forages dont 5 (GE-97-01 à 4 et 06) sur la propriété totalisant 663,00 m	<p>GE-97-01 : Deux veines de quartz contenant 20 % sulfures. La première, à 21,70 m, ayant titré 552 ppb Au sur 45 cm et la deuxième, visible sur 0,9 m à 25,85 m, toutes deux recoupant un basalte coussiné.</p> <p>GE-97-02 : Pyrrhotine massive sur 12 cm à 40,80 m et 21 % sulfures sur 60 m à 41,00 m dans des fractures de veines de quartz recoupant un basalte coussiné.</p> <p>GE-97-03 : 23 % sulfures sur 1,33 m à 38,32 m au contact d'une granodiorite et un basalte amphibolitisé.</p> <p>GE-97-04 : 20 % pyrite disséminée sur 20 cm à 63,00 m dans une granodiorite foliée et 21,90 g Ag/t sur 55 cm à 140,00 m dans un gabbro amphibolitisé et carbonatisé.</p>	GM 55586
2002	Pure Gold	8 sondages dont 4 (125-02-2, 3, 7 & 8) sur la propriété totalisant 350,20 m	Aucune valeur ou minéralisation d'intérêt.	GM 60515

Projet Extension 167 – Visible Gold Mines Inc.

Année	Compagnies	Sondages	Résultat(s)	Référence
2003	Dios	28 sondages dont 2 (363-03-19 et 21) sur la propriété totalisant 43,55 m	Aucune valeur ou minéralisation d'intérêt.	GM 61573
2003-04	Ditem	8 forages dont 2 (T-03-03 et T-04-01) sur la propriété totalisant 321,00m	Aucune valeur ou minéralisation d'intérêt.	GM 61522
2007	Ditem	4 sondages (WB-01 à 04) totalisant 1 172,70 m	Aucune valeur ou minéralisation d'intérêt.	GM 63719
2007	Cameco	3 sondages (OTS-07-01 à 03) sur la propriété totalisant 1 575,00 m	OTS-07-002 : Sulfures et magnétite assez importants entre 628,00 m et 635,00 m dans une volcanoclastite.	GM 63891
2008	Ditem	7 sondages (WB-05, WB 07 et WB-08 à 12) totalisant 1 442,66 m	-WB-11 : Veines de sulfures massifs sur 8 cm à 95,18 m et sur 10 cm à 137,45 et à 142,00 m toutes recoupant une méta-volcanite.	GM 63986
2008	Otish Energy	7 sondages (GAT-1 à 6 et 8) totalisant 1 220 m	-GAT-1 : 20 % pyrite sur 18,00 m à 57,00 m dans un basalte. -GAT-5 : Pyrite semi-massive sur 3,00 m à 147,00 m	GM 64222

Année	Compagnies	Sondages	Résultat(s)	Référence
			dans un basalte.	
2008	Icon Industries	15 forages dont 9 (TCH-001 à 008 et 012 à 015) sur la propriété totalisant 2 765,85 m	-TCH-005 : Présence de cordiérite? entre 80,45 et 81,35 m et présence de chlorite noire? entre 81,80 et 84,50 m dans un schiste à chlorite. -TCH-006 : trou fait l'eau. -TCH-008 : 5 455 ppb Au sur 25 cm à 225,00 m dans une pegmatite faillée.	GM 64750
2009	Cameco	8 sondages dont 2 (OTS-07 et 08) sur la propriété totalisant 831,00 m)	-OST-07 : Lave felsique contenant beaucoup de graphite entre 277,90 m et 279,40 m. Sulfures massifs entre 300,55 m et 324,40 m au contact d'une lave felsique et un lave intermédiaire. -OST-08 : Graphite sur 3,80 m à 48,00 m au contact d'une andésite et d'une dacite bréchifiée avec chlorite noire? Présence de chlorite noire sur 15,0 m à 437,30 m affectant un tuf intermédiaire.	GM 65228
2010	Ditem	4 forages (WB13 à 16) totalisant 479,74 m	Aucune valeur ou minéralisation d'intérêt.	GM 65273
2010	Cameco	2 forages (OTS-13 et 14) totalisant 852,00 m	-OTS-13 : Présence de chlorite noire entre 253,50 m et 288,40 m et entre 376,20 m et 394,10 m dans des arkoses	GM 65838

Année	Compagnies	Sondages	Résultat(s)	Référence
			<p>et un conglomérat polymictique.</p> <p>-OTS-14 : Minéralisation graphitique entre 256,80 m et 285,50 m dans des méta-pélites, des tufs intermédiaires et des laves intermédiaires ainsi qu'entre 290,00 m et 296,50 m dans une autre méta-pélite et une andésite. Un échantillon du premier intervalle a titré 15,3 g Ag / t sur 0,15m à 283,75 m. De la chlorite noire pourrait être associée aux zones fortement graphiteuses. Près de 80 % graphite et 10 % sulfures massifs sur 1,80 m à 291,00 m dans une méta-pélite est associé au deuxième intervalle de chlorite noire. Présence de sulfures massifs sur 1,20 m à 315,40 m et sur 4,50 m à 322,50 m.</p>	
2010	Ditem	2 trous de forage (WB-17 et 18) pour un total de 402,86 m	Aucune valeur ou minéralisation d'intérêt.	GM 67235
2011	Cameco	8 trous dont 5 (OTS-15, 18, 19, 21 et 22) sur la propriété totalisant 1 804,00 m.	-OTS-15 : Présence de chlorite noire dans des fractures dans des arénites entre 190,00 m et 213,80 m. Chlorite noire dans des arénites, des conglomérats, des tufs intermédiaires, des pélites et des cherts entre 232,40 m à 270,00 m. Présence de graphite dans des pélites, des	GM 67556

Année	Compagnies	Sondages	Résultat(s)	Référence
			<p>niveaux cherteux, des tufs intermédiaires et des niveaux cherteux entre 240,70 m et 310,80 m. Deux niveaux cherteux et un niveau tufacé (intermédiaire) avec 10-15 % pyrite entre 266,30 m et 287,30 m. Fragments de pyrite massive cimentés par une gangue de quartz-carbonate et des fractures de chlorite noire entre 298,00 m et 306,50 m. Finalement, deuxième niveau de sulfures massifs (50 % Py et 50 % Po) entre 310,80 m et 317,80 m. Plusieurs zones anormales en argent (jusqu'à 97,2 ppm Ag sur 15 cm).</p> <p>-OTS-18 : Présence de chlorite noire intermittente entre 174,00 m jusqu'à la fin du trou (396,00 m) dans des conglomérats, des arénites, des tufs intermédiaires, des pélites, un niveau cherteux, des basaltes et des tufs mafiques. Entre 281,10 m et 287,30 m, graphite dans une pélite.</p> <p>-OTS-19 : Présence de chlorite noire et de graphite entre 245,40 m et 263,30 m dans des arkoses, des tufs intermédiaires et un niveau de chert. Chlorite noire se poursuivant jusqu'à 273,10 m dans un autre niveau de tuf intermédiaire. De ce point jusqu'à 278,60 m, pyrite</p>	

Année	Compagnies	Sondages	Résultat(s)	Référence
			<p>massive au contact entre des tufs intermédiaires et des tufs felsiques. Chlorite noire dans tufs intermédiaires entre 292,10 m et 295,70 m. Pyrite massive dans un basalte entre 296,30 et 296,80 m. Jusqu'à 51,6 ppm Ag sur 20 cm.</p> <p>OTS-21 : Chlorite noire dans grès entre 251,50 m et 283,90 m. Entre 283,50 m et 297,60 m, chlorite noire et graphite dans des pélites et des tufs intermédiaires. Entre 297,60 m et la fin du trou (345,00 m), chlorite noire dans des niveaux cherteux, des tufs intermédiaires, des basaltes et des tufs felsiques. De 324,10 m à 325,20 m, 90 % pyrite dans un tuf felsique. Jusqu'à 10 ppm Ag sur 20 cm.</p> <p>OTS-22 : Chlorite noire entre 188,70 m et 197,20 m dans des arénites. De 263,60 m à 281,10 m, graphite dans des pélites et des niveaux cherteux incluant deux niveaux fortement minéralisés (55 % graphite et 20 % pyrite sur 1,70 m à 275,10 m et 85 % graphite et 10 % pyrite sur 2,10 m à 277,90 m). Entre 266,10 m et 303,80 m, chlorite noire dans des cherts, des pélites et des tufs felsiques. De 303,80 m à 304,70 m, 85 % pyrite. De</p>	

Année	Compagnies	Sondages	Résultat(s)	Référence
			304,70 m à la fin du trou (351,00 m), chlorite noire dans des tufs felsiques et des basaltes. Deux niveaux fortement minéralisés sont présents entre 307,50 m et 307,90 m (50 % pyrite) et entre 315,10 m et 316,30 m (60 % pyrite).	
2012	Cameco	9 sondages dont 8 (OTS-23 à 29 et OTS-31) sur la propriété totalisant 2 946 m	<p>OTS-23 : Sulfures massifs sur 30 m à 84,10 m à un contact basalte-rhyolite et sur 8,90 m à 136,90 m à un contact rhyolite –tuf felsique.</p> <p>OTS-24 : Chlorite noire dans une fracture ponctuelle à 155,50 m recoupant une arénite et plus généralement distribuée dans des fractures recoupant un conglomérat entre 195,00 et 243,70 m</p> <p>OTS-24 : Une fracture ponctuelle de chlorite noire dans une arénite à 155,50 m. Fractures de chlorite noire recoupant un conglomérat (195,00 m - 243,70 m) et des tufs felsiques et des tufs intermédiaires entre 274,40 m et 304,20 m. Présence de graphite associé à des basaltes entre 304,20 m et 315,10 m. Chlorite noire entre 310,40 m et 336,90 m affectant des basaltes et des cherts incluant un intervalle de sulfures massifs entre 333,90 m</p>	GM 67698

Année	Compagnies	Sondages	Résultat(s)	Référence
			<p>et 334,50 m entre deux unités basaltiques. Finalement, présence de chlorite noire associée à une andésite entre 391,70 m et 399,00 m.</p> <p>OTS-25 : Chlorite noire sur 0,20 m à 259,10 m dans un conglomérat et entre 260,70 m et 263,10 m affectant un grès. Présence de graphite entre 263,10 m et 297,20 m dans des cherts, des basaltes et des pélites. Sulfures massifs entre 288,70 m et 289,50 m à un contact basalte-basalte. Chlorite noire sur 12,20 m à 292,60 m dans un basalte et un chert. Sulfures massifs sur 4,10 m au contact de deux niveaux de chert à 304,80 m. Chlorite noire sur 7,80 m et 55,00 m dans des fractures affectant des basaltes et des andésites à 311,00 m et à 323,20 respectivement.</p> <p>OTS-26 : Présence de graphite entre 247,10 m et 258,80 m dans des tufs intermédiaires, des pélites et des cherts.</p> <p>OTS-27 : Chlorite noire affectant des conglomérats, des grès et des cherts entre 183,80 m et 266,50 m.</p> <p>OTS-28 : Chlorite noire présente sur 20,00 m affectant des conglomérats et des arénites à 204,20 m. Graphite</p>	

Année	Compagnies	Sondages	Résultat(s)	Référence
			<p>sur 24,60 m dans des fractures recoupant des cherts et tufs intermédiaires à partir de 242,00 m dont le dernier 12,80 m montant également de la chlorite noire. Sulfures massifs sur 3,90 m à 266,60 m au contact d'un chert et d'un tuf intermédiaire. Jusqu'à 15 % magnétite dans un basalte (280,30 m – 325,30 m).</p> <p>OTS-29 : Graphite sur 11,70 m dans des pélites à 250,50 m. Sulfures massifs et graphite sur 7,90 m à 262,20 m à un contact pélite-basalte.</p> <p>OTS-31 : Chlorite noire sur 74,70 m dans des fractures recoupant des conglomérats à 189,10 m et sur 16,30 m à 343,20 m recoupant des andésites. Chlorite noire en veines sur 68,50 m et 4,40 m recoupant des tufs intermédiaires (274,20 m – 342,70 m) et du chert (345,20 m – 349,60 m). Graphite sur 0,50 m avec des pélites à 342,70 m.</p>	

Travaux effectués en 2015

La campagne s'est déroulée entre le 3 juin et le 21 juillet 2015. Des équipes de 2 ou 3 personnes ont été formées afin d'exécuter des traverses à la boussole, sillonnant la propriété jusqu'à une distance maximale de 3 km de la route 167. Le but était de localiser des éléments conducteurs et / ou magnétiques à l'aide d'un tapis magnétique (« *Beep Mat* ») et tenter expliquer la nature du corps minéralisé. À chacune de ces localités, des points d'observation ou des points d'échantillonnage ont été créés au GPS et des affleurements ou des blocs erratiques ont été décrits. Une table de type « Excel » contenant toutes les données pertinentes a été remise au personnel de **V.G.** à la fin des activités de terrain.

Trois (3) jours ont été consacrés à la visite de crêtes rocheuses à l'aide d'un hélicoptère de la compagnie **Héli-Inter**.

Un total de 422 échantillons a été récolté pendant la campagne de prospection de 2015 par les employés de **Technominex**.

Les membres de **Technominex** qui ont participé aux activités exploratoires sont les géologues et / ou stagiaires MM. Edouard Côté-Lavoie, Louis Grenier, Louis-Philippe Richard, ainsi que leurs assistants MM. Jérôme Gamache, Caleb Jodouin, Brian Lacey, Samuel McLaughlin et Martin Wiscutie. L'auteur tient à remercier toute l'équipe qui a su garder, malgré la température presque systématiquement défavorable, une motivation exemplaire.

Le gîte (km 510) et les repas (km 506) ont été fournis par **Eskan** de Mistissinni.

Les figures et plans du présent rapport ont été fournis par M. Michel Lévesque, technicien de **Terrax Management Inc.**

Discussion

Étant donné qu'un nombre important d'échantillons sont considérés anormaux, il a été décidé que seules les valeurs de plus de 2 fois le seuil anormalique seraient présentées dans cette section. Trois cartes de localisation des points d'observation et des échantillons (en rouge) sont présentées à l'Annexe IV tandis que la liste des échantillons anormaux est présentée au Tableau 01 et leur localisation, à l'Annexe IV (étoiles jaunes). Un tableau relatant les notes de terrain est présenté à l'Annexe V.

Des 37 éléments analysés, le seuil anormalique (moyenne + 2 écarts-type) a été calculé pour l'or (107 ppb), l'argent (2,68 ppm), le cobalt (165,8 ppm), le chrome (667 ppm), le cuivre (1 556,6 ppm), le nickel (379 ppm), le plomb (76,5 ppm) et le zinc (2 508,9 ppm) afin de déterminer les endroits prospectifs. Pour les fins de calculs, une valeur représentant la moitié du seuil de détection de chacun des éléments a été attribuée aux valeurs plus basses que ceux-ci.

Le Tableau 03 présente les 21 échantillons recueillis pendant la campagne de 2015 dépassant de plus de 2 fois le seuil anormalique (2 X (moyenne+2 écarts-types)). Deux autres échantillons (62249 et 62250) faisaient partis de ce groupe mais ceux-ci ont été récoltés un peu à l'extérieur de la propriété. Les certificats d'analyse sont rassemblés à l'Annexe VI.

Des valeurs présentées au Tableau 03, on retrouve six (6) échantillons anormaux en cuivre, quatre (4) en zinc, trois (3) en cobalt, trois (3) en plomb, deux (2) en or, deux (2) en chrome et un (1) en argent. Dix-huit (18) de ces vingt-un (21) échantillons anormaux sont associés aux bandes de roches vertes. Neuf (9) viennent de la Bande Volcanosédimentaires de la Rivière Eastmain Supérieure (BVRES), neuf (9) sont issus des roches vertes du secteur *sud* (Groupe de Tichégami) et trois (3) ont été récoltés dans la portion centrale, représentée par des roches métamorphiques et des intrusions felsiques du Complexe d'Épervanche.

Partie sud

Ce secteur a été couvert avec des traverses espacées en moyenne aux 100 m, principalement du côté *ouest* de la route puisque un ruisseau trop important a réduit de beaucoup la couverture à l'*est* et la pluie abondante a continué à fournir les cours d'eau tout au long de la campagne. Les laves et intrusions de composition mafique dominent ce secteur. Des basaltes coussinés et massifs ainsi que des gabbros dominent le secteur. On y note aussi la présence de formations de fer silicatées et oxydées de puissances métriques à décimétriques d'attitude \pm *est-ouest* qui correspondent aux corps magnétiques et conducteurs visibles sur les levés géophysiques régionaux. Finalement, une lave felsique à intermédiaire contenant des phénocristaux de quartz et des blocs de sédiments terrigènes du Groupe d'Otish ont été sporadiquement rencontrés.

Des sulfures semi-massifs (70 % pyrite) accompagnés de chlorite noire ont été observés en affleurement dans le secteur *sud* aux échantillons 61838 à 842 (687 739E, 5 740 290N), deux anomalies en cobalt (308 et 337 ppm) sont associées à ces échantillons. La roche encaissante est constituée de basaltes coussinés.

À quelque 1 200 m vers l'*est-sud-est* (688 940E, 5 740 229N), d'autres niveaux de sulfures semi-massifs ont été rencontrés en affleurement. La roche encaissante est aussi constituée de basaltes qui peuvent contenir jusqu'à 50 % de sulfures. On y a récolté 5 échantillons dont 4 (61824 à 827) anormaux en cuivre (2 030 à 4 500 ppm).

De la chlorite noire a été rencontrée à un autre endroit dans la partie au *sud* soit au point d'observation ED0060 (688 605E, 5 740 322N). Elle y serait sous forme de veinules recoupant une unité felsique qui, elle, serait bréchifiée par une intrusion gabbroïque. Aucune minéralisation n'y a été observée.

Quoique localement minéralisées en sulfures, aucune valeur issue des formations de fer n'est digne de mention.

Partie centrale

Des gneiss, des migmatites, et des intrusions pegmatitiques dominent le secteur. Les affleurements sont plutôt concentrés dans les montagnes (Otish) où on note beaucoup d'escarpements. La minéralisation la plus souvent rencontrée dans ce secteur est la magnétite. Les traverses ont visé une panoplie de conducteurs très faibles associés aux différentes unités métamorphiques.

Partie nord

En général, les traverses dans ce secteur sont espacées de 200-300 m dans cette région très peu affleurante. C'est donc pour cette raison qu'une attention particulière a été apportée aux environs de la Colline Noire (694 200E, 5 816 750N) où l'on retrouve des sulfures semi-massifs à massifs d'orientation *nord-nord-est - sud-sud-ouest* à *nord-est – sud-ouest* associés à des laves et intrusions mafiques. La géologie du segment *nord* est représentée par des méta-sédiments (wackes), des laves mafiques, et d'intrusions mafiques à ultramafiques et de rares niveaux de laves felsiques, d'intrusions felsiques localement pegmatitiques et de tufs intermédiaires. La majorité de ces unités montre une certaine amphibolitisation.

Un amoncellement de blocs de sulfures semi-massifs à massifs a été retrouvé aux environs des coordonnées 697 581E, 5 819 268N, dans le secteur *nord* de la propriété. La roche encaissante n'a pas été observée. On y retrouve principalement de la pyrrhotine et du quartz localisés à la marge d'un conducteur *nord-est – sud-ouest*. Les échantillons 61958 à 976 viennent de ce secteur et du lot, un est anomalique en argent (61958; 3,1 ppm), six sont anomaliques en cobalt (61963, 965, 968, 970, 972 et 974; jusqu'à 571 ppm), deux en cuivre (61958 et 969; jusqu'à 1 780 ppm) et six en nickel (61959, 960, 965, 968, 972 et 974; jusqu'à 534 ppm).

Au *nord* de la Colline Noire, des affleurements et des blocs de sulfures semi-massifs à massifs localisés aux environs des coordonnées 694 475E, 5 817 950N, ont été échantillonnés (61773 à 776). Ces sulfures seraient associés à des méta-sédiments et à des schistes. De ceux-ci, 3 sont anomaliques en

argent dont l'échantillon 61776 qui contient 3,3 ppm Ag.

Les deux échantillons anomaux en or (62016 et 017) proviennent du flanc *sud-est* de la Colline Noire. Il s'agit d'une zone fortement silicifiée pouvant contenir de la pyrrhotine semi-massive et des traces de chalcopirite. Ils ont titré 528 ppb et 663 ppb respectivement.

Tableau 03 : Tableau des échantillons dépassant de 2 fois les seuils anomaliques, campagne 2015

Éch.	Estant	Nordant	Au (ppb)	Ag (ppm)	Co (ppm)	Cr (ppm)	Cu (ppm)	Ni (ppm)	Pb (ppm)	Zn (ppm)	Type	Roche hôte	Minéralisation
61771	695 717	5 817 314	<8	2,4	5	310	5 550	97	3	855	Bloc	Veine de quartz	15 % sulfures
61778	696 277	5 819 133	<8	0,8	22	230	49	83	275	140	Bloc	Grès	2 % sulfures
61825	688 936	5 740 227	38	0,7	133	203	4 080	207	7	33	Affl.	Zone silicifiée et chloritisée	30 % Py ¹ , et 3 % Cp ²
61826	688 939	5 740 232	45	0,8	253	322	4 500	309	8	26	Affl.	Zone silicifiée et chloritisée	40 % Py, 2 % Cp et 2 % As ³
61827	688 941	5 740 230	112	1,3	174	194	3 770	314	10	15	Affl.	Zone silicifiée et chloritisée	40 % Py, 5 % As et 2 % Cp
61840	687 739	5 740 295	9	0,5	337	505	509	275	20	324	Affl.	Zone silicifiée et chloritisée	70 % Py
61863	688 338	5 738 500	35	120	292	172	968	295	22	7 690	Bloc	Zone limonitisée	10 % Po ⁴
61867	688 255	5 738 552	75	1,5	113	189	551	340	96	5 740	Bloc	Schiste graphiteux	20 % Py
61888	688 352	5 738 042	25	1,9	384	213	2 620	999	17	1 040	Bloc	Sulfures massifs	85 % Po et 5 % Cp

¹ Pyrite

² Chalcopyrite

³ Arsénopyrite

⁴ Pyrrhotine

Projet Extension 167 – Visible Gold Mines Inc.

Éch.	Estant	Nordant	Au (ppb)	Ag (ppm)	Co (ppm)	Cr (ppm)	Cu (ppm)	Ni (ppm)	Pb (ppm)	Zn (ppm)	Type	Roche hôte	Minéralisation
61910	688 574	5 738 194	28	2,2	135	160	1 010	272	416	3 350	Affl.	Basalte, veine de quartz	Aucune
61949	688 616	5 739 506	<8	1,0	46	260	187	137	21	17 300	Bloc	Veine de quartz	1 % Py
61958	697 589	5 819 268	98	3,1	88	119	6 150	215	11	1 250	Bloc	Sulfures semi-massifs	50 % Po, 15 % Py et 3 % Cp
61963	697 589	5 819 268	22	1,0	571	124	172	159	14	192	Bloc	Méta-sédiments? silicifiée	3 % Py, Gp ⁵
62016	694 608	5 816 409	528	0,7	199	211	685	104	27	883	Affl.	Zone silicifiée	1 % Cp
62017	694 608	5 816 409	663	0,4	216	145	188	94	32	632	Affl.	Zone silicifiée	5 % sulfures
62033	696 997	5 818 926	<8	0,7	41	98	159	164	11	6 510	Bloc	Zone limonitisée	Sulfures, graphite
62039	696 775	5 820 075	15	2,8	11	414	3 180	21	<3	91	Bloc	Gabbro?	Traces Py

⁵ Graphite

Projet Extension 167 – Visible Gold Mines Inc.

Éch.	Estant	Nordant	Au (ppb)	Ag (ppm)	Co (ppm)	Cr (ppm)	Cu (ppm)	Ni (ppm)	Pb (ppm)	Zn (ppm)	Type	Roche hôte	Minéralisation
62158	693 589	5 774 399	<8	1,4	17	442	371	45	187	1 010	Bloc	Gneiss	15 % Mt ⁶ et 3 % Py
62178	695 667	5 814 158	<8	19,2	62	167	1 250	265	109	122	Bloc	Amphibolite	8 % Po, 1 % Py et 1 % Cp
62212	690 905	5 771 395	<8	<0,3	74	2 100	47	805	<3	81	Bloc	Intrusif ultramafique / Amphibolite	Traces sulfures
62245	696 029	5 785 894	<8	<0,3	50	1 650	4	663	<3	64	Bloc	Intrusif ultramafique	Traces sulfures

⁶ Magnétite

Recommandations

Suite aux résultats obtenus lors de la campagne de prospection de 2015, il est recommandé de concentrer les efforts d'exploration sur les ceintures de roches vertes localisées au *nord* et au *sud* propriété Extension 167 de **V.G.** puisque ce sont dans ces régions que la minéralisation en sulfures et en veines de quartz sont les plus répandues et que le potentiel en minéralisation aurifère et en métaux de base sont les plus grandes. Une évaluation des diverses intrusions mafiques présentes partout sur la propriété via une prospection géologique ponctuelle et de l'échantillonnage serré.

Une portion couvrant les méta-sédiments du Groupe d'Otish pourrait être abandonnée là où la puissance de ceux-ci excède 500 m puisque les perspectives d'y trouver de l'or ou des métaux de base à un coût abordable y sont plutôt minces, que le moratoire sur l'uranium est en vigueur et que les communautés autochtones du secteur se sont prononcées clairement contre l'exploration et l'exploitation de cet élément.

Portion sud


Une grille d'orientation *nord - sud* devrait être coupée avec des lignes espacées de 200 m et des levés magnétique et électromagnétique au sol devraient y être conduits. Une cartographie géologique utilisant les lignes coupées pourrait ensuite être effectuée pour cerner l'environnement géologique et structural qui pourrait mener à un levé de polarisation provoquée complémentaire afin de proposer des cibles de forage. Conformément aux observations de terrain et aux éléments retenus lors de la compilation des forages, une attention particulière devrait être portée à la minéralisation et aux altérations associées aux métaux de base lors de la phase de cartographie. D'ailleurs, des décapages plus soutenus (idéalement mécanique sinon manuel) du secteur de la tour de communication *sud* (688 940E, 5 740 229N et 687 739E, 5 740 290N) devraient sérieusement être considérés.

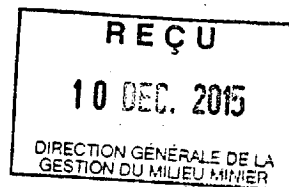
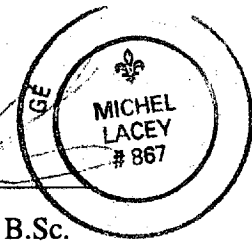
Certificat de qualification

Je, soussigné Michel Lacey, domicilié au 20 est, 3ième avenue, Rouyn-Noranda (Cadillac), Québec, JOY ICO certifie par la présente que :

- Je suis diplômé en géologie de l'Université du Québec à Montréal (1990).
- Je suis membre de l'Ordre des Géologues du Québec, certificat no. 0867.
- Je pratique ma profession au Canada et à l'étranger depuis plus de 25 ans.
- Je ne détiens aucun intérêt dans **Visible Gold Inc.**, compagnie détentrice de la propriété Extension 167.
- Je travaille présentement comme géologue sénior pour la firme **Services Technominex Inc.** sise à Rouyn-Noranda.
- Je consens à l'utilisation de mon nom dans tout document relatif à ce projet qui pourrait être destiné aux différentes commissions des valeurs mobilières et /:ou exigé par les différentes instances gouvernementales.

EN FOI DE QUOI, je signe à Rouyn-Noranda, ce 13 novembre 2015.


Michel Lacey, B.Sc.



15 307 63

Bibliographie

Atkins, W.M.; Canico – James Bay – Uranerz Joint Venture – Cadieux Project Report From April 15th to October 31 1974; **Canadian Nickel Company Ltd**; GM 57887; 1974

Aubin, A., Zaluski, G., Barsi, N., Dueck, P., Keller, C., O'Dowd, C. et Rogers, S.; 2008-2009 Exploration Report – Otish South Project; **Cameco Corporation**; GM 65228; 2010

Aubin, A., Zaluski, G., Kaczowka, A., Keller, C., O'Dowd, C. et Rogers, S.; 2010 Exploration Report, Otish - South Project; **Cameco Corporation**; GM 65838; 2011

Aubin, A., Zaluski, G., Rogers, S., Keller, C. et Bort, E.; 2011 Exploration Report – Otish South Project; **Cameco Corporation**; GM 67556; 2012

Bagnell, W., Bedell, P., Bertrand, V.J., Brummer, R., Farrow, D., Gagnon, C., Gignac, L.-P., Magnan, M. et St-Onge M.; The Renard Diamond Project – Feasibility Study Update; **Stornoway Diamond Corporation**; Sedar document; 2013

Beesley, T.J. et Goulet, G.; Summary Report, Geological Mapping, Glacial Till Sampling, Diamond Drill Logs, Colline Noire Block, Eastmain River Project; **Kingswood Explorations 1985 Ltd**; GM 51536; 1992

Boily, M. et Gosselin, C.; The Main Types of Rare Metal Mineralization (Y-Zr-Nb-Ta-Be-Li-REE) in Québec; **Ministère des Ressources Naturelles et de la Faune du Québec**; ET 2012-01; 2012

Brack, W.; Assessment Report on the Tichegami and Beaver Lake South Projects; **Ditem Explorations Inc.**; GM 61522; 2005

Chapman, J.; Assessment Report on the Tichegami River and Beaver Lake Projects; **Pure Gold Minerals Inc.**; GM 60515; 2003

- Chown, E.H.; Région de Tichégamie; **Ministère des Richesses Naturelles du Québec**; RG 144; 1971
- Coates, B.; Lac Henri Property, Otish Mountains Area - Diamond Drill Program, Summer 2008; **Icon Industries Ltd**; GM 64750; 2009
- Couture, J.-F.; Géologie de la partie occidentale de la bande volcanosédimentaire de la rivière Eastmain; **Ministère de l'Énergie et des Ressources du Québec**; MB 87-51; 1987
- Couture, J.-F.; Géologie et gîtologie du gisement de la rivière Eastmain, Ungava, Québec; **Université du Québec à Chicoutimi** (Thèse PhD); 1993
- D'Amours, I.; Levé magnétique et spectrométrie aéroporté dans le secteur sud de LG4, Baie-James, Québec; **Ministère des Ressources Naturelles et Faune du Québec**; DP 2010-03; 2010
- D'Amours, I.; Levé magnétique et spectrométrie aéroporté dans le secteur de la haute Eastmain, Baie-James, Québec; **Ministère des Ressources Naturelles et Faune du Québec**; DP 2011-01; 2011
- D'Amours, I.; Synthèse des levés magnétiques de la Baie-James, Québec; **Ministère des Ressources Naturelles et Faune du Québec**; DP 2011-08; 2011
- Davies, A.; 2008 Diamond Drilling Project and Review of the 2007 Drillholes – Otish Mountain Project; **Ditem Explorations Inc.**; GM 63986; 2008
- Davies, A. et Joly, M.; Detailed Ground VLF and Experimental Radon Surveys over Anomalies EM18, D, C and Brack (Little Matoush) and Drillholes WB13, WB-14, WB16 and WB16 for the Otish Uranium Project; **Ditem Explorations Inc.**; GM 65273; 2010
- Desbiens, H. et Girard, M.-J.; Report on the Otish Diamond Exploration Project; **Dios Exploration Inc.**; GM 61573; 2003

Gagnon, F.; 2008 Drilling Project with Review of 2007 Drillholes, Otish Mountain Project; **Ditem Explorations Inc.**; GM 63986; 2008

Genest, S.; Géologie de la région du lac Indicateur (Territoire-du-Nouveau-Québec); **Ministère de l'Énergie et des Ressources du Québec**; ET 86-04; 1987

Grenier, J. et Sansfaçon, R.; Rapport de prospection 2012, Plan Nord; **Terrax Management Inc.**; GM 67468; 2013

Grenier, J. et Sansfaçon, R.; Rapport de prospection 2012, Plan Nord; **Terrax Management Inc.**; GM 67525; 2013

Hocq, M.; Géologie de la région des lacs Campan et Cadieux, Territoire du Nouveau- Québec; **Ministère de l'Énergie et des Ressources du Québec**; ET 83-05; 1985

Joly, M.; December 2010 Drilling Program, Otish Uranium Property; **Ditem Explorations Inc.**; GM 67235; 2012

Leblanc, M.; Propriété Eastmain – Rapport de campagne – Été 1997; **Géonova Exploration Inc.**; GM 55586; 1997

Madon, Z., Marchant, R., Cannuli, M. et Hebard, C.A.; Assessment Report, Project 7185-02/03, Gordon's Lake, Camie River Area; **Exploration and Mines Uranerz Ltd**; GM 39246; 1982

Madon, Z.; Assessment Report, Gordon's Lake Area; **Exploration and Mines Uranerz Ltd**; GM 40358; 1983

MacFarlane, R.L.; Diamond Drill Core Log, Mistassini 2-67 Property; **Noranda Explorations Ltd**;
36

GM 23188; 1968

Moreau, B.; Rapport de forage au diamant, Bloc C, Propriété Gateau; **Otish Energy Inc.**; GM 64222; 2009

Moroz, R., Hoksbergen, K., O'Connor, T.K., O'Dowd, C. et Malo-Lalande, C.; Otish South Project - 2006-2008 Exploration Report; **Cameco Corporation**; GM 63891; 2008

Parent, M.; Compilation géochronologique U-Pb des Sous-provinces d'Ashuanipi, d'Opinaca, d'Opatoca et de La Grande; **Ministère des Ressources Naturelles et de la Faune du Québec**; MB 2011-04; 2011

Richard, P.-L. et Carrier, A.; Programme de prospection et de forage au diamant; **Ditem Explorations Inc.**; GM 63719; 2007

Rogers, S., Keller, C., Kaczowka, A. et Bort, E.; 2012 Exploration Report – Otish South Project; **Cameco Corporation**; GM 67698; 2013

Roy, C.; Géologie du secteur de l'Île Bohier de la bande volcanosédimentaire de la rivière Eastmain; **Ministère de l'Énergie et des Ressources du Québec**; MB 88-16; 1988

Théberge, J.; Rapport préliminaire de prospection 2013-2014, Projet 167; **Visible Gold Mines Inc.**; GM 68518; 2014

Théberge, J.; Rapport de prospection 2013-2014, Projet 167; **Visible Gold Mines Inc.**; Rapport interne; 2015

Projet Extension 167 – Visible Gold Mines Inc.

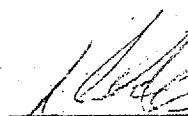
Tremblay, A.; Projet Eastmain - Campagne de sondages, hiver 1995; **Géonova Explorations Inc.**;
GM 53600; 1995

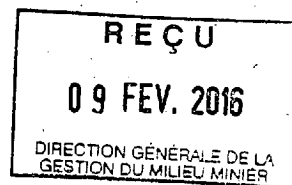
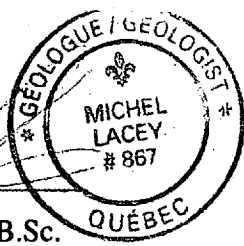
Certificat de qualification

Je, soussigné Michel Lacey, domicilié au 20 est, 3ième avenue, Rouyn-Noranda (Cadillac), Québec, JOY 1C0 certifie par la présente que :

- Je suis diplômé en géologie de l'Université du Québec à Montréal (1990).
- Je suis membre de l'Ordre des Géologues du Québec, certificat no. 0867.
- Je pratique ma profession au Canada et à l'étranger depuis plus de 25 ans.
- Je ne détiens aucun intérêt dans **Visible Gold Inc.**, compagnie détentrice de la propriété Extension 167.
- Je travaille présentement comme géologue sénior pour la firme **Services Technominex Inc.** sise à Rouyn-Noranda.
- Je consens à l'utilisation de mon nom dans tout document relatif à ce projet qui pourrait être destiné aux différentes commissions des valeurs mobilières et /:ou exigé par les différentes instances gouvernementales.

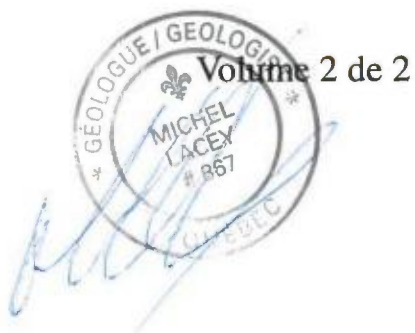
EN FOI DE QUOI, je signe à Rouyn-Noranda, ce 13 novembre 2015.


Michel Lacey, B.Sc.



1530763

Rapport de travaux de terrain, été 2015
Propriété Extension 167, Région du Nord du Québec
Visible Gold Mines Inc.



Par

Michel Lacey, B.Sc.

OGQ 867

Services Technominex Inc.



13 novembre 2015

Annexe I :

Liste des titres miniers

Feuille	Type de titre	No titre	Statut du titre	Date d'expiration	Superficie (ha)	Détenteur(s)
SNRC 22M13	CDC	2415450	Actif	2016-10-30	53,35	Visible Gold (100%)
SNRC 22M13	CDC	2415451	Actif	2016-10-30	53,35	Visible Gold (100%)
SNRC 22M13	CDC	2415452	Actif	2016-10-30	53,35	Visible Gold (100%)
SNRC 22M13	CDC	2415453	Actif	2016-10-30	20,92	Visible Gold (100%)
SNRC 22M13	CDC	2415454	Actif	2016-10-30	53,34	Visible Gold (100%)
SNRC 22M13	CDC	2415455	Actif	2016-10-30	53,34	Visible Gold (100%)
SNRC 22M13	CDC	2415456	Actif	2016-10-30	53,34	Visible Gold (100%)
SNRC 22M13	CDC	2415457	Actif	2016-10-30	41,33	Visible Gold (100%)
SNRC 22M13	CDC	2415614	Actif	2016-11-04	53,35	Visible Gold (100%)
SNRC 22M13	CDC	2415615	Actif	2016-11-04	53,34	Visible Gold (100%)
SNRC 22M13	CDC	2417304	Actif	2016-11-30	53,33	Visible Gold (100%)
SNRC 22M13	CDC	2417305	Actif	2016-11-30	53,33	Visible Gold (100%)
SNRC 22M13	CDC	2417306	Actif	2016-11-30	53,33	Visible Gold (100%)
SNRC 22M13	CDC	2417307	Actif	2016-11-30	53,33	Visible Gold (100%)
SNRC 22M13	CDC	2417308	Actif	2016-11-30	53,32	Visible Gold (100%)
SNRC 22M13	CDC	2417309	Actif	2016-11-30	53,32	Visible Gold (100%)
SNRC 22M13	CDC	2417310	Actif	2016-11-30	53,32	Visible Gold (100%)
SNRC 22M13	CDC	2417311	Actif	2016-11-30	53,32	Visible Gold (100%)
SNRC 22M13	CDC	2417312	Actif	2016-11-30	53,32	Visible Gold (100%)
SNRC 22M13	CDC	2417313	Actif	2016-11-30	53,32	Visible Gold (100%)
SNRC 22M13	CDC	2417314	Actif	2016-11-30	53,32	Visible Gold (100%)
SNRC 22M13	CDC	2417315	Actif	2016-11-30	53,32	Visible Gold (100%)
SNRC 22M13	CDC	2417769	Actif	2016-11-30	53,34	Visible Gold (100%)
SNRC 22M13	CDC	2417770	Actif	2016-11-30	53,34	Visible Gold (100%)
SNRC 22M13	CDC	2417771	Actif	2016-11-30	53,34	Visible Gold (100%)
SNRC 22M13	CDC	2417772	Actif	2016-11-30	53,33	Visible Gold (100%)
SNRC 22M13	CDC	2417773	Actif	2016-11-30	53,33	Visible Gold (100%)
SNRC 22M13	CDC	2417774	Actif	2016-11-30	53,33	Visible Gold (100%)
Total 22M13		28			1 448,90	ha
SNRC 23D04	CDC	2417316	Actif	2016-11-30	52,85	Visible Gold (100%)
Total 23D04		1			52,85	ha
SNRC 32P09	CDC	2361563	Actif	2016-08-27	53,38	Visible Gold (100%)
SNRC 32P09	CDC	2361564	Actif	2016-08-27	53,38	Visible Gold (100%)
SNRC 32P09	CDC	2361565	Actif	2016-08-27	53,37	Visible Gold (100%)
SNRC 32P09	CDC	2361566	Actif	2016-08-27	53,37	Visible Gold (100%)
SNRC 32P09	CDC	2394952	Actif	2017-11-26	53,38	Visible Gold (100%)
SNRC 32P09	CDC	2394953	Actif	2017-11-26	53,38	Visible Gold (100%)
SNRC 32P09	CDC	2394954	Actif	2017-11-26	53,37	Visible Gold (100%)
SNRC 32P09	CDC	2394955	Actif	2017-11-26	53,37	Visible Gold (100%)
SNRC 32P09	CDC	2422307	Actif	2017-02-03	53,36	Visible Gold (100%)
SNRC 32P09	CDC	2422308	Actif	2017-02-03	53,36	Visible Gold (100%)
Total 32P09		10			533,72	ha
SNRC 32P15	CDC	2417317	Actif	2016-11-30	53,29	Visible Gold (100%)
SNRC 32P15	CDC	2417318	Actif	2016-11-30	53,29	Visible Gold (100%)
SNRC 32P15	CDC	2417319	Actif	2016-11-30	53,29	Visible Gold (100%)
SNRC 32P15	CDC	2417320	Actif	2016-11-30	53,29	Visible Gold (100%)
SNRC 32P15	CDC	2417321	Actif	2016-11-30	53,29	Visible Gold (100%)
SNRC 32P15	CDC	2417322	Actif	2016-11-30	53,29	Visible Gold (100%)
SNRC 32P15	CDC	2417323	Actif	2016-11-30	53,29	Visible Gold (100%)
SNRC 32P15	CDC	2417324	Actif	2016-11-30	53,29	Visible Gold (100%)
SNRC 32P15	CDC	2417325	Actif	2016-11-30	53,29	Visible Gold (100%)
SNRC 32P15	CDC	2417326	Actif	2016-11-30	53,28	Visible Gold (100%)
SNRC 32P15	CDC	2417327	Actif	2016-11-30	53,28	Visible Gold (100%)
SNRC 32P15	CDC	2417328	Actif	2016-11-30	53,28	Visible Gold (100%)
SNRC 32P15	CDC	2417329	Actif	2016-11-30	53,28	Visible Gold (100%)
SNRC 32P15	CDC	2417330	Actif	2016-11-30	53,28	Visible Gold (100%)
SNRC 32P15	CDC	2417331	Actif	2016-11-30	53,28	Visible Gold (100%)
SNRC 32P15	CDC	2417332	Actif	2016-11-30	53,28	Visible Gold (100%)
SNRC 32P15	CDC	2417333	Actif	2016-11-30	53,28	Visible Gold (100%)
SNRC 32P15	CDC	2417334	Actif	2016-11-30	53,28	Visible Gold (100%)
Total 32P15		18			959,13	ha
SNRC 32P16	CDC	1134041	Actif	2016-05-15	53,20	Visible Gold (100%)
SNRC 32P16	CDC	2024699	Actif	2016-09-13	53,12	Visible Gold (100%)
SNRC 32P16	CDC	2025098	Actif	2016-09-18	53,20	Visible Gold (100%)
SNRC 32P16	CDC	2025584	Actif	2016-09-20	53,15	Visible Gold (100%)
SNRC 32P16	CDC	2025599	Actif	2016-09-20	53,14	Visible Gold (100%)

Feuille	Type de titre	No titre	Statut du titre	Date d'expiration	Superficie (ha)	Détenteur(s)
SNRC 32P16	CDC	2031394	Actif	2016-11-05	53,08	Visible Gold (100%)
SNRC 32P16	CDC	2049459	Actif	2017-01-17	53,07	Visible Gold (100%)
SNRC 32P16	CDC	2081281	Actif	2017-04-26	53,33	Visible Gold Mines (90%) et Otish Energy (10%)
SNRC 32P16	CDC	2081282	Actif	2017-04-26	53,33	Visible Gold Mines (90%) et Otish Energy (10%)
SNRC 32P16	CDC	2081292	Actif	2017-04-26	53,32	Visible Gold Mines (90%) et Otish Energy (10%)
SNRC 32P16	CDC	2361567	Actif	2016-08-27	53,36	Visible Gold (100%)
SNRC 32P16	CDC	2361568	Actif	2016-08-27	53,36	Visible Gold (100%)
SNRC 32P16	CDC	2361569	Actif	2016-08-27	53,32	Visible Gold (100%)
SNRC 32P16	CDC	2361570	Actif	2016-08-27	53,32	Visible Gold (100%)
SNRC 32P16	CDC	2361571	Actif	2016-08-27	53,32	Visible Gold (100%)
SNRC 32P16	CDC	2361671	Actif	2016-08-27	53,24	Visible Gold (100%)
SNRC 32P16	CDC	2384112	Actif	2017-04-15	53,31	Visible Gold (100%)
SNRC 32P16	CDC	2384113	Actif	2017-04-15	53,30	Visible Gold (100%)
SNRC 32P16	CDC	2384114	Actif	2017-04-15	53,29	Visible Gold (100%)
SNRC 32P16	CDC	2384115	Actif	2017-04-15	53,29	Visible Gold (100%)
SNRC 32P16	CDC	2384116	Actif	2017-04-15	53,29	Visible Gold (100%)
SNRC 32P16	CDC	2384117	Actif	2017-04-15	53,22	Visible Gold (100%)
SNRC 32P16	CDC	2384118	Actif	2017-04-15	53,21	Visible Gold (100%)
SNRC 32P16	CDC	2388404	Actif	2017-07-22	53,35	Visible Gold (100%)
SNRC 32P16	CDC	2388405	Actif	2017-07-22	53,34	Visible Gold (100%)
SNRC 32P16	CDC	2388406	Actif	2017-07-22	53,33	Visible Gold (100%)
SNRC 32P16	CDC	2388407	Actif	2017-07-22	53,28	Visible Gold (100%)
SNRC 32P16	CDC	2388408	Actif	2017-07-22	53,28	Visible Gold (100%)
SNRC 32P16	CDC	2388409	Actif	2017-07-22	53,27	Visible Gold (100%)
SNRC 32P16	CDC	2388410	Actif	2017-07-22	53,26	Visible Gold (100%)
SNRC 32P16	CDC	2388411	Actif	2017-07-22	53,25	Visible Gold (100%)
SNRC 32P16	CDC	2388412	Actif	2017-07-22	53,25	Visible Gold (100%)
SNRC 32P16	CDC	2388413	Actif	2017-07-22	53,24	Visible Gold (100%)
SNRC 32P16	CDC	2388414	Actif	2017-07-22	53,23	Visible Gold (100%)
SNRC 32P16	CDC	2388415	Actif	2017-07-22	53,23	Visible Gold (100%)
SNRC 32P16	CDC	2388416	Actif	2017-07-22	53,22	Visible Gold (100%)
SNRC 32P16	CDC	2388417	Actif	2017-07-22	53,09	Visible Gold (100%)
SNRC 32P16	CDC	2388418	Actif	2017-07-22	53,08	Visible Gold (100%)
SNRC 32P16	CDC	2391057	Actif	2017-09-22	53,33	Visible Gold (100%)
SNRC 32P16	CDC	2394956	Actif	2017-11-26	53,36	Visible Gold (100%)
SNRC 32P16	CDC	2394957	Actif	2017-11-26	53,36	Visible Gold (100%)
SNRC 32P16	CDC	2394958	Actif	2017-11-26	53,36	Visible Gold (100%)
SNRC 32P16	CDC	2394959	Actif	2017-11-26	53,36	Visible Gold (100%)
SNRC 32P16	CDC	2394960	Actif	2017-11-26	53,36	Visible Gold (100%)
SNRC 32P16	CDC	2394961	Actif	2017-11-26	53,36	Visible Gold (100%)
SNRC 32P16	CDC	2394962	Actif	2017-11-26	53,36	Visible Gold (100%)
SNRC 32P16	CDC	2394963	Actif	2017-11-26	53,35	Visible Gold (100%)
SNRC 32P16	CDC	2394964	Actif	2017-11-26	53,35	Visible Gold (100%)
SNRC 32P16	CDC	2394965	Actif	2017-11-26	53,35	Visible Gold (100%)
SNRC 32P16	CDC	2394966	Actif	2017-11-26	53,35	Visible Gold (100%)
SNRC 32P16	CDC	2394967	Actif	2017-11-26	53,35	Visible Gold (100%)
SNRC 32P16	CDC	2394968	Actif	2017-11-26	53,35	Visible Gold (100%)
SNRC 32P16	CDC	2394969	Actif	2017-11-26	53,35	Visible Gold (100%)
SNRC 32P16	CDC	2394970	Actif	2017-11-26	53,35	Visible Gold (100%)
SNRC 32P16	CDC	2394971	Actif	2017-11-26	53,34	Visible Gold (100%)
SNRC 32P16	CDC	2394972	Actif	2017-11-26	53,34	Visible Gold (100%)
SNRC 32P16	CDC	2394973	Actif	2017-11-26	53,34	Visible Gold (100%)
SNRC 32P16	CDC	2394974	Actif	2017-11-26	53,34	Visible Gold (100%)
SNRC 32P16	CDC	2394975	Actif	2017-11-26	53,34	Visible Gold (100%)
SNRC 32P16	CDC	2394976	Actif	2017-11-26	53,34	Visible Gold (100%)
SNRC 32P16	CDC	2394977	Actif	2017-11-26	53,34	Visible Gold (100%)
SNRC 32P16	CDC	2394978	Actif	2017-11-26	53,34	Visible Gold (100%)
SNRC 32P16	CDC	2394979	Actif	2017-11-26	53,33	Visible Gold (100%)
SNRC 32P16	CDC	2394980	Actif	2017-11-26	53,33	Visible Gold (100%)
SNRC 32P16	CDC	2394981	Actif	2017-11-26	53,33	Visible Gold (100%)
SNRC 32P16	CDC	2394982	Actif	2017-11-26	53,33	Visible Gold (100%)
SNRC 32P16	CDC	2394983	Actif	2017-11-26	53,33	Visible Gold (100%)
SNRC 32P16	CDC	2394984	Actif	2017-11-26	53,32	Visible Gold (100%)
SNRC 32P16	CDC	2394985	Actif	2017-11-26	53,32	Visible Gold (100%)
SNRC 32P16	CDC	2394986	Actif	2017-11-26	53,32	Visible Gold (100%)
SNRC 32P16	CDC	2394987	Actif	2017-11-26	53,32	Visible Gold (100%)

Feuille	Type de titre	No titre	Statut du titre	Date d'expiration	Superficie (ha)	Détenteur(s)
SNRC 33A01	CDC	2414405	Actif	2016-10-13	52,93	Visible Gold (100%)
SNRC 33A01	CDC	2414697	Actif	2016-10-19	53,07	Visible Gold (100%)
SNRC 33A01	CDC	2414698	Actif	2016-10-19	53,07	Visible Gold (100%)
SNRC 33A01	CDC	2414699	Actif	2016-10-19	53,07	Visible Gold (100%)
SNRC 33A01	CDC	2414700	Actif	2016-10-19	53,06	Visible Gold (100%)
SNRC 33A01	CDC	2414701	Actif	2016-10-19	53,06	Visible Gold (100%)
SNRC 33A01	CDC	2414702	Actif	2016-10-19	53,06	Visible Gold (100%)
SNRC 33A01	CDC	2414703	Actif	2016-10-19	53,05	Visible Gold (100%)
SNRC 33A01	CDC	2414704	Actif	2016-10-19	53,05	Visible Gold (100%)
SNRC 33A01	CDC	2414705	Actif	2016-10-19	53,05	Visible Gold (100%)
SNRC 33A01	CDC	2414706	Actif	2016-10-19	53,04	Visible Gold (100%)
SNRC 33A01	CDC	2414707	Actif	2016-10-19	53,04	Visible Gold (100%)
SNRC 33A01	CDC	2414708	Actif	2016-10-19	53,04	Visible Gold (100%)
SNRC 33A01	CDC	2414709	Actif	2016-10-19	53,03	Visible Gold (100%)
SNRC 33A01	CDC	2414710	Actif	2016-10-19	53,03	Visible Gold (100%)
SNRC 33A01	CDC	2414711	Actif	2016-10-19	53,03	Visible Gold (100%)
SNRC 33A01	CDC	2414712	Actif	2016-10-19	53,02	Visible Gold (100%)
SNRC 33A01	CDC	2414713	Actif	2016-10-19	53,02	Visible Gold (100%)
SNRC 33A01	CDC	2414714	Actif	2016-10-19	53,02	Visible Gold (100%)
SNRC 33A01	CDC	2414715	Actif	2016-10-19	53,01	Visible Gold (100%)
SNRC 33A01	CDC	2414716	Actif	2016-10-19	53,00	Visible Gold (100%)
SNRC 33A01	CDC	2414717	Actif	2016-10-19	52,99	Visible Gold (100%)
SNRC 33A01	CDC	2414718	Actif	2016-10-19	52,98	Visible Gold (100%)
SNRC 33A01	CDC	2414719	Actif	2016-10-19	52,98	Visible Gold (100%)
SNRC 33A01	CDC	2414720	Actif	2016-10-19	52,98	Visible Gold (100%)
SNRC 33A01	CDC	2414721	Actif	2016-10-19	52,98	Visible Gold (100%)
SNRC 33A01	CDC	2414722	Actif	2016-10-19	52,98	Visible Gold (100%)
SNRC 33A01	CDC	2414723	Actif	2016-10-19	52,97	Visible Gold (100%)
SNRC 33A01	CDC	2414724	Actif	2016-10-19	52,97	Visible Gold (100%)
SNRC 33A01	CDC	2414725	Actif	2016-10-19	52,97	Visible Gold (100%)
SNRC 33A01	CDC	2414726	Actif	2016-10-19	52,97	Visible Gold (100%)
SNRC 33A01	CDC	2414727	Actif	2016-10-19	52,97	Visible Gold (100%)
SNRC 33A01	CDC	2414728	Actif	2016-10-19	52,96	Visible Gold (100%)
SNRC 33A01	CDC	2414729	Actif	2016-10-19	52,96	Visible Gold (100%)
SNRC 33A01	CDC	2414730	Actif	2016-10-19	52,96	Visible Gold (100%)
SNRC 33A01	CDC	2414731	Actif	2016-10-19	52,96	Visible Gold (100%)
SNRC 33A01	CDC	2414732	Actif	2016-10-19	52,96	Visible Gold (100%)
SNRC 33A01	CDC	2414733	Actif	2016-10-19	52,95	Visible Gold (100%)
SNRC 33A01	CDC	2414734	Actif	2016-10-19	52,95	Visible Gold (100%)
SNRC 33A01	CDC	2414735	Actif	2016-10-19	52,95	Visible Gold (100%)
SNRC 33A01	CDC	2414736	Actif	2016-10-19	52,95	Visible Gold (100%)
SNRC 33A01	CDC	2414737	Actif	2016-10-19	52,94	Visible Gold (100%)
SNRC 33A01	CDC	2414738	Actif	2016-10-19	52,94	Visible Gold (100%)
SNRC 33A01	CDC	2414739	Actif	2016-10-19	52,80	Visible Gold (100%)
SNRC 33A01	CDC	2414740	Actif	2016-10-19	52,80	Visible Gold (100%)
SNRC 33A01	CDC	2414741	Actif	2016-10-19	52,79	Visible Gold (100%)
SNRC 33A01	CDC	2414742	Actif	2016-10-19	52,78	Visible Gold (100%)
SNRC 33A01	CDC	2414743	Actif	2016-10-19	52,79	Visible Gold (100%)
SNRC 33A01	CDC	2415969	Actif	2016-11-10	52,97	Visible Gold (100%)
SNRC 33A01	CDC	2417375	Actif	2016-11-30	53,01	Visible Gold (100%)
SNRC 33A01	CDC	2417376	Actif	2016-11-30	53,01	Visible Gold (100%)
SNRC 33A01	CDC	2417377	Actif	2016-11-30	53,00	Visible Gold (100%)
SNRC 33A01	CDC	2417378	Actif	2016-11-30	53,00	Visible Gold (100%)
SNRC 33A01	CDC	2417379	Actif	2016-11-30	52,89	Visible Gold (100%)
SNRC 33A01	CDC	2417380	Actif	2016-11-30	52,88	Visible Gold (100%)
SNRC 33A01	CDC	2417381	Actif	2016-11-30	52,86	Visible Gold (100%)
SNRC 33A01	CDC	2422707	Actif	2017-02-04	53,03	Visible Gold (100%)
Total 33A01		425			22 490,64	ha
SNRC 33A08	CDC	2292032	Actif	2017-05-24	52,53	Visible Gold Mines (60%) et Telos Geoservices (40%)
SNRC 33A08	CDC	2292033	Actif	2017-05-24	52,53	Visible Gold Mines (60%) et Telos Geoservices (40%)
SNRC 33A08	CDC	2292034	Actif	2017-05-24	52,53	Visible Gold Mines (60%) et Telos Geoservices (40%)
SNRC 33A08	CDC	2292035	Actif	2017-05-24	52,52	Visible Gold Mines (60%) et Telos Geoservices (40%)
SNRC 33A08	CDC	2292036	Actif	2017-05-24	52,52	Visible Gold Mines (60%) et Telos Geoservices (40%)
SNRC 33A08	CDC	2292037	Actif	2017-05-24	52,52	Visible Gold Mines (60%) et Telos Geoservices (40%)
SNRC 33A08	CDC	2292038	Actif	2017-05-24	52,52	Visible Gold Mines (60%) et Telos Geoservices (40%)
SNRC 33A08	CDC	2292039	Actif	2017-05-24	52,51	Visible Gold Mines (60%) et Telos Geoservices (40%)

Feuillet	Type de titre	No titre	Statut du titre	Date d'expiration	Superficie (ha)	Détenteur(s)
SNRC 33A09	CDC	2419718	Actif	2016-12-09	52,43	Visible Gold Mines (60%) et Telos Geoservices (40%)
SNRC 33A09	CDC	2419719	Actif	2016-12-09	52,43	Visible Gold Mines (60%) et Telos Geoservices (40%)
SNRC 33A09	CDC	2419723	Actif	2016-12-09	52,42	Visible Gold Mines (60%) et Telos Geoservices (40%)
SNRC 33A09	CDC	2419724	Actif	2016-12-09	52,42	Visible Gold Mines (60%) et Telos Geoservices (40%)
SNRC 33A09	CDC	2419725	Actif	2016-12-09	52,42	Visible Gold Mines (60%) et Telos Geoservices (40%)
SNRC 33A09	CDC	2419726	Actif	2016-12-09	52,42	Visible Gold Mines (60%) et Telos Geoservices (40%)
SNRC 33A09	CDC	2419727	Actif	2016-12-09	52,42	Visible Gold Mines (60%) et Telos Geoservices (40%)
SNRC 33A09	CDC	2420401	Actif	2016-12-22	52,45	Visible Gold Mines (60%) et Telos Geoservices (40%)
SNRC 33A09	CDC	2420402	Actif	2016-12-22	52,44	Visible Gold Mines (60%) et Telos Geoservices (40%)
SNRC 33A09	CDC	2420403	Actif	2016-12-22	52,43	Visible Gold Mines (60%) et Telos Geoservices (40%)
Total 33A09		103			5 395,08	ha
Total 22M13		28			1 448,90	ha
Total 23D04		1			52,85	ha
Total 32P09		10			533,72	ha
Total 32P15		18			959,13	ha
Total 32P16		494			26 256,72	ha
Total 33A01		425			22 490,64	ha
Total 33A08		178			9 356,74	ha
Total 33A09		103			5 395,08	ha
Grand total		1 257			66 493,78	ha

Annexe II :

Carte des titres miniers

NUMÉRIQUE

Page(s) de dimension(s) hors standard numérisée(s) et positionnée(s) à la suite des présentes pages standard

DIGITAL FORMAT

Non-standard size page(s) scanned and placed after these standard pages

Annexe III :

Compilation des forages

NUMÉRIQUE

Page(s) de dimension(s) hors standard numérisée(s) et positionnée(s) à la suite des présentes pages standard

DIGITAL FORMAT

Non-standard size page(s) scanned and placed after these standard pages

Annexe IV :

Cartes (3) de localisation des échantillons

NUMÉRIQUE

Page(s) de dimension(s) hors standard numérisée(s) et positionnée(s) à la suite des présentes pages standard

DIGITAL FORMAT

Non-standard size page(s) scanned and placed after these standard pages

Annexe V :

Notes de terrain

Notes de terrain - Extension 167

Géologue	Station	Estant (Nad83Z18)	Nordant (Nad83Z18)	Présentation	Roche hôte	Minéralisation	Description
M. Lacey	61751	689 443	5 738 839	Bloc	M12 / S1		Quartzite (S3 très mature) lég. Rosâtre montrant 50% de grains sub-arrondis à sub-anguleux (ou saccharoïde). Non MAG, aucun Su. Plusieurs blocs dans le secteur et l'eau coule sous les blocs
M. Lacey	61752	689 294	5 738 835	Affleurement	S9B		Fortement MAG sur le 2/3 nord de l'affl. Formation de fer oxydée, de couleur noire, de dureté élevée. Qq STW Qz blanc, cmétriques avec pendage 78-85° vers le sud. Mt très fine à APH. 1% Py <1mm et 1-2% lamines mmétriques siliceuses (cherteuses), leucocrates.
M. Lacey	61753	689 228	5 738 870	Affleurement	-	VEI Qz	Aspect marbré, grisâtre à blanchâtre contenant 30-40% de taches noirâtres, mm, floues, non MAG, de dureté élevée (TI(?)). Il semble que le Qz vienne recouper la TI.
M. Lacey	61754	689 214	5 738 864	Affleurement	I4P		Pyroxénite, grains fins, non MAG contenant 20% Hm(?) (spécularite) ±jointifs, laminés et 1-2% Py automorphe.
M. Lacey	61755	689 214	5 738 864	Affleurement	I4P Amp-		Similaire à 61754. 5% Su au total (Po=Py) en micro-veinules. 20% d'Am aciculaires vert moyen à foncé. Roche MAG-à MAG. 5-7% STW QzCb.
M. Lacey	61756	689 214	5 738 864	Affleurement	-	VEI Qz	Même VEI qu'en 61753. Qz grisâtre à jaunâtre (Lim) au niveau des FRA. 15% d'amas noirâtres mmétriques à cmétriques et dans des FRA montrant des contacts gén. mal définis. Aucun Su, non MAG. 20cm de puissance.
M. Lacey	61757	689 192	5 738 854	Affleurement	I4 FIN		Pyroxénite. Grains fins, non MAG, 2-3% STW ,1mm de Qz ± Lim. Aucun Su, non MAG.
M. Lacey	61758	689 193	5 738 850	Affleurement	I4 APH		Noirâtre, dureté élevée, d'aspect assez MAS. 1-2% Py, Tr. Po(?) (très lég. MAG) 1-2% STW Qz beiges, irrég.
M. Lacey	61759	692 808	5 775 168	Bloc	I3A Bio		Gabbro amphibolitisé FOL moyennement MAG. 45-58% de Bo noirâtre 2-3mm, pseudo gneissique (ségrévés dans les plans mmétriques à quasi cmétriques mais les cristaux à l'intérieur ne sont pas disposés sous forme de schistes). 50% de pâte Qz-Fp grisâtre à blanchâtre aphanitique, de dureté élevée. 1-2% Po, Tr. à 1% Py automorphe et rares Tr. Cp toutes diss. D'après le son, gros bloc enfoui semblant être métrique à décimétrique sur la crête d'un till.
L. Grenier	61760	695 814	5 817 460	Bloc	M15 Sil+	Po13Py05Cp02	Bloc sub-arrondi de roche métasomatisée en silice riche en sulfure. 40%Qz, 20%Gn, 20%Gr, 20%Su. Granulométrie aphanitique à fine, textures laminée, bréchique avec 20% de porphyroblaste de grenats et une veine de quartz centimétrique. Silicification pervasive forte et altération alumineuse moyenne en veinules. Pyrrhotite en stringers millimétriques à centimétriques, pyrite en placage et chalcopryrite disséminée avec la pyrrhotite et la grunérite. Conducteur

Notes de terrain - Extension 167

Géologue	Station	Estant (Nad83Z18)	Nordant (Nad83Z18)	Présentation	Roche hôte	Minéralisation	Description
L. Grenier	61761	695 937	5 817 427	Bloc	S10	Py10Po05	Bloc sub-anguleux de cherts sulfuré. 55%Qz, 15%Pg, 15%Gp, 15%Su. Granulométrie fine, textures homogène schisteuse avec des veinules de quartz fumé millimétriques. Silicification moyenne en veinules. Pyrite et pyrrhotite finement disséminées dans la schistosité. Pyrrhotite magnétique. Conducteur.
L. Grenier	61762	695 736	5 816 694	Affleurement	I2H MOYFOL		Monzodiorite. 75%Pg, 20%Hb, 3%Fk, 2%Qz. Granulométrie moyenne, textures homogène, foliée avec 10% d'amas de hornblende de 3 millimètres et 1% de veine de quartz hétérogène millimétrique. Altération potassique pervasive faible et silicification en veinule faible.
L. Grenier	61763	695 453	5 817 093	Bloc	S9	Mt30Po07Py03Cp01	Bloc sub-anguleux de formation de fer oxydé. 49%Cx, 30%Ox, 11%Su, 10%Qz. Granulométrie fine, textures homogène, rubannée avec une veine de quartz de 2 centimètres de puissance. Silicification en veine. Pyrrhotite dans la schistosité, pyrite en placage à la veine et chalcopyrite finement disséminée. La magnétite est en matrice aux sulfures. Conducteur et magnétique.
L. Grenier	61764	695 458	5 817 103	Bloc	M15 LAMSCH Sil+	Po10Py05 STW Qz	Bloc sub-anguleux de roche métasomatisée en silice. 45%Qz, 25%Am, 15%Pg, 15%Su. Granulométrie fine, textures laminée, granoblastique avec 10% de veines de quartz. Silicification forte en veines. Pyrrhotite en strigners dans la schistosité et pyrite en placage aux veines. Pyrrhotite magnétique. Conducteur.
L. Grenier	61765	695 461	5 817 118	Bloc	S9B RUBSCH	Po05Py05Cp01	Bloc anguleux de formation de fer oxydé. 40%Ox, 30%Qz, 20%Cx, 10%Su. Granulométrie aphanitique à fine, textures rubannée et schisteuse. Silicification forte en veinules. Pyrrhotite et chalcopyrite disséminée, pyrite en placage. Conducteur et magnétique.
L. Grenier	61766	695 577	5 817 130	Bloc	S10 FINSCH	Po05Py02Cp01	Bloc sub-anguleux de chert sulfuré. 49%Qz, 30%Pg, 7%Ph, 7%Gp, 7%Su. Granulométrie fine, textures granoblastique, équigranulaire, schisteuse et homogène. Les sulfures sont finement disséminés dans la schistosité. Conducteur.
L. Grenier	61767	695 573	5 817 136	Bloc	S9E	Po30Py10	Bloc sub-anguleux de sulfure semi-massif. 40%Qz, 20%Am, 40%Su. Granulométrie grossière, textures granoblastique, très oxydé avec une veine de quartz centimétrique. Silicification forte en veines. Pyrrhotite et pyrite en amas. Conducteur.
L. Grenier	61768	695 651	5 817 221	Bloc	S10	Po5	Bloc anguleux de chert. 75%Qz, 15%Pg, 5%Su, 5%Gp. Granulométrie fine, textures schisteuse, homogène et granoblastique. Pyrrhotite finement disséminée dans la schistosité. Conducteur.

Notes de terrain - Extension 167

Géologue	Station	Estant (Nad83Z18)	Nordant (Nad83Z18)	Présentation	Roche hôte	Minéralisation	Description
L. Grenier	61769	695 652	5 817 241	Bloc	M15 MOYRUB Sil+	Po13Py05Cp02	Bloc sub-anguleux de roche métasomatisée en silice. 45%Qz, 30%Am, 20%Su, 5%Gr. Granulométrie moyenne, textures hétérogène, rubannée avec 5% de porphyroblastes de grenat de 5 millimètres et 5% de veinules de quartz centimétrique. Silicification forte en veinules et pervasive. Pyrrhotite en stringers, pyrite en placage aux épontes des veines et chalcopryrite dans les fractures des veines associées à la pyrrhotite. Conducteur.
L. Grenier	61770	695 652	5 817 241	Bloc	M15 MOYRUB Sil+	Po13Py05Cp02	Bloc sub-anguleux de roche métasomatisée en silice. 45%Qz, 30%Am, 20%Su, 5%Gr. Granulométrie moyenne, textures hétérogène, rubannée avec 5% de porphyroblastes de grenat de 5 millimètres et 5% de veinules de quartz centimétrique. Silicification forte en veinules et pervasive. Pyrrhotite en stringers, pyrite en placage aux épontes des veines et chalcopryrite dans les fractures des veines associées à la pyrrhotite. Conducteur et deux autres à proximité non déterrés.
L. Grenier	61771	695 717	5 817 314	Bloc	M15 MOYRUB Lim+Sil+	VEI QzPo15Py05Cp05	Bloc sub-arrondi de roche métasomatisée en silice. 50%Qz, 25%Am, 25%Su. Granulométrie moyenne, textures hétérogène, granoblastique et très oxydé. Silicification forte pervasive. Pyrrhotite semi-massive, pyrite en placage et chalcopryrite en amas dans les fractures de la veine de quartz.
L. Grenier	61772	695 659	5 818 477	Bloc	I1D	Py05Cp01	Bloc anguleux de tonalite. 40%Pg, 15%Qz, 15%Ep, 15%Cl, 10%Bo, 5%Su. Granulométrie moyenne, textures homogène et faiblement foliée. Épidotisation moyenne en grain disséminés et chloritisation moyenne pervasive. Pyrite surtout finement disséminée mais aussi en stringers millimétriques.
L. Grenier	61773	695 473	5 817 766	Affleurement	F1	Po50Py20Cp01	Sulfure massif. 70%Su, 20%Qz, 10%Am. Granulométrie fine, textures homogène, bréchiq avec des clastes de quartz centimétriques arrondis. Pyrrhotite massive, pyrite souvent idiomorphe et chalcopryrite disséminée associée au quartz. Gros gossan au nord de la montagne, dynamité.
L. Grenier	61774	694 472	5 817 949	Affleurement	M15 Sil+	Py15Cp01	Roche métasomatisée en silice. 65%Qz, 20%Am, 15%Su. Granulométrie aphanitique, textures rubannée, homogène. Bande silicifiée collée sur les sulfures massif. Pyrite idiomorphe dans la silice et en placage dans les fractures. Chalcopryrite en placage.
L. Grenier	61775	694 475	5 817 949	Affleurement	F2	Po20Py10	Sulfure semi-massif. 40%Qz, 30%Am, 30%Su. Granulométrie fine, texture homogène. Silicification forte pervasive. Pyrrhotite en "net texture", Pyrite idiomorphe disséminée et chalcopryrite finement disséminée.

Notes de terrain - Extension 167

Géologue	Station	Estant (Nad83Z18)	Nordant (Nad83Z18)	Présentation	Roche hôte	Minéralisation	Description
L. Grenier	61776	694 475	5 817 950	Affleurement	F1	Po50Py20Cp05	Sulfure massif. 75%Sf, 10%Am, 5%Cl. Granulométrie fine, texture massive, laminée, bréchique avec 2% d'amas de quartz arrondi centimétrique. Silicification forte pervasive et chloritisation moyenne dans les fractures. Pyrrhotite en remplacement de la pyrite, pyrite idiomorphe avec la chorite et chalcopyrite disséminée associée aux quartz.
L. Grenier	61777	696 206	5 818 302	Bloc	M8	Py10Gp	Bloc sub-anguleux de schiste à graphite. 55%Qz, 20%Gp, 15%Am, 10%Su. Granulométrie fine, textures schisteuse et homogène. Pyrite en stringers dans schistosité et remobilisé en placage dans les fractures. Conducteur
L. Grenier	61778	696 277	5 819 133	Bloc	S2	Py01Po01	Bloc arrondi de métagrès. 73%Qz, 15%Bo, 5%Sr, 5%Mv, 2%Su. Granulométrie fine, textures schisteuses, homogène et granoblastique. Silicification faible pervasive. Pyrite finement disséminée et pyrrhotite en amas millimétrique.
L. Grenier	61779	696 195	5 819 524	Bloc	M3	Py01Po01	Bloc sub-anguleux d'orthogneiss. 55%Qz, 20%Pg, 15%Hb, 8%Bo, 2%Su. Granulométrie grossière, textures schisteuse, granoblastique et homogène. Pyrite et pyrrhotite finement disséminées dans la schistosité.
L. Grenier	61780	696 206	5 819 620	Bloc	M15	Py03Po02Cp01	Bloc sub-arrondi de roche métasomatisée en silice. 50%Pg, 40%Qz, 5%Bo, 5%Su. Granulométrie grossière, textures hétérogène, granoblastique et massive. Silicification moyenne pervasive. Sulfures finement disséminés. Ressemble à un morceau de veines.
L. Grenier	61781	696 101	5 820 470	Bloc	M8 PhSr	Py02	Bloc sub-anguleux de schiste à phlogopite et séricite. 60%Qz, 15%Sr, 15%Ph, 8%Pg, 2%Su. Granulométrie moyenne, textures schisteuse, hétérogène et oxydé. Séricitisation moyenne pervasive. Pyrite disséminée dans la schistosité.
L. Grenier	61782	696 767	5 821 973	Bloc	I1N	Py01	Bloc arrondi de veine de quartz. 85%Qz, 15%Sr. Granulométrie fine, textures homogène, massive avec 2% d'injections millimétrique que quartz fumé.
L. Grenier	61783	696 666	5 822 156	Bloc	I4? Chl-	Py01	Bloc sub-anguleux de roche ultramafique. 55%Px, 30%Pg, 15%Cl ou autre minéraux noir. Granulométrie fine, textures homogène, massive avec 2% de plan chloritisé millimétrique. Chloritisation rétrograde faible. Pyrite finement disséminée.
L. Grenier	61784	696 632	5 823 177	Bloc	I1N	Py01	Bloc arrondi de veine de quartz. 90%Qz, 10%Sr, Trace de Fu et Sf. Granulométrie aphanitique, texture homogène, massive, couleur verdâtre avec un cisaillement rempli de séricite. Séricitisation en veinule moyenne. Pyrite idiomorphe associée à la séricite.
L. Grenier	61785	697 919	5 821 935	Bloc	I2J	Py01	Bloc sub-arrondi de diorite. 50%Pg, 30%Am, 20%Qz. Granulométrie fine, textures homogène, schisteuse. Pyrite très finement disséminée dans la schistosité.

Notes de terrain - Extension 167

Géologue	Station	Estant (Nad83Z18)	Nordant (Nad83Z18)	Présentation	Roche hôte	Minéralisation	Description
L. Grenier	61786	699 048	5 821 704	Bloc	M4	Py01	Bloc sub-arrondi de métassédiment. 75%Qz, 15%Bo, 9%Am, 1%Gr. Granulométrie grossière, textures granoblastique, schisteuse avec 2% de leucosome centimétriques. Pyrite en amas avec le leucosome.
L. Grenier	61787	694 465	5 774 580	Affleurement	M3 - M16 MOY SCH Chl	Py01	Amphibolite gneissique. 55%Am, 25%Pg, 15%Qz, 4%Cl, 1%Sf. Granulométrie moyenne, textures granoblastique, rubannée, schisteuse avec 2% de leucosomes de 3 millimètres de puissance. Chloritisation rétrograde des amphiboles. Pyrite en amas de 5 millimètres aux contacts des leucosomes.
L. Grenier	61788	694 609	5 774 960	Affleurement	M3 - M16 MOY SCH Epi-	Py01	Amphibolite gneissique. 50%Am, 30%Pg, 15%Qz, 5%Bo. Granulométrie moyenne, textures granoblastique, schisteuse avec 10% de leucosomes plissés. Épidotisation faible en amas dans les joints associé à la veine de quartz. Pyrite disséminée dans la veine de quartz de 5 millimètres de puissance.
L. Grenier	61789	695 267	5 776 153	Bloc	M3 - M16 MOY SCH	Py01	Bloc sub-arrondi d'amphibolite gneissique. 50%Am, 25%Pg, 15%Bo, 10%Qz. Granulométrie moyenne, textures granoblastique, hétérogène, schisteuse avec 5% de leucosomes. Pyrite en amas au contact du leucosome.
L. Grenier	61790	688 715	5 739 626	Affleurement	I2J MOY	Sp?	Diorite. 70%Pg, 15%Hb, 10%Cl, 3%Ac, 2%Qz. Granulométrie moyenne, texture homogène, massive avec 2% de veines foncées. Chloritisation rétrograde des amphiboles faible. Les minéraux foncés composant la veine sont peut-être de la sphalérite.
L. Grenier	61791	688 824	5 739 678	Affleurement	M16 - V3B MOYMAS Amp	Py01Mt01	Basalte amphibolitisé. 60%Am, 40%Pg, trace de Sf. Granulométrie moyenne, textures homogène et massive.
É. C-Lavoie	61801	689 509	5 738 865	Bloc	I3A Chl-Sil-		Gabbro. Épi, Chl-Sil-, 1% Py. Bloc sub-arrondi
É. C-Lavoie	61802	689 392	5 738 837	Affleurement	S9B/S9D AnkSil		60% S9B, 40% S9D. Ank(?) et Sil. Qz STW Qz mmétriques.
É. C-Lavoie	61803	689 338	5 738 842	Affleurement	S9B/S9D/S9E Sil-		S9, faiblement silicifiée, 2-3% Py très finement diss. Litage et FRA Lim E-O. Une bande 5cm SCH-
É. C-Lavoie	61804	689 202	5 738 853	-	S9 Sil	Py	Py semi-massive sous forme de lits, diss. et d'amas allongés selon l'axe E-O et visibles sur 3,5m de long selon le même axe. Sil associée.
É. C-Lavoie	61805	689 108	5 738 826	Bloc	M16		Bloc sub-anguleux de M16 lég. Chl avec Tr-1% Py dans STW Qz. Seul bloc M16, les autres sont de composition I1-I2.
É. C-Lavoie	61806	689 063	5 738 855	Affleurement	V1; PORQb Sej-Sil-		Tuf felsique à cristaux, 5% de Qz/Qb. Faiblement Sil et Séj
É. C-Lavoie	61807	688 913	5 739 156	Bloc	V3/I3A Amp-Chl-		Bloc sub-anguleux de Gabbro-Basalte lég. Amp et Chl. Texture gabbroïque à grains moyens, arrondis. Py très finement diss.
É. C-Lavoie	61808	688 686	5 738 835	Affleurement	V1/V2 MAS; PORQb	VEI Qz	VEI Qz dans V1 PORQz Chl-Sil-.
É. C-Lavoie	61809	688 796	5 738 727	Affleurement	S9B Sil		Zone oxydée, FRA, moyennement Sil. Tr à 1% Py.
É. C-Lavoie	61810	688 785	5 738 694	Affleurement	S9B	Su	Formation de fer avec lits de Su <5cm, Tr Py.

Notes de terrain - Extension 167

Géologue	Station	Estant (Nad83Z18)	Nordant (Nad83Z18)	Présentation	Roche hôte	Minéralisation	Description
É. C-Lavoie	61811	688 851	5 738 649	Affleurement	S9B		S9B d'attitude env. E-O, Tr. Py.
É. C-Lavoie	61812	688 798	5 738 622	Affleurement	V3 FIN Chl-		Basalte à grains fins, lég. Chl. Tr – 1% Po en veinules et/ou amas.
É. C-Lavoie	61813	688 712	5 738 396	Bloc	V3 Chl-		Bloc anguleux à sub-anguleux de basalte non MAG, lég. Chl. 3% Po diss.
É. C-Lavoie	61814	689 114	5 738 289	Bloc	S9B	Su02	Bloc anguleux à sub-anguleux de formation de fer avec lits de Su cm, 1-3% Su disséminés
É. C-Lavoie	61815	688 641	5 738 158	Bloc	V3 FIN Chl-Amp	Su01	Bloc sub-anguleux MAG, très chloritisé et amphibolitisé, à grains très fins, avec amas et dissémination de Cpy, Po et Py. Bloc arrondi dans un champ de blocs (Photo DSCF0083 et 61816-01). Tr. À 1% Py dans les fractures. Biotite et grenats dans le bloc.
É. C-Lavoie	61816	689 598	5 738 274	Bloc	V3 Lim	Py01	VEI Qz-Mt millimétriquesz. Tr. Py. Aff Ed0033
É. C-Lavoie	61817	688 951	5 740 183	Affleurement	VEI Qz		Veines de quartz en tension 10cm de largeur
É. C-Lavoie	61818	688 796	5 740 092	Affleurement	VEI Qz		
É. C-Lavoie	61819	688 792	5 740 094	Affleurement	VEI Qz		Veine de quartz blanchâtre sigmoïde dans une unité basaltique
É. C-Lavoie	61820	688 792	5 740 092	Affleurement	VEI Qz		Veine de quartz blanchâtre sigmoïde dans une unité basaltique qui varie de direction E-O vers N-S (photo 61820-02)
É. C-Lavoie	61821	688 604	5 740 007	Affleurement	V3B COU	Py01	Bordures de coussin avec 1% Py diss, rouillées
É. C-Lavoie	61822	688 609	5 740 005	Affleurement	V3B COU	Py02	Bordures de coussin avec 1% Py diss, rouillées
É. C-Lavoie	61823	687 692	5 739 861	Affleurement	I3	Py01	Gabbro magnétique avec 1% PY disséminée
É. C-Lavoie	61824	688 938	5 740 229	Affleurement	SSM Sil+Chl+	PY30Cp03	Contact entre corps et roches volcaniques encaissantes. PY surtout en fractures ou veinules dans l'encaissant, massive à semi-massive avec des stringers et dissémination de Cpy dans le corps minéralisé. 20-40% Py, 2-5% Cp
É. C-Lavoie	61825	688 936	5 740 227	Affleurement	SSM Sil+Chl+	PY30Cp03	Centre du corps minéralisé. Py surtout massive à semi-massive avec des stringers et dissémination de Cpy dans le corps minéralisé. 20-40% Py, 2-3% Cp et Tr. As
É. C-Lavoie	61826	688 939	5 740 232	Affleurement	SSM Sil+Chl+	Py40Cp02As02	Contact entre corps et roches volcaniques encaissantes. Py massive à semi-massive avec des stringers et dissémination de Cpy dans le corps minéralisé, augmentation de la proportion d'AsPy. 25-50% Py, 1-3% As, 2% Cp et Tr. Mt
É. C-Lavoie	61827	688 941	5 740 230	Affleurement	SSM Sil+Chl+	Py40As05Cp02	Fin du corps minéralisé (pincing). Très altéré (ferreux). Py massive à semi-massive grossière avec disséminations de Cp. Traces de Bornite dans le corps minéralisé, augmentation de la proportion d'AsPy et à grains plus grossiers. 25-50% Py, 5% As, 2% Cp, Tr. Bo et Tr. Mt
É. C-Lavoie	61828	696 434	5 818 151	Bloc	M16	Py02Po02	Stringer/veinules de Po+Py dans une amphibolite très schisteuse. Sulfures très fins

Notes de terrain - Extension 167

Géologue	Station	Estant (Nad83Z18)	Nordant (Nad83Z18)	Présentation	Roche hôte	Minéralisation	Description
M. Lacey	61829	696 486	5 820 136	Bloc	SSM Sil+	Py64Po05Cp01	70% de sulfures (64% Py automorphe 2-3mm et en amas quasi centimétriques, 5% de pyrrhotine et des traces de chalcopryrite-bornite) l'encaissant est grisâtre siliceux et dure. Aucune idée du protolite, zone silicifiée.
É. C-Lavoie	61830	688 942	5 740 228	Affleurement	SSM Sil+Chl+	PY40As01Cp01	Centre du corps minéralisé. Py surtout massive à semi-massive avec des stringers et dissémination de Cp dans le corps minéralisé. 20-60% Py, Tr- 1% AsCp
É. C-Lavoie	61831	688 316	5 740 338	Affleurement	VEI Qz-Chl		Veine de Quartz sans sulfures, légèrement rouillée, localement roche en chlorite
É. C-Lavoie	61832	688 320	5 740 334	Affleurement	VEI Qz		Veine de Quartz sans sulfures, légèrement fumée. Continuité de la veine de l'échantillon 61831, mais déplacée par une faille sur 20 cm.
É. C-Lavoie	61833	687 921	5 740 382	Affleurement	I3A MOY Chl-	Po02	Gabbro fortement magnétique à grains moyens avec amas mmétriques de Po (Max 2%) disséminés
É. C-Lavoie	61834	687 745	5 740 403	Affleurement	V3; Chl-	Py08	Roche volcanique avec 5-10% Py disséminée ou en micro-veinules finement et de façon homogène dans la roche au contact d'une fracture sub-v verticale d'orientation N/S. Non-magnétique
É. C-Lavoie	61835	687 940	5 740 316	Bloc	I3 FINMAG	Po03Mt05	Bloc anguleux de gabbro, fracturé, très magnétique avec 2-3% de Po disséminée (90%) et en amas mmétriques (10%). La Po est très fine dans l'échantillon.
É. C-Lavoie	61836	687 748	5 740 369	Affleurement	V3 Sil+ Py	Py15	Roche volcanique à grains très fins fortement silicifiés avec 5-15% de Py disséminée finement
É. C-Lavoie	61837	687 747	5 740 401	Affleurement	V3 Sil+ Py	Py15	Roche volcanique à grains très fins fortement silicifiés avec 5-15% de Py disséminée finement
É. C-Lavoie	61838	687 742	5 740 295	Affleurement	SSM Sil+Chn+	Py70	Sulfures massifs ou semi-massifs dans une matrice de chlorite noire. Py idiomorphe à hypidiomorphe fine à grossière
É. C-Lavoie	61839	687 740	5 740 296	Affleurement	SSM Sil+Chn+	Py70	Sulfures massifs ou semi-massifs dans une matrice de chlorite noire. Py idiomorphe à hypidiomorphe fine à grossière
É. C-Lavoie	61840	687 739	5 740 295	Affleurement	SSM Sil+Chn+	Py70	Sulfures massifs ou semi-massifs dans une matrice de chlorite noire. Py idiomorphe à hypidiomorphe fine à grossière
É. C-Lavoie	61841	687 740	5 740 296	Affleurement	SSM Sil+Chn+	Py70	Sulfures massifs ou semi-massifs dans une matrice de chlorite noire. Py idiomorphe à hypidiomorphe fine à grossière
É. C-Lavoie	61842	687 731	5 740 281	Affleurement	SSM Sil+Chn+	Py70	Sulfures massifs ou semi-massifs dans une matrice de chlorite noire dans des bordures de coussins. Py idiomorphe à hypidiomorphe fine à grossière
É. C-Lavoie	61843	691 342	5 771 530	Affleurement	M Sil+Epi-	Py08	Roche métamorphique, protolite non-reconnu. Stringer de Py associés à micro-veinules de Qz (Sil+). 5-10%Py idio à hypidiomorphe, parfois disséminée. Encaissant contient fine biotite, Qz et peu de PG

Notes de terrain - Extension 167

Géologue	Station	Estant (Nad83Z18)	Nordant (Nad83Z18)	Présentation	Roche hôte	Minéralisation	Description
É. C-Lavoie	61844	691 334	5 771 519	Affleurement	M16? CIS Sil+	Py10	Amphibolite? Py 8-12% aussi en stringer et disséminée dans le dyke. Silicification pervasive. Py idiomorphe à hypidiomorphe
É. C-Lavoie	61845	691 333	5 771 518	Affleurement	-	VEI QzPy13	Une veine de Qz décimétrique (<50cm) contient 10-15% Py grossière hypidio à idiomorphe. Qz rouillé et parfois fumé. Orientation et pendage de la Vei similaire au dyke.
É. C-Lavoie	61846	691 335	5 771 515	Affleurement	M Sil+	Py08Gp01Hm01	Roche métamorphique, protolite non-reconnu. Py disséminée fine dans des zones de Sil+. 5-10%Py idio à hypidiomorphe, Hm spécularite (?) disséminée. Encaissant contient fine biotite, Qz et peu de PG. Graphite dans les fractures.
É. C-Lavoie	61847	691 335	5 771 514	Affleurement	M Sil+	Py08Gp01	Roche métamorphique, protolite non-reconnu. Py disséminée fine dans des zones de Sil+. 5-10%Py idio à hypidiomorphe, parfois disséminée. Encaissant contient fine biotite, Qz et peu de PG. Graphite dans les fractures.
É. C-Lavoie	61848	688 610	5 740 114	Affleurement	V3 COUMASHYA Chl-	Py02	Échantillon pris dans une bordure de coussin très rouillée. Py disséminée finement, idiomorphe.
É. C-Lavoie	61849	691 431	5 771 570	Bloc	M8 Sil-	Py10Gp10	Bloc arrondi (fenêtre observable) de Schiste à graphite avec Py disséminée fine, parfois jusqu'à 15%. Très légère silicification par endroits.
É. C-Lavoie	61850	693 593	5 775 083	Bloc	I3? - M16?	Py02	Bloc sub-anguleux d'amphibolite? À grains fins, Py fine disséminée (1%) et en veinules mm (1%). Système de veinules orthogonales.
L-P Richard	61851	689 390	5 738 854	Affleurement	S10	Po05Gp	Incorporation de Su dans le S10 (1-10% Po), probablement Gp ce qui explique le conducteur.
L-P Richard	61852	689 337	5 738 852	Affleurement	S10 Chl	AsPo	Cisaillement Chl avec grenat aldamantin, Tr AsPo. Clastes cmétriques de S10 grisâtre rouillé en surface d'env. 10cm.
L-P Richard	61853	689 303	5 738 778	Affleurement	S9 Sil+	Mt30	Formation de fer très silicifiée, rouillée, Tr Py très difficile à échantillonner. 10% de zones rouillées, 60% de lits de Mt et 30% chert. Plissement local.
L-P Richard	61854	689 146	5 738 599	Affleurement	I3	Po02	Intrusif mafique gris verdâtre, 2-3% Su (Po) diss. Creusé 2 pieds pour l'atteindre.
L-P Richard	61855	689 120	5 738 582	Bloc	SM	Po90Cp	Bloc anguleux complètement rouillé, Po massive très fine, 1% Cp, Mt en amas. Roche encaissante de couleur gris foncé.
L-P Richard	61856	688 228	5 738 765	Affleurement	V3 COU	PyPo	Volcanite mafique, forme de coussins avec halo hyaloclastique. Tr. Py dans une zone rouillée avec plages Po. Conducteur.
L-P Richard	61857	687 756	5 739 010	Bloc	-	VEI QzSu02	Bloc sub-anguleux, lég. rouillée avec VEI Qz contenant 1-2% PyPo.
L-P Richard	61858	687 419	5 738 735	Bloc	I4P	Po01Mt	Bloc anguleux, pyroxénite (Amphibole-Magnétite). Un lit de Mt massive de 2cm très magnétique, Tr Po disséminées.
L-P Richard	61859	687 370	5 738 400	Bloc	S9	Su02	Bloc sub-anguleux, complètement rouillé, et complètement silicifiée. 2-3% Su. Mt en plaquage.

Notes de terrain - Extension 167

Géologue	Station	Estant (Nad83Z18)	Nordant (Nad83Z18)	Présentation	Roche hôte	Minéralisation	Description
L-P Richard	61860	687 380	5 738 368	Bloc	SM	Po85Cp	Bloc anguleux enfoui. 85% Po massive, 15% de clastes de Qz (chert) arrondis, Tr Cp. Semble des SM sédimentaires, dimensions inconnues, toujours enfoui.
L-P Richard	61861	687 516	5 738 281	Bloc	V3 Sil	Po20	Bloc anguleux, rectangulaire rouillé en surface. Basalte avec veinules de Po. 70% minéraux mafiques, 20% Po et 10% zones silicifiées.
L-P Richard	61862	688 668	5 738 672	Affleurement	S9B	Mt10Po02Gp	Formation de fer, conducteur associé. 10% Mt, 2% Po, Tr. Cp. Semble silicifiée, très graphiteux.
L-P Richard	61863	688 338	5 738 500	Bloc	Lim	Po10	Bloc anguleux conducteur, rouillé, Qz, Gp?, 10% Po et Tr. Cp. Probablement issue de la S9B à proximité (61862).
L-P Richard	61864	688 306	5 738 492	Bloc	S Lim	SuCl	Bloc anguleux rouillé, se défait facilement. Méta-sédiment bizarre, horizon de quartz, Tr. Su, Tr. Cp.
L-P Richard	61865	688 280	5 738 475	Bloc	I3	Po02	Bloc sub-anguleux, intrusion mafique avec 2% Po disséminée.
L-P Richard	61866	688 285	5 738 483	Bloc	Sil	Po10Cp02	Bloc anguleux conducteur rouillé. 10% Po. Silicification présente, 2% Cp.
L-P Richard	61867	688 255	5 738 552	Bloc	M8	Py20Gp	Bloc conducteur sub-anguleux, schiste graphiteux gris, 20% Py, non MAG.
L-P Richard	61868	688 180	5 738 536	Affleurement	V2 Sil	Su15	Affleurement rouillé, très silicifié. On voit le début de l'oxydation et des Su (5-20% PyPo). Direction du contact E-O. L'encaissant semble V2? Échantillon pri dans la partie conductrice.
L-P Richard	61869	688 180	5 738 539	Affleurement	V2 Sil	Su15	Affleurement rouillé, très silicifié. On voit le début de l'oxydation et des Su (5-20% PyPo). Direction du contact E-O. L'encaissant semble V2? Échantillon pri dans la partie altérée au contact.
L-P Richard	61870	688 112	5 738 532	Affleurement	S9	VEI QzSu	Veine de Qz >50cm de puissance au contact entre une formation de fer et un basalte très oxydé au contact. Beaucoup de Su, qq Su dans la veine de Qz, présence de Cp. (LR0011)
L-P Richard	61871	688 115	5 738 532	Affleurement	S9	VEI QzPy05Cp01	Idem à 61870. 1% Cp et 5% Py en plage.(LR0011)
L-P Richard	61872	688 456	5 738 598	Bloc	S	Py01	Bloc rouillé avec Qz, 1% Py, roche méta-sédimentaire.
L-P Richard	61873	688 110	5 738 534	Affleurement	S9	VEI QzPy05Cp02	Veine de quartz de 3 cm satellite à la zone silicifiée des échantillons 70 et 71, 5% Py, 2% Cp. (LR0011)
L-P Richard	61874	688 110	5 738 534	Affleurement	S9	Su01	Basalte très fin gris foncé au contact de la zone silicifiée des échantillons 70 et 71, 1%Su disséminés.(LR0011)
L-P Richard	61875	688 111	5 738 536	Affleurement	S9	Py10	Zone cisailée au contact de la veine de QZ satellite 61873, 10% Py en stringers.(LR0011)
L-P Richard	61876	688 111	5 738 536	Affleurement	S9	Su01	Roche altérée verdâtre au contact de la veine de QZ satellite 61873, 1% Su disséminés.(LR0011)
L-P Richard	61877	688 110	5 738 543	Affleurement	S9	Py02	Horizon de silice dans la formation de fer, 2% Py, présence de Cl?
L-P Richard	61878	688 036	5 738 519	Affleurement	M8	Po02Cp01	Affleurement creusé de schiste graphiteux, 2% Po, traces Cp, micas.

Notes de terrain - Extension 167

Géologue	Station	Estant (Nad83Z18)	Nordant (Nad83Z18)	Présentation	Roche hôte	Minéralisation	Description
L-P Richard	61879	687 966	5 738 519	Affleurement	S9	Su01	Amalgame zone graphiteuse et zone silicifiée dans la formation de fer, très rouillée, échantillon sur affleurement LR0012, traces Su.
L-P Richard	61880	687 951	5 738 293	Affleurement	M15 SilChl	SuMt	Cisaillement 240/90 Sil et Chl, traces Su, Mt.
L-P Richard	61881	687 863	5 738 262	Affleurement	V3B	Su02	Zone silicifiée et rouillée conductrice de 2 X 3 m dans du basalte massif, 2% Su, explique une anomalie EM aéroportée?.
L-P Richard	61882	690 026	5 738 413	Bloc	M15	Po10Mt01	Bloc conducteur creusé, roche complètement altérée, Sil, Chl, 10 à 20% Po en veinules, 1% Mt en amas.
L-P Richard	61883	690 464	5 739 404	Affleurement	V3B	Po02	Partie conductrice dans un affleurement de V3B massif, échantillon altéré, rouillé, 2% Po, affleure sur le bord de la rivière.
L-P Richard	61884	690 274	5 740 208	Affleurement	I3B	CpMt	Amas de QZ dans LR0019, restant d'une veine, Am, Px, Bo, Mt, traces Cp.
L-P Richard	61885	690 284	5 740 142	Affleurement	V3B	Mt05	Roche MAG dans une anomalie aéroportée, 1% Py mmque idiomorphe associée à une altération silicatée, 5% Mt en stringers et disséminée.
L-P Richard	61886	687 573	5 738 407	Bloc	V2	Py05	Bloc légèrement conducteur, matrice grise, 5% sulfures argentés disséminés et suivant un trend, très rouillé, type de roche minéralisée déjà vue.
L-P Richard	61887	688 250	5 738 398	Bloc	-	Py05Cp01Po	Roche altérée grise, 5% stringers de Py et 1% plage de Cp.
L-P Richard	61888	688 352	5 738 042	Bloc	SM	Po85Cp05	Bloc sub anguleux enfoui détecté au BeepMat (5000 HFR), sulfures massifs, 85% Po, 5% Cp, 10% Qz/chert, SM déjà vu dans un autre bloc (61860).
L-P Richard	61889	688 352	5 738 246	Affleurement	V3B CIS		Affleurement V3B cisailé, zone cisailée 3 m large, mica, hornblende, silice, continuité de LR0035. Veine Qz démembrée de 3cm puissance, recoupe le CIS, aucun sulfure.
L-P Richard	61890	688 355	5 738 246	Affleurement	V3B CIS	VEI Qz	Veine Qz discontinue de 1 cm puissance, qui recoupe le CIS a 70°, 30% hornblende, micas, plagio. Même affleurement que 61889, aucun sulfure. Veine en plan horizontal.
L-P Richard	61891	688 455	5 738 393	Bloc	Sil	PoPy20	Bloc conducteur enfoui détecté au BeepMat, roche silicifiée, 10 à 20% Po/Py, dimension inconnue.
L-P Richard	61892	688 498	5 738 386	Bloc	Sil	STW Po20 VEI Qz	Bloc conducteur enfoui détecté au BeepMat, 80% Qz, 20% Po en veinules de 2 à 10 mm, Cl.
L-P Richard	61893	688 718	5 738 694	Affleurement	Sil	Su01Mt	Qz gris pâle, présence de Mt (MAG), traces de Su, partie conductrice juste à côté de l'échantillon, mais non échantillonnable.
L-P Richard	61894	688 674	5 738 702	Affleurement	Sil	Po10Gp	Affleurement conducteur déterrée, 3000 HFR, roche silicifiée au contact d'un horizon graphiteux, 10% Po qui semble associée au contact, aussi veinules Po dans Sil. Si bon résultats, bon endroit pour une pelle mécanique.

Notes de terrain - Extension 167

Géologue	Station	Estant (Nad83Z18)	Nordant (Nad83Z18)	Présentation	Roche hôte	Minéralisation	Description
L-P Richard	61895	688 487	5 738 693	Affleurement	S9 Sil	Su01Mt	Affleurement de formation de fer déterrée, horizon silicaté de 10 cm large, veine foncée non MAG, veinules Mt mmque, traces Su.
L-P Richard	61896	687 872	5 738 532	Bloc	-	STW Py03	Bloc rouillé, roche verdâtre altérée, 3% Py en veine et disséminée.
L-P Richard	61897	689 415	5 740 247	Affleurement	V3B Chl	Py05	Basalte chloritisé et légèrement silicifié, 5% Py argenté en amas et en veines, veine Qz de 5 mm de direction nord-sud dans l'affleurement, près d'anomalies EM aéroportés.
L-P Richard	61898	692 410	5 773 113	Bloc	VEI Qz		Veine de quartz blanche encaissée dans granitoïde rose, aucun sulfure.
L-P Richard	61899	692 345	5 772 290	Bloc	M22	Py05PoCp	Bloc de migmatite avec 20% de leucosome cmque avec l'une d'elle rouillée, 5% PyPo disséminée et en amas, tr Cp, 20% biotite de 1 mm à 1 cm, minéral blanc verdâtre (Pg?).
L-P Richard	61900	692 189	5 771 926	Bloc	M22	Py01	Bloc sub arrondi de migmatite, rouillée localement, veine de quartz de 2 cm, 1% Py.
L. Grenier	61901	689 340	5 738 846	Affleurement	S9D	Gp05	Formation de fer. 75% Qz, 15% Fp, 5% Sr et 5% Gp. Su diss.
L. Grenier	61902	689 213	5 738 834	Affleurement	S9B	Mt20	Formation de fer. 55% Qz, 20% Pg, 20% Mt et 5% Am. Tr Py. S9B rubannée avec des alternances de bandes de S10 d'env. 3cm et de bandes de Pg-Am.
L. Grenier	61903	689 197	5 738 853	Affleurement	S9B	Mt05	Formation de fer. 85% Qz, 10% Pg et 5% Mt. Tr Py.
L. Grenier	61904	689 202	5 738 849	Affleurement	S9E	Gp10Su05	Formation de fer. 85% Qz, 10% Gp, 5% Po et Tr Cp. Il s'agit du faciès (shale) le plus minéralisé, localisé au nord de l'affleurement.
L. Grenier	61905	689 159	5 738 762	Affleurement	S9B	Mt05Py05	Formation de fer. 85% Qz, 10% Pg et 5% Mt. En.v 5% Py diss.
L. Grenier	61906	688 625	5 738 930	Affleurement	V2 Ser		Andésite séricitisée. 75% Fp, 20% Qz, 5% Sr et Tr. Ep. Alt. Intégrale en Sr. Tr Py.
L. Grenier	61907	688 627	5 738 929	Affleurement	V3	VEI Qz	Veine de quartz avec Tr Py et 2 clastes Épi. La veine se retrouve entre les 2 types de volcanite.
L. Grenier	61908	688 301	5 738 617	Affleurement	S9B	Mt13Gp02Py02	Formation de fer. 63% Qz, 15% Fp, 15% Mt. Minéralisation : 13% Mt et Py 2%. Des poches et des lits de Gp sont associés à la Py.
L. Grenier	61909	688 282	5 738 522	Affleurement	V2		Volcanite intermédiaire. 80% Pg, 10% d'Am et 10% Qz. 1% Py dans les fractures.
L. Grenier	61910	688 574	5 738 194	Bloc	S10D	Po30Cp05	Chert sulfuré. 65% Qz et 35% Su nodulaires (30% Po en nodules et 5% Cp en placages et FRA recoupant les nodules)..
L. Grenier	61911	687 804	5 738 986	Bloc	V3 Sil	Po01	Bloc sub-anguleux de basalt. 80%Am, 15%Pg, 25%Qz, Su en trace. Injection de 5cm fortement silicifié
L. Grenier	61912	687 809	5 738 970	Bloc	S9B	Mt05Po02	Bloc anguleux de formation de fer. 93%Qz, 5%Mt, 2%Su. Magnétique au Beepmat
L. Grenier	61913	687 783	5 738 784	Bloc	M16	Po2Py01	Bloc anguleux de basalt amphibolitisé. 84% Am, 10% Pg, 3% Cb, 3% Su. Magnétique avec texture aphanitique peut-être un diabase. Veinule de carbonate

Notes de terrain - Extension 167

Géologue	Station	Estant (Nad83Z18)	Nordant (Nad83Z18)	Présentation	Roche hôte	Minéralisation	Description
L. Grenier	61914	687 664	5 738 772	Bloc	M16 Sil	Py01	Bloc sub-anguleux de basalt amphibolitisé. 75%Am, 20%Pg, 5%Px. Bande d'altération siliceuse pervasive avec la minéralisation
L. Grenier	61915	687 723	5 738 796	Affleurement	M15 Sil	Po05	Conducteur pelleté à 1m de profondeur. Roche complètement silicifié. 85%Qz, 10%AM, 5% Su. Pyrrhotite en stringer mm et magnétique
L. Grenier	61916	688 211	5 738 886	Affleurement	M16	Mt02Po02	Amphibolite avec une bande silicifiée et minéralisée. 70%Am, 20%Pg, 10% Qz. Conducteur 300HFR expliqué par la Po
L. Grenier	61917	688 171	5 739 066	Affleurement	M16	Po01	Amphibolite basaltique. 75%Am, 20%Pg, 5%Gr, 1%Su. La minéralisation est finement disséminée dans tout l'unité. Les grenats sont en porphyroclastes de 5mm
L. Grenier	61918	687 664	5 738 855	Bloc	M16	Po01	Bloc anguleux d'amphibolite avec une bande plus silicifiée et minéralisée. 74%Am, 20%Pg, 25%Qz, 1%Su
L. Grenier	61919	687 610	5 738 796	Bloc	V3 Sil	Po01	Bloc sub-anguleux d'amphibolite avec des veines de quartz et de carbonates centimétrique. 80%Am, 10%Qz, 5%Pg, 5%Cb
L. Grenier	61920	688 079	5 738 822	Bloc	M16	Po01	Bloc sub-anguleux d'amphibolite. 80%Am, 15%Pg, 5%Px. Minéralisation disséminée.
L. Grenier	61921	689 881	5 738 369	Bloc	M16	Po01	Bloc sub-arrondi d'amphibolite. 88%Am, 10%Pg, 2%Cc
L. Grenier	61922	690 051	5 738 679	Bloc	-	VEI QzSrPy02Mt02	Bloc sub-anguleux d'une veine de quartz. 93%Qz, 3%Sr, 2%Su, 2%Of. Trouvé dans champ de bloc avec d'autre similaire
L. Grenier	61923	690 052	5 738 682	Bloc	-	VEI QzSrPy03Mt02	Bloc sub-anguleux d'une veine de quartz. 93%Qz, 3%Su, 2%Of, 2%Sr. Sulfure au éponte de la veine.
L. Grenier	61924	690 040	5 738 704	Bloc	M8 Sr	Cp01	Bloc sub-arrondi de schiste à séricite. 72%Sr, 20%Qz, 5%Cl, 2%Hb.
L. Grenier	61925	690 041	5 738 713	Bloc	-	VEI QzPy01Po01	Bloc sub-anguleux de veine de quartz. 86%Qz, 10%Sr, 2%Su, 2%Bo, 1% Pyrite disséminée dans la veine.
L. Grenier	61926	688 508	5 739 786	Affleurement	V3B	SIL	Basalte amphibolitisé avec veine de quartz. 60%Am, 20%Pg, 20%Qz, Cc. Granulométrie aphanitique, textures schisteuse et hétérogène. Silicification en veine et pervasive aux épontes
L. Grenier	61927	688 236	5 739 527	Affleurement	V3B	Su1	Basalte amphibolitisé. 80%Am, 15%Pg, 2%Qz, 2%Cc, 1%Su. Granulométrie fine, textures hétérogène et hétérogène. Silicification en veinules millimétrique associées à la minéralisation en pyrrhotite et la chalcopyrite.
L. Grenier	61928	688 248	5 739 653	Affleurement	V3B	Po1	Basalte amphibolitisé. 78%Am, 20%Pg, 2%Qz, 1%Su. Granulométrie aphanitique, textures rubannée et hétérogène. Silicification en bande de 2-3 centimètre de puissance associées à la minéralisation en pyrrhotite

Notes de terrain - Extension 167

Géologue	Station	Estant (Nad83Z18)	Nordant (Nad83Z18)	Présentation	Roche hôte	Minéralisation	Description
L. Grenier	61929	688 048	5 739 571	Affleurement	V3B Amp	Po1	Basalte amphibolitisé. 75%Am, 20%Pg, 3%Cc, 2%Qz. Granulométrie fine, textures granoblastique, homogène et schisteuse. 2% d'injection millimétrique de quartz. Minéralisation disséminée dans cisaillement de 5 cm de puissance.
L. Grenier	61930	687 995	5 740 027	Affleurement	V3B Amp	Py1	Basalte amphibolitisé. 75%Am, 20%Pg, 5%Qz. Granulométrie moyenne, textures granoblastique, homogène et schisteuse. 2% amas de quartz d'environ 1 cm associés avec la pyrite.
L. Grenier	61931	687 720	5 739 365	Affleurement	V3B Amp	Po1	Basalte amphibolitisé. 75%Am, 22%Pg, 2%Qz, 1%Sf. Granulométrie fine, textures granoblastique, homogène et schisteuse. Peut-être coussiné. 2% d'amas de quartz et plagioclase. Silicification en veinules millimétriques.
L. Grenier	61932	687 683	5 739 540	Affleurement	V3B Amp	Py01	Basalte amphibolitisé. 75%Am, 20%Pg, 3%Qz, 2%Cc. Granulométrie moyenne, textures homogène, schisteuse avec 1% d'injections de quartz et de plagioclase. Silicification en veinules millimétriques. Minéralisation associée à la silicification.
L. Grenier	61933	687 498	5 739 359	Bloc	V3B MOYCOU AmpSil-	Po1	Bloc anguleux de basalte d'amphibolite. 75%Am, 22%Pg, 2%Qz, 1%Sf. Granulométrie moyenne, textures granoblastique, homogène, coussinée. Coussins de 30 X 30 centimètres. Silicification en veinules millimétriques. Pyrrhotite interstitielle aux coussins.
L. Grenier	61934	687 035	5 739 851	Bloc	M15 MOYSCH		Bloc sub-anguleux de roche métasomatisée. 98%Pg, 2%Am. Granulométrie moyenne, textures homogène et schisteux. 1% de porphyroclaste d'hornblende. 2% de veinules millimétriques de quartz recoupant la schistosité.
L. Grenier	61935	687 019	5 739 816	Bloc	V1	Cp1Po01 STW QzTm	Bloc sub-anguleux de roche felsique. 77%Pg, 20%Qz, 2%Tm, 1%Sf. Granulométrie fine, textures hétérogène, 1% porphyroblastique de quartz bleuté. Veine de quartz de 3 cm de puissance. Altération en trémolite près de la veine. Pyrrhotite en amas et chalcopryrite en veinules
L. Grenier	61936	687 019	5 739 825	Bloc	V1 FINSCH Lim-	Po1Cp01	Bloc anguleux de volcanique felsique. 80%Pg, 20%Qz, 2%Sf. Granulométrie fine, textures homogène, oxydée et schisteuse. Bande de 10 centimètres plus oxydée et 2% de quartz bleuté. Pyrrhotite en stringer et chalcopryrite disséminé.
L. Grenier	61937	687 085	5 740 096	Bloc	V1 APH SilHem-	Po01TI?	Bloc sub-anguleux de volcanite felsique. 75%Pg, 20%Qz, 5%Am, TI?. Granulométrie aphanitique, texture hétérogène. Silicification pervasive et hématisation en veinule. Pyrrhotite en trace finement disséminée. Amas noir gloméroblastique de 2 millimètres de tourmaline?

Notes de terrain - Extension 167

Géologue	Station	Estant (Nad83Z18)	Nordant (Nad83Z18)	Présentation	Roche hôte	Minéralisation	Description
L. Grenier	61938	687 057	5 740 108	Bloc	M15	TI?	Bloc anguleux métasomatisé. 70%Pg, 15%Fk, 10%Hm, 5%Ep. Granulométrie fine, textures hétérogène avec 10% d'amas métasomatisé en feldspath potassique de 2-5 centimètres arrondis. Altération potassique pervasive. Amas noir gloméroporphyrique de 2-5 millimètres arrondi, tourmaline?
L. Grenier	61939	687 065	5 740 309	Bloc	V1 FINSCH Sil-	TI02	Bloc sub-anguleux de volcanite felsique. 70%Pg, 28%Qz, 2%TI. Granulométrie fine, textures schisteuse, homogène et injecté de veinules. Silicification en veines de 2 centimètres de puissance.
L. Grenier	61940	687 098	5 740 513	Bloc	M8 Sr	STW Qz	Bloc anguleux de schiste à séricite. 75%Pg, 20%Sr, 5%Qz. Granulométrie aphanitique, textures schisteuse, 5% d'injections de quartz de 1-2 millimètres de puissance et 5% d'injections de minéraux verdâtre mou, séricite
L. Grenier	61941	687 090	5 740 508	Bloc	V1 SCH Sil	Py05M01	Bloc sub-anguleux de volcanite felsique. 69%Pg, 25%Qz, 5%Sf, 1%Mg. Granulométrie fine, textures hétérogène, schisteux avec 2 bandes de 10 centimètres de puissance sulfurées. Silicification pervasive. Pyrite en veine de 1 à 2 centimètres de puissances.
L. Grenier	61942	687 059	5 740 607	Bloc	V1 APHBRESCH	STW Hm10	Bloc anguleux de volcanite felsique bréchifiée. 60%Pg, 25%Qz, 10%Hm, 5%Cl. Granulométrie aphanitique, textures bréchique, hétérogène et 10% d'injections d'hématite. Hématite en veinules qui recoupe la schistosité.
L. Grenier	61943	687 028	5 740 679	Bloc	M8 Cl	Pyo1M01	Bloc sub-arrondi de schiste basaltique. 68%Am, 20%Cl, 10%Pg, 1%Mg, 1%Sf. Granulométrie fine, textures homogène et schisteuse avec 2% d'injections de quartz et chlorite de 2 millimètres de puissance. Chloritisation pervasive. Pyrite idiomorphe en grain disséminé.
L. Grenier	61944	687 013	5 740 776	Affleurement	M8 Sr		Schiste à séricite. 80%Pg, 20%Sr, Tc? Petit minéral brun vitreux. Granulométrie fine, texture schisteuse, homogène avec 3% d'injections talqueuse verdâtre molle. Séricitisation pervasive.
L. Grenier	61945	692 484	5 773 301	Bloc	-	VEI QzPy01	Bloc sub-arrondi de veine de quartz. 88%Qz, 10%Cb, 2%Sr. Carbonates sont dissouts. Pyrite en cristaux idiomorphes.
L. Grenier	61946	692 442	5 772 327	Bloc	M16	Py1	Amphibolite. 78%Am, 20%Pg, 2%Qz. Granulométrie grossière, texture granoblastique. 10% de leucosome pegmatitique. Bande rouillée de 10 centimètre de puissance.
L. Grenier	61947	692 061	5 772 141	Bloc	M4	Py01	Bloc sub-anguleux de paragneiss. 43%Pg, 35%Qz, 20%Bo, 2%Ep. Granulométrie fine, textures granoblastique et homogène. Bande de 10 centimètres de puissance oxydé.

Notes de terrain - Extension 167

Géologue	Station	Estant (Nad83Z18)	Nordant (Nad83Z18)	Présentation	Roche hôte	Minéralisation	Description
L. Grenier	61948	688 692	5 739 581	Affleurement	V3B SCH Amp / I1	Po01	Basalte amphibolitisé. 75%Am, 21%Pg, 2%Qz, 2%Cc. Granulométrie fine, textures hétérogène, schisteuse, granoblastique et 2% d'injections de quartz. Dyke felsique de 30 centimètres de puissance. Silicification en veinules millimétriques.
L. Grenier	61949	688 616	5 739 506	Bloc	-	VEI QzPy01	Bloc sub-anguleux de veine de quartz. 78%Qz, 15%Pg, 5%Bo, 1%Sf. Granulométrie aphanitique et texture hétérogène.
L. Grenier	61950	688 707	5 739 448	Affleurement	V3B FIN AmpSil-	Po01Cp01	Basalte amphibolitisé. 69%Am, 25%Pg, 5%Qz, 1%Sf. Granulométrie fine, textures hétérogène avec 5% d'amas plus felsique. Silicification pervasive en bande ou amas. Pyrrhotite dans les fractures
É. C-Lavoie	61951	698 234	5 818 546	Bloc	T2? SCH Sil+	Py05Mt01	Bloc sub-arrondi de méta-sédiments complètement silicifié avec 5% Py fine à moyenne en lits continus, mais généralement aussi disséminée plus finement dans l'encaissant. Quelques phénocristaux plus grossiers de Py dans les lits, rarement observée en amas. 1-2% de Mt bleutée disséminée (mag local). Veine de Qz cm rouillée recoupe le litage et la schistosité avec Py fine idiomorphe à l'intérieur.
É. C-Lavoie	61952	697 962	5 818 584	Bloc	T2? SCH Sil+	Py04	Bloc sub-arrondi de méta-sédiments complètement silicifié avec 3-5% Py fine disséminée de façon très homogène. Très similaire à 61951, mais faciès de remplacement plus prononcé.
É. C-Lavoie	61953	696 699	5 818 111	Bloc	-	Po20Py01Cp01Bn01; VEI Qz	Bloc sub-arrondi de sulfures semi-massifs avec VEI Qz cmétriques de quartz fumé. Po semi-massive accompagnée de Cp en amas mmétriques. Quelques points de Bornite (altération de fracture ou oxidation de Po?). La Cp est aussi retrouvée proximale au VEI Qz, parfois comprises à l'intérieur. Matrice à Hb fortement Chl, quelques Fp reconnus (protolite d'amphibolite?)
É. C-Lavoie	61954	698 552	5 818 940	Bloc	-	PyTr; VEI Qz	Bloc sub anguleux de Veine de Qz fortement hématisé avec Tr Py à l'intérieur. Bloc dans l'eau, encaissant difficilement reconnaissable, mais apparence d'intrusif felsique.
É. C-Lavoie	61955	697 046	5 819 016	Bloc	S Sil+	Po01PyTrGp	Méta sédiment graphiteux avec silicification bien développée. Veinules mmétriques de Po-Py (Tr.-1%) fine idiomorphe selon le litage apparent.
É. C-Lavoie	61956	696 767	5 820 083	Bloc	M1 SCH- Sil+	Py05Po02	Bloc sub-anguleux à sub-arrondi de Gneiss silicifié. Composition à QzPgBo avec Py idiomorphe disséminée (05-08%), parfois en fines veinules (stringers). Po disséminée (2%) finement. Les sulfures se concentrent selon le litage (faible schistosité apparente)

Notes de terrain - Extension 167

Géologue	Station	Estant (Nad83Z18)	Nordant (Nad83Z18)	Présentation	Roche hôte	Minéralisation	Description
É. C-Lavoie	61957	697 598	5 819 524	Bloc	M8 SCH- Sil-	Po06CpTrGp	Bloc sub-anguleux de schiste à graphite avec STW Qz lenticulaires, parfois en œillets mmétriques associés aux sulfures. 5-8%Po disséminée le long des plans de schistosité, parfois en veinules (stringers). Traces de Cp dans les veinules de Po en fins amas mmétriques.
É. C-Lavoie	61958	697 589	5 819 268	Bloc	M POBGr Sil+	Po50Py15Cp03	Bloc de sulfures massif sub-anguleux avec amas de Po massive cmétrique mélangé avec de la Py en amas cmétriques. 3-5%Cp dans l'échantillon (Bn en oxydation dans les fractures). En stringers mmétriques et amas associés à Po. Silicification forte, 10% d'œillets de Qz cm-mmétriques. Encaissant méta-sédimentaire riche en Grenats mmétriques (5%).
É. C-Lavoie	61959	697 589	5 819 268	Bloc	M8Gp Sil+	Po50Py01CpTr	Bloc sub-anguleux de schiste graphiteux silicifié avec zones à Po massive avec Tr.-1% Py, le tout en amas fins. Zones de Po plus disséminée, voire semi-massive avec Tr. Cp en amas fins.
É. C-Lavoie	61960	697 589	5 819 268	Bloc	M8 Sil+	Po25Py05Gp	Bloc sub-anguleux de schiste graphiteux silicifié avec zones à Po semi-massive avec 3-5% Py ±grossière, le tout en amas au travers de portions très oxydées. Gossan; peu de faces fraîches à étudier.
É. C-Lavoie	61961	697 589	5 819 268	Bloc	M Sil+	Po04	Bloc de Méta-sédiment(?) anguleux complètement silicifié avec 3-5% Po disséminée très fine ou en micro-veinules.
É. C-Lavoie	61962	697 589	5 819 268	Bloc	M8 Sil+	Po10Py03Cp01Gp	Bloc sub-anguleux de schiste graphiteux silicifié avec zones à Po semi-massive en stringers et disséminée avec 3% Py, le tout en amas fins. Tr.-1% Cp en amas fins associés à des veinules de Qz ou proximale au zones silicifiées.
É. C-Lavoie	61963	697 589	5 819 268	Bloc	M Sil+	Po03Gp	Bloc de Méta-sédiment(?) anguleux complètement silicifié avec 3-5% Po disséminée très fine ou en micro-veinules. Po jaunâtre dans une portion plus massive (Tr. Cp?) avec grains idiomorphes. Lentilles de Qz ou veinules de Qz mm dans la portion massive et disséminée.
É. C-Lavoie	61964	697 589	5 819 268	Bloc	M Sil+	Po05PyTrCpTr	Bloc de Méta-sédiment(?) anguleux complètement silicifié avec 5% Po disséminée très fine ou en micro-veinules. Py et Cp en traces dans les amas de Po au contact de lentilles de Qz fumé noir cmétriques.
É. C-Lavoie	61965	697 589	5 819 268	Bloc	-	Po40PyTrCpTr; VEI Qz	Bloc sub-anguleux de VEI Qz recristallisée (grains arrondis, équi-granulaires) avec Po grenue, voire nodulaire. Hb fine rouillée(?) parfois entre Qz et sulfures. Py et CpBo en Tr. sans les amas de Po.
É. C-Lavoie	61966	697 589	5 819 268	Bloc	SM Sil-	Po40Cp01Hz02Gp	Bloc de sulfures massif sub-anguleux avec amas de Po massive cmétrique contenant Tr.1%Cp Hydrozincite dans l'échantillon (oxydation dans les fractures). Silicification forte, 10% d'œillets de Qz cm-mmétriques.

Notes de terrain - Extension 167

Géologue	Station	Estant (Nad83Z18)	Nordant (Nad83Z18)	Présentation	Roche hôte	Minéralisation	Description
É. C-Lavoie	61967	697 589	5 819 268	Bloc	SM	Cp01Po45Gp	Bloc sub-anguleux de sulfures massifs/semi-masifs. Portion massives avec Po50, Tr-1%Cp en amas fins (2% max observé sur un fragment). Portions à dominance silicifiées semi-massive avec minéralisation plus disséminée Po20, CpTr. Altération en chlorite faible (ou Fuchite?) avec la silicification.
L-P Richard	61968	697 587	5 819 268	Bloc	SM	Po95Py02Cp	Bloc anguleux, Po massive (95%), 3% Py, 2% Qz-Fp, rares traces Cp, légère altération naturelle.
L-P Richard	61969	697 587	5 819 268	Bloc	Sil	Po05Cp01	Bloc anguleux, roche silicifiée, 5% veinules Po, 1% Cp, parfois incorporée dans les veinules.
L-P Richard	61970	697 587	5 819 268	Bloc	Sil	Po50PyCp	Bloc anguleux de Po semi massive, roche silicifiée, traces de Cp et Py argentée idiomorphe de 3 mm, légère altération naturelle.
L-P Richard	61971	697 587	5 819 268	Bloc	Sil	Po03	Bloc anguleux, roche silicifiée avec 2-3% Po, altération blanche sur la partie oxydée.
L-P Richard	61972	697 587	5 819 268	Bloc	SM	Po95	Bloc anguleux de sulfures massifs à Po (95%), 5% yeux de Qz, légère altération naturelle.
L-P Richard	61973	697 587	5 819 268	Bloc	M8		Petit bloc très altéré, échantillon pri sur l'encaissant de la partie conductrice trop altérée pour échantillonner, schiste légèrement silicifié, aucun sulfure.
L-P Richard	61974	697 587	5 819 268	Bloc	SM	P095Cp	Bloc anguleux de sulfures massifs à Po (95%), 5% yeux de Qz, rares traces Cp et Pg.
L-P Richard	61975	697 587	5 819 268	Bloc	M4	SuGp	Bloc anguleux de roche altérée grise graphiteuse, traces Su. Horizon graphiteux avec horizon complètement silicifié au contact, 5% Po en veinules, traces Cp en plage, 1% Qz blanc, très difficile à casser, semble un affleurement, car aucune vibration lorsque l'on frappe dessus.
L-P Richard	61976	697 587	5 819 268	Affleurement	Sil+	Po05Cp	
É. C-Lavoie	61977	688 299	5 738 615	Affleurement	S9D Sil-	Su01Gp	Formation de fer graphiteuse avec Tr-2% sulfures très finement disséminés, légère silicification
É. C-Lavoie	61978	688 299	5 738 614	Affleurement	S9D Sil+	Py01	Formation de fer graphiteuse avec Tr-2% Py très finement disséminée, forte silicification au travers d'horizons d'aspect chertoux.
É. C-Lavoie	61979	688 232	5 738 590	Affleurement	S9D Sil+	As01	Contact entre F. Fer magnétique et horizon conducteur. La photo représente l'affleurement et l'étui de l'appareil photo se trouve directement sur le contact d'orientation E-O. Forte silicification avec Tr.-2% Su (AsPy?) très argentés cubiques à rectangulaires, disséminés et parfois en stringers très fins (mmétriques).
É. C-Lavoie	61980	688 294	5 738 601	Affleurement	S9 Sil	Py01	Formation de fer avec Tr-2% Py très finement disséminés, moyenne silicification.
É. C-Lavoie	61981	688 292	5 738 605	Affleurement	S9D Sil	Py02	Formation de fer avec Tr-2% Py très finement disséminés, moyenne silicification.
É. C-Lavoie	61982	688 291	5 738 609	Affleurement	S9D Sil+	Py01	Formation de fer siliceuse avec Tr-2% Py très finement disséminée, forte silicification au travers d'horizons d'aspect chertoux.

Notes de terrain - Extension 167

Géologue	Station	Estant (Nad83Z18)	Nordant (Nad83Z18)	Présentation	Roche hôte	Minéralisation	Description
É. C-Lavoie	61983	688 488	5 738 548	Bloc	I3 - I4 SCH- Sil-	Po01	Intrusif mafique ou ultramafique avec trémolite en éventails. Po disséminée finement dans la matrice; parfois en rares stringers mmétriques qui recourent la SCH faible. Quelques rares zones avec Pg.
É. C-Lavoie	61984	688 488	5 738 548	Bloc	M8 Sil - S9	Py03AsTrCp01Gp	Formation de fer? ou Schiste avec graphite Tr-3% sulfures très finement disséminés, légère silicification. Cp avec zones à hydro-zincite(?) plus siliceuse.
L-P Richard	62001	695 882	5 815 893	Bloc	M4 LIT	Py02	Bloc sub anguleux rouillé pris dans un champ de blocs, méta-sédiments gris foncé, altéré, bien lité, lit de Py de 2 mm et 2% Py disséminée et en plaquage.
L-P Richard	62002	696 004	5 816 283	Bloc	M4 SCH-	Py	Bloc sub anguleux pris dans un champ de blocs, méta-sédiments gris IDEM à 62001, mais échantillon pris dans une partie plus fraîche, traces Py disséminée, roche légèrement schisteuse.
L-P Richard	62003	696 729	5 816 963	Bloc	M1	PyCp	Bloc anguleux pris dans un champ de bloc, gneiss non oxydé, traces de Cp et Py associé à des veinules blanches de Fp-Qz.
L-P Richard	62004	696 767	5 817 020	Bloc	M15 Sil	Py	Bloc sub anguleux pris dans un champ de blocs, roche silicifiée avec traces Py sub idiomorphe très fine (< 1 mm).
L-P Richard	62005	696 058	5 816 419	Bloc	M15	Po25Cp01	Bloc arrondi détecté en surface au BeepMat (2000 HFR), roche altérée avec 25% Po et 1% Cp, présence d'Am.
L-P Richard	62006	695 378	5 817 017	Bloc	M16 (V3B)	Py03	Bloc sub anguleux de basalte, zone noire plus amphibolisée (95% Hb) qui contient 3% Po disséminée, micro veinules perpendiculaire à la schisto.
L-P Richard	62007	695 020	5 817 128	Bloc	SM	Po75Cp01	Bloc sub arrondi détecté au BeepMat, sulfures massifs à Po, avec de traces à 1% Cp, 10-20% Qz, présence d'Am (<5%), difficile de déterminer l'encaissant.
L-P Richard	62008	694 985	5 817 170	Bloc	M16 Sil	Py10Cp	Bloc anguleux détecté au BeepMat, roche silicifiée, semble du M16, 5 à 10% Py, traces Cp, les sulfures sont disséminés selon la schisto et en veinule associé avec des Am et du Qz blanc-vert.
L-P Richard	62009	694 393	5 817 282	Affleurement	M15	Su03	Gossan de LR0140, amphibolite complètement altérée, Gr, Am, Cl?, Qz, Fp, mica blanc, 2-3% Su disséminé.
L-P Richard	62010	694 392	5 817 281	Affleurement	M16	Po05	Gossan de LR0140, amphibolite noire, 94% Hb, 1% Gr 1-2 mm xénomorphe, 5% Po.
L-P Richard	62011	694 394	5 817 274	Affleurement	V3B	Po01	Gossan de LR0140, amphibolite grise, 1% Po, Cl, veinule Qz-Fp mmque, Sil en partie.
L-P Richard	62012	694 038	5 783 878	Affleurement	M1		Horizon gneissique de 20 cm au contact du I1 principal, plus blanc à cet endroit avec quelques grains Mt, Pg-Bo-Qz granulométrie 1-2 mm, trace Py sub idiomorphe < 1 mm disséminée, GNE 055/75.
L-P Richard	62013	693 550	5 782 996	Affleurement	I1 Hem		Granitoïde altéré, passage de fluide, zone non continue, Fk, Qz, Pg, Mt, Fp altéré vert translucide et hématisation, aucun Su.
L-P Richard	62014	694 883	5 816 392	Bloc	SM Sil	VEI QzPo65Cp05Py03	

Notes de terrain - Extension 167

Géologue	Station	Estant (Nad83Z18)	Nordant (Nad83Z18)	Présentation	Roche hôte	Minéralisation	Description
L-P Richard	62015	694 608	5 816 409	Affleurement	Sil+	Py05Po03	LR0147, encaissant Sil, 2-3% Po fine endisséminée, horizon schisteux foncé de 1-2 cm contenant 5% Py jaune.
L-P Richard	62016	694 608	5 816 409	Affleurement	Sil+	Cp01	LR0147, Sil avec Po semi-massive, contient de traces à 1% Cp, 2% Qz.
L-P Richard	62017	694 608	5 816 409	Affleurement	Sil+	Su05	LR0147, Sil avec Po semi-massive, 2% Su argenté disséminé qui semble Py, (As?), veines Qz translucide discontinues, traces Gr.
L-P Richard	62018	694 608	5 816 409	Affleurement	Sil+	Su11Gp STW Qz	LR0147, Sil avec 2 à 10% Cp, 10% Po fine en lits et disséminée dans l'encaissant, 2-3% Grenat xénomorphe, horizon schisteux contenant du graphite, 5% veines Qz translucide boudinées.
L-P Richard	62019	694 342	5 816 116	Affleurement	Sil+	Py05	Horizon conducteur très silicifié avec veines Quartz translucide litée avec lit schisteux MAG, 2 à 5% Py disséminée.
L-P Richard	62020	694 342	5 816 116	Affleurement	Sil+	Py01Gp	Roche massive grise, (Gp), traces à 1% Py, 2% altération verte fuchsite.
L-P Richard	62021	694 342	5 816 116	Affleurement	Sil+	Po05Py03AsCp	Roche très chloritisée et silicifiée, 5% Po fine disséminée, 2-3% Py jaune, traces Su argenté (As), et traces Cp, veine Qz boudinée à texture sucrée.
L-P Richard	62022	694 342	5 816 116	Affleurement	Sil+	Py05	Roche moins silicifiée et très MAG, présence d'amphibole, de grenat, de chlorite avec 5% Py suivant la schisto.
L-P Richard	62023	694 342	5 816 116	Affleurement	Sil+	Su01	Roche silicifiée, hors conducteur, 2% grenat subidiomorphe, 1% Su argenté (Py).
L-P Richard	62024	694 304	5 816 063	Affleurement	Sil+	Py05	Gossan, Sil avec 5% Py, Qz translucide grisâtre à texture sucrée.
L-P Richard	62025	694 460	5 816 116	Bloc	I3A Amp	Su08	Gabbro amphibolitisé et MAG, 5-10% Po-Py disséminée et en plaquage, probablement sub en place.
L-P Richard	62026	697 326	5 818 216	Bloc	Sil CIS	Py	Bloc sub anguleux, roche blanche orangée silicifiée et cisailée, traces Py partout dans l'unité, protolite difficile à déterminer.
L-P Richard	62027	697 908	5 818 168	Bloc	Sil	Py02	Bloc sub arrondi dans un champ de bloc, collé sur le 62028, unité silicifiée et litée, rouillée non COND légèrement MAG, 1-2% Py argentée, 50% Qz translucide grisâtre à noir, 5% minéral métallique jaune foncé mou au trait noir (Py fine?), 30 à 40% Fp vert.
L-P Richard	62028	697 908	5 818 168	Bloc	Sil	Py01	Bloc arrondi légèrement rouillé dans un champ de bloc, collé sur le 62027, 95% Qz translucide grisâtre, 1% Py disséminée, 2% minéral métallique jaune foncé mou au trait noir (Py fine?), 2% Fp vert.
L-P Richard	62029	697 616	5 817 710	Affleurement	Sil CIS	Py	Affleurement sur le bord d'un lac, unité silicifiée et cisailée (semblable à 62026), traces Su mmque disséminé dans toute l'unité, aspect très changeant, CIS ondulat à environ 075/55, l'échantillon est un amalgame de 3 endroits dans l'affleurement.

Notes de terrain - Extension 167

Géologue	Station	Estant (Nad83Z18)	Nordant (Nad83Z18)	Présentation	Roche hôte	Minéralisation	Description
L-P Richard	62030	696 796	5 818 714	Bloc	M16 Lim+	Su	Bloc anguleux oxydé +++, veine irrégulière Qz-Fp-Ep avec traces Su, dans M16.
L-P Richard	62031	697 206	5 818 669	Bloc	V3B Car	Su01	Bloc anguleux, basalte massif avec veine CbQzFp, effervescent +++, 1% Su argenté.
L-P Richard	62032	697 212	5 818 701	Bloc	M16	Py01	Bloc subanguleux, oxydé +, M16 avec veinules Qz mmques, légèrement schisteux, 1% Py disséminée idiomorphe.
L-P Richard	62033	696 997	5 818 926	Bloc	-	SuGp	Bloc conducteur rouillé, horizon graphiteux avec sulfures.
L-P Richard	62034	696 989	5 818 922	Bloc	M15 Lim+	Su	Bloc sub anguleux, oxydé +++, roche altérée, silicifié, Chl, traces Su disséminé < 1 mm, légèrement conducteur, semble graphiteux.
L-P Richard	62035	696 981	5 818 925	Bloc	M4 Sil	Su	Bloc anguleux, méta-sédiments silicifiés avec traces Su disséminé < 1 mm, 5% Bo.
L-P Richard	62036	697 592	5 819 166	Affleurement	M16 - V3B Amp	Py02	Affleurement Ed0232, basalte amphibolitisé avec veine Fp blanc verdâtre à bordure micacée, 1-2% Py surtout idiomorphe disséminée et en amas, trace d'altération potassique, remob de bordures de coussin??
L-P Richard	62037	697 592	5 819 166	Affleurement	M16 - V3B Amp	-	Affleurement Ed0232, basalte amphibolitisé avec zone altérée contenant Am, Fp, Qz blanc, Gr, Ep, aucun sulfures apparent.
L-P Richard	62038	697 579	5 819 267	Bloc	SM	Po80Py05Cp01	Bloc sub arrondi à sub anguleux, très conducteur, Po massive avec 1% Cp en amas, 5% marcassite en rosette, 20% silice, 1-2% micas blanc.
L-P Richard	62039	696 775	5 820 075	Bloc	M15	Py	Bloc anguleux dans un champ de bloc, roche fondue foliée (protolite gabbro?), granulométrie 1 à 3 mm, 50% minéraux mafiques (Hb), 45% Qz, 5% Pg, Traces Py disséminée de 1 mm.
L-P Richard	62040	697 519	5 819 487	Bloc	M4 SCH Bio	STW QzMo	Grand bloc sub anguleux, M4 gris schisteux, contient 3 veines Qz cmque donnant 2 directions, éch: veine Qz rouillée avec un grain de molybdenite 3 mm observée, bordures biotisées.
L-P Richard	62041	697 674	5 819 427	Affleurement	M16 Sil		Sur l'affleurement Ed0235, M16 altérée par le passage de fluides, très près d'un contact avec un l1, aucun sulfures observé, présence micas blancs, Qz-Fp, Am, vérifier si système fertile.
L-P Richard	62042	686 868	5 806 415	Bloc	M8 POBGr	Cp	Bloc sub anguleux, schiste à Gr silicifié, veinules carbonatée très effervescentes, traces Cp en amas.
L-P Richard	62043	686 863	5 806 380	Bloc	V3B CarEpi	Po01	Bloc sub anguleux à sub arrondi, basalte altéré par un fluide carbonaté, épidote, altération potassique, Qz-Fp, Am, 1% Po en amas.
L-P Richard	62044	686 859	5 806 367	Bloc	Sil	Po10Cp01	Bloc sub anguleux conducteur, roche silicifiée avec un horizon de sulfures de 3 cm, 10% Po, 1% Cp.

Notes de terrain - Extension 167

Géologue	Station	Estant (Nad83Z18)	Nordant (Nad83Z18)	Présentation	Roche hôte	Minéralisation	Description
L-P Richard	62045	690 550	5 813 552	Affleurement	I3A MOY AmpEpi	Py03; VEI QzPy03	Gabbro amphibolitisé, veine Qz de 10 cm, direction 100/sub verticale, avec 1% Py dans la veine et 2-3% Py dans l'éponte, toute la Py est idiomorphe disséminée, présence veinules Qz-Fp-Ep dans l'éponte, Py souvent associée à l'épidote.
L-P Richard	62046	690 840	5 813 287	Bloc	I3A - V3B	Py05	Bloc sub anguleux roche grise foncée aphanitique (M4?), en partie silicifiée avec 5% Py en amas, bloc non conducteur et très oxydé.
L-P Richard	62047	690 900	5 812 876	Bloc	Sil	Su01	Bloc anguleux légèrement conducteur, roche silicifiée 1% Po-Py et traces Cp, présence d'Am.
L. Grenier	62101	688 849	5 739 640	Affleurement	V3B POBGr Amp / V2 -I2	Po01Cp01Mt02	Basalte amphibolitisé. 68%Am, 20%Pg, 5%Qz, 5%Gr, 2%Ox. Granulométrie moyenne, textures hétérogène, granoblastique, schisteuse avec 5% de porphyroblaste de grenats entre 2 et 5 millimètres et 2% d'injections millimétrique de quartz. Altération alumineuse en amas au sud de l'affleurement. Contact avec une volcanite intermédiaire au nord, dyke?
L. Grenier	62102	688 870	5 739 688	Affleurement	V3B GROMAS Amp / V3B GROCOU Amp	Po01	Basalte amphibolitisé. 84%Am, 15%Pg, 1%Sf, trace Gr. Granulométrie grossière, textures homogène, massive avec des coussins dans la partie sud. Altération alumineuse pervasive mais faible. Pyrrhotite associée aux grenats.
L. Grenier	62103	693 261	5 773 492	Bloc	M16 FOL	Py05	Amphibolite. 60%Am, 30%Qz, 5%Bo, 5%Sf. Granulométrie fine, textures homogène, schisteuse et granoblastique. Silicification pervasive. Pyrite en stringer dans la schistosité. Conglomérat monogénique supporté par la matrice. 40%Sr, 30Ep, 30%Qz. Sédiments des Otishs avec une matrice fortement séricitisée avec des blocs de quartz sub-anguleux de 5-10 centimètres de diamètre.
L. Grenier	62104	693 435	5 772 054	Bloc	S4C		
L. Grenier	62105	693 532	5 774 394	Affleurement	M16 GRO	Py01	Amphibolite. 55%Am, 40%Pg, 5%Qz. Granulométrie grossière, textures schisteuse, homogène, granoblastique avec 5% de leucosomes pegmatitiques de 5 centimètres de puissances
L. Grenier	62106	693 839	5 774 453	Affleurement	M22 - M16 GRO	Py01Mt01	Amphibolite migmatisé. 59%Am, 35%PG, 5%QZ, 1%Ox. Granulométrie grossière, textures granoblastique, homogène, schisteuse, rubannée avec 2% d'injections de quartz et de plagioclases. Minéralisation en pyrite disséminé associée à une bande plus felsique.
L. Grenier	62107	693 821	5 774 502	Affleurement	M16 GRO Sil	Py01	Amphibolite. 75%Am, 25%Pg. Granulométrie grossière, textures homogène, schisteuse et granoblastique. Silicification en bande associée à la minéralisation en pyrite. Ressemble à une bande de formation de fer.
L. Grenier	62108	694 322	5 774 598	Affleurement	S9D	Py05	Formation de fer silicaté. 75%Qz, 15%Am, 5%Ep, 5%Su. Granulométrie fine, texture boudinée. 5% de pyrite en amas dans les bandes siliceuses.

Notes de terrain - Extension 167

Géologue	Station	Estant (Nad83Z18)	Nordant (Nad83Z18)	Présentation	Roche hôte	Minéralisation	Description
L. Grenier	62109	694 319	5 774 601	Affleurement	M4 FIN	Py02	Paragneiss. 55%Pg, 30%Qz, 10%Bo, 4%Am, 1%Sf. Granulométrie fine, textures schisteuse, granoblastique. Silicification pervasive et minéralisation en pyrite idiomorphe.
L. Grenier	62110	694 334	5 774 565	Affleurement	S9B APH Sil	Py02Mt02	Formation de fer oxydé. 60%Qz, 30%Pg, 5%Am, 3%Ep, 1%Ox, 1%Sf. Granulométrie aphanitique, textures schisteuse, rubannée. Silicification pervasive.
L. Grenier	62111	694 280	5 774 513	Bloc	S9D APH	Py02	Bloc sub-anguleux de formation de fer silicaté. 53%Qz, 30%Pg, 15%Am, 2%Su. Granulométrie aphanitique, textures rubannée, granoblastique. Pyrite idiomorphe.
L. Grenier	62112	693 897	5 774 518	Affleurement	M16 MOYFOL Sil	Py02	Amphibolite. 59%Am, 30%Pg, 10%Qz, 1%Sf. Granulométrie moyenne, textures schisteuse, granoblastique, rubannée avec 5% de leucosome. Silicification en bande de 30 centimètres de puissance.
L. Grenier	62113	693 356	5 774 614	Bloc	M15 Sil+	STW Po15Cp01	Bloc métasomaté arrondi. 70%Qz, 15%Am, 15%Su. Sulfures en stringer. Fortement silicifié. Conducteur.
L. Grenier	62114	692 019	5 778 008	Bloc	M15 Sil+	Py01	Bloc sub-anguleux de roche complètement silicifiée. 79%Qz, 15%Am, 5%Bo, 1%Sf. Granulométrie moyenne, textures granoblastique et hétérogène. Pyrite finement disséminée.
L. Grenier	62115	692 556	5 776 157	Affleurement	M4 MOYRUB	Py01	Paragneiss, 55% Qz, 20% Bo, 20% Pg, 5% Hb. Granulométrie moyenne, textures granoblastique, rubannée avec 10% de leucosomes centimétriques à décimétriques. Pyrite aux contacts des bandes de leucosome.
L. Grenier	62116	692 575	5 776 234	Affleurement	M4 MOYRUB	Py01	Paragneiss, 55% Qz, 20% Bo, 20% Pg, 5% Hb. Granulométrie moyenne, textures granoblastique, rubannée avec 20% de leucosomes centimétriques. Pyrite très fine aux contacts des leucosomes.
L. Grenier	62117	692 596	5 776 588	Affleurement	M4 MOYRUB	Py01	Paragneiss. 55% Qz, 20% Bo, 20% Pg, 5% Hb. Granulométrie moyenne, textures granoblastique, homogène, rubannée avec 10% de leucosomes. Pyrite en fine veinules.
L. Grenier	62118	692 612	5 777 342	Bloc	M4 FINSCHRUB	Py01	Bloc sub-anguleux de paragneiss. 50% Bo, 20% Qz, 20% Pg, 10% Gr. Granulométrie fine, textures homogène, schisteuse, rubannée avec 20% de leucosomes et 10% de porphyroblastes de grenat millimétriques. Pyrite finement disséminée.
L. Grenier	62119	693 136	5 776 840	Affleurement	M22 GRORUB	Py01	Migmatite. 70% Pg, 15% Bo, 15% Qz. Granulométrie grossière, textures granoblastique, rubannée, hétérogène avec 30% de leucosome centimétriques à décimétrique et des plis d'anatexie. Pyrite idiomorphe disséminée aux contacts des leucosomes.

Notes de terrain - Extension 167

Géologue	Station	Estant (Nad83Z18)	Nordant (Nad83Z18)	Présentation	Roche hôte	Minéralisation	Description
L. Grenier	62120	689 614	5 780 353	Affleurement	I1D PORPg FOL	Py01	Tonalite porphyrique. 60%Pg, 20%Hb, 15%Fk, 3% Mg, 2%Cl. Granulométrie grossière, textures porphyrique, foliée avec 60% de phénocristaux de Pg anguleux centimétrique dans une matrice mafique magnétique. Pyrite finement disséminée au contact des phénocristaux. Couronne de Fk en bordure des Pg. Bordure d'intrusion Bréchique?
L. Grenier	62121	693 179	5 776 609	Affleurement	M22 GRORUB	Py01	Migmatite. 50%Pg, 30%Qz, 10%Bo. Granulométrie grossière, textures homogène, granoblastique, rubannée avec une enclave d'orthoigneiss avec des 5% de pyrite. Enclave dans l'allongement du rubannement.
L. Grenier	62122	693 500	5 776 806	Affleurement	M3 MOYFOL Lim+	Py10Po01	Gossan dans un orthogneiss dont le protholite est probablement un basalte. 50%Pg, 20%Hb, 20%Bo, 10%Qz. Granulométrie moyenne, textures granoblastique, schisteuse avec 5% de leucosomes. Pyrite en placage dans les fractures, au contact avec les leucosomes. La pyrrhotite disséminée dans la roche. Conducteur.
L. Grenier	62123	693 499	5 776 811	Affleurement	I1N	Py05	Veine de quartz dans le gossan. 90%Qz, 5%Hb, 5%Sf. Aphanitique avec des phénocristaux de hornblende inclus. Parallèle à la schistosité et d'une puissance de 15 centimètres. La pyrite en amas est principalement au contact avec l'encaissant orthogneiss.
L. Grenier	62124	693 501	5 776 816	Affleurement	I1N	Py05	Deuxième veine de quartz trouvée plus bas topographiquement que la première. Toujours dans le gossan. Granulométrie aphanitique avec des phénocristaux de hornblende. Pyrite en amas aux épontes.
L. Grenier	62125	693 511	5 776 836	Affleurement	M3 MOYFOL Lim+	Py03Po02	Gossan dans un orthogneiss. 40%Pg, 30% Hb, 20%Bo, 10%Qz. Granulométrie moyenne, textures homogène, schisteuse, granoblastique avec 2% d'injection de veine de quartz centimétrique. Faible altération en silice sous forme de veines. Pyrite et pyrrhotite finement disséminées. et en amas près des veines.
L. Grenier	62126	694 485	5 813 760	Bloc	S3 FINSCH Sil	Py01	Bloc sub-anguleux de wacke. 40%Pg, 30%Bo, 30%Qz. Granulométrie fine, textures homogène, schisteuse avec 5% d'injections de quartz de puissance millimétrique. Altération silicieuse moyenne pervasive et minéralisation e pyrite finement disséminée dans tout le wacke.
L. Grenier	62127	694 466	5 813 769	Bloc	M15 FIN Sil	Py10	Bloc arrondi de roche métasomatisée par la silice. 50%Qz, 30%Bo, 10%Sf, 8%Gr, 2%Gp. Granulométrie fine à moyenne, textures schisteuse, granoblastique avec 10% de porphyroblastes de grenats millimétriques et 2% de leucosome composé de quartz et de plagioclase. Silicification forte et pervasive. Minéralisation en pyrite finement disséminée et localement en amas de 5mm aux contacts des leucosomes.

Notes de terrain - Extension 167

Géologue	Station	Estant (Nad83Z18)	Nordant (Nad83Z18)	Présentation	Roche hôte	Minéralisation	Description
L. Grenier	62128	694 348	5 814 085	Bloc	V1B FIN	Py05	Bloc sub-anguleux de rhyolite. 45%Qz, 20%Fp, 5%Ph, 5%Mv, 5%Sf. Granulométrie fine, textures schisteuse, hétérogène avec 2% de quartz oeilé millimétrique et 5% d'injections de quartz fumé millimétrique. Épidotisation moyenne pervasive et silicification moyenne en veinules. Pyrite disséminée mais aussi en stringers.
L. Grenier	62129	694 310	5 814 081	Bloc	V3B FINSCH	Po01	Bloc anguleux de basalte. 50%Pg, 40%Hb, 5%Bo, Sf en trace. Granulométrie fine, textures schisteuse, faillée, homogène. Pyrrhotite en trace finement disséminée.
L. Grenier	62130	694 795	5 814 748	Bloc	M4 MOYSCH Sil	Py03Po02	Bloc anguleux de wacke métasomatisé. 40%Pg, 35%Qz, 20%Bo 5%Sf. Granulométrie moyen, textures hétérogène, schisteuse, granoblastique avec 5% d'injections de quartz de 3 millimètres de puissance. Silicification moyenne en veinules. Minéralisation en amas avec les veinules de quartz.
L. Grenier	62131	694 336	5 815 158	Bloc	S3 MOYSCH	Po01	Bloc de wacke anguleux. 40%Pg, 30%Qz, 30%Bo. Granulométrie moyenne, textures schisteuse, homogène avec une veine de quartz de 2 centimètres de puissance. Silicification forte en veine, minéralisation en pyrrhotite disséminée aux épontes.
L. Grenier	62132	694 652	5 815 187	Bloc	M4(S3)	Po01Cp01	Bloc sub-anguleux de paragneiss. 40%Pg, 30%Bo, 20%Qz, 10%Hb. Granulométrie fine, textures granoblastique, hétérogène avec 2% d'injections de quartz. Silicification moyenne en veinule. Minéralisation finement disséminée.
L. Grenier	62133	694 755	5 815 219	Bloc	S3 FINSCH Sil-	Py09Cp01	Bloc sub-anguleux de wacke avec un horizon minéralisé. 40%Pg, 30%Bo, 20%Qz, 10%Sf, trace Fu. Granulométrie fine, textures schisteuses, homogène, bréchique dans la minéralisation. 5% de veinules de quartz. Silicification faible, minéralisation en stringers. La chalcopryrite est disséminée dans la pyrite.
L. Grenier	62134	695 493	5 815 415	Bloc	M15 FIN Épi	Py01	Roche métasomatique épidotisée. 40%Qz, 30%Pg, 15%Ep, 15%Bo, traceSf. Granulométrie fine, textures hétérogène, plissée, bréchique avec 15% d'injections de quartz et de plagioclase boudinées. Silicification forte en veinule et épidotisation moyenne pervasive. Pyrite idiomorphe disséminé dans la zone épidotisée.
L. Grenier	62135	694 246	5 816 783	Affleurement	M16 - V3B	Po01	Basalte amphibolitisé. 65%Am, 30%Pg, 5%Qz. Granulométrie fine, textures homogène, schisteuse avec 5% d'injections de quartz et plagioclase millimétrique et 2% d'amas de plagioclases hétérogène. Pyrrhotite finement disséminée.

Notes de terrain - Extension 167

Géologue	Station	Estant (Nad83Z18)	Nordant (Nad83Z18)	Présentation	Roche hôte	Minéralisation	Description
L. Grenier	62136	694 180	5 816 682	Affleurement	M16 - V3B	Po08Py02	Basalte amphibolitisé avec bande rouillée conductrice de 2 mètres de puissance. Affleurement échantillonné par Virginia. 75%Am, 10%Pg, 10%Su, 5%Qz. Granulométrie fine, textures schisteuse et homogène. Silicification moyenne en veinules. La pyrrhotite et la pyrite est finement disséminées dans la schistosité.
L. Grenier	62137	694 211	5 816 705	Bloc	M16 - V3B	Py03Cp02	Bloc anguleux de veine encaissé dans l'amphibolite. 55%Qz, 20%Pg, 10%Cc, 10%Ep, 5%Sf. Granulométrie fine à moyenne. Textures de crack and seal avec une première phase en plagioclase et une deuxième phase en quartz, calcite et épidote. Calcification moyenne en amas et épidotisation forte en amas. Chalcopyrite finement disséminée et pyrite en placage dans les fractures.
L. Grenier	62138	694 202	5 816 783	Affleurement	M16 - V3B	Po09Py02	Basalte amphibolitisé. 80%Hb, 10%Pg, 10%Sf. Granulométrie fine, textures schisteuse, homogène et granoblastique avec une bande oxydée de 30 centimètre de puissance. Relique de coussins aplatis. Pyrrhotite finement disséminée et pyrite en amas 3 millimètres en placage dans les plans de la schistosité. Pyrrhotite faiblement magnétique.
L. Grenier	62139	694 224	5 816 808	Affleurement	M16 - V3B	Po02Cp02	Basalte amphibolitisé avec bande rouillée conductrice de 20 centimètres de puissance. 75%Hb, 20%Pg, 5%Qz, trace Su. Granulométrie fine, textures homogène, schisteuse, faillé avec 5% d'amas oxydés plus ou moins continu minéralisé. Silicification faible en veinules millimétriques. Pyrrhotite disséminée et chalcopyrite en veinules fines dans la schistosité.
L. Grenier	62140	694 242	5 817 101	Bloc	M15	Py01	Bloc sub-arrondi de roche métasomatisée en épidote, quartz, actinote et calcite. 50%Ep, 20%Qz, 15%Cc, 10%Ac, 5%Pg, trace Su. Granulométrie moyenne à grossière, texture hétérogène, bréchique avec les carbonate lessivés. Épidotisation pervasive forte et calcification moyenne. Trace de pyrite idiomorphe.
L. Grenier	62141	694 225	5 817 494	Affleurement	M16 - V3B MAG	Po01	Basalte amphibolitisé. 80%Hb, 20%Pg. Granulométrie fine, textures schisteuses, homogène avec 1% d'injections de quartz millimétriques. Pyrrhotite magnétique finement disséminée.
L. Grenier	62142	694 224	5 816 808	Affleurement	M15	Po8	Roche métasomatique silicifiée conducteur sur 5m par 25m incluant l'échantillon 62143. 65%Qz, 15%Pg, 10%Ph, 8%Po, 2%Gp. Granulométrie fine à aphanitique, textures schisteuse avec 5% veinules de quartz fumé millimétrique. Silicification pervasive forte et minéralisation disséminée et en stringers.

Notes de terrain - Extension 167

Géologue	Station	Estant (Nad83Z18)	Nordant (Nad83Z18)	Présentation	Roche hôte	Minéralisation	Description
L. Grenier	62143	694 211	5 817 514	Affleurement	SM	Po38Cp02	Sulfure semi-massif. 60%Qz, 40%Su. Granulométrie grossière et texture massive. Matrice siliceuse granoblastique. Pyrrhotine magnétique. Fort conducteur. Chalcopyrite disséminée dans la pyrrhotite.
L. Grenier	62144	690 251	5 780 063	Affleurement	I1D PORFpMAGSCH Chl	Mt01	Tonalite porphyrique. 30%Pg, 15%Fk, 15%Hb, 15%Cl, 15%Bo, 10%Qz. Granulométrie moyenne, textures hétérogène, schisteuse, porphyrique, mylonitique avec 15% de phénocristaux de Fk centimétriques dans une matrice mafique magnétique. Chloritisation moyenne rétrograde.
L. Grenier	62145	690 193	5 780 544	Affleurement	I1D PEG		Tonalite pegmatitique. 45%Pg, 35%Qz, 20%Fk. Granulométrie très grossière, textures massive avec un amas de quartz. Échantillon vient de l'amas de quartz blanc.
L. Grenier	62146	691 092	5 781 225	Affleurement	M16 MOY	Mt01	Amphibolite. 50%Hb, 30%Bo, 15%Pg, 5%Qz. Granulométrie moyenne, textures granoblastique, schisteuse, homogène avec 10% d'injection de tonalite centimétrique. Protolithe?
L. Grenier	62147	695 958	5 817 601	Bloc	M15 Sil+	Po20Cp05	Bloc sub-anguleux de roche métasomatisée riche en sulfure. 50%Qz, 25%Hb, 25%Sf. Granulométrie fine, textures schisteuse avec veines de quartz qui bréchifient. La silicification est forte et se propage de la veine et dans les épontes. Pyrrhotite et chalcopyrite finement disséminées mais aussi en stringers millimétrique près de la veine de quartz. Conducteur et pyrrhotite magnétique.
L. Grenier	62148	695 822	5 817 469	Bloc	M15 Sil+	Po13Cp02	Bloc sub-arrondi de roche métasomatisée en silice riche en sulfure. 45%Qz, 30%Hb, 15%Su, 5%Gr, 5%Gn. Granulométrie fine, textures bréchique, laminée, avec 5% de porphyroblastes de grenats de 5 millimètres. Silicification forte pervasive et altération alumineuse moyenne en veinules associée aux veines de quartz. Pyrrhotite magnétique en stringers millimétrique ou en amas avec la grunérite, chalcopyrite finement disséminée. Conducteur.
L. Grenier	62149	695 823	5 817 453	Bloc	M15 Sil+	Po15Py10Cp05	Bloc sub-anguleux de roche métasomatisée en silice avec des sulfures semi-massifs. 40%Qz, 30%Sf, 20%Am, 10%Gr. Granulométrie aphanitique à fine, textures laminée, bréchique avec des veines de quartz et 10% de porphyroblastes de grenats centimétriques. Silicification pervasive forte. Pyrrhotite magnétique en stringers, pyrite en placage et la chalcopyrite en amas dans la pyrrhotite. Conducteur.

Notes de terrain - Extension 167

Géologue	Station	Estant (Nad83Z18)	Nordant (Nad83Z18)	Présentation	Roche hôte	Minéralisation	Description
L. Grenier	62150	695 828	5 817 471	Bloc	M15 Sil+	Po10Py08Cp02	Bloc sub-anguleux de roche métasomatisée en silice riche en sulfure. 50%Qz, 25%Am, 20%Su, 5%Gr. Granulométrie fine, textures laminée, bréchique avec une veine de quartz et 5% de porphyroblastes de grenats millimétrique. Silicification pervasive de la veine jusqu'aux épontes. Altération alumineuse faible en veinules. La pyrrhotite est principalement en stringers mais aussi semi-massive, la pyrite en placage et la chalcopyrite finement disséminée dans la pyrrhotite et près des veines de quartz. Conducteur.
L. Grenier	62151	688 546	5 738 924	Affleurement	M16	Po01	Amphibolite. 70%Am, 20%Pg, 10%Qz.
É. C-Lavoie	62152	693 608	5 775 317	Bloc	M15 Sil+	Py05	Bloc arrondis riche en Qz-Py (5%) grossière, silicifié, et fine Py disséminée (2%)
É. C-Lavoie	62153	693 942	5 774 521	Affleurement	M Sil+ Chl+	Py10	Roche méta-sédimentaire très silicifiée et chloritié, avec Py disséminée
É. C-Lavoie	62154	694 055	5 774 522	Affleurement	-	VEI QzPy10	Veine de Qz avec Cl et Py grossière cmétrique
É. C-Lavoie	62155	694 054	5 774 522	Affleurement	M1 FIN Sil+ Chl-; VEI Qz	Py05	Roche méta-sédimentaire très silicifiée et chloritisé, avec Py disséminée et en veinules mmétriques
É. C-Lavoie	62156	694 055	5 774 521	Affleurement	M1 FIN Sil+ Chl-	Py08	Roche méta-sédimentaire très silicifiée et chloritié, avec Py disséminée et en veinules mmétriques; Aussi une veine avec Py disséminée
É. C-Lavoie	62157	693 619	5 774 375	Bloc	M1 EpiSil+Chl-Fuc	Py03Mt15	Roche Métamorphique à Pg-Qz-Hb(?) avec une altération en Épidote; grenats en traces. Grains de Mt idiomorphes (15%) mmétriques avec PY disséminée (jusqu'à 5%), rarement en amas cmétriques le long de la gneissosité. Traces de fuchsitisation?
É. C-Lavoie	62158	693 589	5 774 399	Bloc	M1 EpiSil+Chl-	Py03Mt15	Roche Métamorphique à Pg-Qz-Hb(?) avec une altération en Épidote; grenats en traces. Grains de Mt idiomorphes avec PY disséminée (15%)
É. C-Lavoie	62159	692 366	5 776 033	Affleurement	M1 SCH Sil-	Py02	Gneiss avec Tr.-2% Py; disséminée (<1%-2%) dans des portions plus silicifiées, Py idio à sub-idiomorphe. Gneissosité à 220/SV.
É. C-Lavoie	62160	692 880	5 776 543	Affleurement	M1 Epi-Sil-	Py03	Gneiss avec Tr.-2% PY; principalement en Vn mmétriques, parfois disséminée (<1%) dans des portions plus silicifiées, parfois légèrement épidotisées. Py idio à sub-idiomorphe. Gneissosité à 232N
É. C-Lavoie	62161	691 576	5 778 659	Bloc	V3B FINSCHPOBGrMAG+	Mt05Py05	Méta-basalte (?) sub-anguleux homogène équigranulaire à grains très fins, faiblement silicifié avec une légère. Composition: Qz30, Pg25, Gr10, Mt05, Hb15, Bo05 et Mv05. Grenat fins idiomorphes (almandin?) répartis de façon homogène dans la roche. Mt disséminée, tout comme la Py (2%). La Py peut se retrouver aussi en veinules (3%), associées à des traces de Cp. Py généralement idiomorphe à hypidiomorphe.

Notes de terrain - Extension 167

Géologue	Station	Estant (Nad83Z18)	Nordant (Nad83Z18)	Présentation	Roche hôte	Minéralisation	Description
É. C-Lavoie	62162	691 827	5 778 898	Bloc	M16 MAG+FOL-	Mt03Su02	Zone de blocs fortement magnétique; bloc anguleux . Amphibolite (méta-V3B); légèrement folié à composition Hb65, Qz10, Fp20 et Mt03 et Py/Po02 très finement disséminée en micro-amas, parfois en micro-veinules
É. C-Lavoie	62163	692 025	5 779 302	Bloc	V3B FINSCHPOBGr Sil-	Py02	Bloc arrondis de Méta-basalte (?) homogène équigranulaire à grains très fins, faiblement silicifié avec une légère. Composition: Qz30, Pg25, Gr10, Mt05, Hb15, Bt05 et Mv05. Grenat fins idiomorphes (almandin?) répartis de façon homogène dans la roche. Mt disséminée, tout comme la Py (2%). La Py peut se retrouver aussi en veinules (3%), associée à des traces de Cpy. Py généralement idiomorphe à hypidiomorphe.
É. C-Lavoie	62164	692 026	5 779 302	Bloc	M1 SCH	Py02	Bloc arrondis de Gneiss schisteux riche en Biotite grossière avec Tr.-2% Py; disséminée hypidiomorphe (<1%-2%).
É. C-Lavoie	62165	694 313	5 781 512	Bloc	M16 FIN	Po03	Bloc anguleux d'Amphibolite (méta-gabbro?) homogène avec Hb60, Pg30, Qz05 et Po05. Po disséminée finement (mmétrique) hypidiomorphe; rarement en amas mmétriques. Chloritisation rétrograde faible. Qz= silicification?
É. C-Lavoie	62166	694 281	5 781 361	Bloc	I2 MOY Hem+	Py06 Mt05	Bloc anguleux de roche intrusive intermédiaire avec Qz-Fp-Hb? Très fortement hématisée avec zones plus mafique très riches en Mt-Hb-Chl. Actinolite localement dans certains plans de fractures des portions plus mafiques. Py disséminée et en amas mmétriques-<1cm. Py idio à hypidiomorphe(05-08%), surtout dans les zones fortement hématisées et moins dans les portions à caractère mafique. Quelques zones plus riches en Qz grossier (VEI?: trop petit bloc pour s'en assurer)
É. C-Lavoie	62167	694 651	5 781 095	Bloc	M16 Sil+ FIN Ac	Py08	Bloc arrondi; protolite inconnu, granulométrie fine à moyenne. Silicification moyenne à forte homogène: Qz30, Pg50, Chl10, Hb05 et Py05-10. Amphiboles en phénocristaux dans la roche, beaux clivages en éventails. Py idio à hypidiomorphe; mmétrique et diséminée dans la roche, parfois en petits amas.
É. C-Lavoie	62168	694 837	5 782 666	Affleurement	I2 FIN Sil	Py02 PoTr	Intrusif intermédiaire (?) à grains fins composé de Pg-Mt-Qz(?) Bo, Po et Py. Légère silicification. Les sulfures sont soit en grains disséminés ou en amas mmétriques disséminés dans l'échantillon. De façon générale, traces de Po idiomorphe fine et 2%Py légèrement oxydée xénomorphe à hypidiomorphe disséminée en amas mm.

Notes de terrain - Extension 167

Géologue	Station	Estant (Nad83Z18)	Nordant (Nad83Z18)	Présentation	Roche hôte	Minéralisation	Description
É. C-Lavoie	62169	695 160	5 782 810	Affleurement	I2 FIN Sil	Py01 Po01	Intrusif intermédiaire (?) à grains fins composé de Pg-Mt-Qz(?) Bt, Po et Py. Légère silicification. Les sulfures sont soit en grains disséminés ou a amas mmétriques disséminés dans l'échantillon. De façon générale, 1% Po idiomorphe fine et 1% Py légèrement oxydée xénomorphe à hypidiomorphe disséminée en amas mm. Cristaux idiomorphes de Mt bleutés aperçus de façon homogène dans l'intrusif.
É. C-Lavoie	62170	694 407	5 812 894	Bloc	T11? SCH Sil+	Py01	Bloc sub-arrondi de Tuf felsique ou intermédiaire à lapillis très silicifié, faiblement schisteux. La granulométrie est généralement fine, lapillis mm gris foncé; matrice gris clair. Horizons plus riches en silice. Quelques VEI QzCl cm dans le bloc, peuvent aller jusqu'à 5cm de largeur dans le sens de la schistosité. Py idiomorphe très fine (1%) disséminée et proximale aux veinules de Qz.
É. C-Lavoie	62171	694 990	5 812 212	Bloc	I3 / V3 FIN SCH-	Py01	Bloc anguleux, roche mafique à grains fins; Schisto faible développée. Compo à Pg-Mt-Qz. Quelques VnQz mm sans minéralisation. Py cependant disséminée en amas mm, xénomorphe et dans les plans de fracture (idiomorphe). Roche très magnétique.
É. C-Lavoie	62172	695 247	5 812 288	Bloc	I3 / V3 FIN SCH-	Py01	Bloc anguleux, roche mafique à grains fins; Schisto faible développée. Compo à Pg-Hb-Mt-Qz. Texture gabbroïque; on voit bien les Pg blanchâtres en bâtonnets mm. Py moyenne disséminée en amas -cm idiomorphe. Roche Magnétique
É. C-Lavoie	62173	695 205	5 812 634	Bloc	I3 / V3 MOY Sil-Chl-	Py02	Bloc sub-anguleux de roche mafique à grains fins-moyens, légèrement silicifiée et chloritisée. Magnétique légèrement localement. Py fine en amas cm disséminés (1-2%) et disséminé finement (1%) hypidiomorphe
É. C-Lavoie	62174	695 314	5 812 831	Bloc	I3 / V3 FIN SCH	Po03Py02CpTr	Bloc sub-anguleux de roche mafique à grains fins (Pg-Qz), légèrement silicifiée. Couleur noire; granulométrie homogène avec une schisotsité visible. Po rosée disséminée finement (roche très magnétique); Py en amas et microveinules dans les plans de schistosité (xénomorphe à hypidiomorphe). Traces de Cpy en amas disséminés mmétriques.
É. C-Lavoie	62175	695 215	5 813 036	Bloc	V3 POBGr SCH-	Po01	Bloc sub-arrondi de roche méta-volcanique mafique (?) à matrice fine-moyenne de Pg-Qz±Chl avec porphyroblastes cm de grenats allongés dans l'axe de la schistosité. Grenats à texture poecilitique (Qz intersitiel). Roche légèrement magnétique: Po <1% en micro veinules mm dans la matrice. Po très fine, et non distribuée de façon homogène: zones ayant une plus grande concentration de micro veinules.

Géologue	Station	Estant (Nad83Z18)	Nordant (Nad83Z18)	Présentation	Roche hôte	Minéralisation	Description
É. C-Lavoie	62176	694 806	5 813 084	Bloc	T2 FIN Sil Sch-	Py04	Bloc arrondi de Roche volcanosédimentaire intermédiaire avec silicification bien développée. Légère schistosité de développée à partir d'un litage primaire(?). Roche à granulométrie très fine; présence de veines/amas lenticulaires de Qz à grains grossiers. Minéralisation en Py disséminée (<1%) fine, en veinules mmétriques (2%) et dans les veines de Qz (1%). Py associée au Qz plus grossière et idiomorphe. Py disséminée le long de fractures ou des plans de Sch (forme des veinules). Roche non-magnétique.
É. C-Lavoie	62177	695 670	5 814 158	Bloc	M8 Sil- SCH+ VEIQz	Py02	Bloc sub-anguleux de schiste à muscovite; très déformée (SCH+ et S2 visible). Légère silicification par endroits (Sil-); Py associée majoritairement à la silicification. Py (2%) hypidiomorphe dans les zones silicifiées et fine hypidiomorphe lorsque disséminée dans les plans de S1. Présence d'une veine de Qz rouillé à granulométrie grossière avec Py idiomorphe
É. C-Lavoie	62178	695 667	5 814 158	Bloc	M16/14 Sch-	Po08Py01Cp01	Bloc anguleux de composition mafique-ultramafique (amphibolite?) légèrement schisteuse riche en Hb(50%); Pg(30) et Qz(<10). 10% Su (Po08, Py01 Cp01). Cp en amas mmétrique fine, disséminée. Po moyenne, mmétrique, disséminée (±5%) homogène dans l'échantillon. Po/Py en veinules (3%) à grains moyens/grossiers associé à veinules de Qz. Roche magnétique
É. C-Lavoie	62179	695 610	5 814 117	Bloc	M8 Sil- SCH-	Py02	Bloc sub-anguleux de schiste à muscovite; peu déformée (SCH+ et S2 visible). Légère silicification par endroits (Sil-); Py associée majoritairement à la silicification. Py (2%) hypidiomorphe dans les zones silicifiées et fine hypidiomorphe lorsque disséminée dans les plans de S1. Présence d'une veine de Qz rouillé à granulométrie grossière avec Py idiomorphe
É. C-Lavoie	62180	695 104	5 816 455	Bloc	M8	Py15Po02CpTrGp	Bloc sub-arrondi de schiste à Gp avec amas de Qz cmétriques. Veinules ondulantes de Py(15-20%) , avec Po (2%) mineure (magnétisme local) et traces de Cp en fins amas. Schistosité très faible à nulle. Les sulfures sont parfois en amas cmétriques
É. C-Lavoie	62181	694 258	5 815 952	Affleurement	M8 Sil	Po15Py02Cp01Gp	Schiste à Gp avec zones silicifiées cmétriques. Veinules ondulantes de Po (15-20%) , avec Py (2%) mineure (magnétisme local) et Tr.-1% de Cp en fins amas. Les sulfures sont parfois en amas cmétriques
É. C-Lavoie	62182	694 258	5 815 974	Affleurement	V3 - I3 FIN Sil+	Po01	Roche mafique à grains fins; massive légèrement silicifiée. Composition à Hb-Pg-Qz. Po faiblement disséminée (<2%) très fine. Légèrement magnétique

Géologue	Station	Estant (Nad83Z18)	Nordant (Nad83Z18)	Présentation	Roche hôte	Minéralisation	Description
É. C-Lavoie	62183	694 263	5 815 978	Bloc	V3 - I3 FIN Sil+	Po03	Roche mafique à grains fins; massive fortement silicifiée. Près du contact avec gossan #62184. Po en veinules (2%) et disséminé fine (1%). Magnétique
É. C-Lavoie	62184	694 262	5 815 979	Affleurement	V3 - M16 SCH+ SilLim+	Py02CpTr	Gossan de surface avec portions silicifiées (Py 2%); fortement cisailée (62184-01-1). Difficile de déterminer un protolite. Parties plus susceptibles (bandes) de ressembler à une amphibolite chloritisée. Zones silicifiées contiennent la PY disséminée hypidiomorphe fine. Quelques zones avec 5% Py grossière en amas cmétriques (échantillonné); toujours associé aux zones plus siliceuses.
É. C-Lavoie	62185	696 469	5 817 582	Bloc	Sil+ PORGr EpiAmp	Po10Py02Cp01	Bloc sub-anguleux de roche méta-sédimentaire avec zones à Grenats et actinote-(?)Epidote (zones de texture fluidales - photo 62185-02). Zone siliceuses dans certains horizons, surtout vers le contact de la VnQz (62185-01) riche en sulfures. L'encaissant silicifié est minéralisé en Po (3%) disséminée fine en proximité du contact avec les méta-sédiments. En général, ±1% Po disséminée dans l'éponte légèrement silicifiée. La veine de Qz semble polyphasée (Qz gris et Qz fumé noir) avec fragements d'encaissant silicifié. Présence d'Hb très grossière (cm+) avec Fp verdâtres grossiers. La veine est minéralisée en Po (5%) disséminée et 5% en veinules qui recoupent la VnQz, parfois en amas mmétriques moyens. Py en amasTr-1% Cp disséminée fine
É. C-Lavoie	62186	696 498	5 817 598	Bloc	M8 Sil+	Po02Ap01	Bloc sub-anguleux de roche méta-sédimentaire de composition gneissique ou méta-sédimentaire avec zones siliceuses et Quartzo-felspathiques. L'encaissant contient de la Hb fine, avec de lits riches en Bo avec Cl rétrograde. La veine de Qz contient des sulfures disséminés en amas (Po1-3%), et aussi aux épontes silicifiées. Fp verdâtres grossiers dans la VnQz, mais aussi présence de grains d'apatite mmétrique (photo 62186-02).
É. C-Lavoie	62187	696 611	5 817 747	Bloc	M16 FIN Sil+	Po18Py02Cp03	Bloc anguleux de roche méta-mafique (ampibolite?) à grains fins, silicifiée, composée principalement de veine de quartz et sulfures semi-massifs. Pseudo litage dans l'encaissant avec 2% de Py disséminée; 5-10% Po disséminée fine à moyenne mmétrique. Dans la VnQz, 5% Po en stringers recoupant la VnQz, mais aussi, aux épontes, 5-8% de Po massive fine en lits cmétriques. 2-3% Cp en veinules recoupant la Veine de Qz et amas fins au sein de la veine.

Notes de terrain - Extension 167

Géologue	Station	Estant (Nad83Z18)	Nordant (Nad83Z18)	Présentation	Roche hôte	Minéralisation	Description
É. C-Lavoie	62188	697 313	5 817 028	Bloc	M16 Epi+Sil+	Py03 STW Cs	Bloc sub-anguleux d'amphibolite à grains moyens? Minéralisation à grains fins, Py moyenne disséminée (3%) dans zone silicifiée et épidotisée du bloc. L'altération semble complètement remplacer la roche hôte (voir photo 62188). Au sein de la zone silicifiée échantillonnée, minéral cm filamenteux ressemblant à chrysotile. Veines de Qz cmétriques présentes dans la zone siliceuse.
É. C-Lavoie	62189	697 127	5816852	Bloc	M16 Sil	Py03	Bloc sub-anguleux de roche méta-mafique granulaire silicifiée avec veines de Qz et silicification générale. Minéralisation se constituant de 1-2% de Py fine disséminée, mais aussi 1-2% en veinules mmétriques le long de la SCH faible
É. C-Lavoie	62190	694 460	5 816 115	Bloc	S9D / S9B Sil - / M1 Sil+	Po12Py03Cp01Mt15Gp05	Contact entre F. fer à oxydes et un gneiss silicifié. Au contact, Vei Qz grossier. Le gneiss contient des grenats poecilites et certains idiomorphes (5-8%) <cmétrique. La minéralisation est dispersée comme ceci: Gneiss-Po hypidiomorphe disséminée fine (2%); VnQz- Po en amas (5%) plus grossiers, mais aussi disséminée le long de fractures, accompagnée de 1% de Cp. Po et Py en stringers recoupant et en bordure de la VnQz. Fm. Fer- Sulfures semi-massifs fins à grossiers en lits, avec amas de Mt massive hypidiomorphe; présence de Gp(±5%) avec la Fm. Fer. Répartition des faciès : 15% M8; 70% Fm.Fer et 15% VnQz. Voir les photos pour exemples de M8.
É. C-Lavoie	62191	694 369	5 816 118	Affleurement	I4 - I3 SCH+ Sil-Tlc	Py02	Intrusif (I4?) ultramafique-mafique altéré en tlc et composition >95% Amphibole. Schisteux, avec veinules de QzFp(contenant traces de Su). Quelques rares veinules tardives de Py idiomorphe grossière. Non-magnétique.
É. C-Lavoie	62192	694 344	5 816 117	Affleurement	-	Py01Po01; VEI Qz	VEI Qz grossier, texture en grains de sucre, marbré (blanchâtre et fumé) avec Tr-1% Py-Po disséminés très finement aux épontes ou dans des fractures proches du contact.
É. C-Lavoie	62193	694 343	5 816 117	Affleurement	M8 Sil Sch-	Py05Gp20	Zone graphiteuse avec portion siliceuse (pervasive). Textures de fluage des lits riches en silice et en Gp (F.Fer?). Sulfures disséminés finement, mais plus concentrés dans ou aux pourtours des zones siliceuses. Traces de Cp associées aux amas plus importants de Py.
É. C-Lavoie	62194	694 347	5 816 115	Affleurement	I4 - I3 SCH+ Amp+Sil-Tlc-	Py01	I4 ou I3 très schisteux et très amphibolitisés. Très légèrement silicifié, avec Tr.-01% Py (non-mag) très finement disséminée. I4 possiblement, comme 62191 ou Ed0228, car non mag par rapport au I3 Amp+Sil+ comme le 62194 et légèrement altéré en talc

Notes de terrain - Extension 167

Géologue	Station	Estant (Nad83Z18)	Nordant (Nad83Z18)	Présentation	Roche hôte	Minéralisation	Description
É. C-Lavoie	62195	694 349	5 816 114	Affleurement	I3 SCH Sil	Py02	I3 schisteux avec silicification moyenne développée. Phénocristaux de Hb (ou Bt?) dans l'orientation préférentielle de la SCH. 2% Py (non-magnétique) disséminée finement ou bien en micro-veinules le long de la SCH. Les grains de Py sont aussi allongés dans le sens de la SCH. En général, elle est fine, mais légèrement pls concentrée le long de fractures qui recoupent la SCH (fracture jaunâtres sur le témoin), où la proportion de Py peut localement atteindre 3%. Dans ces veinules qui recoupent, présence de FpK rosée mmétriques (FpK ou autre?)
É. C-Lavoie	62196	694 350	5 816 110	Affleurement	I3 SCH+ Sil	Py02Po01	I3 très schisteux avec silicification moyenne développée. Phénocristaux de Hb (ou Bt?) dans l'orientation préférentielle de la SCH. 2% Py (non-magnétique) disséminée finement u bien en micro-veinules le long de la SCH. Localament de la Po (mag local) finement disséminée. Les grains de Py et de Po sont aussi allongés dans le sens de la SCH.
É. C-Lavoie	62197	694 307	5 816 070	Affleurement	-	Py01; VEI QzCl	VEI Qz. Grains moyens, texture granuleuse, de couleur grisâtre avec 10% Am dans des FRA. Aucun Su observé. Qq FRA Lim.
É. C-Lavoie	62198	694 304	5 816 046	Affleurement	M16 Sil	Po03; VEI QzFp	Veine de Qz-Fp dmétrique qui recoupe en I3/V3 amphibolitisé. Fp grossiers verdâtres dans la veine. Po disséminée fine idiomorphe, mais aussi en stringers mmétrique fins. Quelques rares amas plus grossiers cmétriques. Amphibolite au contact (nord) légèrement silicifiée et finement minéralisée en Po fine idiomorphe disséminée.
É. C-Lavoie	62199	694 262	5 816 020	Affleurement	S9D / S9B Sil	Po02Py01Gp01	Formation de fer cherteuse? Lits de silice fins ondulents mmétriques associés à du graphite. Au contact des zones riches en silice, des VnQz cmétrique avec Po hypidiomorphe et Py fine. Sulfures finement disséminés dans les lits. Au contact d'un I3/14 (photo 62199)
É. C-Lavoie	62200	698 280	5 818 151	Bloc	I1 / M16 Sil SCH	Py01; VEI Qz	Contact entre ce qui ressemble à ine diorite à grains fins, et une amphibolite. Zone de contact marquée par de la silicification et une veine de Qz fumée. La Py fine disséminée idio à hypidiomorphe se retrouve dans la portion silicifiée et VnQz.
L-P Richard	62201	689 400	5 738 844	Affleurement	S10	Py01	Chert avec Py disséminé.
L-P Richard	62202	688 386	5 738 792	Bloc	V2	Py02	Bloc sub-anguleux de V2 avec 2-3% Py disséminé.
L-P Richard	62203	687 377	5 738 402	Bloc	S9	Su02	Bloc sub-anguleux, complètement rouillé, et complètement silicifiée. 2-3% Su. Mt en plaquage.
L-P Richard	62204	687 985	5 738 488	Bloc	S9	Mt50Su01	Bloc anguleux, lég. rouillée contenant 50% Mt 39% Qz, 10% de Cl et 1% Su (PyPo).
L-P Richard	62205	687 984	5 738 487	Bloc	V1	Py01	Bloc anguleux légèrement rouillé, lave felsique, Tr Py.
L-P Richard	62206	687 986	5 738 482	Bloc	V1	Py02	V1, 2% Py cubique mmétrique très disséminé.

Notes de terrain - Extension 167

Géologue	Station	Estant (Nad83Z18)	Nordant (Nad83Z18)	Présentation	Roche hôte	Minéralisation	Description
L-P Richard	62207	688 315	5 738 488	Bloc	V2	Py01	Bloc de volcanique intermédiaire, Tr. Py.
L-P Richard	62208	688 280	5 738 473	Bloc	V2	PyCl	Bloc de volcanique intermédiaire, Tr. Py. Présence de Cl.
L-P Richard	62209	688 287	5 738 568	Affleurement	S9 Sil	Po01	Faciès silicifié de la S9. Po, légèrement conducteur, très dur à casser.
L-P Richard	62210	688 255	5 738 551	Bloc	V2	PyPoCpCl	Bloc anguleux de volcanique intermédiaire, minéralisé en Py, Po, Cp, présence de Cl.
L-P Richard	62211	692 012	5 772 137	Bloc	-	VEI QzPy05	Petit bloc arrondi rouillé, 5% Py argent de 2-3 mm.
L-P Richard	62212	690 905	5 771 395	Bloc	I4	Su	Bloc anguleux de roche ultramafique à cumulats Mt-Tc de 1 à 3 cm (85%), interstice à Am-Px (15%), traces de sulfures.
L-P Richard	62213	690 893	5 770 914	Bloc	Ser	Su	Bloc sub anguleux vert, roche séricitisée à Qz(30%), Fp(10%), Sr(60%), traces sulfures.
L-P Richard	62214	693 068	5 772 576	Bloc	I1B	VEI Qz	Veine de Qz de 3 à 5 cm (60%), dans un granite rose (40%), traces de Py en amas, présence de Bo.
L-P Richard	62215	693 068	5 772 576	Bloc	I1B	VEI QzPy03	Veine Qz blanche légèrement hématisée, 3% Py en amas, Py ou Cb dissout car présence de cavités, 3% Qz idiomorphe.
L-P Richard	62216	693 068	5 772 576	Bloc	I1B	VEI Qz	Granite rose (95%) avec traces Py en amas, veine de Qz de 1-2 cm (5%), traces d'un minéral noir.
L-P Richard	62217	693 068	5 772 576	Bloc	I1B	VEI Qz	Veine de Qz blanche avec traces Py mmque, 10% cristaux Qz sub idiomorphe.
L-P Richard	62218	692 993	5 775 848	Bloc	LAM Sil	Py05	Bloc anguleux très siliceux et lité, 5% Py disséminée associée à un lit de Qz translucide, surface altérée blanche avec plage turquoise, roche jamais vue à date dans la campagne.
L-P Richard	62219	693 011	5 775 134	Bloc	I1	Py01	Bloc sub anguleux d'une intrusion à Fp verdâtre (?) et Qz, présence d'hématite et de veine Qz-Cb cmque, traces Py.
L-P Richard	62220	692 338	5 775 991	Bloc	M1 Sil	Py01	Bloc (semble sub en place) gneiss très plissé avec une zone très locale silicifiée contenant de traces à 1% Py mmque disséminée, zone sans continuité apparente.
L-P Richard	62221	692 822	5 776 315	Affleurement	M22	Py02	Roche migmatisée à Bo-Fp-Qz, 2% Py associée à une veinule Qz de leucosome.
L-P Richard	62222	693 010	5 776 451	Affleurement	M4	Py02	Méta-sédiments à Fp-Bo-Qz, 2% Py associée à une veine Qz translucide de 3 mm, remob dans M22.
L-P Richard	62223	693 036	5 776 504	Affleurement	M22	PyMt	Aff LR0108, zone Sil au contact du granitoïde, traces Su mmque, traces Mt.
L-P Richard	62224	693 036	5 776 504	Affleurement	M22	Py05Mt	Aff LR0108, zone avec plus de Py, plusieurs amas en plaquage.
L-P Richard	62225	691 258	5 778 652	Affleurement	M22	Su02Mt	Roche fondue, alternance lits cmétriques de Fp rosés, Bo, 1-2% Su (Py), STW Mt et diss. mmétrique.
L-P Richard	62226	691 258	5 778 652	Affleurement	M4	PyMt	Méta-sédiments gris à Fp-Qz-Bo., traces Py et Mt mmétrique disséminées.
L-P Richard	62227	691 208	5 778 701	Affleurement	-	VEI QzFpBo	VEI QzFp avec amas Bo et 2e mica (Sr?). Tr. Py. 30% Qz, 30% Fp, 30% Bo. Semble associée aux FRA principales.

Notes de terrain - Extension 167

Géologue	Station	Estant (Nad83Z18)	Nordant (Nad83Z18)	Présentation	Roche hôte	Minéralisation	Description
L-P Richard	62228	691 208	5 778 701	Affleurement	CIS Sil	Cp? VEI QzPy	Micro CIS avec 1% Su (Cp?) dans protolite. Py associée avec VEI Qz. FRA à 250/60 S.
L-P Richard	62229	690 509	5 778 680	Bloc	BRE	VEI Qz	Brèche hydrothermale, aucun Su, VEI Qz blanche, ???, Sr, Am. Qz idiomorphe, ne réagit pas à l'acide. Pile de blocs anguleux sur le bord de la rivière.
L-P Richard	62230	690 609	5 778 665	Affleurement	Hem	VEI Qz	Affl. LR0118. VEI Qz cmétrique, Hem aux contacts. Qz blanc et translucide. Aucun Su. VEI verticale et irrég. à N070°.
L-P Richard	62231	687 792	5 781 830	Affleurement	M22 Lim	Py	Zone oxydée dans une gneissosité (060°/-) de migmatite, grain de 2-3 mm) de Fp blanc, Qz avec lits de Bo (10%), traces Py.
L-P Richard	62232	688 180	5 781 480	Affleurement	M4	STW QzGp	Conducteur détecté en surface au BeepMat (300 HFR), horizon abondant en Qz, semble recristallisé, Veine Qz blanche cmque, traces Su, probablement Gp, direction de l'horizon 060°.
L-P Richard	62233	691 315	5 777 209	Affleurement	M22 Sil	Py02	Zone silicifiée dans migmatite, Qz translucide et Fp verdâtre avec 1-2% Py très fine disséminée, zone irrégulière sans continuité, lambeau de M4 entouré de granitoïde.
L-P Richard	62234	691 318	5 777 661	Affleurement	-	VEI Qz	Veine de Qz de 5 cm dans un granitoïde rose, hematisée, oxydée aucun sulfure.
L-P Richard	62235	691 366	5 777 656	Affleurement	SIL	Py01Cp	Bloc sub en place qui repose sur un affleurement, amas irrégulier de Qz dans méta-sédiments à Bo silicifiés, traces Py subidiomorphe dans Qz, 1% Py et traces Cp dans encaissant, échantillon moitié/moitié.
L-P Richard	62236	691 088	5 778 255	Affleurement	-	VEI QzBoPy	Horizon de Qz-Bo dans M22, 80% Qz translucide (relief positif) et 20% Bo noire (relief négatif), traces Py isolé
L-P Richard	62237	691 088	5 778 255	Affleurement	M22	Py01	Échantillon pris au contact de l'horizon Qz-Bo et M22, 1% Py.
L-P Richard	62238	692 010	5 775 456	Affleurement	M22	Py01	Migmatite grise Qz-Fp-Bo, grains 1-3 mm, GNE bien développée (090°/-) par le leucosome de veines Qz-Fp blanche assez régulière, 1% Py disséminée très fine (< 1mm).
L-P Richard	62239	691 933	5 775 544	Affleurement	M22	Py10	Aff LR0132, zone rouillée dans M22, structure de 3 cm large avec 5 à 10% Py, Qz translucide, minéral d'altération vert foncé très friable, structure à 220/40, limité sur 1 m latéral.
L-P Richard	62240	691 933	5 775 544	Affleurement	M22	Py01	Aff LR0132, migmatite grise Qz-Fp-Bo, grains 1-3 mm, leucosome de veines Qz-Fp blanche, 1% Py disséminée très fine (< 1mm).
L-P Richard	62241	691 947	5 775 533	Affleurement	M22 PORQzFp		Unité de QFP gneissique dans la M22, 80% POR Fp blanc de 5 à 20 mm parfois idiomorphe, 10% Qz, 10% Bo, traces de Py.
L-P Richard	62242	691 939	5 775 662	Affleurement	M16	Py05	Amphibolite Sil, 5% Py, Qz translucide, Pg vert, unité MAG.

Notes de terrain - Extension 167

Géologue	Station	Estant (Nad83Z18)	Nordant (Nad83Z18)	Présentation	Roche hôte	Minéralisation	Description
L-P Richard	62243	691 939	5 775 662	Affleurement	M16	Py03	Amphibolite noire avec 2-3% Py disséminée dans la matrice, Pg blanc, unité MAG.
L-P Richard	62244	691 939	5 775 662	Affleurement	M22	Py08	Horizon oxydé au contact de l'amphibolite avec M22, très irrégulier, 5-10% Py, abondance de Bo.
L-P Richard	62245	696 029	5 785 894	Bloc	I4	Su	Bloc arrondi de roche ultramafique MAG, environ 60% Amphibole, 40% serpentine verte kaki, Mt dure à voir, très rare traces Su, présence quelques amas de feldspath potassique (altération?).
L-P Richard	62246	696 150	5 788 280	Bloc	I4		Bloc sub arrondi de roche ultramafique, MAG par endroit, 95% Am ou Px, 3% olivine verte olive, 2% Mt très fine (< 1 mm) disséminée, aucun Su d'aperçu.
L-P Richard	62247	695 724	5 815 147	Bloc	M4 SCH- Lim-	Py	Méta-sédiments gris, très fin, légèrement schisteux, légèrement oxydé, traces Py dans un plan de 1 cm, veine Qz, pris dans un champ de blocs.
L-P Richard	62248	695 941	5 815 367	Bloc	I3 Lim	Py05	Roche très oxydée et altérée, faiblement conducteur, Am Gr Pg Bo Qz, 5% Py disséminée, protolite mafique?.
L-P Richard	62249	696 122	5 815 459	Bloc	M15 Sil	PyCp	Roche complètement silicifiée, amas de Qz blanc de 10 à 20 cm diamètre, Su très fin associé à un horizon avec présence d'un minéral noir, traces Py, Cp et d'un Su argenté, tous très fin (<1 mm). Hors propriété.
L-P Richard	62250	696 054	5 815 177	Bloc	I4	Po15	Bloc arrondi de roche ultramafique conductrice, très dense, 80% Am, 15-20% Po, jusqu'à 5% Pg, traversé d'une veine de Qz cmque. Hors propriété.
É. C-Lavoie	167-14-01	689 592	5 740 314	Forage	Forage		
M. Lacey	167-14-02	689 500	5 738 877	Forage	Forage		Az N170°/-45°
L-P Richard	167-15-02	690 001	5 740 248	Forage	Forage		Trou de forage de VG, 167-15-02, direction nord, casing dip à 40°.
L-P Richard	167-15-06	693 473	5 774 585	Forage	Forage		Bouchon pas dessus, car le forage fait l'eau abondamment, dip 50°, azimuth sud.
L-P Richard	167-15-07	691 423	5 776 751	Forage	Forage		Casing présent, azimuth 000°, dip 40°.
M. Lacey	167-15-08	692 051	5 776 917	Forage	Forage		Az N180°/-45°
M. Lacey	167-15-09	692 104	5 778 946	Forage	Forage		Az N170°/-45°. rou fait l'eau
M. Lacey	167-15-10	695 033	5 783 301	Forage	Forage		Az N325°/-45°
L-P Richard	167-15-16	689 615	5 740 055	Forage	Forage		Forage 167-15-16, foré vers le nord, casing à 45°.
L-P Richard	167-15-19	689 601	5 740 264	Forage	Forage		Forage 167-15-19, foré vers le nord, casing à 45°.
L-P Richard	DDHLR001	688 871	5 738 662	Forage	Forage		NW?, trou directement sur le roc, pas de tubage. Pad d'hélicoptère à proximité.
É. C-Lavoie	ED0001	689 398	5 738 840	Affleurement	S9		Idem à 61802. Conducteur et MAG à 6m SE du 61802.
É. C-Lavoie	ED0002	689 269	5 738 839	Affleurement	S9 / M16 Sil-		Contact S9/M16 ondulant. S9 faiblement Sil, Tr. Py.
É. C-Lavoie	ED0003	689 201	5 738 834	Affleurement	S9D / S9B	Mt20	75% Chert, 20% Mt et 5% Qz. Faible Sil. Failles NNO-SSE (voir photo ED0003).
É. C-Lavoie	ED0004	689 089	5 738 831	Affleurement	V3B LimChl-		Basalte(?) rouillé, lég. Chl, aucune minéralisation observée. Présence de STW Qz mm.
É. C-Lavoie	ED0005	689 067	5 738 855	Affleurement	T1 PORQz		Tuf felsique à cristaux, riche en Qz

Notes de terrain - Extension 167

Géologue	Station	Estant (Nad83Z18)	Nordant (Nad83Z18)	Présentation	Roche hôte	Minéralisation	Description
É. C-Lavoie	ED0006	689 140	5 738 814	Affleurement	V2 Chl-Sil		Andésite(?) PORQz mm, déformation légère, présence de fragments felsiques. Fortement Chl et Sil. Su en amas, taches de rouille locales
É. C-Lavoie	ED0007	689 124	5 738 937	Affleurement	V1/V2 MASPORPgQz		Volcanite felsique à intermédiaire. QP et FP de 2-3mm, 5-8% Qb
É. C-Lavoie	ED0008	688 916	5 739 111	Bloc	V3 ChlAmp-Sil-		Basalte moyennement Chl, faiblement Amp et Sil, FIN-MOY. Am de 3-8mm, Pg de 1-3mm. Aucun Su observé. Bloc sub-anguleux à anguleux.
É. C-Lavoie	ED0009	688 921	5 739 126	Bloc	V3 ChlAmp-Sil-		Idem à ED0008.
É. C-Lavoie	ED0010	688 930	5 739 149	Bloc	V3 ChlAmp-Sil-		Idem à ED0008.
É. C-Lavoie	ED0011	688 874	5 739 167	Affleurement	V3 Amp-Chl-Sil-		Idem à 61807. Basalte lég. Chl, Amp et Sil
É. C-Lavoie	ED0012	688 817	5 739 162	Bloc	V3 Amp-Chl-Sil-		Idem à ED0011. Petit affleurement ou bloc proximal.
É. C-Lavoie	ED0013	688 688	5 739 096	Bloc	V3 Amp-Chl-		Basalte. Faiblement Amp et Chl. STW mm de Qz. Sub-anguleux, proximal.
É. C-Lavoie	ED0014	688 651	5 739 091	Affleurement	V3B MOY Amp-Chl-		Basalte à grains moyens faiblement Amp et Chl. STW mm de Qz.
É. C-Lavoie	ED0015	688 675	5 738 913	Affleurement	V1 PORQz/I3A		Lave felsique à intermédiaire contenant des POR Qz de 1-8mm avec dyke de I3A. Fragments felsiques cmétriques à qq endroits.
É. C-Lavoie	ED0016	688 685	5 738 835	Affleurement	V1 PORQz Chl-Sil-		Volcanite felsique légèrement chloritisée et silicifiée avec PORQz 1-3mm. STW Cl mmétriques à cmétriques et STW Qz cmétriques.
É. C-Lavoie	ED0017	688 679	5 738 824	Affleurement	SCH		SCH N240°/75°
É. C-Lavoie	ED0018	688 678	5 738 805	Affleurement	V1 PORQz		Lave felsique à intermédiaire, PORQz 1-3mm.
É. C-Lavoie	ED0019	688 699	5 738 752	Affleurement	V1 PORPgQz Sil		Lave felsique à intermédiaire moyennement silicifiée. Diminution de la proportion des PORQz, dominance des PORPg.
É. C-Lavoie	ED0020	688 693	5 738 726	Affleurement	S9B/S9E	Su	75% S9B et 25% d'horizons mmétriques à dmétriques à Su.
É. C-Lavoie	ED0021	688 769	5 738 709	Affleurement	S9B		FRA d'atttude N-S
É. C-Lavoie	ED0022	688 869	5 738 652	Affleurement	S9B	Su	S9B
É. C-Lavoie	ED0024	688 734	5 738 389	Bloc	V3 FIN Chl-Epi-		Formation de fer avec Su sous forme de lits de 1-3cm.
É. C-Lavoie	ED0025	688 827	5 738 603	Affleurement	V3 Chl		Basalte à grains très fins, lég. Chl et Epi. STW Qz de 1mm. Bloc anguleux
É. C-Lavoie	ED0026	688 815	5 738 777	Affleurement	V3 MASFIN Chl-		Basalte, texture gabbroïque, moyennement Chl. STW Qz 1mm.
É. C-Lavoie	ED0027	688 956	5 738 349	Affleurement	V1 Chl-Sil		Basalte (ou andésite) massif, à grains fins, lég. Chl.
É. C-Lavoie	ED0028	688 931	5 738 177	Bloc	V1 PORQzFpQb Chl-		Roche volcanique felsique Chl-, Sil, déformée E-O avec veinules mmétriques de Qz qui recoupent le SCH @ 030N
É. C-Lavoie	ED0029	688 917	5 738 158	Affleurement	V1 PORQzFpQb Chl-		Lave felsique à intermédiaire avec phénocristaux de Qz et FP mmétriques orientés
É. C-Lavoie	ED0030	688 686	5 738 334	Affleurement	V3 Chl		Lave felsique à intermédiaire avec phénocristaux de Qz et FP mmétriques orientés
É. C-Lavoie	ED0030	688 686	5 738 334	Affleurement	V3 Chl		Roche volcanique chloritisée avec Pg mmétriques, VEI Cl mmétrique dans le plan d'alignement des PG

Notes de terrain - Extension 167

Géologue	Station	Estant (Nad83Z18)	Nordant (Nad83Z18)	Présentation	Roche hôte	Minéralisation	Description
É. C-Lavoie	ED0031	689 208	5 740 229	Affleurement	I3 Chl		Affleurement de gabbro (I3), chloritisé et à granulométrie fine. Veines de chlorite verte et de Qz millimétriques (orientation variable). Dyke de gabbro (photo Ed0031-01) recoupe le tout
É. C-Lavoie	ED0032	689 105	5 740 198	Affleurement	V3 COU Chl-		Basaltes en coussins, chloritisés
É. C-Lavoie	ED0033	688 950	5 740 183	Affleurement	V3 FINMAG Chl-	Mt07	Roche volcanique chloritisée et magnétique à grains fins. Phénocristaux de magnétite idiomorphe mmétriques. Veines de Qz-Chl-Mt mmétriques recoupent direction N-S. 5-8% Mt.
É. C-Lavoie	ED0034	688 863	5 740 140	Affleurement	V3 COU Chl-		Basaltes en coussins, chloritisés
É. C-Lavoie	ED0035	688 806	5 740 101	Affleurement	V3 BRCCOU / V3 PORFp / V3 MAS		Roche volcanique en alternance avec mégacristaux centimétriques de Fp et de lits massifs avec des veines de quartz en tensions
É. C-Lavoie	ED0036	688 781	5 740 087	Affleurement	V3 PORFp Chl-		Roche volcanique chloritisée à mégacristaux de Fp centimétriques
É. C-Lavoie	ED0037	688 720	5 740 059	Affleurement	V3 PORFp Chl-		Roche volcanique chloritisée à mégacristaux de Fp centimétriques
É. C-Lavoie	ED0038	688 686	5 740 041	Affleurement	V3B COU; V3B MAS Chl-	Py01	Basaltes en coussins, parfois à aspect massif, chloritisés; bordures parfois rouillées Py Tr.-1%
É. C-Lavoie	ED0039	688 437	5 740 078	Affleurement	V3B MAS		Basaltes massif
É. C-Lavoie	ED0040	688 414	5 740 098	Affleurement	V3B COU Chl-		Basaltes en coussins, chloritisés
É. C-Lavoie	ED0041	688 404	5 740 068	Affleurement	V3B COU / V3B MAS Chl-		Basaltes en coussins, parfois à aspect massif, chloritisés
É. C-Lavoie	ED0042	688 362	5 740 017	Affleurement	V3B COU / V3B MAS Chl-		Basaltes en coussins, parfois à aspect massif, chloritisés
É. C-Lavoie	ED0043	688 275	5 740 052	Affleurement	V3B COU / V3B MAS Chl-		Basaltes en coussins, parfois à aspect massif, chloritisés
É. C-Lavoie	ED0044	688 200	5 740 094	Affleurement	V3B COU / V3B MAS Chl-		Basaltes en coussins, parfois à aspect massif, chloritisés
É. C-Lavoie	ED0045	688 062	5 740 108	Affleurement	V3B COU / V3B MAS Chl-		Basaltes en coussins, parfois à aspect massif, chloritisés
É. C-Lavoie	ED0046	688 035	5 740 116	Affleurement	V3B COU / V3B MAS Chl-		Basaltes en coussins, parfois à aspect massif, chloritisés
É. C-Lavoie	ED0047	688 036	5 740 064	Affleurement	V3B Chl-		Basaltes chloritisés
É. C-Lavoie	ED0048	687 964	5 739 934	Affleurement	V3B COU Chl-		Basaltes en coussins, chloritisés
É. C-Lavoie	ED0049	687 802	5 739 940	Affleurement	V3B COU Chl-		Basaltes en coussins, chloritisés
É. C-Lavoie	ED0050	687 738	5 739 908	Affleurement	V3B COU / V3B MAS Chl-		Basaltes en coussins, parfois à aspect massif, chloritisés
É. C-Lavoie	ED0051	687 541	5 739 898	Affleurement	V3B COU / V3B MAS Chl-		Basaltes en coussins, parfois à aspect massif, chloritisés
É. C-Lavoie	ED0052	687 575	5 740 273	Affleurement	V3B COU / V3B MAS Chl-		Basaltes en coussins, parfois à aspect massif, chloritisés
É. C-Lavoie	ED0053	687 517	5 740 402	Affleurement	V3 FIN		Roche volcanique chloritisée à grains fins fortement magnétique
É. C-Lavoie	ED0054	687 865	5 740 307	Affleurement	V3-I3, Chl-		Roches volcanique ou intrusive chloritisée à texture gabbroïque
É. C-Lavoie	ED0055	687 907	5 740 239	Affleurement	V3 MAS FIN		Roche volcanique massive chloritisée
É. C-Lavoie	ED0056	688 037	5 740 119	Affleurement	V3 MAS AMY		Roche volcanique massive chloritisée avec des amygdules remplies de Qz
É. C-Lavoie	ED0057	688 454	5 740 309	Affleurement	V3-I3 Chl-Amp-		Roches volcanique ou intrusive chloritisée/amphibolitisée à texture gabbroïque
É. C-Lavoie	ED0058	688 404	5 740 326	Affleurement	V3-I3 Chl-Amp-		Roches volcanique ou intrusive chloritisée/amphibolitisée à texture gabbroïque
É. C-Lavoie	ED0059	688 600	5 740 326	Affleurement	V3-I3 Chl-Amp-		Roches volcanique ou intrusive chloritisée/amphibolitisée à texture gabbroïque

Notes de terrain - Extension 167

Géologue	Station	Estant (Nad83Z18)	Nordant (Nad83Z18)	Présentation	Roche hôte	Minéralisation	Description
É. C-Lavoie	ED0060	688 604	5 740 322	Affleurement	BRI I3 / V2 SilChn		Brèche intrusive(?) à fragments de roches felsique silicifiées, avec des veinules de chlorite noire baignant dans une matrice gabbroïque. Fragments felsiques décimétriques et arrondis jusqu'à anguleux (Ed0060-01 & 02).
É. C-Lavoie	ED0061	688 593	5 740 295	Affleurement	V3-I3 Chl-Amp-		Roches volcanique ou intrusive chloritisée/amphibolitisée à texture gabbroïque
É. C-Lavoie	ED0062	688 597	5 740 238	Affleurement	V2 PORFp / V3 COU Chl-		Roches volcaniques à phénocristaux de Fp mmétriques avec à proximité des coussins chloritisés
É. C-Lavoie	ED0063	688 727	5 740 285	Affleurement	V3-I3 Chl-Amp-		Roches volcanique ou intrusive chloritisée/amphibolitisée à texture gabbroïque
É. C-Lavoie	ED0064	688 942	5 740 230	Affleurement	V3 Chl / SSM	Py40Cp04As03	Roches volcaniques très chloritisées avec des veinules de Py±Cpy au contact d'un corps minéralisé, très silicifié à matrice chloriteuse comprenant des sulfures semi à massifs. Des fragments de silices sont observés dans le corps minéralisé (Ed0065-02 & 03). 3% As, 2-5% Cp, 25-50% Py et Tr. Mt
É. C-Lavoie	ED0065	688 952	5 740 228	Affleurement	V3 FINMAG Chl-	Mt07	Roche volcanique chloritisée et magnétique à grains fins. Phénocristaux de magnétite idiomorphe mmétriques. Veines de Qz-Chl-Mt mmétriques recourent direction N-S. 5-8% Mt.
É. C-Lavoie	ED0066	689 680	5 740 240	Affleurement	V3 MASFRC-		Basalte massif avec fractures E-O avec traces sulfures
É. C-Lavoie	ED0067	689 198	5 740 218	Affleurement	V3 FINMAS Chl	Mt05	Roche volcanique chloritisée et magnétique à grains fins. Phénocristaux de magnétite idiomorphe mmétriques. Veines de Qz-Chl-Mt mmétriques recourent direction N-S. 5% Mt
É. C-Lavoie	ED0068	688 556	5 740 251	Affleurement	V3B COU \ V3B MAS Chl-		Basaltes en coussins avec bordures bréchifiées au contact de V3 massif.
É. C-Lavoie	ED0069	688 573	5 740 288	Affleurement	I3 Chl		Gabbro à grains moyens
É. C-Lavoie	ED0070	688 571	5 740 330	Affleurement	V3 – I3 Chl-Amp-		Roches volcanique ou intrusive chloritisée/amphibolitisée à texture gabbroïque
É. C-Lavoie	ED0071	687 849	5 741 146	Affleurement	S1		Grès monogénique à composition gréseuse (90% Qz; 10% FP). Fragments de Qz centimétriques sub-arrondis. Traces de fragments rosés d'origine intrusive.
É. C-Lavoie	ED0072	687 692	5 741 060	Affleurement	S1		Grès monogénique à composition gréseuse (90% Qz; 10% FP). Fragments de Qz <1cm sub-arrondis. Traces de fragments rosés d'origine intrusive.
É. C-Lavoie	ED0073	688 115	5 740 665	Affleurement	S1		Grès monogénique à composition gréseuse (95% Qz; 5% FP). Fragments de Qz centimétriques sub-arrondis. Traces de fragments rosés d'origine intrusive.
É. C-Lavoie	ED0074	688 103	5 740 712	Affleurement	S1		Grès monogénique à composition gréseuse (95% Qz; 5% FP). Fragments de Qz centimétriques sub-arrondis. Traces de fragments rosés d'origine intrusive.
É. C-Lavoie	ED0075	688 100	5 740 813	Affleurement	S1		Grès monogénique à composition gréseuse (95% Qz; 5% FP). Fragments de Qz centimétriques sub-arrondis. Traces de fragments rosés d'origine intrusive.

Notes de terrain - Extension 167

Géologue	Station	Estant (Nad83Z18)	Nordant (Nad83Z18)	Présentation	Roche hôte	Minéralisation	Description
É. C-Lavoie	ED0076	688 111	5 740 851	Affleurement	S1		Grès monogénique à composition gréseuse (95% Qz; 5% FP). Fragments de Qz centimétriques sub-arrondis. Traces de fragments rosés d'origine intrusive.
É. C-Lavoie	ED0077	688 306	5 740 362	Affleurement	I3A MOY Chl-		Gabbro à grains moyens chloritisé
É. C-Lavoie	ED0078	688 315	5 740 340	Affleurement	I3A Chl-	STW Qz	Gabbro chloritisé avec une veine de Qz-(CB) avec épontes fortement chloritissées
É. C-Lavoie	ED0079	688 360	5 740 171	Affleurement	V3 MAS Chl- FIN		Roche volcanique à grains fin massive légèrement chloritisée
É. C-Lavoie	ED0080	688 335	5 740 225	Affleurement	V3 MAS Chl- FIN		Roche volcanique à grains fin massive légèrement chloritisée
É. C-Lavoie	ED0081	687 919	5 740 378	Affleurement	I3A MOY Chl-	Po02	Gabbro fortement magnétique à grains moyens avec amas mmétriques de Po (Max 2%) disséminés
É. C-Lavoie	ED0082	687 878	5 740 379	Affleurement	I3A Amp+ MOY; V2/V3 Fin Sil- Chl-		Zone de contact entre gabbro magnétique à grains moyens amphibolitisé et roches volcaniques. Roches volcanique au nord du contact.
É. C-Lavoie	ED0083	687 780	5 740 395	Affleurement	V2/V3 Sil- Amp- SCH-		Roche volcanique légèrement silicifiée non-magnétique
É. C-Lavoie	ED0084	687 547	5 740 394	Bloc	I3 MOY		Bloc anguleux de gabbro très magnétique (10-15%Mt en amas
É. C-Lavoie	ED0085	687 656	5 740 058	Affleurement	V3 MAS FIN Chl-		Basalte à grains fin massif légèrement chloritisée
É. C-Lavoie	ED0086	687 655	5 739 991	Affleurement	V3 MAS FIN Chl-		Basalte à grains fin massif légèrement chloritisée
É. C-Lavoie	ED0087	687 667	5 739 990	Affleurement	V3 MAS FIN Chl-; I3A MOY		Contact entre V3 et I3A. Roches volcaniques non magnétiques légèrement chloritisés; I3A fortement magnétique (25-30% Mt en amas mm)
É. C-Lavoie	ED0088	687 654	5 739 904	Affleurement	V3B COUS, MAS Chl-		Faciès de basalte coussinés (30% Aff) et massif (70% Aff), légèrement chloritisés et non-magnétiques
É. C-Lavoie	ED0089	687 696	5 740 135	Affleurement	V3 FIN Chl-		Roche volcanique légèrement chloritisée à granulométrie fine non-magnétique
É. C-Lavoie	ED0090	687 691	5 740 180	Affleurement	I3 MOY Chl-		Gabbro à granulométrie moyenne légèrement chloritisé, et non magnétique
É. C-Lavoie	ED0091	687 744	5 740 398	Affleurement	V3 MAS Chl-	Py08	Roche volcanique massive légèrement chloritisée à granulométrie fine non-magnétique. Présence de Py (5-10%) disséminée ou en micro-veinules associée à une fracture sub-verticale d'orientation N-S
É. C-Lavoie	ED0092	687 832	5 740 329	Affleurement	V3 MAS Chl-		Roche volcanique massive légèrement chloritisée à granulométrie fine non-magnétique
É. C-Lavoie	ED0093	688 157	5 740 197	Affleurement	V3 MAS Chl-		Roche volcanique massive légèrement chloritisée à granulométrie fine non-magnétique
É. C-Lavoie	ED0094	688 478	5 740 152	Affleurement	V3 MAS Chl-		Roche volcanique massive légèrement chloritisée à granulométrie fine non-magnétique
É. C-Lavoie	ED0095	688 299	5 740 202	Affleurement	V3 MAS Chl-		Roche volcanique massive légèrement chloritisée à granulométrie fine non-magnétique
É. C-Lavoie	ED0096	688 142	5 740 249	Affleurement	V3 MAS Chl-		Roche volcanique massive légèrement chloritisée à granulométrie fine non-magnétique
É. C-Lavoie	ED0097	688 127	5 740 277	Affleurement	V3 MAS Chl-		Roche volcanique massive légèrement chloritisée à granulométrie fine non-magnétique

Notes de terrain - Extension 167

Géologue	Station	Estant (Nad83Z18)	Nordant (Nad83Z18)	Présentation	Roche hôte	Minéralisation	Description
É. C-Lavoie	ED0098	687 940	5 740 316	Bloc	I3 FINMAG	Po03Mt05	Bloc anguleux de gabbro, fracturé, très magnétique avec 2-3% de Po disséminée (90%) et en amas mmétriques (10%). La Po est très fine dans l'échantillon. Très magnétique.
É. C-Lavoie	ED0099	687 752	5 740 394	Affleurement	V3 MAS Chl- Sil+	Py10	Roche volcanique massive légèrement chloritisée à granulométrie fine non-magnétique. Présence de Py (5-10%) disséminée ou en micro-veinules associée à une fracture sub-verticale d'orientation N-S
É. C-Lavoie	ED0100	687 735	5 740 290	Affleurement	V3 Chl+ / SSM Chn+ / V1 Sil+Chn+	SSM	Sulfures massifs ou semi-massifs dans une matrice de chlélite noire entre des basaltes et une roche volcanique felsique très siliciifiée. Py idiomorphe à hypidiomorphe fine à grossière
É. C-Lavoie	ED0101	687 731	5 740 281	Affleurement	V3 COU Chl+ / SSM	SSM	Sulfures massifs ou semi-massifs (Py) avec des veinules de Qz dans des bordures de basaltes coussinés. Présence de Qz
É. C-Lavoie	ED0102	688 140	5 740 162	Affleurement	V3 MAS Chl-		Roche volcanique massive légèrement chloritisée à granulométrie fine non-magnétique
É. C-Lavoie	ED0103	688 162	5 740 133	Affleurement	V3 MAS Chl-		Roche volcanique massive légèrement chloritisée à granulométrie fine non-magnétique
É. C-Lavoie	ED0104	688 210	5 740 163	Affleurement	V3 MAS Chl-		Roche volcanique massive légèrement chloritisée à granulométrie fine non-magnétique
É. C-Lavoie	ED0105	689 114	5 740 187	Affleurement	V3 MAS Chl-		Roche volcanique massive légèrement chloritisée à granulométrie fine non-magnétique
É. C-Lavoie	Ed0106	692 415	5 773 778	Affleurement	M1 FOL		Gneiss avec veines boudinées centimétriques de leucosome de composition granitique à texture pegmatitique. Foliation développée dans les zones plus riches en leucosomes.
É. C-Lavoie	Ed0107	692 401	5 773 746	Affleurement	M1 FOL / I1G PEG		Gneiss avec pegmatites centimétriques à décimétriques de leucosome de composition granitique à texture pegmatitique. Foliation développée dans les zones plus riches en leucosomes. Quelques zones mélanocrates dans els zones à pegmatite
É. C-Lavoie	Ed0108	691 983	5 773 020	Affleurement	I1 PEG		Monzonite ou granite équigranulaire. Granulométrie grossière (cm). Quelques zones à texture pegmatitique. Quelques phénocristaux avec des exsolutions de quartz à l'intérieur.
É. C-Lavoie	Ed0109	691 819	5 772 770	Affleurement	I1 PEG		Monzonite ou granite équigranulaire. Granulométrie grossière (cm). Quelques zones à texture pegmatitique. Quelques phénocristaux avec des exsolutions de quartz à l'intérieur.
É. C-Lavoie	Ed0110	691 029	5 771 647	Affleurement	I1 – I1D MOY		Intrusif felsique (tonalite?) à texture granulaire. Affleurement très fracturé, certaines partie sub-en place
É. C-Lavoie	Ed0111	691 186	5 771 568	Affleurement	M1 FOL		Gneiss avec veines boudinées centimétriques de leucosome de composition granitique à texture pegmatitique. Foliation développée dans les zones plus riches en leucosomes.

Notes de terrain - Extension 167

Géologue	Station	Estant (Nad83Z18)	Nordant (Nad83Z18)	Présentation	Roche hôte	Minéralisation	Description
É. C-Lavoie	Ed0112	691 340	5 771 529	Affleurement	M1 FOL / I1 – I2G		Zone de contact en gneiss similaire à Ed0106 et monzonite ou Monzogranite (Ed0109).
É. C-Lavoie	Ed0113	691 314	5 771 532	Affleurement	M Sil+Epi-	Py08	Roche métamorphique, protolite non-reconnu. Stringer de Py associés à micro-veinules de Qz (Sil+). 5-10%Py idio à hypidiomorphe, parfois disséminée. Encaissant contient fine biotite, Qz et peu de PG
É. C-Lavoie	Ed0114	691 335	5 771 520	Affleurement	M16? CIS Sil+	Py10Gp01 VEI Qz	Zone de contact entre le monzogranite (Ed0112) et ce qui ressemble à un dyke de composition similaire à Ed0113, ou qui se rapproche d'une amphibolite. Py 8-12% aussi en stringer et disséminée dans le dyke. Une veine de Qz décimétrique (<50cm) contient 10-15% Py grossière hypidio à idiomorphe. Qz rouillé et parfois fumé. Orientation et pendage de la Vei similaire au dyke. Cisaillement for au contacts du dyke (photo Ed0114-00)
É. C-Lavoie	Ed0115	688 900	5 740 281	Affleurement	I3A MOY Sil-Chl-	Py01	Gabbro à granulométrie moyenne légèrement chloritisé, et non magnétique. Traces à 1% de Py fine disséminée
É. C-Lavoie	Ed0116	688 901	5 740 271	Affleurement	I3A PORFp Amp+		Gabbro tre's amphibolitisé (ammphiboles >1cm) avec porphyroblastes cmétriques de Fp (Photo Ed0116)
É. C-Lavoie	Ed0117	688 869	5 740 287	Affleurement	I3 MOY Chl-		Gabbro à granulométrie moyenne légèrement Chloritisé
É. C-Lavoie	Ed0118	688 847	5 740 295	Affleurement	I3 FIN		Gabbro à granulométrie fine
É. C-Lavoie	Ed0119	688 822	5 740 304	Affleurement	I3 FIN Chl-Epi-		Gabbro à granulométrie fine légèrment Chloritisé et amphibolitisé
É. C-Lavoie	Ed0120	688 821	5 740 289	Affleurement	I3 Amp+	Py01	Gabbro amphibolitisé
É. C-Lavoie	Ed0121	688 810	5 740 262	Affleurement	I3 Amp+		Gabbro amphibolitisé
É. C-Lavoie	Ed0122	688 821	5 740 191	Affleurement	I3 Amp+		Gabbro amphibolitisé
É. C-Lavoie	Ed0123	688 821	5 740 176	Affleurement	V3 COUMASHYA Chl-		Basalte avec multiples faciès de coulée en coussins, massif et hyaloclastique; le tout légèrement chloritisé
É. C-Lavoie	Ed0124	688 780	5 740 151	Affleurement	V3B MAS Chl-		Basalte massif légèrement chlroitisé
É. C-Lavoie	Ed0125	688 789	5 740 249	Affleurement	I3 MOY Amp		Gabbro à granulométrie moyenne légèrement amphibolitisé
É. C-Lavoie	Ed0126	688 795	5 740 285	Affleurement	I3 MOY Chl-		Gabbro à granulométrie moyenne légèrement Chloritisé
É. C-Lavoie	Ed0127	688 705	5 740 272	Affleurement	I3 MOY Chl-		Gabbro à granulométrie moyenne légèrement Chloritisé
É. C-Lavoie	Ed0128	688 780	5 740 151	Affleurement	V3B MAS Chl-		Basalte massif légèrement chlroitisé
É. C-Lavoie	Ed0129	688 709	5 740 117	Affleurement	V3 COUAMYHYA Chl-		Basalte avec multiples faciès de coulée en coussins, avec amydgules emplies de calcite-Qz mm-<1cm,f le tout légèrement chloritisé.
É. C-Lavoie	Ed0130	688 863	5 740 076	Affleurement	V3 COUAMYHYA Chl-		Basalte avec multiples faciès de coulée en coussins, massif et hyaloclastique; le tout légèrement chloritisé
É. C-Lavoie	Ed0131	688 612	5 740 115	Affleurement	V3 COUAMYHYA Chl-	Py02	Basalte avec multiples faciès de coulée en coussins, massif et hyaloclastique; le tout légèrement chloritisé. Jusqu'à 2%Py dans les bordures de coussins localement
É. C-Lavoie	Ed0132	688 627	5 740 223	Affleurement	V3 COUAMYHYA Chl-		Basalte avec multiples faciès de coulée en coussins, massif et hyaloclastique; le tout légèrement chloritisé
É. C-Lavoie	Ed0133	688 851	5 740 272	Affleurement	I3 MOY AmpChl-		Gabbro à grains moyens, amphibolitisé et légèrement chloritisé
É. C-Lavoie	Ed0134	688 658	5 740 314	Affleurement	I3 MOY Chl-		Gabbro à granulométrie moyenne légèrement Chloritisé
É. C-Lavoie	Ed0135	689 179	5 740 735	Affleurement	I3 MOY Chl-		Gabbro à granulométrie moyenne légèrement Chloritisé

Notes de terrain - Extension 167

Géologue	Station	Estant (Nad83Z18)	Nordant (Nad83Z18)	Présentation	Roche hôte	Minéralisation	Description
É. C-Lavoie	Ed0136	692 435	5 771 635	Affleurement	I1B – M22		Granite migmatisé
É. C-Lavoie	Ed0137	692 801	5 774 935	Affleurement	I1 FIN		Intrusif felsique à granulométrie fine, moyenne localement. Composition à Qz-Pg-Bt-Mt
É. C-Lavoie	Ed0138	692 993	5 776 030	Affleurement	I1 MOY - M1		Gneiss avec leucosomes (jusqu'à 10%), déformés, plissés et boudinés
É. C-Lavoie	Ed0139	693 039	5 776 073	Affleurement	I1 MOY - M2		Gneiss avec leucosomes (jusqu'à 10%), déformés, plissés et boudinés
É. C-Lavoie	Ed0140	693 117	5 776 074	Affleurement	I1 MOY - M3		Gneiss avec leucosomes (jusqu'à 10%), déformés, plissés et boudinés
É. C-Lavoie	Ed0141	693 147	5 776 058	Affleurement	I1 MOY - M4		Gneiss avec leucosomes (jusqu'à 40%), déformés, plissés et boudinés
É. C-Lavoie	Ed0142	693 286	5 774 379	Affleurement	M1 SCH+		Gneiss à composition plus mafique (Hb-Bt-Qz-Pg) avec VEIQz Pg cmétrique à dmétrique à texture pegmatitique
É. C-Lavoie	Ed0143	693 603	5 774 856	Affleurement	I1 FINMOY		Intrusif à grains fins jusqu'à moyens localement à composition tonalitique (Qz-Pg-Mt)
É. C-Lavoie	Ed0144	693 612	5 775 577	Affleurement	I1 PEG / M1		Intrusif à composition granitique à texture Pegmatitique; portions de gneiss
É. C-Lavoie	Ed0145	693 576	5 775 755	Affleurement	I1 PEG / M2		Intrusif à composition granitique à texture Pegmatitique; portions de gneiss
É. C-Lavoie	Ed0146	693 747	5 775 869	Affleurement	I1 PEG / M3		Intrusif à composition granitique à texture Pegmatitique; portions de gneiss
É. C-Lavoie	Ed0147	693 756	5 775 940	Affleurement	I1 PEG		Intrusif à composition granitique à texture Pegmatitique; enclaves métriques de gneiss arrondies
É. C-Lavoie	Ed0148	693 744	5 776 020	Affleurement	M1 GNE+ / I1		Gneiss avec leucosomes (jusqu'à 20%), mis en place dans la gneissosité; boudinés.
É. C-Lavoie	Ed0149	693 447	5 774 274	Affleurement	M1 FINMAG		Gneiss à grains fins magnétique. Pas de leucosomes observés
É. C-Lavoie	Ed0150	693 537	5 774 347	Affleurement	M1 FINMAGSCH	Mt	Gneiss à grains fins magnétique. 15-20% de leucosomes observés à Qz-Pg-Mt
É. C-Lavoie	Ed0151	693 689	5 774 448	Affleurement	M1 FINMAGSCH	Mt	Gneiss à grains fins magnétique. 15-20% de leucosomes observés à Qz-Pg-Mt
É. C-Lavoie	Ed0152	694 040	5 774 476	Affleurement	M1 MOYMAG	Mt	Gneiss à grains fins, moyens localement; leucosomes <10%. Magnétite en plus grandes proportions aux contacts. Sinon le reste est non-magnétique
É. C-Lavoie	Ed0153	694 076	5 774 491	Affleurement	M1 - M16 Sil-	Py01	Gneiss ou amphibolite? Légèrement silicifié, Traces à maximum 2% Py idiomorphe dans la gneissosité.
É. C-Lavoie	Ed0154	693 990	5 774 565	Affleurement	M16 FINMAG		Composition à Qz-Pg-Bt Amphibolite à grains fins très magnétique
É. C-Lavoie	Ed0155	694 001	5 774 695	Affleurement	I1 FIN		Intrusif felsique à grains fins, localement moyen non magnétique
É. C-Lavoie	Ed0156	693 839	5 774 640	Affleurement	M1 MOY		Gneiss à grains moyens non-magnétique avec <10% leucosome
É. C-Lavoie	Ed0157	693 804	5 774 602	Affleurement	M1 FINMAG		Gneiss à grains fins à Bt-Qz-Pg légèrement magnétique localement
É. C-Lavoie	Ed0158	693 474	5 774 409	Affleurement	M1		Gneiss avec peu de leucosomes non-magnétique

Notes de terrain - Extension 167

Géologue	Station	Estant (Nad83Z18)	Nordant (Nad83Z18)	Présentation	Roche hôte	Minéralisation	Description
É. C-Lavoie	Ed0159	693 203	5 774 230	Affleurement	M16 MOY		Amphibolite avec corridors à grains fins (moins Sch) et grains moyens, recoupés par des fluides d'anatexie à grains grossiers
É. C-Lavoie	Ed0160	692 350	5 776 025	Affleurement	M22 FIN		Migmatite plissée et boudinée avec 15% Leucosome. Mélanosome gris moyen à grains fins
É. C-Lavoie	Ed0161	692 376	5 776 035	Affleurement	M1 FOL - M22	PyTr	Gneiss à composition tonalitique légèrement folié; portions migmatisées. Composition minéralo à Bt(±Mus)-Qz-Pg
É. C-Lavoie	Ed0162	692 372	5 776 067	Affleurement	M1 FOL - M22		Gneiss à composition tonalitique légèrement folié; portions migmatisées. Composition minéralo à Bt(±Mus)-Qz-Pg
É. C-Lavoie	Ed0163	692 468	5 776 057	Affleurement	M1 FOL - M22		Gneiss à composition tonalitique légèrement folié; portions migmatisées. Composition minéralo à Bt(±Mus)-Qz-Pg
É. C-Lavoie	Ed0164	692 784	5 776 289	Affleurement	M1 FOL - M22		Gneiss à composition tonalitique légèrement folié; portions migmatisées. Composition minéralo à Bt(±Mus)-Qz-Pg
É. C-Lavoie	Ed0165	692 784	5 776 343	Affleurement	M22 FIN		Migmatite plissée et boudinée avec 15% Leucosome. Mélanosome gris moyen à grains fins. Gneissosité à 200 SV
É. C-Lavoie	Ed0166	692 836	5 776 638	Affleurement	M22 FIN		Migmatite plissée et boudinée avec 15% Leucosome. Mélanosome gris moyen à grains fins
É. C-Lavoie	Ed0167	692 840	5 776 686	Affleurement	M22 FIN		Migmatite plissée et boudinée avec 15% Leucosome. Mélanosome gris moyen à grains fins
É. C-Lavoie	Ed0168	692 844	5 776 724	Affleurement	M1 FOL - M22	PyTr	Gneiss à composition tonalitique légèrement folié; portions migmatisées. Composition minéralo à BoQzPg (±Mv)
É. C-Lavoie	Ed0169	692 822	5 776 825	Affleurement	M1 FOL - M22		Gneiss à composition tonalitique légèrement folié; portions migmatisées. Composition minéralo à BoQzPg (±Mv)
É. C-Lavoie	Ed0170	692 834	5 776 886	Affleurement	M1 FOL - M22		Gneiss à composition tonalitique légèrement folié; portions migmatisées. Composition minéralo à BoQzPg (±Mv)
É. C-Lavoie	Ed0171	692 848	5 776 978	Affleurement	I1 PEGFOL-		Dyke d'intrusif felsique (leucosome pegmatitique) avec enclaves de gneiss arrondies décimétriques (<75cm). Les enclaves ont des foliation variées, signe de rotation; elles sont arrondies, et sont en cours de digestion (I1 en veinules mm à l'intérieur).
É. C-Lavoie	Ed0172	692 973	5 777 913	Affleurement	M22		Migmatite plissée et boudinée avec 25% Leucosome. Mélanosome gris moyen à grains fins
É. C-Lavoie	Ed0173	692 864	5 777 995	Affleurement	M22		Migmatite plissée et boudinée avec 30% Leucosome. Mélanosome gris moyen à grains fins
É. C-Lavoie	Ed0174	692 187	5 777 935	Bloc	M FIN Sil+	Py01	Bloc arrondi; Protolite inconnu, granulométrie fine, avec masses cmétriques plus riches en Bo; Su dans ces masses à Bo. Py idio à hypidiomorphe; mmétrique.
É. C-Lavoie	Ed0175	692 173	5 777 134	Affleurement	M1 FOL		Gneiss folié; portions migmatisées. Moins de 15% de leucosomes
É. C-Lavoie	Ed0176	692 162	5 777 112	Affleurement	M1 FOL		Gneiss folié; portions migmatisées. Moins de 15% de leucosomes
É. C-Lavoie	Ed0177	692 093	5 776 973	Affleurement	M1 FOL		Gneiss folié; portions migmatisées. Moins de 15% de leucosomes

Notes de terrain - Extension 167

Géologue	Station	Estant (Nad83Z18)	Nordant (Nad83Z18)	Présentation	Roche hôte	Minéralisation	Description
É. C-Lavoie	Ed0178	692 017	5 776 958	Affleurement	M1 FOL+ / I1 FIN		Gneiss folié; portions migmatisées. Foliation s'intensifie dans portions riches en Bo (Photo Ed0178-02). Indicateurs cinématiques dextres (Ed0178-01). Présence de dykes à grains fins de composition felsique ?(Ed0178-03). Foliation à 250N
É. C-Lavoie	Ed0179	689 155	5 780 460	Affleurement	I1D MOY Hem-		Intrusif à granulométrie moyenne; composition à Qz (30%) et PG (70%). Traces à <5% Hb. Texture equigranaulaire; légère hématite locale (Tr.)
É. C-Lavoie	Ed0180	689 222	5 780 516	Affleurement	I1D MOYPEG Hem-		Intrusif à granulométrie moyenne; composition à Qz (30%) et PG (70%). Traces à <5% Hb. Zones pegmatitiques avec textures graphiques (exsolutions de silice) à même les phénocristaux de PG et de façon interstitielle (Ed0180). Légère Hm locale (zones à granulométrie moyenne).
É. C-Lavoie	Ed0181	689 259	5 780 560	Affleurement	I1D MAGMOYPORFp Hem-		Intrusif à granulométrie moyenne; composition à Qz (30%) et PG (70%). Traces à <5% Hb. Zones pegmatitiques avec textures graphiques (exsolutions de silice) à même les phénocristaux de PG et de façon interstitielle (Ed0180). Légère Hm locale (zones à granulométrie moyenne). Contact avec zone porphyrique (60% Pg, <5% FpK, 30% Hb et 5% Mt. Phénocristaux (ou porphyroclastes issus de recristallisation???) cmétriques et idiomorphes. Orientation préférentielle des POR. Similiare à échantillon 62120
É. C-Lavoie	Ed0182	691 631	5 778 589	Affleurement	I1 PEG		Intrusif à composition granitique à texture Pegmatitique; 30Qz, 60Fp, 10Bt.
É. C-Lavoie	Ed0183	691 801	5 779 593	Affleurement	I1 PEG		Intrusif à composition granitique à texture Pegmatitique; 30Qz, 70Fp. Veine de quartz cmétrique recoupe à 125/75
É. C-Lavoie	Ed0184	691 830	5 778 972	Bloc	M16 MAG+FOL-		Zone de blocs fortement magnétique; bloc anguleux à sub-anguleux. Amphibolite (méta-V3B); légèrement folié à composition Hb60, Qz20, Fp20 et Tr. Py/Po très finement disséminée en micro-amas
É. C-Lavoie	Ed0185	694 307	5 781 611	Affleurement	M1 FOLFIN / M22 PEG		Roche méta-sédimentaire à l'allure gneissique à grains fins, légèrement folié. Zone de leucosomes cmétriques à textures pegmatitique, voir migmatisé par endroits. Composition générale à QzPgBo. Affleurement très fracturé (joints métriques).
É. C-Lavoie	Ed0186	694 576	5 781 167	Affleurement	M1 FOLFIN / M22 PEG		Gneiss à composition tonalitique légèrement folié; portions migmatisées. Avec leucosomes plus grossiers. Composition minéralogique à BoQzPg (±Mv).
É. C-Lavoie	Ed0187	694 619	5 781 065	Affleurement	I1 PEG / M1 FOL		Intrusif felsique grossier QzFp; portions migmatisées; leucosomes riches en Qz grossier. Quelques zones à composition gneissiques avec foliation variable. Composition minéralogique à BoQzPg (±Mv).
É. C-Lavoie	Ed0188	694 711	5 781 457	Affleurement	I1 PEG Hem- / M22		Intrusif à composition granitique à texture Pegmatitique; 35% Qz, 65% Fp. Légèrement hématité par endroits
É. C-Lavoie	Ed0189	694 771	5 782 363	Affleurement	I1 PEG Hem-		Intrusif à composition granitique à texture Pegmatitique; 35% Qz, 65% Fp. Légèrement hématité par endroits

Notes de terrain - Extension 167

Géologue	Station	Estant (Nad83Z18)	Nordant (Nad83Z18)	Présentation	Roche hôte	Minéralisation	Description
É. C-Lavoie	Ed0190	694 723	5 782 416	Affleurement	I1 PEG Hem-		Intrusif à composition granitique à texture Pegmatitique; 35% Qz, 65% Fp. Légèrement hématisé par endroits
É. C-Lavoie	Ed0191	694 923	5 781 786	Affleurement	I1 PEG Hem-		Intrusif à composition granitique à texture Pegmatitique; 35% Qz, 65% Fp. Légèrement hématisé par endroits. Faille fragile à N125°/75°.
É. C-Lavoie	Ed0192	694 609	5 782 479	Affleurement	I1 PEG Hem-		Intrusif à composition granitique à texture Pegmatitique; 35% Qz, 65% Fp. Légèrement hématisé par endroits
É. C-Lavoie	Ed0193	694 726	5 782 730	Affleurement	I1B MOYPEG		Intrusif à composition granitique à texture Pegmatitique; 35% Qz, 65% Fp. Fp rosés plus grossiers (FPK?). Texture équigranulaire moyenne, parfois Pegmatitique dans zones à caractère leucocratique
É. C-Lavoie	Ed0194	694 766	5 782 691	Affleurement	I1B MOYPEG / I2 FIN Sil		Intrusif à composition granitique à texture Pegmatitique; 35% Qz, 65% Fp. Fp rosés plus grossiers (FPK?). Texture équigranulaire moyenne, parfois Pegmatitique dans zones à caractère leucocratique. Zone silicifiée (intrusif intermédiaire?-Pg-Bt-Qz) à grains très fins recoupe l'intrusif de façon nette à 335/80 (Photo Ed0194). Traces de Py dans cette portion de l'affleurement. Veines de Qz mmétriques anastomosées dans la partie silicifiée.
É. C-Lavoie	Ed0195	694 828	5 782 667	Affleurement	I1B MOYPEG / I2 FIN Sil	Py01	Intrusif à composition granitique à texture Pegmatitique; 35% Qz, 65% Fp. Fp rosés plus grossiers (FPK?). Texture équigranulaire moyenne, parfois Pegmatitique dans zones à caractère leucocratique. Intrusif intermédiaire(?) à grains très fins recoupe l'intrusif de façon nette (Photo Ed0195), bréchifie aux contact l'intrusif felsique, et emporte des fragments grossiers de I1. 1% Py dans l'intrusif silicifié, Py fine idiomorphe finement disséminée.
É. C-Lavoie	Ed0196	694 938	5 782 659	Affleurement	I2 FIN Sil / I1D MOYPEG	PyTr	Intrusif intermédiaire(?) massif d'épaisseur d'environ 2-4m (visible) à grains très fins recoupe l'intrusif I1 de façon nette (Photo Ed0196-01), contact ondulant toutefois (210/24). Composition à QzPgBo. Tr. - 1% Py dans l'intrusif silicifié, Py fine idiomorphe finement disséminée. Intrusif felsique à composition tonalitique (QzFP) à texture Pegmatitique; 35% Qz, 65% Fp. Fp rosés plus grossiers (FPK?). Texture équigranulaire moyenne, parfois Pegmatitique dans zones à caractère leucocratique
É. C-Lavoie	Ed0197	695 153	5 782 659	Affleurement	I2 FIN Sil / I1D MOYPEG		Intrusif intermédiaire(?) massif (épaisseur dmétrique) à grains très fins recoupe l'intrusif I1 de façon nette (Photo Ed0196-01), contact ondulant toutefois (210/24). Intrusif felsique à composition tonalitique (Qz-FP) à texture Pegmatitique; 35% Qz, 65% Fp. Fp rosés plus grossiers (FPK?). Texture équigranulaire moyenne, parfois Pegmatitique dans zones à caractère leucocratique

Notes de terrain - Extension 167

Géologue	Station	Estant (Nad83Z18)	Nordant (Nad83Z18)	Présentation	Roche hôte	Minéralisation	Description
É. C-Lavoie	Ed0198	695 167	5 782 662	Affleurement	I2 FIN Sil / I1D MOYPEG		Intrusif intermédiaire(?) massif (épaisseur décimétrique) à grains très fins recoupe l'intrusif I1 de façon nette (Photo Ed0196-01), contact ondulant toutefois (210/24). Intrusif felsique à composition tonalitique (Qz-FP) à texture Pegmatitique; 35% Qz, 65% Fp. Fp rosés plus grossiers (FPK?). Texture équi-granulaire moyenne, parfois Pegmatitique dans zones à caractère leucocratique
É. C-Lavoie	Ed0199	695 213	5 782 812	Affleurement	I2 FIN SilEpi- / I1D MOYPEG		Intrusif intermédiaire(?) massif (épaisseur décimétrique) à grains très fins recoupe l'intrusif I1 de façon nette (Photo Ed0196-01), contact ondulant toutefois (210/24). Intrusif felsique à composition tonalitique (Qz-FP) à texture Pegmatitique; 35% Qz, 65% Fp. Fp rosés plus grossiers (FPK?). Texture équi-granulaire moyenne, parfois Pegmatitique dans zones à caractère leucocratique. L'intrusif intermédiaire semble altéré et digérer l'intrusif tonalitique (Ed0199-03 & 04) dans une pâte d'altération en Qz, micas et Chl.
É. C-Lavoie	Ed0200	694 648	5 812 628	Bloc	T11? SCH Sil+		Bloc sub-arrondi de Tuf felsique ou intermédiaire à lapillis très silicifié, faiblement schisteux. La granulométrie est généralement fine, lapillis mm gris foncé; matrice gris clair. Horizons plus riches en silice. Similaire à échantillon 62170, sauf sans Py.
É. C-Lavoie	Ed0201	694 911	5 812 199	Affleurement	I3 / V3 FIN SCH-		Roche mafique à grains fins à moyens, avec une texture à aspect gabbroïque, composition à Qz-Pg-Hb±Cl (rétrograde). Légère schistosité. Quelques veines de Qz-Cl mm observées. Non-magnétique
É. C-Lavoie	Ed0202	695 241	5 812 297	Affleurement	I3 / V3 FINGLOSCH-		Roche mafique à grains fins à moyens, avec une texture à aspect gloméroporphyrique, composition à Qz-Pg-Hb±Chl (rétrograde). Légère schistosité, mais souvent massif. Gloméroporphyres (6) d'Hb chloritisées, parfois étirées par la faible schistosité. Fracturation générale @ 306/62
É. C-Lavoie	Ed0203	694 258	5 815 975	Affleurement	V3 - I3 FIN Sil-	Po01	Roche mafique à grains fins; massive légèrement silicifiée. Composition à Hb-Pg-Qz. Po faiblement disséminée (<2%) très fine. Légèrement magnétique
É. C-Lavoie	Ed0204	694 262	5 816 023	Affleurement	V3 - I3 FIN Sil-		Affleurement pris en note au passage. Verdâtre, similaire à Ed0203
É. C-Lavoie	Ed0205	694 250	5 815 989	Affleurement	M8	STW Qz	Affleurement pris en note au passage. Verdâtre, similaire à Ed0203; fort conducteur à proximité (±10 000 HFR) creusé et tombé sur fesse lisse non-échantillonnable (en termes de quantité) avec le temps restant. Apparence de sulfures en surface. À retourner vérifier.
É. C-Lavoie	Ed0206	694 308	5 816 049	Affleurement	I3 Sil SCH+	Py01	I3 très schisteux avec traces à 1% Py idiomorphe disséminée
É. C-Lavoie	Ed0207	689 897	5 780 254	Affleurement	I1B PEG Hem-		Intrusif à composition granitique à texture Pegmatitique; 35% Qz, 65% Fp. Légèrement hématisé par endroits

Notes de terrain - Extension 167

Géologue	Station	Estant (Nad83Z18)	Nordant (Nad83Z18)	Présentation	Roche hôte	Minéralisation	Description
É. C-Lavoie	Ed0208	689 975	5 780 238	Affleurement	I1B PEGMOY Hem-		Intrusif à composition granitique à texture Pegmatitique; 35% Qz, 65% Fp. Légèrement hématisé par endroits
É. C-Lavoie	Ed0209	690 006	5 780 304	Affleurement	I1B PEGMOY Hem-		Intrusif à composition granitique à texture Pegmatitique; 35% Qz, 65% Fp. Légèrement hématisé par endroits
É. C-Lavoie	Ed0210	689 902	5 780 601	Affleurement	I1 MOY		Intrusif à texture équi-granulaire moyenne; 5% Qz, 95% Fp rosés (potassiques ou alcalins?).
É. C-Lavoie	Ed0211	690 048	5 780 721	Affleurement	I1B PEGMOY Hem-		Intrusif à composition granitique à texture Pegmatitique; 35% Qz, 65% Fp. Légèrement hématisé par endroits
É. C-Lavoie	Ed0212	690 127	5 780 680	Affleurement	I1B PEGMOY Hem-		Intrusif à composition granitique à texture Pegmatitique; 35% Qz, 65% Fp. Légèrement hématisé par endroits
É. C-Lavoie	Ed0213	690 376	5 780 792	Affleurement	I1D PORFp FOL Chl-		Zone porphyrique (60% Pg, <5% FpK, 30% Hb et 5% Mt. Phénocristaux (ou porphyroclastes issus de recristallisation???) cmétriques et idiomorphes. Orientation préférentielle des POR. Chl rétrograde dans la matrice
É. C-Lavoie	Ed0214	690 583	5 780 612	Affleurement	I1B PEGMOY Hem-		Intrusif à composition granitique à texture Pegmatitique; 35% Qz, 65% Fp. Légèrement hématisé par endroits
É. C-Lavoie	Ed0215	690 605	5 780 565	Affleurement	I1B PEGMOY Hem-		Intrusif à composition granitique à texture Pegmatitique; 35% Qz, 65% Fp. Légèrement hématisé par endroits
É. C-Lavoie	Ed0216	690 666	5 780 521	Affleurement	I1B PEGMOY Hem-		Intrusif à composition granitique à texture Pegmatitique; 35% Qz, 65% Fp. Légèrement hématisé par endroits
É. C-Lavoie	Ed0217	690 690	5 780 505	Affleurement	I1B PEGMOY Hem-		Intrusif à composition granitique à texture Pegmatitique; 35% Qz, 65% Fp. Légèrement hématisé par endroits
É. C-Lavoie	Ed0218	690 703	5 780 497	Affleurement	I1B PEGMOY Hem-		Intrusif à composition granitique à texture Pegmatitique; 35% Qz, 65% Fp. Légèrement hématisé par endroits
É. C-Lavoie	Ed0220	690 867	5 780 458	Affleurement	I1B PEGMOY Hem-		Intrusif à composition granitique à texture Pegmatitique; 35% Qz, 65% Fp. Légèrement hématisé par endroits
É. C-Lavoie	Ed0221	690 890	5 780 475	Affleurement	I1B PEGMOY Hem-		Intrusif à composition granitique à texture Pegmatitique; 35% Qz, 65% Fp. Légèrement hématisé par endroits
É. C-Lavoie	Ed0222	690 915	5 780 488	Affleurement	I1B PEGMOY Hem-		Intrusif à composition granitique à texture Pegmatitique; 35% Qz, 65% Fp. Légèrement hématisé par endroits
É. C-Lavoie	Ed0223	691 053	5 780 632	Affleurement	I1B PEGMOY Hem-		Intrusif à composition granitique à texture Pegmatitique; 35% Qz, 65% Fp. Légèrement hématisé par endroits
É. C-Lavoie	Ed0224	690 979	5 780 864	Affleurement	I1B PEGMOY Hem-		Intrusif à composition granitique à texture Pegmatitique; 35% Qz, 65% Fp. Légèrement hématisé par endroits
É. C-Lavoie	Ed0225	690 912	5 780 903	Affleurement	I1D PORFp FOL		Zone porphyrique (60% Pg, <5% FpK, 30% Hb et 5% Mt. Phénocristaux (ou porphyroclastes issus de recristallisation???) cmétriques et idiomorphes. Orientation préférentielle des POR.
É. C-Lavoie	Ed0226	690 833	5 780 952	Affleurement	M16 MOYSCHMAG		Amphibolite (?) à grains moyens. Composition à Bt (20) Hb(35) Pg(30). Schistosité (orientation seulement) @055N. Fracturation à 200/S.V.
É. C-Lavoie	Ed0227	690 799	5 780 906	Affleurement	M16 MOYSCHMAG		Amphibolite (?) à grains moyens. Composition à Bt (20) Hb(35) Pg(30)

Notes de terrain - Extension 167

Géologue	Station	Estant (Nad83Z18)	Nordant (Nad83Z18)	Présentation	Roche hôte	Minéralisation	Description
É. C-Lavoie	Ed0228	694 364	5 816 119	Affleurement	I4 - I3 SCH+ Sil-Tlc	Py02	Intrusif (I4?) ultramafique-mafique altéré en talc et composition >95% Amphibole. Schisteux, avec veinules de QzFp (contenant traces de Su). Quelques rares veinules tardives de Py idiomorphe grossière. Non-magnétique.
É. C-Lavoie	Ed0229	694 343	5 816 114	Affleurement	I3 SCH Sil / I4 SCH+ Sil-	Py02Po01Gp10; STW Qz	Suite des faciès décrits dans les échantillons 62192-62196. Pour de plus amples détails, voir cartographie simplifiée scannée. Photos: 01: portion N avec regard vers le N. Photo 02: Regard vers le Sud de la Portion Sud. Photo 03: Portion sud; regard vers le N.
É. C-Lavoie	Ed0231	697 903	5 818 268	Affleurement	I1 PEG / M1 FOL		Intrusif felsique granitique avec Qz-Fp et Tr. Grenats fins idiomorphes. Texture pegmatitique avec des apophyses (dyke) qui pénètre dans un Gneiss schisteux. Fractures dans le gneiss @ 142/65. Le dyke a des bordures ondulantes, et le pendage semble varier rapidement, mais dans une direction générale de 050N.
É. C-Lavoie	Ed0231	697 903	5 818 268	Affleurement	I1 PEG / M1 FOL		Intrusif felsique granitique avec Qz-Fp et Tr. Grenats fins idiomorphes. Texture pegmatitique avec des apophyses (dyke) qui pénètre dans un Gneiss schisteux. Fractures dans le gneiss @ 142/65. Le dyke a des bordures ondulantes, et le pendage semble varier rapidement, mais dans une direction générale de 050N.
É. C-Lavoie	Ed0232	697 594	5 819 177	Affleurement	V3 AMPEpi-	PyTr	Basalte amphibolitisé, avec veines de Qz-Fp(Sericitisées) dans la schistosité S1. Schistosité S2 observée (voir photos) replissant les veines de Qz-Fp. Quelques joints mesurés, mais aussi des veinules dans l'orientation de S2 (marginales). Les veinules Qz-Fp semblent en tension par endroits, voire parfois boudinées. Sûrement présence de Cb dans les veines à certains endroits, maintenant vides.
É. C-Lavoie	Ed0232	697 594	5 819 177	Affleurement	V3 AMPEpi-	PyTr	Basalte amphibolitisé, avec veines de Qz-Fp(Sericitisées) dans la schistosité S1. Schistosité S2 observée (voir photos) replissant les veines de Qz-Fp. Quelques joints mesurés, mais aussi des veinules dans l'orientation de S2 (marginales). Les veinules Qz-Fp semblent en tension par endroits, voire parfois boudinées. Sûrement présence de Cb dans les veines à certains endroits, maintenant vides.
É. C-Lavoie	Ed0232	697 594	5 819 177	Affleurement	V3 AMPEpi-	PyTr	Basalte amphibolitisé, avec veines de Qz-Fp(Sericitisées) dans la schistosité S1. Schistosité S2 observée (voir photos) replissant les veines de Qz-Fp. Quelques joints mesurés, mais aussi des veinules dans l'orientation de S2 (marginales). Les veinules Qz-Fp semblent en tension par endroits, voire parfois boudinées. Sûrement présence de Cb dans les veines à certains endroits, maintenant vides.
É. C-Lavoie	Ed0233	697 620	5 819 191	Affleurement	V3 AMPEpi-Chl		Basalte amphibolitisé, avec veines de Qz-Fp(Sericitisées) dans la schistosité S1. Les VnQz-Fp ont des couronnes de Chl autour(voir photo)

Notes de terrain - Extension 167

Géologue	Station	Estant (Nad83Z18)	Nordant (Nad83Z18)	Présentation	Roche hôte	Minéralisation	Description
É. C-Lavoie	Ed0234	697 664	5 819 450	Affleurement	I1 MOY / I1G Hem-		Intrusif granitique à grains moyens, magnétique. Quelques dykes pegmatitiques cmétriques. Hématisation locale.
É. C-Lavoie	Ed0235	697 674	5 819 430	Affleurement	M16 Sil+		Amphibolite silicifiée avec litage métamorphique (silice-amphibole-silice: voir témoin) @045/37. Quelques STW Qz grossier boudinées mise en place dans S1. Recoupement de S1 par des veines de Qz-Epi (FRA @ 162/34)
É. C-Lavoie	Ed0236	697 703	5 819 406	Affleurement	M16 MOY SCH+		Amphibolite schisteuse à grains moyens avec >90% Amp, 10%Pg. Schistosité principale @ 045/55
É. C-Lavoie	GAT-5	688 549	5 740 443	Forage	Forage		
L. Grenier	LG0002	689 189	5 738 856	Affleurement	M16		Amphibolite. Composé d'Am, de Pg et de Qz, Sil.
L. Grenier	LG0007	688 559	5 738 913	Affleurement	V2 SerSil SCH	VEI Qz	Andésite. 75% Pg, 20% Qz, 5% Sr. STW Qz 2-5mm. 2 fragments? Altération en séricite et silice. Unité idem à celle avec les yeux de quartz. SCH bien développée.
L. Grenier	LG0008	688 550	5 738 911	Affleurement	V3 Sil		Basalte silicifié. 80% d'Am, 20% Pg, grains moyens. Brèche au contact avec les felsiques. Basalte au nord, felsique au sud. Possibilité de coussins dans le basalte et une polarité peu convaincante vers le sud. La felsite montre beaucoup de fragments d'env. 10cm très allongés, probablement des blocs.
L. Grenier	LG0011	688 228	5 738 292	Affleurement	M16 – V3 Amp		Basalte Amp? 60% d'Am, 20% Pg et 20% Cc. Beaucoup plus massif que les expositions au nord.
L. Grenier	LG0013	688 285	5 738 890	Affleurement	M16 / I3A		Amphibolite. 55% Am, 35% Pg, 10% Px. Coussin avec polarité vers le Sud. 20% d'intrusion I3A
L. Grenier	LG0013	688 285	5 738 890	Affleurement	M16 – V3B COU		Amphibolite. 55% Am, 35% Pg, 10% Px.. Coussin avec polarité vers le Sud. 20% d'intrusion I3A
L. Grenier	LG0014	687 917	5 739 014	Affleurement	I3A – V3B MAS		Gabbro ou coulée massive amphibolitisé. 60%Px, 20%Ac, 20%Pg. Serpentinisation météorique en surface.
L. Grenier	LG0019	688 211	5 739 029	Affleurement	V3B		Basalte. 70% Am, 20%Pg, 10%Cl. Altération rétrograde en surface.
L. Grenier	LG0023	688 090	5 738 826	Affleurement	M16 – V3B		Amphibolite. 78%Am, 20%Pg, 2%Qz.
L. Grenier	LG0030	688 499	5 739 970	Affleurement	V3B APHSCH Amp		Basalte amphibolitisé. 75%Am, 20%Pg, 2%Qz. Textures aphanitique, homogène et schisteux. Silicification en veinules millimétrique.
L. Grenier	LG0031	688 497	5 739 908	Affleurement	V3B Amp		Basalte amphibolitisé. 75%Am, 21%Pg, 2%Qz, 2%Cc. Textures homogène et granoblastique, granulométrie moyenne. Silicification en veinules millimétrique.
L. Grenier	LG0033	688 485	5 739 670	Affleurement	V3B COU?		Basalte amphibolitisé. 75%Am, 23%Pg, 2%Qz. Granulométrie moyenne, textures homogène, schisteuse, granoblastique et peut-être coussinée. Silicification en veinules millimétrique perpendiculaire et parallèle à la schistosité.
L. Grenier	LG0034	688 485	5 739 621	Affleurement	V3B Amp		Basalte amphibolitisé. 73%Am, 20%Pg, 5%Cl, 2%Qz. Granulométrie moyenne, textures coussinée et granoblastique. Polarité vers le sud. Chloritisation des bordures

Notes de terrain - Extension 167

Géologue	Station	Estant (Nad83Z18)	Nordant (Nad83Z18)	Présentation	Roche hôte	Minéralisation	Description
L. Grenier	LG0035	688 494	5 739 574	Affleurement	V3B Amp		Basalte amphibolitisé. 73%Am, 25%Pg, 2%Qz. Granulométrie fine, textures schisteuse. Silicification en veinules millimétriques.
L. Grenier	LG0036	688 476	5 739 491	Affleurement	V3B Amp		Basalte amphibolitisé. 75%Am, 21%Pg, 2%Cc, 2%Qz. Granulométrie aphanitique, textures schisteuse, hétérogène et granoblastique avec 2% d'amas de Qz-Pg. Altération carbonatée en veinules millimétriques
L. Grenier	LG0037	688 464	5 739 375	Affleurement	V3B Amp		Basalte amphibolitisé. 63%Hb, 15%Ac, 20%Pg, 2%Qz. Granulométrie moyenne, textures massive, homogène et granoblastique.
L. Grenier	LG0038	688 423	5 739 270	Affleurement	I4A GRO – V4		Hornblendite. 73%Hb, 25%Cx, 2%Cb. Granulométrie grossière, textures homogène et massive, dissolution en surface. Non magnétique. Coulée massive ou intrusion ultramafique.
L. Grenier	LG0039	688 364	5 739 278	Affleurement	I4A GRO – V4		Hornblendite. 73%Hb, 25%Cx, 2%Cb. Granulométrie grossière, textures homogène et massive, dissolution en surface. Non magnétique. Coulée massive ou intrusion ultramafique.
L. Grenier	LG0040	688 306	5 738 244	Affleurement	I4A GRO – V4		Hornblendite. 73%Hb, 25%Cx, 2%Cb. Granulométrie grossière, textures homogène et massive, dissolution en surface. Non magnétique. Coulée massive ou intrusion ultramafique.
L. Grenier	LG0041	688 275	5 739 221	Affleurement	I4A GRO – V4		Hornblendite. 73%Hb, 25%Cx, 2%Cb. Granulométrie grossière, textures homogène et massive, dissolution en surface. Non magnétique. Coulée massive ou intrusion ultramafique.
L. Grenier	LG0042	688 277	5 739 265	Affleurement	I4A GRO – V4		Hornblendite. 73%Hb, 25%Cx, 2%Cb. Granulométrie grossière, textures homogène et massive, dissolution en surface. Non magnétique. Coulée massive ou intrusion ultramafique.
L. Grenier	LG0043	688 253	5 739 387	Affleurement	V3B MOYSCH Amp		Basalte amphibolitisé. 73%Am, 20%Pg, 5%Cx, 2%Cc. Granulométrie moyenne, textures homogène, massive. Altération carbonatée en veinules millimétriques.
L. Grenier	LG0046	688 199	5 739 888	Affleurement	V3B MOYSCH Amp		Basalte amphibolitisé. 73%Am, 25%Pg, 2%Qz. Granulométrie moyenne, textures granoblastique et hétérogène. 10% de porphyroclastes de hornblende de 5 millimètres.
L. Grenier	LG0047	688 257	5 739 894	Affleurement	V3B FINCOU AmpChl-		Basalte amphibolitisé. 75%Am, 21%Pg, 2%Qz, 2%Cc. Granulométrie fine, textures granoblastique et hétérogène. Coussins de 10 X 30 cm. Chloritisation des bordures de coussin.
L. Grenier	LG0048	688 275	5 739 987	Affleurement	V3B FINSCH Amp		Basalte amphibolitisé. 75%Am, 20%Pg, 3%Qz, 2%Cc. Granulométrie fine, textures hétérogène, schisteux et avec des injections de plagioclase de 1 cm de puissance.

Notes de terrain - Extension 167

Géologue	Station	Estant (Nad83Z18)	Nordant (Nad83Z18)	Présentation	Roche hôte	Minéralisation	Description
L. Grenier	LG0049	688 372	5 740 020	Affleurement	V3B MOYSCH Amp		Basalte amphibolitisé. 80% Am, 10%Pg, 1%Qz. Granulométrie moyenne, textures homogène et coussinée. Coussins de 20 X 30 cm avec les bordure chloritisés indiquant une polarité vers le sud
L. Grenier	LG0050	688 105	5 740 054	Affleurement	V3B APH Amp		Basalt amphibolitisé. 80%Am, 18%Pg, 2%Qz. Granulométrie aphanitique et textures homogène. Silicification en veinules millimétrique
L. Grenier	LG0051	688 145	5 739 907	Affleurement	V3B MOY Amp		Basalt amphibolitisé. 75% Am, 22%Pg, 2%Qz, 1%Cc. Granulométrie moyenne, textures granoblastique et homogène. Silicification en veinules millimétrique
L. Grenier	LG0053	688 084	5 739 124	Affleurement	I4A GRO – V4	Mt01	Hornblendite. 65%Hb, 15%Cx, 15%Pg, 5%Cc. Granulométrie grossière, textures homogène et massive. Carbonatation pervasive. Coulée massive ou intrusion ultra mafique
L. Grenier	LG0054	687 960	5 739 677	Affleurement	V3B MOY Amp		Basalte amphibolitisé. 75%Am, 23%Pg, 1%Qz, 1%Cc. Granulométrie moyenne, textures granoblastique et homogène
L. Grenier	LG0055	687 965	5 739 730	Affleurement	V3B MOY Amp		Basalte amphibolitisé. 75%Am, 21%Pg, 2%Qz, 2%Cc. Granulométrie moyenne, textures granoblastique et schisteuse. Silicification en veinules millimétriques.
L. Grenier	LG0057	687 853	5 739 926	Affleurement	V3B MOY Amp		Basalte amphibolitisé. 75%Am, 23%Pg, 2%Qz. Granulométrie moyenne, textures schisteuse et granoblastique.
L. Grenier	LG0058	687 883	5 739 832	Affleurement	V3B MOY Amp		Basalte amphibolitisé. 75%Am, 25%Pg. Granulométrie moyenne, textures granoblastique et homogène.
L. Grenier	LG0059	687 917	5 739 731	Affleurement	V3B MOYCOU Amp		Basalte amphibolitisé. 75%Am, 22%Pg, 2%Qz, 1%Cl. Granulométrie moyenne, textures coussinée et granoblastique. Coussins de 10 X 20 cm vue en coupe.
L. Grenier	LG0060	687 872	5 739 596	Affleurement	V3B FINSCH Amp		Basalte amphibolitisé. 63%Am, 20%Pg, 5%Cl, 2%Qz. Granulométrie fine, textures homogène et schisteuse. Chloritisation rétrograde en surface
L. Grenier	LG0061	687 848	5 739 499	Affleurement	V3B FINSCHCOU? Amp		Basalte amphibolitisé, 75%Am, 20%Pg, 5%Cl. Granulométrie fine, textures homogène, schisteuse, faillé et peut-être coussinée. Chloritisation en surface. Polarité vers le nord mais difficile à identifier.
L. Grenier	LG0064	687 698	5 739 626	Affleurement	V3B FIN Amp		Basalte amphibolitisé. 75%Am, 23%Pg, 2%Qz. Granulométrie fine à aphanitique, textures homogène et schisteuse. 2% d'injections millimétrique de quartz
L. Grenier	LG0065	687 720	5 739 732	Affleurement	V3B FIN Amp	Py01	Basalte amphibolitisé. 75%Am, 21%Pg, 2%Cc, 2%Qz. Granulométrie fine, textures homogène, schisteuse et granoblastique avc 2% d'injection de plagioclase. Pyrite disséminée dans les zones plus cisailée. Silicification en veinules millimétriques
L. Grenier	LG0066	687 714	5 739 830	Affleurement	V3B FINSCH Amp		Basalte amphibolitisé. 75%Am, 23%Pg, 2%Qz. Granulométrie fine, textures homogène et schisteuse.

Notes de terrain - Extension 167

Géologue	Station	Estant (Nad83Z18)	Nordant (Nad83Z18)	Présentation	Roche hôte	Minéralisation	Description
L. Grenier	LG0067	687 741	5 740 025	Affleurement	V3B MOYSCH AmpSil-		Basalte amphibolitisé. 75%Am, 23%Pg, 2%Qz. Granulométrie moyenne, textures granoblastique, homogène, schisteuse. 2% injections de quartz millimétrique. Silicification en veinules.
L. Grenier	LG0068	687 598	5 740 029	Affleurement	V3B FIN AmpSil-		Basalte amphibolitisé. 75%Am, 21%Pg, 2%Qz, 2%Cc. Granulométrie fine, textures granoblastique, hétérogène et bréchique. 2% d'injections de plagioclase et de quartz. Silicification en veinules millimétriques.
L. Grenier	LG0069	687 600	5 739 745	Affleurement	V3B MOYSCH AmpSil-		Basalte amphibolitisé. 75%Am, 25%Pg. Granulométrie moyenne, textures granoblastique, homogène et schisteuse. Silicification en veinules millimétriques
L. Grenier	LG0070	687 617	5 739 622	Affleurement	V3B MOYCOU Amp		Basalte amphibolitisé. 75%Am, 23%Pg, 2%Qz. Granulométrie moyenne, textures granoblastique, homogène et coussiné. 2% d'amas de quartz de 2 centimètres. Silicification en veinules millimétriques recoupant le litage. Bordures de cousisns nets.
L. Grenier	LG0070	687 617	5 739 622	Affleurement	V3B MOYCOU Amp		Basalte amphibolitisé. 75%Am, 23%Pg, 2%Qz. Granulométrie moyenne, textures granoblastique, homogène et coussiné. 2% d'amas de quartz de 2 centimètres. Silicification en veinules millimétriques recoupant le litage. Bordures de cousisns nets.
L. Grenier	LG0071	687 517	5 739 458	Affleurement	V3B MOYCOU Amp		Basalte amphibolitisé. 75%Am, 23%Pg, 2%Qz, trSF. Granulométrie moyenne, textures granoblastique, schisteuse, homogène et coussinée. Coussins de 10 X 20 centimètres. Silicification en veinules millimétrique.
L. Grenier	LG0073	687 285	5 739 784	Affleurement	V3B MOYCOU Amp		Basalte amphibolitisé. 75%Am, 22%Pg, 2%Qz. Granulométrie moyenne, textures granoblastique, homogène et coussinée. Coussins de 20 X 30 centimètres. 2% d'amas de 4 centimètres.
L. Grenier	LG0074	687 288	5 739 951	Affleurement	V3B MOYCOU Amp		Basalte amphibolitisé. 75%Am, 25%Pg. Granulométrie moyenne, textures granoblastique, homogène et coussinée. Silicification en veinules millimétriques.
L. Grenier	LG0075	687 187	5 739 950	Affleurement	V3B MOYCOU Amp		Basalte amphibolitisé. 75%Am, 23%Pg, 2%Qz. Granulométrie moyenne, textures homogène, granoblastique, coussinée. Volcanite felsique. 60%Pg, 40%Qz. Granulométrie fine, textures schisteuse et homogène. Cisaillement avec des bandes de quartz démembrées.
L. Grenier	LG0087	687 227	5 740 671	Affleurement	V1 FINSCH		
L. Grenier	LG0089	692 513	5 772 509	Affleurement	M16		Amphibolite. 80%Am, 15%Pg, 5%Bo. Granulométrie grossière, texture granoblastique, homogène, schisteuse. Une veine de quartz perpendiculaire à la schistosité. 10% de leucosome pegmatitique.
L. Grenier	LG0091	691 495	5 771 693	Affleurement	M4		Paragneiss. 45%Pg, 35%Qz, 20%Bo. 40% de leucosome pegmatitique. Granulométrie moyenne, textures homogène, granoblastique et rubané.

Notes de terrain - Extension 167

Géologue	Station	Estant (Nad83Z18)	Nordant (Nad83Z18)	Présentation	Roche hôte	Minéralisation	Description
L. Grenier	LG0093	688 593	5 739 852	Affleurement	V3B SCHCOU? Amp		Basalte amphibolitisé. 75%Am, 25%Pg. Granulométrie moyenne, textures granoblastique, homogène, schisteuse avec peut-être coussiné.
L. Grenier	LG0094	688 652	5 739 746	Affleurement	V3B Amp		Basalte amphibolitisé. 75%Am, 23%Pg, 2%Qz. Granulométrie grossière, textures homogène et granoblastique.
L. Grenier	LG0095	688 652	5 739 696	Affleurement	V3B COU Amp		Basalte amphibolitisé. 75%Am, 23%Pg, 2%Qz. Granulométrie fine, textures homogène, schisteuse avec des coussins de 10 X 20 centimètres. Silicification en veinules millimétriques
L. Grenier	LG0096	688 660	5 739 672	Affleurement	V3B COU Amp		Basalte amphibolitisé. 75%Am, 23%Pg, 2%Qz. Granulométrie fine, textures homogène, schisteuse avec des coussins de 10 X 20 centimètres. Silicification en veinules millimétriques
L. Grenier	LG0100	688 821	5 739 646	Affleurement	V3B GROSCH Amp		Basalte amphibolitisé. 75%Am, 25%Pg. Granulométrie grossière, textures homogène, granoblastique et schisteuse.
L. Grenier	LG0102	688 857	5 739 664	Affleurement	V3B GROSCHCOUPORGr Amp	Py01	Basalte amphibolitisé. 70%Am, 25%Pg, 3%Qz, 2%Gr. Granulométrie grossière, textures homogène, schisteuse, granoblastique, coussinée. 2% de porphyroblastes de grenats 2-5 millimètres et 2% d'injections de quartz.
L. Grenier	LG0104	688 832	5 739 837	Affleurement	V3B GRO amp		Basalte amphibolitisé. 68%Am, 30%Pg, 2%Qz. Granulométrie grossière, textures homogène, granoblastique, massive avec 3% d'injections de plagioclases.
L. Grenier	LG0105	688 834	5 739 885	Affleurement	V3B MOYSCHCOU Amp		Basalte amphibolitisé. 75%Am, 25%Pg. Granulométrie moyenne, textures homogène, schisteuse avec des petits coussins.
L. Grenier	LG0106	688 782	5 739 891	Affleurement	V3B MOYSCHCOU Amp		Basalte amphibolitisé. 75%Am, 25%Pg. Granulométrie moyenne, textures homogène, schisteuse avec des petits coussins.
L. Grenier	LG0107	688 785	5 739 923	Affleurement	V3B MOYSCHCOU Amp		Basalte amphibolitisé. 75%Am, 25%Pg. Granulométrie moyenne, textures homogène, schisteuse avec des petits coussins.
L. Grenier	LG0108	692 706	5 772 713	Affleurement	M21		Migmatite. 60%Pg, 20%Qz, 15%Bo, 5%Am. Granulométrie très grossière, textures pegmatitique, hétérogène et faillée avec des enclaves de M16 de 2 X 2 mètres sub-arrondie.
L. Grenier	LG0109	692 741	5 772 828	Affleurement	I1D(M21)		Tonalite d'anatexie. 59%Pg, 35%Qz, 5%Bo, 1%Ox. Granulométrie moyenne, textures pegmatitique, homogène et granoblastique. Trace de magnétite.
L. Grenier	LG0110	692 766	5 772 944	Affleurement	I1D(M21)		Tonalite d'anatexie. 59%Pg, 35%Qz, 5%Bo, 1%Ox. Granulométrie moyenne, textures pegmatitique, homogène et granoblastique. Trace de magnétite.

Notes de terrain - Extension 167

Géologue	Station	Estant (Nad83Z18)	Nordant (Nad83Z18)	Présentation	Roche hôte	Minéralisation	Description
L. Grenier	LG0111	692 871	5 773 955	Affleurement	I1D(M21)		Tonalite d'anatexie. 60%Pg, 35%Qz, 5%Bo. Granulométrie moyenne, textures pegmatitique, homogène et granoblastique.
L. Grenier	LG0112	692 874	5 774 004	Affleurement	I1D(M21)		Tonalite d'anatexie. 60%Pg, 35%Qz, 5%Bo. Granulométrie moyenne, textures pegmatitique, homogène et granoblastique.
L. Grenier	LG0113	692 965	5 773 898	Affleurement	I1D(M21)		Tonalite d'anatexie. 60%Pg, 35%Qz, 5%Bo. Granulométrie moyenne, textures pegmatitique, homogène et granoblastique.
L. Grenier	LG0116	693 283	5 774 115	Affleurement	I1D(M21)		Tonalite d'anatexie. 60%Pg, 35%Qz, 5%Bo. Granulométrie moyenne, textures pegmatitique, homogène et granoblastique.
L. Grenier	LG0117	693 545	5 774 506	Affleurement	M16 GRO		Amphibolite. 75%Am, 25%Pg. Granulométrie grossière, textures granoblastique, homogène vue sur un flanc de montagne couvert de mousse.
L. Grenier	LG0118	693 557	5 774 493	Affleurement	M16 GRO		Amphibolite. 75%Am, 25%Pg. Granulométrie grossière, textures homogène, granoblastique avec 5% de leucosome de 1-5 centimètres de puissances.
L. Grenier	LG0120	693 601	5 774 466	Affleurement	M16 GRO	Mt01	Amphibolite. 74%Am, 25%Pg, 1%Ox. Granulométrie grossière, textures homogène, granoblastique avec 2% de leucosomes pegmatitiques.
L. Grenier	LG0121	693 548	5 774 666	Affleurement	M22 PEG		Migmatite. 55%Pg, 45%Qz. Granulométrie pegmatitique, textures gneissique, hétérogène, rubannée avec une enclaves de paragneiss et 1% de veines de quartz amorphe.
L. Grenier	LG0122	693 659	5 774 771	Affleurement	I1G PEG		Pegmatite. 65%Pg, 35%Qz. Granulométrie pegmatitique, textures homogène, massive.
L. Grenier	LG0123	693 673	5 774 508	Affleurement	M22 - M16		Migmatite. 54%Pg, 40%Am, 5%Qz, 1%Ox. Granulométrie grossière, textures granoblastique, homogène avec 2% d'injections de quartz et de plagioclases. Probablement issue d'une amphibolite.
L. Grenier	LG0126	693 931	5 774 487	Affleurement	I1D		Tonalite. 60%Pg, 38%Qz, 2%Am. Granulométrie grossière et texture homogène.
L. Grenier	LG0127	694 082	5 774 590	Affleurement	M16 MOYFOL		Amphibolite. 55%Am, 40%Pg, 5%Gr. Granulométrie moyenne, textures schisteuse, homogène, 2% d'injections de quartz millimétrique et 5% de porphyroblastes de grenats de 5-10 millimètres.
L. Grenier	LG0128	694 133	5 774 643	Affleurement	M16 GRO	Py01	Amphibolite. 65%Am, 30%Pg, 5%Qz. Granulométrie grossière, textures granoblastique, schisteuse avec 5% de leucosomes. 1% d'amas de quartz entre 20 X 30 centimètres.
L. Grenier	LG0129	694 118	5 774 725	Affleurement	I1D GROPEG		Tonalite. 60%Pg, 40%Qz. Granulométrie grossière, textures pegmatitique, homogène et massive.
L. Grenier	LG0130	694 281	5 774 732	Affleurement	M4 FOL		Paragneiss, 55%Pg, 25%Qz, 20%Bo. Granulométrie moyenne, textures granoblastique, schisteuse avec 5% d'injections de plagioclases et de quartz millimétrique.

Notes de terrain - Extension 167

Géologue	Station	Estant (Nad83Z18)	Nordant (Nad83Z18)	Présentation	Roche hôte	Minéralisation	Description
L. Grenier	LG0131	694 243	5 774 703	Affleurement	M16 MOYFOL		Amphibolite. 75%Am, 25%Pg. Granulométrie moyenne, textures granoblastique, homogène et schisteuse.
L. Grenier	LG0132	694 310	5 774 659	Affleurement	M4 FINFOL / I PEG	STW05 Qz	Paragneiss. 58%Pg, 30%Qz, 10%Bo, 2%Gr. Granulométrie fine, textures schisteuses, homogène, 5% d'injections de quartz et de plagioclases. Dyke de pegmatite.
L. Grenier	LG0136	694 307	5 774 545	Affleurement	M22 GRO FOL		Migmatite. 50%Pg, 40%Qz, 10%Bo. Granulométrie grossière, textures schisteuse, rubannée avec 25% de leucosomes
L. Grenier	LG0141	691 960	5 776 343	Affleurement	M22 GRO		Migmatite. 70%Pg, 20%Qz, 10%Bo. Granulométrie grossière, textures pegmatitique avec 60% de leucosomes.
L. Grenier	LG0142	691 953	5 775 698	Affleurement	M22 - M16 GRO		Orthogneiss migmatisé. 50%PG, 35%Am, 15%Qz. Granulométrie grossière, textures granoblastique, hétérogène avec 10% de leucosomes centimétriques.
L. Grenier	LG0143	691 978	5 775 646	Affleurement	M22 GRO		Migmatite. 60%Pg, 30%Qz, 10%Bo. Granulométrie grossière, textures rubannée, hétérogène avec 50% de leucosomes.
L. Grenier	LG0144	692 005	5 775 565	Affleurement	M22 GRO		Migmatite. 60%Pg, 30%Qz, 10%Bo. Granulométrie grossière, textures rubannée, hétérogène avec 50% de leucosomes.
L. Grenier	LG0145	691 985	5 775 509	Affleurement	M22 MOY		Migmatite ou paragneiss fortement migmatisé. 55%Pg, 30%Qz, 10%Bo, 5%Am. Granulométrie moyenne, textures granoblastique, rubannée, hétérogène avec 30% de leucosomes. Structure très variable.
L. Grenier	LG0148	692 571	5 776 280	Affleurement	M4 MOYRUB		Paragneiss, 55% Qz, 20% Bo, 20% Pg, 5% Hb. Granulométrie moyenne, textures granoblastique, rubannée, homogène avec 15% de leucosomes.
L. Grenier	LG0149	692 563	5 776 460	Affleurement	M4 MOYRUB		Paragneiss. 55% Qz, 20% Bo, 20% Pg, 5% Hb. Granulométrie moyenne, textures granoblastique, homogène, rubannée avec 20% de leucosomes centimétriques.
L. Grenier	LG0150	692 605	5 776 534	Affleurement	M4 MOYRUB		Paragneiss. 55% Qz, 20% Bo, 20% Pg, 5% Hb. Granulométrie moyenne, textures granoblastique, homogène, rubannée avec 10% de leucosomes centimétriques.
L. Grenier	LG0153	693 190	5 777 313	Affleurement	M4 GRO / I1G		Paragneiss avec pegmatite. 55% Pg, 40% Qz, 5% Bo. Contact entre le leucosome et le mélanosome. Granulométrie grossière, textures homogène et massive.
L. Grenier	LG0154	693 163	5 776 919	Affleurement	M22 GRORUB		Migmatite. 70% Pg, 15% Bo, 15% Qz. Granulométrie grossière, textures granoblastique, hétérogène, rubannée avec 30% de leucosomes centimétrique à décimétrique.
L. Grenier	LG0156	693 067	5 776 693	Affleurement	I1G GRO		Pegmatite. 60% Pg, 35% Qz, 5% Bo. Granulométrie très grossière, textures pegmatitique, homogène et massive. Bande d'une grande puissance de leucosome dans une mer de migmatite.

Notes de terrain - Extension 167

Géologue	Station	Estant (Nad83Z18)	Nordant (Nad83Z18)	Présentation	Roche hôte	Minéralisation	Description
L. Grenier	LG0157	692 944	5 778 139	Affleurement	I1G GRO		Pegmatite. 70%Pg, 25%Qz, 5%Bo. Granulométrie grossière, textures homogène, massive avec 2% enclaves allongée de paragneiss.
L. Grenier	LG0158	693 592	5 777 556	Affleurement	M22 GRO		Migmatite. 50%Pg, 25%Qz, 25%Bo. Granulométrie grossière, textures hétérogène, rubannée avec 60% de leucosomes dont certain de puissance métrique. Zone d'affleurements séparée par une faille.
L. Grenier	LG0159	693 626	5 777 295	Affleurement	M22 GRO		Migmatite. 60%Pg, 20%Bo, 20%Qz. Granulométrie grossière, textures hétérogène, rubannée, granoblastique avec 40% de leucosomes.
L. Grenier	LG0160	693 676	5 777 275	Affleurement	M22 GRO		Migmatite. 60%Pg, 20%Bo, 20%Qz. Granulométrie grossière, textures hétérogène, rubannée, granoblastique avec 40% de leucosomes.
L. Grenier	LG0161	693 636	5 777 194	Affleurement	M22 GROPEG		Migmatite. 60%Pg, 20%Bo, 20%Qz. Granulométrie grossière à pegmatitique, textures hétérogène, rubannée, granoblastique avec 40% de leucosomes.
L. Grenier	LG0162	693 663	5 777 163	Affleurement	M22 GROPEG		Migmatite. 60%Pg, 20%Bo, 20%Qz. Granulométrie grossière à pegmatitique, textures hétérogène, rubannée, granoblastique avec 40% de leucosomes.
L. Grenier	LG0163	693 736	5 777 108	Affleurement	I1D GRO		Tonalite. 65%Pg, 30%Qz, 5%Bo, 2%Cl. Granulométrie grossière, textures homogène et massive
L. Grenier	LG0164	693 846	5 776 913	Affleurement	I1D GRO		Tonalite. 65%Pg, 30%Qz, 5%Bo, 2%Cl. Granulométrie grossière, textures homogène et massive
L. Grenier	LG0165	693 903	5 776 876	Affleurement	I1D GRO		Tonalite. 55%Pg, 30%Qz, 10%Fk, 5%Bo, 2%Cl. Granulométrie grossière, textures homogène et massive
L. Grenier	LG0166	693 959	5 776 726	Affleurement	I1D GRO		Tonalite. 55%Pg, 30%Qz, 10%Fk, 5%Bo, 2%Cl. Granulométrie grossière, textures homogène et massive
L. Grenier	LG0167	693 931	5 776 613	Affleurement	I1D GRO		Tonalite. 55%Pg, 30%Qz, 10%Fk, 5%Bo, 2%Cl. Granulométrie grossière, textures homogène et massive
L. Grenier	LG0168	693 925	5 776 432	Affleurement	I1D GRO		Tonalite. 55%Pg, 30%Qz, 10%Fk, 5%Bo, 2%Cl. Granulométrie grossière, textures homogène et massive
L. Grenier	LG0169	693 806	5 776 244	Affleurement	I1D GRO		Tonalite. 55%Pg, 30%Qz, 10%Fk, 5%Bo, 2%Cl. Granulométrie grossière, textures homogène et massive
L. Grenier	LG0170	693 778	5 776 300	Affleurement	I1D GRO		Tonalite. 55%Pg, 30%Qz, 10%Fk, 5%Bo, 2%Cl. Granulométrie grossière, textures homogène et massive
L. Grenier	LG0171	693 747	5 776 332	Affleurement	I1D GRO		Tonalite. 55%Pg, 30%Qz, 10%Fk, 5%Bo, 2%Cl. Granulométrie grossière, textures homogène et massive
L. Grenier	LG0172	693 670	5 776 416	Affleurement	I1D		Tonalite. 55%Pg, 30%Qz, 10%Fk, 5%Bo, 2%Cl, trGr. Granulométrie grossière, textures homogène, massive avec 2% de shlirens de biotite incluant un cœur de grenat.
L. Grenier	LG0173	693 549	5 776 262	Affleurement	I1G GRO		Pegmatite. 50%Pg, 40%Qz, 10%Bo. Granulométrie très grossière, textures pegmatitique, hétérogène et massive.
L. Grenier	LG0174	693 422	5 776 009	Affleurement	M22 GRO		Paragneiss. 60%Pg, 20%Bo, 20%Qz. Granulométrie grossière, textures granoblastique, hétérogène, rubannée avec 30% de leucosomes centimétrique et des plis d'anatexis.

Notes de terrain - Extension 167

Géologue	Station	Estant (Nad83Z18)	Nordant (Nad83Z18)	Présentation	Roche hôte	Minéralisation	Description
L. Grenier	LG0175	689 264	5 780 437	Affleurement	I1D GRO		Tonalite. 55%Pg, 35%Qz, 5%Fk, 5%Bo. Granulométrie grossière, texture homogène et massive.
L. Grenier	LG0176	689 216	5 780 406	Affleurement	I1D GRO		Tonalite. 55%Pg, 35%Qz, 5%Fk, 5%Bo. Granulométrie grossière, texture homogène et massive.
L. Grenier	LG0177	689 139	5 780 455	Affleurement	I1D GROPEG		Tonalite. 50%Pg, 30%Qz, 15%Bo, 5%Fk. Granulométrie grossière à pegmatitique, texture hétérogène avec 2% d'enclaves allongés à phénocristaux de Pg.
L. Grenier	LG0178	689 180	5 780 506	Affleurement	I1D GROPEG		Tonalite. 50%Pg, 30%Qz, 15%Bo, 5%Fk. Granulométrie grossière à pegmatitique, textures schisteuse avec une enclave mafique à texture porphyrique.
L. Grenier	LG0179	689 320	5 780 654	Affleurement	I1D GRO		tonalite. 65%Pg, 30%Qz, 5%Bo. Granulométrie grossière, textures homogène et massive.
L. Grenier	LG0181	689 669	5 780 273	Affleurement	I1D GRO		Tonalite. 60%Pg, 35%Qz, 5%Bo, Granulométrie grossière, textures homogène et massive.
L. Grenier	LG0182	689 721	5 780 197	Affleurement	I1D PORPg MAG		Tonalite porphyrique. 75%Pg, 15%Hb, 8%Fk, 2% Mgl. Granulométrie grossière à pegmatitique, textures porphyrique avec 60% de phénocristaux de Pg anguleux centimétrique dans une matrice mafique magnétique. Couronne de Fk en bordure des Pg. Bordure d'intrusion Bréchiq?
L. Grenier	LG0183	689 776	5 780 134	Affleurement	I1D GRO		Tonalite. 60%Pg, 30%Qz, 5%Bo, 5%Fk. Granulométrie grossière, textures homogène et massive.
L. Grenier	LG0184	689 759	5 780 040	Affleurement	I1D GRO		Tonalite. 60%Pg, 30%Qz, 5%Bo, 5%Fk. Granulométrie grossière, textures homogène et massive.
L. Grenier	LG0185	689 747	5 779 912	Affleurement	I1D PORPg FOLMAG		Tonalite porphyrique. 50%Pg, 30%Qz, 10%Fk, 7%Hb, 3%Mg. Granulométrie grossière, textures homogène, foliée, avec 80% de phénocristaux de Pg. Matrice mafique magnétique.
L. Grenier	LG0186	689 768	5 779 880	Affleurement	I1D PEGGRO		Tonalite. 60%Pg, 33%Qz, 5%Fk, 2%Bo. Granulométrie grossière, textures homogène et massive. Faille qui coupe et forme la falaise.
L. Grenier	LG0187	689 840	5 779 802	Affleurement	I1D PEGGRO Hem		Tonalite. 50%Pg, 30%Qz, 15%Fk, 3%Bo, 2%Hm. Granulométrie pegmatitique à grossière, textures hétérogène, granoblastique. Hématite des Pg pervasive de faible intensité. Faille fragile tardive.
L. Grenier	LG0188	689 900	5 779 751	Affleurement	I1D GRO / I1D POR		Tonalite avec 10% de tonalite porphyrique. 60%Pg, 20%Qz, 15%Fk, 13%Hb, 2%Mg. La portion porphyrique est enclavée dans la portion massive. Granulométrie grossière, textures hétérogène, localement porphyrique, foliée.
L. Grenier	LG0189	693 154	5 776 120	Affleurement	M21 GRORUB		Diatexite. 50%Pg, 40%Qz, 10%Bo. Granulométrie grossière, textures hétérogène, rubannée avec 80% de liquide granitique issue de la fusion partielle. Protolithe intrusif?

Notes de terrain - Extension 167

Géologue	Station	Estant (Nad83Z18)	Nordant (Nad83Z18)	Présentation	Roche hôte	Minéralisation	Description
L. Grenier	LG0190	693 182	5 776 316	Affleurement	M21 GROPEGRUB		Diatexite. 50%Pg, 40%Qz, 10%Bo. Granulométrie grossière, textures hétérogène, rubannée, granoblastique avec 60% de leucosomes pegmatitique.
L. Grenier	LG0191	693 190	5 776 415	Affleurement	M22 GRORUB		Migmatite. 50%Pg, 35%Qz, 15%Bo. Granulométrie grossière, textures hétérogène, granoblastique, rubannée avec 40% de leucosomes centimétrique.
L. Grenier	LG0192	693 176	5 776 531	Affleurement	M22 GRORUB		Migmatite. 50%Pg, 35%Qz, 15%Bo. Granulométrie grossière, textures hétérogène, granoblastique, rubannée avec 40% de leucosomes centimétrique. Plis asymétriques déversés vers le sud. Le rubanement est en coupe associé au plan axial.
L. Grenier	LG0194	693 219	5 776 706	Affleurement	M22 GRORUB		Migmatite. 60%Pg, 30%Qz, 8%Bo, 2%Hb. Granulométrie grossière, textures hétérogène, granoblastique, rubannée avec 40% de leucosome centimétrique.
L. Grenier	LG0195	693 302	5 776 714	Affleurement	M22 GRORUB		Migmatite. 60%Pg, 30%Qz, 8%Bo, 2%Hb. Granulométrie grossière, textures hétérogène, granoblastique, rubannée avec 40% de leucosome centimétrique.
L. Grenier	LG0196	693 355	5 776 574	Affleurement	M22 GRORUB		Migmatite. 60%Pg, 30%Qz, 8%Bo, 2%Hb. Granulométrie grossière, textures hétérogène, granoblastique, rubannée avec 40% de leucosome centimétrique.
L. Grenier	LG0197	693 404	5 776 551	Affleurement	I1D GROPOBGr / I1G		Tonalite. 55%Pg, 30%Qz, 10%Fk, 5%Bo, trGr. Granulométrie grossière à très grossière, textures homogène et massive. 10% de pegmatite métrique et 1% de porphyroblastes de grenats de 1 centimètre. Faille correspond à la vallée entre les deux montagnes.
L. Grenier	LG0198	693 500	5 776 583	Affleurement	I1D GROPOBGr / I1G		Tonalite. 55%Pg, 30%Qz, 10%Fk, 5%Bo, trGr. Granulométrie grossière à très grossière, textures homogène et massive. 10% de pegmatite métrique et 1% de porphyroblastes de grenats de 1 centimètre.
L. Grenier	LG0199	693 559	5 776 640	Affleurement	I1D GROPOBGr / I1G		Tonalite. 55%Pg, 30%Qz, 10%Fk, 5%Bo, trGr. Granulométrie grossière à très grossière, textures homogène et massive. 10% de pegmatite métrique et 1% de porphyroblastes de grenats de 1 centimètre.
L. Grenier	LG0200	693 492	5 776 743	Affleurement	I1D GROPOBGr / I1G		Tonalite. 55%Pg, 30%Qz, 10%Fk, 5%Bo, trGr. Granulométrie grossière à très grossière, textures homogène et massive. 10% de pegmatite métrique et 1% de porphyroblastes de grenats de 1 centimètre.
L. Grenier	LG0205	693 493	5 776 834	Affleurement	M3 MOYFOL		Orthogneiss d'origine basaltique. 55%Pg, 30%Hb, 10%Bo, 5%Qz. Granulométrie moyenne, textures homogène, schisteuse, granoblastique avec 30% d'amas d'hornblende centimétriques et 3% de leucosomes.
L. Grenier	LG0206	693 438	5 777 008	Affleurement	M22 GRORUB		Migmatite. 50%Pg, 30%Qz, 15%Bo, 5%Hb. Granulométrie grossière, textures granoblastique, hétérogène et rubannée avec 40% de leucosomes plissés.

Notes de terrain - Extension 167

Géologue	Station	Estant (Nad83Z18)	Nordant (Nad83Z18)	Présentation	Roche hôte	Minéralisation	Description
L. Grenier	LG0207	693 374	5 777 087	Affleurement	M22 GRORUB		Migmatite. 50%Pg, 30%Qz, 15%Bo, 5%Hb. Granulométrie grossière, textures granoblastique, hétérogène et rubannée avec 40% de leucosomes plissé.
L. Grenier	LG0208	693 387	5 777 212	Affleurement	M22 GRORUB		Migmatite. 50%Pg, 30%Qz, 15%Bo, 5%Hb. Granulométrie grossière, textures granoblastique, hétérogène et rubannée avec 40% de leucosomes plissé.
L. Grenier	LG0209	693 355	5 777 385	Affleurement	I1G		Pegmatite. 55%Pg, 25%Fk, 20%Qz. Granulométrie très grossière, textures massive, homogène avec 2% d'injections de quartz millimétriques.
L. Grenier	LG0210	693 349	5 777 556	Affleurement	M22 MOYRUB FOL		Migmatite. 65%Pg, 20%Bo, 15%Qz. Granulométrie moyenne, textures granoblastique, rubannée, schisteuse avec 20% de leucosomes. Note une diminution de la fusion partielle vers le nord.
L. Grenier	LG0211	694 224	5 782 429	Affleurement	I1D GROPEG		Tonalite. 55%Pg, 30%Qz, 10%Fk, 2%Bo. Granulométrie très grossière, textures pegmatitique, hétérogène, massive et faillée.
L. Grenier	LG0212	694 163	5 782 298	Affleurement	I1B GROGNE - M1		Granite. 40%Fk, 30%Pg, 20%Qz, 10%Cl. Granulométrie moyenne à grossière, textures gneissique avec 10% de bandes à grain fin.
L. Grenier	LG0213	693 986	5 782 135	Affleurement	I1B GRO Chi-Hem-		Granite. 45%Fk, 30%Pg, 20%Qz, 3%Cl, 2%Hb. Granulométrie très grossière, textures faillée avec des joints orthogonaux. Chloritisation rétrograde des hornblendes et hématisation faible mais pervasive.
L. Grenier	LG0214	693 910	5 782 048	Affleurement	I1B GRO Hem-		Granite. 40%Pg, 27%Fk, 25%Qz, 5%Hb, 3%Cl. Granulométrie très grossière, textures hétérogène et massive. Hématisation pervasive moyenne.
L. Grenier	LG0215	693 853	5 782 099	Affleurement	I1B GRO Hem-		Granite. 40%Pg, 27%Fk, 25%Qz, 5%Hb, 3%Cl. Granulométrie très grossière, textures hétérogène et massive. Hématisation pervasive faible.
L. Grenier	LG0216	693 810	5 782 106	Affleurement	I1B GRO Hem-		Granite. 40%Pg, 27%Fk, 25%Qz, 5%Hb, 3%Cl. Granulométrie très grossière, textures hétérogène et massive. Hématisation pervasive faible.
L. Grenier	LG0217	693 691	5 782 242	Affleurement	I1B GROFOL Hem		Granite. 40%Pg, 27%Fk, 25%Qz, 3%Hb, 2%Cl. Granulométrie très grossière, textures homogène, faillée, foliée. Hématisation pervasive moyenne.
L. Grenier	LG0218	694 021	5 781 704	Affleurement	I1G		Pegmatite. 70%Pg, 30%Qz. Granulométrie très grossière, texture massive.
L. Grenier	LG0219	694 042	5 781 611	Affleurement	I1G		Pegmatite. 70%Pg, 30%Qz. Granulométrie très grossière, texture massive.
L. Grenier	LG0220	696 751	5 785 339	Affleurement	M21 GRO		Tonalite d'anatexie. 55%Pg, 30%Qz, 7%Bo, 5%Fk, 3%Fk. Granulométrie grossière, textures granoblastique, hétérogène avec 10% d'enclaves très allongées composé de hornblende et de biotite.

Notes de terrain - Extension 167

Géologue	Station	Estant (Nad83Z18)	Nordant (Nad83Z18)	Présentation	Roche hôte	Minéralisation	Description
L. Grenier	LG0221	696 577	5 786 167	Affleurement	M21 GRO		Tonalite d'anatexie. 55%Pg, 30%Qz, 7%Bo, 5%Fk, 3%Fk. Granulométrie grossière, textures granoblastique, hétérogène avec 10% d'enclaves très allongées composé de hornblende et de biotite.
L. Grenier	LG0246	694 249	5 816 874	Affleurement	M16 - V3B	Po01	Basalte amphibolitisé. 75%Hb, 20%Pg, 5%Qz, trace Su. Granulométrie fine, textures schisteuse, homogène avec 2% d'injection de quartz et plagioclase et 2% d'amas oxydés de 20 centimètres de puissance. Relique de coussins?
L. Grenier	LG0247	694 251	5 816 927	Affleurement	M16 - V3B	Po01	Basalte amphibolitisé. 75%Hb, 20%Pg, 5%Qz, trace Sf. Granulométrie fine, textures schisteuse, homogène avec 2% d'injection de quartz et plagioclase et 2% d'amas oxydés de 20 centimètres de puissance.
L. Grenier	LG0248	694 251	5 816 927	Affleurement	M16 - V3B MAG-		Basalte amphibolitisé. 80%Hb, 20%Pg. Granulométrie fine, textures homogène et schisteuse. Localement magnétique
L. Grenier	LG0250	694 276	5 817 154	Affleurement	I3A MAG		Gabbro. 80%Hb, 17%Pg, 2%Mg. Granulométrie moyenne, textures homogène et massive. Magnétique
L. Grenier	LG0251	694 327	5 817 338	Affleurement	M16 - V3B SCH	Po01	Basalte amphibolitisé. 75%Hb, 20%Pg, 5%Qz, trace Sf. Granulométrie fine, textures schisteuse, homogène avec 2% d'injections de quartz et 1% d'amas oxydés de 20 centimètres de puissance.
L. Grenier	LG0255	689 841	5 780 184	Affleurement	I1D GROFOL		Tonalite. 60%Pg, 30%Qz, 5%Fk, 3%Hb, 2%Bo. Granulométrie grossière, textures homogène, foliée à massive avec 5% d'injections pegmatitique d'épaisseur métrique.
L. Grenier	LG0256	689 975	5 780 106	Affleurement	I1D GROFOL		Tonalite. 60%Pg, 30%Qz, 5%Fk, 3%Hb, 2%Bo. Granulométrie grossière, textures homogène, foliée à massive avec 5% d'injections pegmatitique d'épaisseur métrique.
L. Grenier	LG0256	689 975	5 780 106	Affleurement	I1D GROFOL		Tonalite. 60%Pg, 30%Qz, 5%Fk, 3%Hb, 2%Bo. Granulométrie grossière, textures homogène, foliée à massive avec 5% d'injections pegmatitique d'épaisseur métrique.
L. Grenier	LG0257	690 048	5 780 010	Affleurement	I1D PORFpMAG Chl		Tonalite porphyrique. 45%Pg, 15%Fk, 15%Cl, 15%Bo, 10%Qz. Granulométrie moyenne, textures hétérogène, schisteuse, porphyrique, mylonitique avec 15% de phénocristaux de Fk centimétriques dans une matrice mafique magnétique. Chloritisation moyenne rétrograde. Claste forme des sigmoïde de déformation.
L. Grenier	LG0258	690 139	5 780 000	Affleurement	I1D PORFpMAGSCH Chl	Mt01	Tonalite porphyrique. 30%Pg, 15%Fk, 15%Hb, 15%Cl, 15%Bo, 10%Qz. Granulométrie moyenne, textures hétérogène, schisteuse, porphyrique, mylonitique avec 15% de phénocristaux de Fk centimétriques dans une matrice mafique magnétique. Chloritisation moyenne rétrograde.

Notes de terrain - Extension 167

Géologue	Station	Estant (Nad83Z18)	Nordant (Nad83Z18)	Présentation	Roche hôte	Minéralisation	Description
L. Grenier	LG0260	690 184	5 780 118	Affleurement	I1D PORFpMAGSCH Chl	Mt01	Tonalite porphyrique. 30%Pg, 15%Fk, 15%Hb, 15%Cl, 15%Bo, 10%Qz. Granulométrie moyenne, textures hétérogène, schisteuse, porphyrique, mylonitique avec 15% de phénocristaux de Fk centimétriques dans une matrice mafique magnétique. Chloritisation moyenne rétrograde.
L. Grenier	LG0261	690 122	5 780 118	Affleurement	I1D GROFOL-		Tonalite. 50%Pg, 30%Qz, 17%Fk, 3%Bo. Granulométrie moyenne à grossière, textures homogène, massive à faiblement foliée avec 5% d'injections pegmatitique.
L. Grenier	LG0261	690 122	5 780 118	Affleurement	I1D GROFOL-		Tonalite. 50%Pg, 30%Qz, 17%Fk, 3%Bo. Granulométrie moyenne à grossière, textures homogène, massive à faiblement foliée avec 5% d'injections pegmatitique.
L. Grenier	LG0262	690 130	5 780 446	Affleurement	I1D PORFpMAGSCH Chl	Mt01	Tonalite porphyrique. 30%Pg, 15%Fk, 15%Hb, 15%Cl, 15%Bo, 10%Qz. Granulométrie moyenne, textures hétérogène, schisteuse, porphyrique, mylonitique avec 15% de phénocristaux de Fk centimétriques dans une matrice mafique magnétique. Chloritisation moyenne rétrograde.
L. Grenier	LG0264	690 605	5 780 723	Affleurement	I1D GRO		Tonalite. 60%Pg, 30%Qz, 5%Fk, 5%Hb. Granulométrie grossière, textures homogène massive et faillée. Une enclave d'amphibolite sous l'intrusif felsique.
L. Grenier	LG0265	690 682	5 780 751	Affleurement	I1D GRO		Tonalite. 55%Pg, 30%Qz, 10%Fk, 5%Hb. Granulométrie grossière à très grossière, textures homogène et massive.
L. Grenier	LG0266	690 759	5 780 753	Affleurement	I1D GRO		Tonalite. 55%Pg, 30%Qz, 10%Fk, 5%Hb. Granulométrie grossière à très grossière, textures homogène et massive.
L. Grenier	LG0267	690 815	5 780 671	Affleurement	I1D GRO		Tonalite. 55%Pg, 30%Qz, 10%Fk, 5%Hb. Granulométrie grossière à très grossière, textures homogène et massive.
L. Grenier	LG0268	690 840	5 780 568	Affleurement	I1D PORFpMAGSCH Chl	Mt01	Tonalite porphyrique. 35%Pg, 15%Fk, 15%Hb, 15%Bo, 10%Cl, 10%Qz. Granulométrie grossière, textures homogène, porphyrique, schisteuse, mylonitique avec 15% de phénocristaux de feldspath potassique dans la matrice mafique. Chloritisation rétrograde moyenne.
L. Grenier	LG0269	690 917	5 780 518	Affleurement	I1D GRO		Tonalite. 55%Pg, 30%Qz, 10%Fk, 5%Hb. Granulométrie grossière à très grossière, textures homogène et massive.
L. Grenier	LG0270	690 988	5 780 506	Affleurement	I1D GRO		Tonalite. 55%Pg, 30%Qz, 10%Fk, 5%Hb. Granulométrie grossière à très grossière, textures homogène et massive.
L. Grenier	LG0271	691 021	5 780 564	Affleurement	I1D PORFpSCH Chl	Mt01	Tonalite porphyrique. 30%Pg, 15%Fk, 15%Hb, 15%Bo, 15%Cl, 10%Qz. Granulométrie grossière, textures hétérogène, porphyrique, schisteuse, mylonitique avec 15% de phénocristaux de feldspath potassique dans la matrice mafique. Chloritisation rétrograde moyenne.
L. Grenier	LG0272	691 087	5 780 734	Affleurement	I1D PORFpSCH Chl	Mt01	Tonalite porphyrique. 30%Pg, 15%Fk, 15%Hb, 15%Bo, 15%Cl, 10%Qz. Granulométrie grossière, textures hétérogène, porphyrique, schisteuse, mylonitique avec 15% de phénocristaux de feldspath potassique dans la matrice mafique. Chloritisation rétrograde moyenne.

Notes de terrain - Extension 167

Géologue	Station	Estant (Nad83Z18)	Nordant (Nad83Z18)	Présentation	Roche hôte	Minéralisation	Description
L. Grenier	LG0273	691 118	5 780 799	Affleurement	I1D PORFpSCH Chl	Mt01	Tonalite porphyrique. 30%Pg, 15%Fk, 15%Hb, 15%Bo, 15%Cl, 10%Qz. Granulométrie grossière, textures hétérogène, porphyrique, schisteuse, mylonitique avec 15% de phénocristaux de feldspath potassique dans la matrice mafique. Chloritisation rétrograde moyenne.
L. Grenier	LG0274	691 143	5 780 847	Affleurement	I1D PORFpSCH Chl	Mt01	Tonalite porphyrique. 30%Pg, 15%Fk, 15%Hb, 15%Bo, 15%Cl, 10%Qz. Granulométrie grossière, textures hétérogène, porphyrique, schisteuse, mylonitique avec 15% de phénocristaux de feldspath potassique dans la matrice mafique. Chloritisation rétrograde moyenne.
L. Grenier	LG0275	691 241	5 780 926	Affleurement	I1D GRO		Tonalite. 50%Pg, 30%Qz, 15%Fk, 55Hb. Granulométrie très grossière, textures homogène et massive.
L. Grenier	LG0276	691 174	5 781 092	Affleurement	I1D PORFpSCH Chl	Mt01	Tonalite porphyrique. 30%Pg, 15%Fk, 15%Hb, 15%Bo, 15%Cl, 10%Qz. Granulométrie grossière, textures hétérogène, porphyrique, schisteuse, mylonitique avec 15% de phénocristaux de feldspath potassique dans la matrice mafique. Chloritisation rétrograde moyenne.
L. Grenier	LG0278	691 071	5 781 235	Affleurement	I1D GRO		Tonalite. 55%Pg, 30%Qz, 10%Fk, 5Bo. Granulométrie très grossière, textures homogène et massive.
L. Grenier	LG0279	690 790	5 781 082	Affleurement	I1D GRO		Tonalite. 55%Pg, 30%Qz, 10%Fk, 5Bo. Granulométrie très grossière, textures homogène et massive.
L. Grenier	LG0300	696 316	5 818 077	Affleurement	I1G		Pegmatite. 55%Pg, 30%Qz, 15%Fk. Granulométrie très grossière, textures homogène et fracturée.
L. Grenier	LG0309	698 197	5 822 300	Affleurement	I1D	Mt01	Tonalite. 55%Pg, 35%Qz, 5%Bo, 4%Hb et 1%Ox. Granulométrie moyenne, textures granoblastique, hétérogène, foliée avec 20% d'injections pegmatitique décimétrique.
L. Grenier	LG0313	694 505	5 774 556	Affleurement	M3 - M16 MOY SCH Chl		Amphibolite gneissique. 55%Am, 25%Pg, 15%Qz, 5%Cl. Granulométrie moyenne, textures granoblastique, rubannée, schisteuse avec 2% de leucosomes de 3 millimètres de puissance. Chloritisation rétrograde des amphiboles.
L. Grenier	LG0314	694 608	5 774 516	Affleurement	M22		Migmatite. 45%Pg, 30%Qz, 20%Bo, 5%Am, trace Gr. Granulométrie fine, textures granoblastique, hétérogène, rubannée avec 30% leucosomes centimétriques et porphyroblastes de grenats millimétriques dans le leucosome.
L. Grenier	LG0315	694 706	5 774 530	Affleurement	M22		Migmatite. 55%Pg, 25%Qz, 15%Bo, 5%Am. Granulométrie grossière à très grossière, textures hétérogène, rubannée avec 50% de leucosomes pegmatitique.
L. Grenier	LG0316	694 690	5 774 597	Affleurement	M3 - M16 MOY SCH	Mt01	Amphibolite gneissique. 55%Am, 30%Pg, 10%Bo, 5%Qz. Granulométrie fine, textures granoblastique, homogène, schisteuse avec 50% de leucosomes.

Notes de terrain - Extension 167

Géologue	Station	Estant (Nad83Z18)	Nordant (Nad83Z18)	Présentation	Roche hôte	Minéralisation	Description
L. Grenier	LG0317	694 719	5 774 684	Affleurement	M3 - M16 MOY SCH	Mt01	Amphibolite gneissique. 55%Am, 30%Pg, 10%Bo, 5%Qz. Granulométrie fine, textures granoblastique, homogène, schisteuse avec 50% de leucosomes.
L. Grenier	LG0319	694 660	5 775 068	Affleurement	M3 - M16 MOY SCH		Amphibolite gneissique. 50%Am, 30%Pg, 15%Qz, 5%Bo. Granulométrie moyenne, textures granoblastique, schisteuse avec 20% de leucosomes plissés.
L. Grenier	LG0320	694 785	5 774 776	Affleurement	M3 - M16 MOY SCH		Amphibolite gneissique. 50%Am, 30%Pg, 15%Qz, 5%Bo. Granulométrie moyenne, textures granoblastique, schisteuse avec 20% de leucosomes plissés.
L. Grenier	LG0321	694 871	5 774 699	Affleurement	I1G		Pegmatite. 55%Pg, 40%Qz, 5%Bo. Granulométrie très grossière, textures hétérogène, massive.
L. Grenier	LG0322	694 866	5 774 680	Affleurement	M3 - M16 MOY SCH Epi-	STW Pg	Amphibolite gneissique. 50%PG, 30%Am, 20%Qz, 5%Gr. Granulométrie moyenne, textures granoblastique, schisteuse avec 10% de leucosomes et 10% de veinules de plagioclase recoupant la schistosité. Épidotisation faible dans les joints.
L. Grenier	LG0323	695 819	5 776 822	Affleurement	M21 GRORUB		Diatexite. 50%Pg, 30%Qz, 15%Bo, 5%Hb. Granulométrie grossière, textures hétérogène, granoblastique, rubannée avec 40% de leucosomes.
L. Grenier	LG0324	695 511	5 775 736	Affleurement	I1D GROPEG		Tonalite. 55%Pg, 45%Qz. Granulométrie grossière, textures pegmatitique, homogène et massive.
L. Grenier	LG0326	688 629	5 739 487	Affleurement	M16 - V3B COU?SCH		Basalte amphibolitisé. 55%Am, 35%Pg, 5%Bo, 5%Qz. Granulométrie fine, textures homogène, schisteuse avec des reliques de coussins et 2% d'injections millimétriques de quartz et plagioclase.
L. Grenier	LG0328	688 729	5 739 674	Affleurement	M16 - V3B FINSCH Amp		Basalte amphibolitisé. 55%Am, 35%Pg, 5%Qz, 5%Bo. Granulométrie fine, textures homogène, schisteuse, fracturé avec 2% d'injections millimétrique de plagioclase et de quartz.
L. Grenier	LG0330	688 739	5 739 758	Affleurement	M16 - V3B FINSCH Amp		Basalte amphibolitisé. 55%Am, 40%Pg, 5%Bo. Granulométrie fine, textures homogène, schisteuse et fracturée. Joints conjugués
L. Grenier	LG0331	688 725	5 739 771	Affleurement	M16 - V3B FINSCH Amp		Basalte amphibolitisé. 55%Am, 40%Pg, 5%Bo. Granulométrie fine, textures homogène, schisteuse et fracturée.
L. Grenier	LG0332	688 699	5 739 923	Affleurement	M16 - V3B FINSCH AmpChl-		Basalte amphibolitisé. 55%Am, 40%Pg, 5%Bo. Granulométrie fine, textures homogène, schisteuse. En contact avec un faciès bréchique au nord. Conducteur local au contact entre les deux faciès. Impossible à échantillonné. Chloritisation rétrograde faible.
L-P Richard	LR0001	689 394	5 738 850	Affleurement	S9 Sil	Mt70	70% Mt en bandes cmétriques. Tr Py.
L-P Richard	LR0002	689 229	5 738 831	Affleurement	S9		S9 rouillée, aucun Su. Pas d'éch. Après le BIF vers le sud, bas topo, pas d'affleurement.
L-P Richard	LR0003	689 164	5 738 614	Affleurement	V3		Basalte, Aucun Su, SCH très peu développée.

Notes de terrain - Extension 167

Géologue	Station	Estant (Nad83Z18)	Nordant (Nad83Z18)	Présentation	Roche hôte	Minéralisation	Description
L-P Richard	LR0004	688 679	5 738 921	Affleurement	V2 / I3A		90% de lave felsique à intermédiaire, gris frais, brunâtre altérée. Matrice siliceuse avec clasts polygéniques. Fractures remplies par des dykes de I3A.
L-P Richard	LR0005	688 571	5 738 847	Affleurement	V2 POBQb		Lave intermédiaire à POB quartz bleuté de 3mm semblable à LR0004 mais pas de clasts. Affl. avec clastes 10m à côté.
L-P Richard	LR0006	688 498	5 738 850	Affleurement	V1 POBQb		Lave felsique blanche à grise rosée. 70% de clasts de quartz gris allongé, de 1 à 5cm et 2% de Qb arrondis à 1-5mm. Une bande 20cm grisâtre avec 10% de clasts arrondis de 1-5mm.
L-P Richard	LR0007	688 083	5 738 827	Affleurement	V2		Affleurement de V2. Lac en forme de rond juste à côté.
L-P Richard	LR0008	688 442	5 738 566	Affleurement	V2		Volcanite intermédiaire
L-P Richard	LR0009	688 474	5 738 466	Affleurement	V3B Chl / I3A		Dyke de gabbro plurimétrique encaissé dans basalte chloritisé vert "flash".
L-P Richard	LR0010	688 203	5 738 632	Affleurement	S9 Sil		Formation de fer, faciès silicifié, lég. MAG, très lég. conducteur veinules N-S d'extension, semble oxydé à l'intérieur. Impossible à échantillonner au ciseau.
L-P Richard	LR0011	688 108	5 738 544	Affleurement	S9		Formation de fer. Fractures stériles N-S (N190°/-90°) recoupant la S9. Graphite? Zone silicifié au contact sud avec le V3B, potentiel aurifère, QZ, Py, Cp, As?.
L-P Richard	LR0012	688 054	5 738 524	Affleurement	I3A		Affleurement de gabbro sous mousse, aucune minéralisation, pas de schisto apparente.
L-P Richard	LR0013	688 474	5 738 466	Affleurement	V3B		Affleurement de basalte cisailé, 270/90. Présence zone silicifiée et rouillée conductrice de 5 X 20 cm avec traces Su.
L-P Richard	LR0014	688 203	5 738 632	Affleurement	S9	SuGp	Affleurement de formation de fer qui semble déformé, présence de 3 faciès (oxydé, silicifié et carbonaté), présence d'horizon de graphite centimétrique dans le sens du litage et la rouille semble toujours y être associé. Ces horizons présentent toujours des Su, surtout Po.
L-P Richard	LR0015	690 054	5 738 292	-	-		Moraine de 10m de haut à côté du ruisseau, aucun affleurement présent.
L-P Richard	LR0016	690 006	5 739 018	Bloc	I3B MAG		Bloc de diabase magnétique.
L-P Richard	LR0017	690 367	5 739 295	Bloc	V1-2		Bloc sub-arrondi de V1/V2.
L-P Richard	LR0018	689 983	5 739 087	Affleurement	V1		Volcanique felsique, porphyre QZ bleu, fragment de QZ-FP, schistosité peu développée, aucune minéralisation, affleure sur le bord de la rivière.
L-P Richard	LR0019	690 213	5 740 212	Affleurement	I3B		Affleurement de gabbro sous mousse.
L-P Richard	LR0020	690 219	5 740 089	Bloc	V3B COUMAG	Su	Deux blocs de V3B avec coussins peu déformés, MAG, micro traces Su.
L-P Richard	LR0021	690 296	5 740 064	Affleurement	V3B		Affleurement de basalte frais.
L-P Richard	LR0022	690 288	5 740 084	Affleurement	V3B COU		Présence de coussin très bien préservés, quelques pédoncules pointent vers le N.
L-P Richard	LR0023	690 257	5 740 125	Bloc	I3-I4 MAG	Mt06	Bloc sub arrondi MAG, patine brune cmque. Diabase ou I4??

Notes de terrain - Extension 167

Géologue	Station	Estant (Nad83Z18)	Nordant (Nad83Z18)	Présentation	Roche hôte	Minéralisation	Description
L-P Richard	LR0024	688 305	5 738 416	Affleurement	V3B		Affleurement de basalte, aucune minéralisation, aucune VEI Qz, aucune altération.
L-P Richard	LR0025	688 053	5 738 398	Affleurement	V3B		Affleurement de basalte, aucune minéralisation, aucune VEI Qz, aucune altération.
L-P Richard	LR0026	687 920	5 738 353	Affleurement	V3B		Affleurement de basalte, aucune minéralisation, aucune VEI Qz, aucune altération.
L-P Richard	LR0027	687 442	5 738 440	EM Enfoui	EM enfoui		Conducteur enfoui détecté en surface au BeepMat dans l'alignement de la formation de fer.
L-P Richard	LR0028	687 503	5 738 447	EM Enfoui	EM enfoui		Conducteur enfoui détecté en surface au BeepMat dans l'alignement de la formation de fer.
L-P Richard	LR0029	687 693	5 738 363	Affleurement	V3B		Affleurement de basalte, aucune minéralisation, aucune VEI Qz, aucune altération.
L-P Richard	LR0030	687 747	5 738 294	Affleurement	V3B		Affleurement de basalte, aucune minéralisation, aucune VEI Qz, aucune altération.
L-P Richard	LR0031	687 798	5 738 265	Affleurement	V3B		Affleurement de basalte, aucune minéralisation, aucune VEI Qz, aucune altération.
L-P Richard	LR0032	687 870	5 738 469	Affleurement	S9B		Affleurement de S9 sous la mousse, MAG, faciès oxydé.
L-P Richard	LR0033	687 969	5 738 387	Affleurement	V3B		Affleurement de basalte, aucune minéralisation, aucune VEI Qz, aucune altération.
L-P Richard	LR0034	688 010	5 738 190	Affleurement	V SCH		Affleurement sous mousse volcanique schisteuse, aucun sulfure, SCH 240/80 N.
L-P Richard	LR0035	688 123	5 738 281	Affleurement	V3B		Affleurement de V3B, contact franc avec une zone schisteuse avec micas, plus d'amphibole, silicifiée, patine rouille, non conducteur, non MAG, micro traces de sulfures, aucune veines de Qz, contact à 280/60 N.
L-P Richard	LR0036	688 601	5 738 554	EM Enfoui	EM enfoui		Conducteur enfoui détecté en surface au BeepMat juste au sud de la formation de fer.
L-P Richard	LR0037	688 909	5 738 601	EM Enfoui	EM enfoui		Conducteur enfoui détecté en surface au BeepMat, ne semble pas dans l'alignement de la formation de fer, affleurement de basalte juste à côté. Pertinent à déterrer.
L-P Richard	LR0038	689 249	5 738 759	EM Enfoui	EM enfoui		Conducteur enfoui détecté en surface au BeepMat dans l'alignement de la formation de fer.
L-P Richard	LR0039	689 220	5 738 744	EM enfoui	EM enfoui		Conducteur enfoui détecté en surface au BeepMat déjà rubanné.
L-P Richard	LR0040	689 117	5 738 680	EM enfoui	EM enfoui		Conducteur enfoui détecté en surface au BeepMat, semble un bloc.
L-P Richard	LR0041	689 041	5 738 645	Affleurement	V3B		Affleurement de basalte, aucune minéralisation, aucune VEI Qz, aucune altération.
L-P Richard	LR0042	688 938	5 738 598	EM Enfoui	EM enfoui		Retour sur LR0037, trou creusé dans la terre noire, s'est rempli d'eau immédiatement. On s'est tassé de 20 m (coordonnées LR0042), très légèrement conducteur en surface, sol trop gelé pour creuser, intéressant à retourner plus tard lorsque dégelé.
L-P Richard	LR0043	688 413	5 738 371	Affleurement	V3B		Affleurements de V3B sur le haut topo entre LR0043 et LR0044, aucune minéralisation, aucune VEI Qz, aucune altération.

Notes de terrain - Extension 167

Géologue	Station	Estant (Nad83Z18)	Nordant (Nad83Z18)	Présentation	Roche hôte	Minéralisation	Description
L-P Richard	LR0044	688 300	5 738 335	Affleurement	V3B		Affleurements de V3B sur le haut topo entre LR0043 et LR0044, aucune minéralisation, aucune VEI Qz, aucune altération.
L-P Richard	LR0045	688 347	5 738 309	Affleurement	V3B		Continuité de l'affleurement LR0043-LR0044
L-P Richard	LR0046	688 446	5 738 220	Affleurement	V3B		Continuité de l'affleurement LR0043-LR0044
L-P Richard	LR0047	688 478	5 738 332	Affleurement	V		Volcanique différente du V3B des environs, micas, amphibole Qz.
L-P Richard	LR0048	688 500	5 738 222	MAG	MAG		Bloc sonne MAG au BeepMat, non détéré.
L-P Richard	LR0049	688 914	5 738 834	Affleurement	V2		Affleurement carto V2.
L-P Richard	LR0050	688 787	5 738 778	Affleurement	V1		Affleurement carto V1.
L-P Richard	LR0051	688 717	5 738 717	Affleurement	Sil		Conducteur enfoui, intéressant car détachement dans les anomalies EM, creusé et atteint le roc à 3 pied (61893).
L-P Richard	LR0052	688 691	5 738 710	Affleurement	Sil		Zone d'environ 25 X 25 m où le BeepMat détecte du conducteur en surface. Un creusé (61894).
L-P Richard	LR0053	688 559	5 738 737	Affleurement	V1 - V2		Affleurement carto V1/V2.
L-P Richard	LR0054	688 513	5 738 730	Affleurement	V1		Affleurement carto V1.
L-P Richard	LR0055	688 481	5 738 688	Affleurement	-		Conducteur détecté en surface, détéré, mais difficile à échantillonner, aucun sample.
L-P Richard	LR0056	688 454	5 738 704	Affleurement	S9		Affleurement carto S9.
L-P Richard	LR0057	688 314	5 738 698	Affleurement	V1		Affleurement carto V1.
L-P Richard	LR0058	688 294	5 738 683	Affleurement	V1		Affleurement carto V1.
L-P Richard	LR0059	688 287	5 738 700	Affleurement	V1		Affleurement carto V1, continuité de LR0057-58.
L-P Richard	LR0060	688 205	5 738 674	Affleurement	V1		Affleurement carto V1, continuité de LR0057-58-59
L-P Richard	LR0061	688 104	5 738 699	Affleurement	V1 PORPg		Affleurement carto V1, 5% phénocristaux Pg.
L-P Richard	LR0062	688 028	5 738 666	Affleurement	V1 PORPg		Affleurement carto V1, 5% phénocristaux Pg.
L-P Richard	LR0063	688 002	5 738 674	Affleurement	V1 PORPg		Affleurement carto V1, 5% phénocristaux Pg.
L-P Richard	LR0064	687 988	5 738 624	Affleurement	I3A		Affleurement carto gabbro.
L-P Richard	LR0065	687 877	5 738 486	Affleurement	S9		Affleurement carto formation de fer, contient un horizon conducteur.
L-P Richard	LR0066	687 904	5 738 521	Affleurement	S9		Affleurement carto formation de fer, contient un horizon conducteur.
L-P Richard	LR0067	687 954	5 738 551	Affleurement	S9		Affleurement carto formation de fer, contient un horizon conducteur.
L-P Richard	LR0068	687 934	5 738 692	Affleurement	V1 PORPg		Affleurement carto V1, 5% phénocristaux Pg.
L-P Richard	LR0069	687 996	5 738 566	Affleurement	S9		Affleurement carto S9.
L-P Richard	LR0070	688 022	5 738 582	EM Enfoui	EM enfoui		Conducteur détecté en surface, dans le formation de fer, non détéré.
L-P Richard	LR0071	688 100	5 738 614	EM Enfoui	EM enfoui		Conducteur détecté en surface, dans le formation de fer, non détéré.
L-P Richard	LR0072	688 115	5 738 588	Affleurement	S9		Affleurement carto S9.
L-P Richard	LR0073	688 609	5 738 707	EM Enfoui	EM enfoui		Conducteur enfoui détecté en surface, non détéré.
L-P Richard	LR0074	689 549	5 740 155	Affleurement	V3B ChI		Affleurement carto basalte chloritisé.
L-P Richard	LR0075	689 501	5 740 212	Bloc	V3B MAGSCH	Mt	Plusieurs blocs métriques anguleux de laves magnétiques, Mt disséminée, légèrement schisteux, sub en place, explique l'anomalie?
L-P Richard	LR0076	689 487	5 740 183	Affleurement	V3B		Affleurement carto basalte.

Notes de terrain - Extension 167

Géologue	Station	Estant (Nad83Z18)	Nordant (Nad83Z18)	Présentation	Roche hôte	Minéralisation	Description
L-P Richard	LR0077	689 501	5 740 112	Affleurement	I3B MAG Amp	STW Mt	Même affleurement que LR0074, mais gabbro amphibolitisé avec veinules Mt.
L-P Richard	LR0078	689 444	5 740 164	Affleurement	V3B Chl		Affleurement carto basalte chloritisé.
L-P Richard	LR0079	689 458	5 740 274	EM Enfoui	EM enfoui		Conducteur enfoui détecté en surface, directement sur des anomalies EM aéroportées, till gris gelé sur 2 pieds, roc non atteint, à retourner.
L-P Richard	LR0080	689 411	5 740 244	Affleurement	V3B MAG		Affleurement carto lave magnétique, en ligne avec ED0007 (260°).
L-P Richard	LR0081	689 252	5 739 990	Affleurement	V3B Chl		Affleurement carto basalte chloritisé.
L-P Richard	LR0082	689 175	5 740 051	Affleurement	V3B Chl		V3/I3 chloritisé avec bréchification par matériel blanchâtre assez mou à aspect poreux.
L-P Richard	LR0083	689 153	5 740 086	Affleurement	V3 POBpg Chl		Lave très altérée, chloritisée, 3% porphyroblaste 1-2 cm (Pg?) parfois arrondis parfois rectangulaires, 1% d'amas d'un minéral noir non magnétique (Hb?), beaucoup de veinules mmque dans 3 directions prédominantes du même matériel que les porphyroblastes.
L-P Richard	LR0084	692 530	5 773 780	Affleurement	M22		Granitoïde rose d'anatexie, protolite de métasédiments.
L-P Richard	LR0085	692 501	5 773 636	Bloc	M22		Migmatite, protolite plus mafique, contact franc avec granitoïde rose.
L-P Richard	LR0086	692 497	5 773 573	Bloc	I1B MAG		Bloc de granite rose avec Mt, dimensions inconnu.
L-P Richard	LR0087	692 327	5 772 489	Bloc	M22		Très gros bloc de migmatite blanche (leucosome), texture fluidale, morceau de protolite non digéré.
L-P Richard	LR0088	692 264	5 772 288	Bloc	M22		Très gros bloc de migmatite blanche (leucosome), texture fluidale, morceau de protolite non digéré.
L-P Richard	LR0089	691 793	5 771 509	Affleurement	M1		Affleurement allongé de méta-sédiments Qz-Bo, 1% leucosome.
L-P Richard	LR0090	688 870	5 739 780	Affleurement	M16		Amphibolite massive grise-verte avec une partie silicifiée, veine de quartz de 3 cm, aucun sulfure.
L-P Richard	LR0091	690 605	5 771 552	Affleurement	M22		Affleurement de migmatite avec 95% leucosome blanc (granitoïde) et 5% enclaves de protolite de méta-sédiments à Qz-Fp-Bo.
L-P Richard	LR0092	693 090	5 772 475	Bloc	I1B PORFp Bio	Mt	Bloc sub arrondi porphyre à Fp rosé de 1 à 5 cm (75%), matrice biotisée avec des traces Mt (25%).
L-P Richard	LR0093	693 068	5 772 576	Bloc	I1B	VEI Qz	Plusieurs dizaines de blocs sub anguleux à anguleux sur la rive d'un lac de veine Qz blanche parfois dans un granite rose (encaissant), des sulfures apparaissent dans l'encaissant et dans la veine de Qz en amas de 2 mm à 1 cm (Py), présence de Qz idiomorphe : preuve de fluides hydrothermaux, type Bourlamaque?. Quatre échantillons : 62214-15-16-17.
L-P Richard	LR0094	693 002	5 773 872	Affleurement	I1 POBGr		Façade d'intrusif felsique blanc, zone avec 10% grenat noir, 5% Qz, 1% micas, 84% Fp.
L-P Richard	LR0095	693 062	5 773 841	Bloc	I1 PORGr Ser		Intrusif felsique séricitisé, 1% grenat mmque idiomorphe, Fp blanc (albite?).
L-P Richard	LR0096	693 033	5 776 034	Affleurement	M22		Affleurement migmatite, 60% leucosome blanc et 40% M4 Qz-Bo

Notes de terrain - Extension 167

Géologue	Station	Estant (Nad83Z18)	Nordant (Nad83Z18)	Présentation	Roche hôte	Minéralisation	Description
L-P Richard	LR0097	693 060	5 774 634	Affleurement	M22		95% granitoïde blanc d'anatexie, 5% enclave protolithe M4.
L-P Richard	LR0098	693 112	5 774 437	Affleurement	M22		Affleurement carto migmatite.
L-P Richard	LR0099	693 360	5 775 408	Affleurement	M22		Affleurement migmatite, MAG localement, 90% leucosome rose avec 1% cristaux Mt, 10% M4.
L-P Richard	LR0100	693 377	5 775 946	Bloc	M8 POBGr		Bloc sub anguleux d'un schiste à grenat, 1% Gr xénomorphe de 5 à 10 mm, aucun sulfure, roche jamais vue à date dans la campagne.
L-P Richard	LR0101	693 220	5 775 615	Bloc	BRE		Bloc anguleux d'une brèche avec 40% clastes amphibolitisés gris vert foncé dans une matrice blanche de Qz-Pg, aucun sulfure, roche jamais vue à date dans la campagne.
L-P Richard	LR0102	692 761	5 774 417	Affleurement	M22		Affleurement carto migmatite.
L-P Richard	LR0103	691 635	5 777 174	Affleurement	M1		Méta-sédiments plus ou moins migmatisés, gneissosité à 065/50 S, qqes veines de Qz-Fp 120-300/- recoupe la gneissosité, fluides d'anatexie tardifs, aucun sulfure.
L-P Richard	LR0104	692 461	5 775 974	Affleurement	M1		Gneiss blanc, 60% Bo, 40% Fp-Qz, gneissosité apparente, 065-245/90.
L-P Richard	LR0105	692 475	5 775 957	Bloc	M4		Série de blocs de méta-sédiments à Bo peu migmatisés, traces Su mmque compositionnel dans la matrice, aucune altération, blocs probablement sub en place.
L-P Richard	LR0106	692 705	5 776 209	Affleurement	M4		Méta-sédiments à Bo-Fp-Qz peu migmatisés, 1% leucosome, aucun Su.
L-P Richard	LR0107	692 870	5 776 411	Affleurement	M22		Affleurement de M22 sur le dessus de la montagne, 30% leucosome, gneissosité apparente à 240/75 N.
L-P Richard	LR0108	693 036	5 776 504	Affleurement	M22	PyMt	Horizon magnétique dans la migmatite du dessus de la montagne, présence d'épidote, de Py et de Mt dans toute l'unité, limité latéralement et fin S-O entourée par un granitoïde rose (photo), zone plus minéralisée, 2 éch (62223-62224).
L-P Richard	LR0109	692 989	5 777 024	Affleurement	M22		Méta-sédiments gris, probablement migmatisé, plusieurs veines blanche Qz-Fp de 3 à 10 cm et un amas pegmatitique blanc non minéralisé (25% leucosome).
L-P Richard	LR0110	692 948	5 777 125	Affleurement	M22		Méta-sédiments gris, probablement migmatisé (même que LR0109), 60% granitoïde et pegmatite blanche en "dyke" de 0,5 à 1 m.
L-P Richard	LR0111	691 598	5 778 558	Affleurement	M22		M22 classique du secteur, aucune minéralisation
L-P Richard	LR0112	691 314	5 778 692	Affleurement	M22		M22, même que LR0111. 25% Granite rose (94% Fp, 5% Qz et 1% Bo) dans M22 FIN (QzBoFp) gris. STW Hem.
L-P Richard	LR0113	691 258	5 778 652	Affleurement	M22	Su02Mt	Zone MAG. Structure cmque dans M22 avec remobilisation de Mt. 1-2% Su, Hematisation. Deux échantillons, au sud de la structure (62225), nord (62226).
L-P Richard	LR0114	691 208	5 778 701	Affleurement	M22 GRO		Aff. sur le bord de la rivière. M22 avec protolite différent de M4, plus GRO, gris foncé, FpQzBo. Rares stringers Py. 5% de dykes granitoïdes roses. Système de fractures sèches doubles 130/90 et 250/60

Notes de terrain - Extension 167

Géologue	Station	Estant (Nad83Z18)	Nordant (Nad83Z18)	Présentation	Roche hôte	Minéralisation	Description
L-P Richard	LR0114	691 208	5 778 701	Affleurement	M22 GRO		Aff. sur le bord de la rivière. M22 avec protolite différent de M4, plus GRO, gris foncé, FpQzBo. Rares stringers Py. 5% de dykes granitoïdes roses. Système de fractures sèches doubles 130/90 et 250/60
L-P Richard	LR0115	691 009	5 778 696	Affleurement	M22		Aff. sur le bord de la rivière. M22, 70% Leucosome blanc.
L-P Richard	LR0116	690 614	5 778 858	Affleurement	M22		Idem à LR0112
L-P Richard	LR0117	690 501	5 778 675	Affleurement	M22 Hem		Bord de rivière, M22, idem à LR0112. affleure jusqu'à LR0119 (chute), difficile d'accès falaise sur le bord de la rivière, présence d'hematisation.
L-P Richard	LR0118	690 609	5 778 665	Affleurement	M22 MAG-		Affleurement sur le dessus d'une chute, migmatite MAG par endroit, un échantillon (62230).
L-P Richard	LR0119	690 931	5 778 354	Affleurement	M22		Affl. Sur le bord de la rivière. M22 gris, leucosomes blancs. 2 systèmes de FRA sèches (210/90 et 330/90).
L-P Richard	LR0119	690 931	5 778 354	Affleurement	M22		Affl. sur le bord de la rivière. M22 gris, leucosomes blancs. 2 systèmes de FRA sèches (210/90 et 330/90).
L-P Richard	LR0120	687 897	5 781 681	Affleurement	M1		Affleurement sous mousse d'un gneiss bien développé, 90% Fp blanc, 5% Qz, 5% Bo, GNE 055/90.
L-P Richard	LR0121	687 988	5 781 637	Affleurement	l1B		Granitoïde rose avec lit de Bo (10%), 80% Fp rose, 10% Qz.
L-P Richard	LR0122	688 104	5 781 554	Affleurement	M4		Méta-sédiments gris, Qz-Fp-Bo, grain très rare Py, compositionnel.
L-P Richard	LR0123	688 286	5 781 392	Affleurement	M1	Mt	Gneiss blanc à POR Mt, grains de 2 à 5 mm,
L-P Richard	LR0124	688 377	5 781 313	Affleurement	l1		Granitoïde blanc rosé légèrement gneissique, Fp-Qz-Bo.
L-P Richard	LR0125	688 908	5 781 669	Affleurement	l1 GNE-		Granitoïde blanc rosé légèrement gneissique, Fp-Qz-Bo.
L-P Richard	LR0126	688 710	5 781 937	Affleurement	M22		Migmatite à 30% leucosome blanc Qz-Fp en veines et en amas.
L-P Richard	LR0127	691 731	5 776 164	Affleurement	M22		Affleurement sur le bord de la rivière, migmatite grise, 30% leucosome, abondant en Bo.
L-P Richard	LR0128	691 315	5 776 802	Bloc	M4 POBGr		Méta-sédiments Qz-Fp-Bo gris, unité avec POB de 2 à 10 mm grenat disséminé.
L-P Richard	LR0129	691 287	5 777 250	Affleurement	M22 POBGr		Méta-sédiments migmatisés à Gr, 25% lits leucosome blanc Qz-Fp, irrégulier et plissé par endroit, POB Gr en amas, aucune minéralisation
L-P Richard	LR0130	691 280	5 777 334	Affleurement	M4		Affleurement sur le bord de la rivière, les méta-sédiments deviennent schisteux, POB Gr de 3-4 cm, aucune minéralisation.
L-P Richard	LR0131	691 962	5 775 345	Affleurement	M22		Affleurement sur le bord de la rivière M22 grise, leucosome rose, MAG par endroit, aucune minéralisation.
L-P Richard	LR0132	691 933	5 775 544	Affleurement	M22		Affleurement sur le bord de la rivière de M22 grise, 75% leucosome, 25% protolite Qz-Fp-Bo.
L-P Richard	LR0133	691 922	5 775 615	Affleurement	M22		Affleurement de M22.
L-P Richard	LR0134	691 939	5 775 662	Affleurement	M16		Affleurement décapé d'amphibolite au contact avec une migmatite, contact à 030/85.
L-P Richard	LR0135	691 904	5 775 682	Affleurement	l1		Affleurement de granitoïde blanc et rose, aucune minéralisation, bonne place pour traverser le bras de la rivière.

Notes de terrain - Extension 167

Géologue	Station	Estant (Nad83Z18)	Nordant (Nad83Z18)	Présentation	Roche hôte	Minéralisation	Description
L-P Richard	LR0136	691 740	5 775 740	Affleurement	M22		Affleurement sur le bord de la rivière de M22 grise, 75% leucosome, 25% protolite Qz-Fp-Bo.
L-P Richard	LR0137	691 776	5 775 949	Affleurement	M22		Affleurement sur le bord de la rivière de M22 grise, 75% leucosome, 25% protolite Qz-Fp-Bo.
L-P Richard	LR0138	695 878	5 815 573	Affleurement	M4 CIS		Méta-sédiments cisailé, Cis à 060/65, aucune minéralisation.
L-P Richard	LR0139	695 849	5 816 293	Affleurement	M4 CIS		Méta-sédiments cisailé, Cis à 060/65, aucune minéralisation.
L-P Richard	LR0140	694 393	5 817 285	Affleurement	V3B		Affleurement sur le dessus de la colline noire, basalte plus ou moins amphibolitisé, série de gossans de 10 cm à 1,5 m, aucune continuité entre ceux-ci, échantillons 62009-62010-62011.
L-P Richard	LR0141	694 398	5 817 489	Affleurement	I3B MAG		Affleurement sur le dessus de la colline noire, gabbro MAG localement, aucun gossan, aucune minéralisation.
L-P Richard	LR0142	694 473	5 817 570	Affleurement	V3B		Affleurement sur le dessus de la colline noire, basalte massif, aucun gossan, aucune minéralisation.
L-P Richard	LR0143	694 635	5 817 572	Affleurement	I3B MAG		Affleurement sur le dessus de la colline noire, gabbro MAG localement, aucun gossan, aucune minéralisation.
L-P Richard	LR0144	694 336	5 783 620	Affleurement	I1		Ancien décapage dans une coupe de ligne assez large, très escarpé, 3 types de roches différentes: encaissant est I1 Fk, Pg, Qz, Bo, Mt par endroit, Zone biotisée avec 90% biotite et résidu de Pg et Fk, Zone irrégulière plus mafique et schisteuse, Pg, Qz. Décapage ne semble pas échantillonné (aucun ruban).
L-P Richard	LR0145	693 874	5 783 860	Affleurement	I2J	Mt	Affleurement de Diorite sous mousse, contient des lambeaux à 100% Hb, l'unité semble fondue un peu plus loin avec formation de POB Mt de 5 à 10 mm.
L-P Richard	LR0146	694 031	5 783 891	Affleurement	I2D		Affleurement de Syénite sous mousse, Fk, Bo, minéral vert d'altération Fp, aucun Su, pas de Qz.
L-P Richard	LR0147	694 608	5 816 409	Affleurement	Sil	SuGp	Tranchée creusée sur le flanc de la colline noire, l'affleurement est conducteur (42 000 HFR), horizon silicifié avec Po semi massive avec jusqu'à 10% Cp, présence de Gp, de Py argentée (As?), le contact entre les faciès (litage) semble à N040/50-70, tranchée dans une coupe de ligne, 4 échantillons de pris (62015 à 62018).
L-P Richard	LR0148	694 621	5 816 414	EM Enfoui	EM enfoui		Conducteur du LR0147 détecté en surface, non creusé.
L-P Richard	LR0149	694 591	5 816 394	EM Enfoui	EM enfoui		Conducteur du LR0147 détecté en surface, non creusé.
L-P Richard	LR0150	694 580	5 816 374	EM Enfoui	EM enfoui		Conducteur du LR0147 détecté en surface, non creusé.
L-P Richard	LR0151	694 493	5 816 307	EM Enfoui	EM enfoui		Conducteur du LR0147 détecté en surface, non creusé.
L-P Richard	LR0152	694 393	5 816 160	EM Enfoui	EM enfoui		Conducteur du LR0147 détecté en surface, non creusé, aussi début des affleurements qui se continuent vers le sud-ouest jusqu'aux points Ed0205 et Ed0206.
L-P Richard	LR0153	694 342	5 816 116	Affleurement	Sil+		Continuité de l'affleurement Ed0209 stathigraphiquement au N-E, litage cmque à 045/65, 1 m de long, ancien décapage manuel prolongé vers le N-O et le S-E, cible le conducteur sud de la colline noire.

Notes de terrain - Extension 167

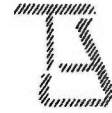
Géologue	Station	Estant (Nad83Z18)	Nordant (Nad83Z18)	Présentation	Roche hôte	Minéralisation	Description
L-P Richard	LR0154	694 329	5 816 121	Affleurement	M16 - V3B		Affleurement contact N-O du conducteur sud de la colline noire, amphibolite issu de basalte, non minéralisé, schisto à 030/60.
L-P Richard	LR0155	694 587	5 816 258	Bloc	-		Bloc conducteur non déterré.
L-P Richard	LR0156	697 587	5 819 268	Bloc	-	-	Secteur du bloc 62038, détection d'une vingtaine de blocs conducteur dans un rayon de 10 m, plusieurs ne sont pas enfouis, rubannés en bleu, zone directement dessus le conducteur interprété.
L-P Richard	LR0157	686 786	5 807 044	Affleurement	V2 APH		Roche grise aphanitique siliceuse, ressemble à une lave, recoupée par des veinules de Qz-Fp, aucun sulfures.
L-P Richard	LR0158	686 914	5 806 976	Bloc	V1		Bloc anguleux blanc, ressemble bcp à une lave, mais p-e M4, PO Qz 3-4 mm, POB Gr. Secteur de la colline sur le bord du lac avec énormément de blocs, beaucoup de laves, basalte et felsique et méta-sédiments/ schiste avec POB de Gr de 2 à 30 mm.
L-P Richard	LR0159	686 912	5 806 584	Affleurement	M8 Mv-Gr		Schiste à muscovite-grenat, schisto ondulante à 315/50, 2 générations veines Qz 1-2cm, une plissée secondaire, une disloquée primaire, aucun sulfure.
L-P Richard	LR0160	686 233	5 805 830	Bloc	M4 Lim+		Enorme bloc anguleux directement sur le conducteur interprété, bloc non conducteur complètement oxydé, très rare ou pas de sulfures, difficile de savoir l'origine de l'oxydation, roche complètement altérée.
L-P Richard	LR0161	686 111	5 805 711	Affleurement	M8 AdMv		Schiste à andalousite sur le bord de la rivière Eastmain, 30-40% POB Ad blanche en relief positif, matrice de mica blanc (Mv ?), recoupée par des dykes métriques de pegmatite blanche à Qz-Fp-mica, aucune minéralisation.
L-P Richard	LR0162	690 509	5 813 580	Affleurement	V3B COU?SCH Chl-		Basalte massif, schisto très bien développée à 070/65, certaine zone sont chloritisée, relique de coussin, aucune minéralisation.
L-P Richard	LR0163	690 767	5 813 362	Affleurement	V3B		Basalte massif, schisto très bien développée à 075/85, pendage devient sub vertical, veine Qz blanche cmque incorporée dans la schisto, aucune minéralisation.
M. Lacey	ML0001	689 358	5 738 850	Bloc	I4 FIN		I4P(?) FIN, non MAG, frais, aucun Su
M. Lacey	ML0002	689 227	5 738 871	Affleurement	M12 / S1		Quartzite(?) de couleur vert très pâle à grisâtre très lég. rosâtre, homogène. Grains env. 1mm, gén. non jointifs. Qq lamines mm mélanocrates discontinues et micro-veinules de quartz sub-perp. Aux lamines
M. Lacey	ML0003	689 193	5 738 859	Affleurement	M12 / S1		Idem à ML0002. Peu d'exposition, fesse. Petit cisaillement de 1cm de puissance.
M. Lacey	ML0004	688 816	5 740 120	Affleurement	I3A		Non MAG
M. Lacey	ML0005	688 802	5 740 100	Affleurement	I3A / I3A PORPg		Contact brusque mais graduel entre I3A et I3A PORPg (Env. N135°-315°). POR pouvant atteindre 2cm.
M. Lacey	ML0006	688 789	5 740 090	Affleurement	I3A PORPg		Idem à I3A ORPg de ML0005
M. Lacey	ML0007	688 777	5 740 081	Affleurement	I3A PORPg		Gabbro. Granulométrie fine à moyenne.

Notes de terrain - Extension 167

Géologue	Station	Estant (Nad83Z18)	Nordant (Nad83Z18)	Présentation	Roche hôte	Minéralisation	Description
M. Lacey	ML0008	688 690	5 740 032	Affleurement	I3A / V3B COU		Point triple. Contact N002°-182°, I3A à l'ouest et COU à l'est. Contact ±N077°-N257°, I3A au nord, COU. Aucune polarité évidente (voir croquis).
M. Lacey	ML0008	688 690	5 740 032	Affleurement	I3A / V3B COU		Point triple. Contact N002°-182°, I3A à l'ouest et COU à l'est. Contact ±N077°-N257°, I3A au nord, COU. Aucune polarité évidente (voir croquis).
M. Lacey	ML0009	688 727	5 740 037	Affleurement	I3A		Pas de COU évidents, pas de grab-hoe, prêté aux gars.
M. Lacey	ML0010	688 745	5 740 024	Affleurement	V3B COU		Aucune polarité évidente
M. Lacey	ML0011	688 742	5 740 027	Affleurement	V3B COU / I3A		Contact ±N174° -354°. COU à l'est, I3A à l'ouest (voir croquis).
M. Lacey	ML0012	688 736	5 740 024	Affleurement	V3B COU		Contact ±N085°-N265°. I3A au nord, COU au Sud (voir croquis).
M. Lacey	ML0013	688 646	5 740 016	Affleurement	V3B COU		Aucune polarité évidente
M. Lacey	ML0014	688 633	5 739 540	Affleurement	V3B COU		Aucune polarité évidente
M. Lacey	ML0015	688 607	5 739 989	Affleurement	I3A		
M. Lacey	ML0016	688 592	5 739 978	Affleurement	I3A		
M. Lacey	ML0017	688 595	5 739 972	Affleurement	I3A		
M. Lacey	ML0018	688 619	5 739 955	Affleurement	I3A		
M. Lacey	ML0019	688 650	5 739 990	Affleurement	V3B COU		Le long d'un petit cliff
M. Lacey	ML0020	688 652	5 740 005	Affleurement	V3B COU / I3A		Contact , pendage 72° vers le Sud. COU au sud, I3A au nord.
M. Lacey	ML0021	688 654	5 740 012	Affleurement	V3B COU		Contact, pendage sud. V3B COU au nord, I3A au sud. I3A de 8m de puissance
M. Lacey	ML0022	688 650	5 740 014	Affleurement	I3A		I3A de 2m de puissance
M. Lacey	ML0023	688 649	5 740 026	Affleurement	V3B COU		Aucune polarité évidente
M. Lacey	ML0024	688 647	5 740 033	Affleurement	I3A		
L-P Richard	PadLR001	688 871	5 738 662	Pad Hélico	Pad Hélico		Pad d'hélicoptère à proximité.
L-P Richard	PadLR002	688 738	5 738 697	Pad Hélico	Pad Hélico		Pad d'hélicoptère
L-P Richard	PadLR003	688 470	5 738 612	Pad Hélico	Pad Hélico		Pad d'hélicoptère
L-P Richard	PadLR004	688 442	5 738 566	Pad Hélico	Pad Hélico		Pad d'hélicoptère
É. C-Lavoie	PE-150A	690 788	5 779 265	Forage	Forage		Aucune idée de l'origine
É. C-Lavoie	PE-150B	690 735	5 779 121	Forage	Forage		Aucune idée de l'origine
É. C-Lavoie	TCH-003	691 475	5 778 773	Forage	Forage		Trou avec casing cap, prends pas l'eau. 180/45
L-P Richard	TCH-004	691 254	5 778 603	Forage	Forage		Aucun tubage. Présence de boue et carottes
L-P Richard	TCH-013	690 778	5 778 682	Forage	Forage		Tubage NQ, N000°, plongée -55°. Site très propre.

Annexe VI :

Certificats d'analyse



TECHNI-LAB

pyroanalyse
géochimie
environnement

Client :
Monsieur Jeannot Thériège

Visible Gold Mine
139, Avenue Québec
Rouyn-Noranda (Québec)
J9X 6M8

Date d'émission: 10 juil. 2015
Date de réception: 22 juin 2015
Date d'analyses: 2 juil. 2015
Projet: 167
Certificat: 35485

CERTIFICAT D'ANALYSE

11 échantillons de roches ont été reçus pour analyses.

Notes :

Ce certificat remplace et annule tous certificats antérieurs, le cas échéant.

® Ce document est pour l'usage exclusif du client et ne peut être reproduit, sinon en entier, sans l'autorisation écrite de Techni-Lab S. G. B. Abitibi inc. Si vous avez reçu ce certificat par erreur, soyez avisé que tout usage, reproduction ou distribution de celui-ci est strictement interdit. Les échantillons seront conservés pendant 30 jours à partir de la date du certificat à moins d'avis écrit du client.

® Les résultats d'essai ne se rapportent qu'aux objets soumis à l'essai tels qu'ils ont été reçus par le laboratoire.



Les résultats des échantillons sont vérifiés et approuvés par :


Mathieu RANCOURT, chimiste 2007-109



CERTIFICAT D'ANALYSE

À l'attention de Monsieur Jeannot Théberge

Client Visible Gold Mine
139, Avenue Québec
Rouyn-Noranda (Québec)
J9X 6M8

Date d'émission: 10 juil. 2015
Date de réception: 22 juin 2015
Date d'analyses: 2 juil. 2015
Projet: 167
Certificat: 35485

Échantillon #	Au ppb	Au g/t >1.0 g/t Gravimétrie
Méthode utilisé:	TMT-G5B	TMT-G5C
62201	<8	
62202	13	
62203	<8	
62204	<8	
62205	<8	
62206	9	
62207	<8	
62208	<8	
62209	<8	
62210	9	
62211	24	
62211-Dup	19	
OXD 108	407	
OXD 108	448	
OXJ 120	2403	
OXJ 120	2427	



TECHNI-LAB

pyroanalyse
géochimie
environnement

CERTIFICAT D'ANALYSE - ANNEXE 1

À l'attention de Monsieur Jeannot Thérberge

Client: Visible Gold Mine
139, Avenue Québec
Rouyn-Noranda (Québec)
J9X 6M8

Date d'émission: 10 juil. 2015
Date de réception: 22 juin 2015
Date d'analyse: 2 juil. 2015
Projet: 167
Certificat: 35485

MÉTHODE ACCRÉDITÉE

TMT-G5B Or par SAA avec digestion d'Aqua Regia par micro-ondes
TMT-G5C Or finition par gravimétrie
TMT-G5E Palladium et Platine par absorption atomique électrothermique (Four au Graphite)
TMT-G5F Ag, Cu, Pb, Zn, Ni et Co par ICP avec digestion d'Aqua Regia

MÉTHODE NON ACCRÉDITÉE

TMT-G5G Argent par Gravimétrie
TMT-G2 Densité
TMT-G5Z Titration du Zinc

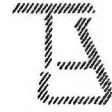
MÉTHODE ACCRÉDITÉE PAR LE CCN

<i>Méthode</i>	<i>Paramètre</i>	<i>Limite de détection</i>	<i>Méthode</i>	<i>Paramètre</i>	<i>Limite de détection</i>
TMT-G5B	Au ppb (5 ml)	8	TMT-G5F	Ag ppm	0.3
TMT-G5B	Au g/t (10 ml)	0.01	TMT-G5F	Co ppm	2
TMT-G5C	Au gravimétrie g/t	0.08	TMT-G5F	Cu ppm	1
TMT-G5E	Pd ppb	2	TMT-G5F	Ni ppm	2
TMT-G5E	Pt ppb	3	TMT-G5F	Pb ppm	3
			TMT-G5F	Zn ppm	1

Ce rapport est pour l'usage exclusif du client et ne peut être reproduit, sinon en entier, sans l'autorisation écrite de Techni-Lab S.G.B. Abitibi inc.



Annexe 1 du certificat no. 35485 - 3/3



TECHNI-LAB

pyroanalyse
géochimie
environnement

Client :
Monsieur Jeannot Théberge

Visible Gold Mine
139, Avenue Québec
Rouyn-Noranda (Québec)
J9X 6M8

Date d'émission: 10 juil. 2015
Date de réception: 22 juin 2015
Date d'analyses: 3 juil. 2015
Projet: 167
Certificat: 35486

CERTIFICAT D'ANALYSE

48 échantillons de roches ont été reçus pour analyses.

Notes :

Ce certificat remplace et annule tous certificats antérieurs, le cas échéant.

® Ce document est pour l'usage exclusif du client et ne peut être reproduit, sinon en entier, sans l'autorisation écrite de Techni-Lab S. G. B. Abitibi inc. Si vous avez reçu ce certificat par erreur, soyez avisé que tout usage, reproduction ou distribution de celui-ci est strictement interdit. Les échantillons seront conservés pendant 30 jours à partir de la date du certificat à moins d'avis écrit du client.

® Les résultats d'essai ne se rapportent qu'aux objets soumis à l'essai tels qu'ils ont été reçus par le laboratoire.



Les résultats des échantillons sont vérifiés et approuvés par :


Mathieu RANCOURT, chimiste 2007-109



CERTIFICAT D'ANALYSE

À l'attention de Monsieur Jeannot Théberge

Client Visible Gold Mine
139, Avenue Québec
Rouyn-Noranda (Québec)
J9X 6M8

Date d'émission: 10 juil. 2015
Date de réception: 22 juin 2015
Date d'analyses: 3 juil. 2015
Projet: 167
Certificat: 35486

Échantillon #	Au	Au
	ppb	g/t >1.0 g/t Gravimétrie
<i>Méthode utilisé:</i>	<i>TMT-G5B</i>	<i>TMT-G5C</i>
61801	<8	
61802	<8	
61803	12	
61804	<8	
61805	<8	
61806	<8	
61807	<8	
61808	<8	
61809	<8	
61810	<8	
61811	<8	
61812	15	
61813	36	
61814	<8	
61815	13	
61816	<8	
61817	13	
61818	20	
61819	135	
61820	28	
61821	28	
61822	26	
61823	<8	
61824	53	
61825	38	
61826	45	
61827	112	
61828	10	
61829	<8	
61830	43	
61831	<8	
61832	<8	



TECHNI-LAB

pyroanalyse
géochimie
environnement

CERTIFICAT D'ANALYSE

À l'attention de Monsieur Jeannot Thériège

Client Visible Gold Mine
139, Avenue Québec
Rouyn-Noranda (Québec)
J9X 6M8

Date d'émission: 10 juil. 2015
Date de réception: 22 juin 2015
Date d'analyses: 3 juil. 2015
Projet: 167
Certificat: 35486

Échantillon #	Au ppb	Au g/t >1.0 g/t Gravimétrie
Méthode utilisé:	TMT-G5B	TMT-G5C
61833	<8	
61834	<8	
61835	<8	
61836	<8	
61837	<8	
61838	17	
61839	11	
61840	9	
61841	<8	
61842	42	
61843	<8	
61844	<8	
61845	<8	
61846	<8	
61847	<8	
61848	11	
61807-Dup	<8	
61829-Dup	<8	
61838-Dup	17	
OXD 108	428	
OXD 108	441	
OXD 108	448	
OXJ 120	2437	
OXJ 120	2225	
OXJ 120	2402	
OXJ 120	2427	

**TECHNI-LAB**pyroanalyse
géochimie
environnement**CERTIFICAT D'ANALYSE - ANNEXE 1**

À l'attention de Monsieur Jeannot Thériège

Client: Visible Gold Mine
139, Avenue Québec
Rouyn-Noranda (Québec)
J9X 6M8Date d'émission: 10 juil. 2015
Date de réception: 22 juin 2015
Date d'analyse: 3 juil. 2015
Projet: 167
Certificat: 35486**MÉTHODE ACCRÉDITÉE**

TMT-G5B Or par SAA avec digestion d'Aqua Regia par micro-ondes
TMT-G5C Or finition par gravimétrie
TMT-G5E Palladium et Platine par absorption atomique électrothermique (Four au Graphite)
TMT-G5F Ag, Cu, Pb, Zn, Ni et Co par ICP avec digestion d'Aqua Regia

MÉTHODE NON ACCRÉDITÉE

TMT-G5G Argent par Gravimétrie
TMT-G2 Densité
TMT-G5Z Titration du Zinc

MÉTHODE ACCRÉDITÉE PAR LE CCN

<i>Méthode</i>	<i>Paramètre</i>	<i>Limite de détection</i>	<i>Méthode</i>	<i>Paramètre</i>	<i>Limite de détection</i>
TMT-G5B	Au ppb (5 ml)	8	TMT-G5F	Ag ppm	0.3
TMT-G5B	Au g/t (10 ml)	0.01	TMT-G5F	Co ppm	2
TMT-G5C	Au gravimétrie g/t	0.08	TMT-G5F	Cu ppm	1
TMT-G5E	Pd ppb	2	TMT-G5F	Ni ppm	2
TMT-G5E	Pt ppb	3	TMT-G5F	Pb ppm	3
			TMT-G5F	Zn ppm	1

Ce rapport est pour l'usage exclusif du client et ne peut être reproduit, sinon en entier, sans l'autorisation écrite de Techni-Lab S.G.B. Abitibi inc.



Annexe 1 du certificat no. 35486 - 4/4



TECHNI-LAB

pyroanalyse
géochimie
environnement

Client :

Monsieur Jeannot Théberge

Visible Gold Mine
139, Avenue Québec
Rouyn-Noranda (Québec)
J9X 6M8

Date d'émission: 10 juil. 2015

Date de réception: 25 juin 2015

Date d'analyses: 3 juil. 2015

Projet: 167

Certificat: 35487

CERTIFICAT D'ANALYSE

50 échantillons de roches ont été reçus pour analyses.

Notes :

Ce certificat remplace et annule tous certificats antérieurs, le cas échéant.

® Ce document est pour l'usage exclusif du client et ne peut être reproduit, sinon en entier, sans l'autorisation écrite de Techni-Lab S. G. B. Abitibi inc. Si vous avez reçu ce certificat par erreur, soyez avisé que tout usage, reproduction ou distribution de celui-ci est strictement interdit. Les échantillons seront conservés pendant 30 jours à partir de la date du certificat à moins d'avis écrit du client.

® Les résultats d'essai ne se rapportent qu'aux objets soumis à l'essai tels qu'ils ont été reçus par le laboratoire.



Les résultats des échantillons sont vérifiés et approuvés par :


Mathieu RANCOURT, chimiste 2007-109



CERTIFICAT D'ANALYSE

À l'attention de Monsieur Jeannot Théberge

Client Visible Gold Mine
 139, Avenue Québec
 Rouyn-Noranda (Québec)
 J9X 6M8

Date d'émission: 10 juil. 2015
 Date de réception: 25 juin 2015
 Date d'analyses: 3 juil. 2015
 Projet: 167
 Certificat: 35487

Échantillon #	Au ppb	Au g/t >1.0 g/t Gravimétrie
Méthode utilisé:	TMT-G5B	TMT-G5C
61851	14	
61852	<8	
61853	<8	
61854	<8	
61855	<8	
61856	45	
61857	143	
61858	26	
61859	<8	
61860	24	
61861	<8	
61862	23	
61863	35	
61864	<8	
61865	<8	
61866	34	
61867	75	
61868	24	
61869	43	
61870	21	
61871	40	
61872	19	
61873	21	
61874	<8	
61875	42	
61876	<8	
61877	20	
61878	57	
61879	30	
61880	<8	
61881	<8	
61882	11	



TECHNI-LAB

pyroanalyse
géochimie
environnement

CERTIFICAT D'ANALYSE

À l'attention de Monsieur Jeannot Thériège

Client Visible Gold Mine
139, Avenue Québec
Rouyn-Noranda (Québec)
J9X 6M8

Date d'émission: 10 juil. 2015
Date de réception: 25 juin 2015
Date d'analyses: 3 juil. 2015
Projet: 167
Certificat: 35487

Échantillon #	Au ppb	Au g/t >1.0 g/t Gravimétrie
<i>Méthode utilisé:</i>	<i>TMT-G5B</i>	<i>TMT-G5C</i>
61883	<8	
61884	79	
61885	<8	
61886	10	
61887	<8	
61888	25	
61889	<8	
61890	<8	
61891	17	
61892	<8	
61893	<8	
61894	10	
61895	<8	
61896	<8	
61897	<8	
61898	<8	
61899	<8	
61900	<8	
61863-Dup	29	
61893-Dup	<8	
CDN-PGMS-25	522	
CDN-PGMS-9	1090	
OXD 108	428	
OXD 108	429	
OXJ 120	2480	
OXJ 120	2246	
OXJ 120	2402	



TECHNI-LAB

pyroanalyse
géochimie
environnement

CERTIFICAT D'ANALYSE - ANNEXE 1

À l'attention de Monsieur Jeannot Thériège

Client: Visible Gold Mine
139, Avenue Québec
Rouyn-Noranda (Québec)
J9X 6M8

Date d'émission: 10 juil. 2015
Date de réception: 25 juin 2015
Date d'analyse: 3 juil. 2015
Projet: 167
Certificat: 35487

MÉTHODE ACCRÉDITÉE

TMT-G5B	Or par SAA avec digestion d'Aqua Regia par micro-ondes
TMT-G5C	Or finition par gravimétrie
TMT-G5E	Palladium et Platine par absorption atomique électrothermique (Four au Graphite)
TMT-G5F	Ag, Cu, Pb, Zn, Ni et Co par ICP avec digestion d'Aqua Regia

MÉTHODE NON ACCRÉDITÉE

TMT-G5G	Argent par Gravimétrie
TMT-G2	Densité
TMT-G5Z	Titration du Zinc

MÉTHODE ACCRÉDITÉE PAR LE CCN

<i>Méthode</i>	<i>Paramètre</i>	<i>Limite de détection</i>	<i>Méthode</i>	<i>Paramètre</i>	<i>Limite de détection</i>
TMT-G5B	Au ppb (5 ml)	8	TMT-G5F	Ag ppm	0.3
TMT-G5B	Au g/t (10 ml)	0.01	TMT-G5F	Co ppm	2
TMT-G5C	Au gravimétrie g/t	0.08	TMT-G5F	Cu ppm	1
TMT-G5E	Pd ppb	2	TMT-G5F	Ni ppm	2
TMT-G5E	Pt ppb	3	TMT-G5F	Pb ppm	3
			TMT-G5F	Zn ppm	1

Ce rapport est pour l'usage exclusif du client et ne peut être reproduit, sinon en entier, sans l'autorisation écrite de Techni-Lab S.G.B. Abitibi inc.



Annexe 1 du certificat no. 35487 - 4/4

Client :
Monsieur Jeannot Théberge

Visible Gold Mine
139, Avenue Québec
Rouyn-Noranda (Québec)
J9X 6M8

Date d'émission: 2 juil. 2015
Date de réception: 22 juin 2015
Date d'analyses: 2 juil. 2015
Projet: 167
Certificat: 35498

CERTIFICAT D'ANALYSE

9 échantillons de roches ont été reçus pour analyses.

Notes :

Ce certificat remplace et annule tous certificats antérieurs, le cas échéant.

Ⓢ Ce document est pour l'usage exclusif du client et ne peut être reproduit, sinon en entier, sans l'autorisation écrite de Techni-Lab S. G. B. Abitibi inc. Si vous avez reçu ce certificat par erreur, soyez avisé que tout usage, reproduction ou distribution de celui-ci est strictement interdit. Les échantillons seront conservés pendant 30 jours à partir de la date du certificat à moins d'avis écrit du client.

Ⓢ Les résultats d'essai ne se rapportent qu'aux objets soumis à l'essai tels qu'ils ont été reçus par le laboratoire.



Les résultats des échantillons sont vérifiés et approuvés par :


Mathieu RANCOURT, chimiste 2007-109





TECHNI-LAB

pyroanalyse
géochimie
environnement

CERTIFICAT D'ANALYSE

À l'attention de Monsieur Jeannot Théberge

Client Visible Gold Mine
139, Avenue Québec
Rouyn-Noranda (Québec)
J9X 6M8

Date d'émission: 2 juil. 2015
Date de réception: 22 juin 2015
Date d'analyses: 2 juil. 2015
Projet: 167
Certificat: 35498

Échantillon #	Au ppb	Au g/t >1.0 g/t Gravimétrie
	<i>Méthode utilisé:</i>	<i>TMT-G5B</i>
61751	10	
61752	<8	
61753	<8	
61754	15	
61755	<8	
61756	<8	
61757	<8	
61758	<8	
61759	<8	
61753-Dup	<8	
OXD 108	427	
OXJ 120	2183	



CERTIFICAT D'ANALYSE - ANNEXE 1

TECHNI-LAB

pyroanalyse
géochimie
environnement

À l'attention de Monsieur Jeannot Théberge

Client: Visible Gold Mine
139, Avenue Québec
Rouyn-Noranda (Québec)
J9X 6M8

Date d'émission: 2 juil. 2015
Date de réception: 22 juin 2015
Date d'analyse: 2 juil. 2015
Projet: 167
Certificat: 35498

MÉTHODE ACCRÉDITÉE

TMT-G5B Or par SAA avec digestion d'Aqua Regia par micro-ondes
TMT-G5C Or finition par gravimétrie
TMT-G5E Palladium et Platine par absorption atomique électrothermique (Four au Graphite)
TMT-G5F Ag, Cu, Pb, Zn, Ni et Co par ICP avec digestion d'Aqua Regia

MÉTHODE NON ACCRÉDITÉE

TMT-G5G Argent par Gravimétrie
TMT-G2 Densité
TMT-G5Z Titration du Zinc

MÉTHODE ACCRÉDITÉE PAR LE CCN

<i>Méthode</i>	<i>Paramètre</i>	<i>Limite de détection</i>	<i>Méthode</i>	<i>Paramètre</i>	<i>Limite de détection</i>
TMT-G5B	Au ppb (5 ml)	8	TMT-G5F	Ag ppm	0.3
TMT-G5B	Au g/t (10 ml)	0.01	TMT-G5F	Co ppm	2
TMT-G5C	Au gravimétrie g/t	0.08	TMT-G5F	Cu ppm	1
TMT-G5E	Pd ppb	2	TMT-G5F	Ni ppm	2
TMT-G5E	Pt ppb	3	TMT-G5F	Pb ppm	3
			TMT-G5F	Zn ppm	1

Ce rapport est pour l'usage exclusif du client et ne peut être reproduit, sinon en entier, sans l'autorisation écrite de Techni-Lab S.G.B. Abitibi inc.



Client :
Monsieur Jeannot Théberge

Visible Gold Mine
139, Avenue Québec
Rouyn-Noranda (Québec)
J9X 6M8

Date d'émission: 2 juil. 2015
Date de réception: 22 juin 2015
Date d'analyses: 2 juil. 2015
Projet: 167
Certificat: 35499

CERTIFICAT D'ANALYSE

50 échantillons de roches ont été reçus pour analyses.

Notes :

Ce certificat remplace et annule tous certificats antérieurs, le cas échéant.

® Ce document est pour l'usage exclusif du client et ne peut être reproduit, sinon en entier, sans l'autorisation écrite de Techni-Lab S. G. B. Abitibi inc. Si vous avez reçu ce certificat par erreur, soyez avisé que tout usage, reproduction ou distribution de celui-ci est strictement interdit. Les échantillons seront conservés pendant 30 jours à partir de la date du certificat à moins d'avis écrit du client.

® Les résultats d'essai ne se rapportent qu'aux objets soumis à l'essai tels qu'ils ont été reçus par le laboratoire.



Les résultats des échantillons sont vérifiés et approuvés par:


Mathieu RANCOURT, chimiste 2007-109





TECHNI-LAB

pyroanalyse
géochimie
environnement

CERTIFICAT D'ANALYSE

À l'attention de Monsieur Jeannot Théberge

Client Visible Gold Mine
139, Avenue Québec
Rouyn-Noranda (Québec)
J9X 6M8

Date d'émission: 2 juil. 2015
Date de réception: 22 juin 2015
Date d'analyses: 2 juil. 2015
Projet: 167
Certificat: 35499

Échantillon #	Au ppb	Au g/t >1.0 g/t Gravimétrie
<i>Méthode utilisé:</i> TMT-G5B TMT-G5C		
61901	<8	
61902	<8	
61903	<8	
61904	<8	
61905	<8	
61906	<8	
61907	<8	
61908	202	
61909	<8	
61910	28	
61911	<8	
61912	<8	
61913	<8	
61914	<8	
61915	<8	
61916	<8	
61917	<8	
61918	<8	
61919	<8	
61920	<8	
61921	<8	
61922	14	
61923	<8	
61924	<8	
61925	<8	
61926	<8	
61927	<8	
61928	<8	
61929	<8	
61930	<8	
61931	<8	
61932	<8	



TECHNI-LAB

pyroanalyse
géochimie
environnement

CERTIFICAT D'ANALYSE

À l'attention de Monsieur Jeannot Théberge

Client Visible Gold Mine
139, Avenue Québec
Rouyn-Noranda (Québec)
J9X 6M8

Date d'émission: 2 juil. 2015
Date de réception: 22 juin 2015
Date d'analyses: 2 juil. 2015
Projet: 167
Certificat: 35499

Échantillon #	Au ppb	Au g/t >1.0 g/t Gravimétrie
Méthode utilisé:	TMT-G5B	TMT-G5C
61933	<8	
61934	<8	
61935	14	
61936	15	
61937	<8	
61938	<8	
61939	<8	
61940	<8	
61941	13	
61942	11	
61943	<8	
61944	<8	
61945	<8	
61946	<8	
61947	<8	
61948	<8	
61949	<8	
61950	<8	
61911-Dup	<8	
61932-Dup	<8	
OXD 108	445	
OXD 108	430	
OXD 108	427	
OXJ 120	2342	
OXJ 120	2418	
OXJ 120	2183	



CERTIFICAT D'ANALYSE - ANNEXE 1

TECHNI-LAB

pyroanalyse
géochimie
environnement

À l'attention de Monsieur Jeannot Thérberge

Client: Visible Gold Mine
139, Avenue Québec
Rouyn-Noranda (Québec)
J9X 6M8

Date d'émission: 2 juil. 2015
Date de réception: 22 juin 2015
Date d'analyse: 2 juil. 2015
Projet: 167
Certificat: 35499

MÉTHODE ACCRÉDITÉE

TMT-G5B Or par SAA avec digestion d'Aqua Regia par micro-ondes
TMT-G5C Or finition par gravimétrie
TMT-G5E Palladium et Platine par absorption atomique électrothermique (Four au Graphite)
TMT-G5F Ag, Cu, Pb, Zn, Ni et Co par ICP avec digestion d'Aqua Regia

MÉTHODE NON ACCRÉDITÉE

TMT-G5G Argent par Gravimétrie
TMT-G2 Densité
TMT-G5Z Titration du Zinc

MÉTHODE ACCRÉDITÉE PAR LE CCN

<i>Méthode</i>	<i>Paramètre</i>	<i>Limite de détection</i>	<i>Méthode</i>	<i>Paramètre</i>	<i>Limite de détection</i>
TMT-G5B	Au ppb (5 ml)	8	TMT-G5F	Ag ppm	0.3
TMT-G5B	Au g/t (10 ml)	0.01	TMT-G5F	Co ppm	2
TMT-G5C	Au gravimétrie g/t	0.08	TMT-G5F	Cu ppm	1
TMT-G5E	Pd ppb	2	TMT-G5F	Ni ppm	2
TMT-G5E	Pt ppb	3	TMT-G5F	Pb ppm	3
			TMT-G5F	Zn ppm	1

Ce rapport est pour l'usage exclusif du client et ne peut être reproduit, sinon en entier, sans l'autorisation écrite de Techni-Lab S.G.B. Abitibi inc.



Client :
Monsieur Jeannot Théberge

Visible Gold Mine
139, Avenue Québec
Rouyn-Noranda (Québec)
J9X 6M8

Date d'émission: 2 juil. 2015
Date de réception: 25 juin 2015
Date d'analyses: 2 juil. 2015
Projet: 167
Certificat: 35500

CERTIFICAT D'ANALYSE

14 échantillons de roches ont été reçus pour analyses.


Notes :


Ce certificat remplace et annule tous certificats antérieurs, le cas échéant.

- ® Ce document est pour l'usage exclusif du client et ne peut être reproduit, sinon en entier, sans l'autorisation écrite de Techni-Lab S. G. B. Abitibi inc. Si vous avez reçu ce certificat par erreur, soyez avisé que tout usage, reproduction ou distribution de celui-ci est strictement interdit. Les échantillons seront conservés pendant 30 jours à partir de la date du certificat à moins d'avis écrit du client.
- ® Les résultats d'essai ne se rapportent qu'aux objets soumis à l'essai tels qu'ils ont été reçus par le laboratoire.



Les résultats des échantillons sont vérifiés et approuvés par :


Mathieu RANCOURT, chimiste 2007-109





TECHNI-LAB

pyroanalyse
géochimie
environnement

CERTIFICAT D'ANALYSE

À l'attention de Monsieur Jeannot Théberge

Client Visible Gold Mine
139, Avenue Québec
Rouyn-Noranda (Québec)
J9X 6M8

Date d'émission: 2 juil. 2015
Date de réception: 25 juin 2015
Date d'analyses: 2 juil. 2015
Projet: 167
Certificat: 35500

Échantillon #	Au ppb	Au g/t >1.0 g/t Gravimétrie
<i>Méthode utilisé:</i>	<i>TMT-G5B</i>	<i>TMT-G5C</i>
62101	63	
62102	129	
62103	<8	
62104	<8	
62105	14	
62106	<8	
62107	<8	
62108	17	
62109	24	
62110	<8	
62111	14	
62112	<8	
62113	<8	
62114	12	
OXD 108	407	
OXD 108	414	
OXJ 120	2403	
OXJ 120	2295	



CERTIFICAT D'ANALYSE - ANNEXE 1

TECHNI-LAB

pyroanalyse
géochimie
environnement

À l'attention de Monsieur Jeannot Théberge

Client: Visible Gold Mine
139, Avenue Québec
Rouyn-Noranda (Québec)
J9X 6M8

Date d'émission: 2 juil. 2015
Date de réception: 25 juin 2015
Date d'analyse: 2 juil. 2015
Projet: 167
Certificat: 35500

MÉTHODE ACCRÉDITÉE

TMT-G5B Or par SAA avec digestion d'Aqua Regia par micro-ondes
TMT-G5C Or finition par gravimétrie
TMT-G5E Palladium et Platine par absorption atomique électrothermique (Four au Graphite)
TMT-G5F Ag, Cu, Pb, Zn, Ni et Co par ICP avec digestion d'Aqua Regia

MÉTHODE NON ACCRÉDITÉE

TMT-G5G Argent par Gravimétrie
TMT-G2 Densité
TMT-G5Z Titration du Zinc

MÉTHODE ACCRÉDITÉE PAR LE CCN

<i>Méthode</i>	<i>Paramètre</i>	<i>Limite de détection</i>	<i>Méthode</i>	<i>Paramètre</i>	<i>Limite de détection</i>
TMT-G5B	Au ppb (5 ml)	8	TMT-G5F	Ag ppm	0.3
TMT-G5B	Au g/t (10 ml)	0.01	TMT-G5F	Co ppm	2
TMT-G5C	Au gravimétrie g/t	0.08	TMT-G5F	Cu ppm	1
TMT-G5E	Pd ppb	2	TMT-G5F	Ni ppm	2
TMT-G5E	Pt ppb	3	TMT-G5F	Pb ppm	3
			TMT-G5F	Zn ppm	1

Ce rapport est pour l'usage exclusif du client et ne peut être reproduit, sinon en entier, sans l'autorisation écrite de Techni-Lab S.G.B. Abitibi inc.



Client :
Monsieur Jeannot Théberge

Visible Gold Mine
139, Avenue Québec
Rouyn-Noranda (Québec)
J9X 6M8

Date d'émission: 2 juil. 2015
Date de réception: 25 juin 2015
Date d'analyses: 2 juil. 2015
Projet: 169
Certificat: 35501

CERTIFICAT D'ANALYSE

18 échantillons de roches ont été reçus pour analyses.

Notes :

Ce certificat remplace et annule tous certificats antérieurs, le cas échéant.

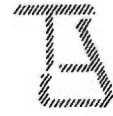
- Ⓜ Ce document est pour l'usage exclusif du client et ne peut être reproduit, sinon en entier, sans l'autorisation écrite de Techni-Lab S. G. B. Abitibi inc. Si vous avez reçu ce certificat par erreur, soyez avisé que tout usage, reproduction ou distribution de celui-ci est strictement interdit. Les échantillons seront conservés pendant 30 jours à partir de la date du certificat à moins d'avis écrit du client.
- Ⓜ Les résultats d'essai ne se rapportent qu'aux objets soumis à l'essai tels qu'ils ont été reçus par le laboratoire.



Les résultats des échantillons sont vérifiés et approuvés par :


Mathieu RANCOURT, chimiste 2007-109





TECHNI-LAB

pyroanalyse
géochimie
environnement

CERTIFICAT D'ANALYSE

À l'attention de Monsieur Jeannot Théberge

Client Visible Gold Mine
139, Avenue Québec
Rouyn-Noranda (Québec)
J9X 6M8

Date d'émission: 2 juil. 2015
Date de réception: 25 juin 2015
Date d'analyses: 2 juil. 2015
Projet: 169
Certificat: 35501

Échantillon #	Au	Au
	ppb	g/t >1.0 g/t Gravimétrie
Méthode utilisé:	TMT-G5B	TMT-G5C
61849	13	
61850	<8	
62151	<8	
62152	<8	
62153	20	
62154	20	
62155	<8	
62156	<8	
62157	<8	
62158	<8	
62212	<8	
62213	<8	
62214	<8	
62215	<8	
62216	<8	
62217	<8	
62218	<8	
62219	<8	
62158-Dup	<8	
OXD 108	448	
OXJ 120	2359	



CERTIFICAT D'ANALYSE - ANNEXE 1

TECHNI-LAB

pyroanalyse
géochimie
environnement

À l'attention de Monsieur Jeannot Théberge

Client: Visible Gold Mine
139, Avenue Québec
Rouyn-Noranda (Québec)
J9X 6M8

Date d'émission: 2 juil. 2015
Date de réception: 25 juin 2015
Date d'analyse: 2 juil. 2015
Projet: 169
Certificat: 35501

MÉTHODE ACCRÉDITÉE

TMT-G5B	Or par SAA avec digestion d'Aqua Regia par micro-ondes
TMT-G5C	Or finition par gravimétrie
TMT-G5E	Palladium et Platine par absorption atomique électrothermique (Four au Graphite)
TMT-G5F	Ag, Cu, Pb, Zn, Ni et Co par ICP avec digestion d'Aqua Regia

MÉTHODE NON ACCRÉDITÉE

TMT-G5G	Argent par Gravimétrie
TMT-G2	Densité
TMT-G5Z	Titration du Zinc

MÉTHODE ACCRÉDITÉE PAR LE CCN

<i>Méthode</i>	<i>Paramètre</i>	<i>Limite de détection</i>	<i>Méthode</i>	<i>Paramètre</i>	<i>Limite de détection</i>
TMT-G5B	Au ppb (5 ml)	8	TMT-G5F	Ag ppm	0.3
TMT-G5B	Au g/t (10 ml)	0.01	TMT-G5F	Co ppm	2
TMT-G5C	Au gravimétrie g/t	0.08	TMT-G5F	Cu ppm	1
TMT-G5E	Pd ppb	2	TMT-G5F	Ni ppm	2
TMT-G5E	Pt ppb	3	TMT-G5F	Pb ppm	3
			TMT-G5F	Zn ppm	1

Ce rapport est pour l'usage exclusif du client et ne peut être reproduit, sinon en entier, sans l'autorisation écrite de Techni-Lab S.G.B. Abitibi inc.



Client :
Monsieur Jeannot Théberge

Visible Gold Mine
139, Avenue Québec
Rouyn-Noranda (Québec)
J9X 6M8

Date d'émission: 17 août 2015
Date de réception: 24 juillet 2015
Date d'analyses: 12 août 2015
Projet: 167
Certificat: 35632

CERTIFICAT D'ANALYSE

62 échantillons de roches ont été reçus pour analyses.

Notes :

Ce certificat remplace et annule tous certificats antérieurs, le cas échéant.

® Ce document est pour l'usage exclusif du client et ne peut être reproduit, sinon en entier, sans l'autorisation écrite de Techni-Lab S. G. B. Abitibi inc. Si vous avez reçu ce certificat par erreur, soyez avisé que tout usage, reproduction ou distribution de celui-ci est strictement interdit. Les échantillons seront conservés pendant 30 jours à partir de la date du certificat à moins d'avis écrit du client.

® Les résultats d'essai ne se rapportent qu'aux objets soumis à l'essai tels qu'ils ont été reçus par le laboratoire.



Les résultats des échantillons sont vérifiés et approuvés par :


Mathieu RANCOURT, chimiste 2007-109



CERTIFICAT D'ANALYSE

À l'attention de Monsieur Jeannot Théberge

Client Visible Gold Mine
139, Avenue Québec
Rouyn-Noranda (Québec)
J9X 6M8

Date d'émission: 17 août 2015
Date de réception: 24 juil. 2015
Date d'analyses: 1 juil. 2015
Projet: 167
Certificat: 35632

Échantillon #	Au ppb	Au g/t >1.0 g/t Gravimétrie
		Méthode utilisé: TMT-G5B TMT-G5C
61760	<8	
61761	<8	
61762	<8	
61763	<8	
61764	<8	
61765	<8	
61766	10	
61767	<8	
61768	10	
61769	20	
61770	10	
61771	<8	
61772	<8	
61773	<8	
61774	<8	
61775	<8	
61776	<8	
61777	<8	
61778	<8	
61779	<8	
61780	<8	
61781	<8	
61782	<8	
61783	<8	
61784	<8	
61785	<8	
62115	<8	
62116	<8	
62117	<8	
62118	<8	
62119	<8	
62120	<8	

**TECHNI-LAB**pyroanalyse
géochimie
environnement**CERTIFICAT D'ANALYSE**

À l'attention de Monsieur Jeannot Théberge

Client Visible Gold Mine
139, Avenue Québec
Rouyn-Noranda (Québec)
J9X 6M8

Date d'émission: 17 août 2015

Date de réception: 24 juil. 2015

Date d'analyses: 1 juil. 2015

Projet: 167

Certificat: 35632

Échantillon #	Au ppb	Au g/t >1.0 g/t Gravimétrie
Méthode utilisé:	TMT-G5B	TMT-G5C
62121	<8	
62122	<8	
62123	<8	
62124	<8	
62125	<8	
62126	<8	
62127	<8	
62128	<8	
62129	<8	
62130	<8	
62131	<8	
62132	38	
62133	<8	
62134	<8	
62135	<8	
62136	<8	
62137	<8	
62138	<8	
62139	<8	
62140	<8	
62141	<8	
62142	<8	
62143	<8	
62144	<8	
62145	<8	
62146	<8	
62147	10	
62148	<8	
62149	<8	
62150	10	



TECHNI-LAB

pyroanalyse
géochimie
environnement

CERTIFICAT D'ANALYSE

À l'attention de Monsieur Jeannot Théberge

Client Visible Gold Mine
139, Avenue Québec
Rouyn-Noranda (Québec)
J9X 6M8

Date d'émission: 17 août 2015
Date de réception: 24 juil. 2015
Date d'analyses: 1 juil. 2015
Projet: 167
Certificat: 35632

Échantillon #	Au ppb	Au g/t >1.0 g/t Gravimétrie
<i>Méthode utilisé:</i>	<i>TMT-G5B</i>	<i>TMT-G5C</i>
61769-Dup	18	
62123-Dup	<8	
62144-Dup	<8	
OXD 108	420	
OXD 108	430	
OXD 108	421	
OXD 108	396	
OXD 108	416	
OXD 108	444	
OXJ 120	2246	
OXJ 120	2419	
OXJ 120	2331	
OXJ 120	2337	
OXJ 120	2394	



CERTIFICAT D'ANALYSE - ANNEXE 1

TECHNI-LAB

pyroanalyse
géochimie
environnement

À l'attention de Monsieur Jeannot Théberge

Client: Visible Gold Mine
139, Avenue Québec
Rouyn-Noranda (Québec)
J9X 6M8

Date d'émission: 17 août 2015
Date de réception: 24 juil. 2015
Date d'analyse: 12 août 2015
Projet: 167
Certificat: 35632

MÉTHODE ACCRÉDITÉE

TMT-G5B Or par SAA avec digestion d'Aqua Regia par micro-ondes
TMT-G5C Or finition par gravimétrie
TMT-G5E Palladium et Platine par absorption atomique électrothermique (Four au Graphite)
TMT-G5F Ag, Cu, Pb, Zn, Ni et Co par ICP avec digestion d'Aqua Regia

MÉTHODE NON ACCRÉDITÉE

TMT-G5G Argent par Gravimétrie
TMT-G2 Densité
TMT-G5Z Titration du Zinc

MÉTHODE ACCRÉDITÉE PAR LE CCN

<i>Méthode</i>	<i>Paramètre</i>	<i>Limite de détection</i>	<i>Méthode</i>	<i>Paramètre</i>	<i>Limite de détection</i>
TMT-G5B	Au ppb (5 ml)	8	TMT-G5F	Ag ppm	0.3
TMT-G5B	Au g/t (10 ml)	0.01	TMT-G5F	Co ppm	2
TMT-G5C	Au gravimétrie g/t	0.08	TMT-G5F	Cu ppm	1
TMT-G5E	Pd ppb	2	TMT-G5F	Ni ppm	2
TMT-G5E	Pt ppb	3	TMT-G5F	Pb ppm	3
			TMT-G5F	Zn ppm	1

Ce rapport est pour l'usage exclusif du client et ne peut être reproduit, sinon en entier, sans l'autorisation écrite de Techni-Lab S.G.B. Abitibi inc.



Client :
Monsieur Jeannot Théberge

Visible Gold Mine
139, Avenue Québec
Rouyn-Noranda (Québec)
J9X 6M8

Date d'émission: 14 août 2015
Date de réception: 24 juillet 2015
Date d'analyses: 12 août 2015
Projet: 167
Certificat: 35633

CERTIFICAT D'ANALYSE

76 échantillons de roches ont été reçus pour analyses.

Notes :

Ce certificat remplace et annule tous certificats antérieurs, le cas échéant.

® Ce document est pour l'usage exclusif du client et ne peut être reproduit, sinon en entier, sans l'autorisation écrite de Techni-Lab S. G. B. Abitibi inc. Si vous avez reçu ce certificat par erreur, soyez avisé que tout usage, reproduction ou distribution de celui-ci est strictement interdit. Les échantillons seront conservés pendant 30 jours à partir de la date du certificat à moins d'avis écrit du client.

® Les résultats d'essai ne se rapportent qu'aux objets soumis à l'essai tels qu'ils ont été reçus par le laboratoire.



Les résultats des échantillons sont vérifiés et approuvés par :


Mathieu RANCOURT, chimiste 2007-109



CERTIFICAT D'ANALYSE

À l'attention de Monsieur Jeannot Théberge

Client Visible Gold Mine
139, Avenue Québec
Rouyn-Noranda (Québec)
J9X 6M8

Date d'émission: 14 août 2015
Date de réception: 24 juil. 2015
Date d'analyses: 12 août 2015
Projet: 167
Certificat: 35633

Échantillon #	Au ppb	Au g/t
		>1.0 g/t Gravimétrie
Méthode utilisé:	TMT-G5B	TMT-G5C
61951	<8	
61952	<8	
61953	<8	
61954	<8	
61955	<8	
61956	<8	
61957	<8	
61958	98	
61959	9	
61960	<8	
61961	<8	
61962	<8	
61963	22	
61964	<8	
61965	11	
61966	14	
61967	19	
61968	17	
61969	<8	
61970	<8	
61971	14	
61972	11	
61973	<8	
61974	12	
61975	<8	
61976	10	
61977	15	
61978	<8	
61979	13	
61980	<8	
61981	42	
61982	<8	



TECHNI-LAB

pyroanalyse
géochimie
environnement

CERTIFICAT D'ANALYSE

À l'attention de Monsieur Jeannot Théberge

Client Visible Gold Mine
139, Avenue Québec
Rouyn-Noranda (Québec)
J9X 6M8

Date d'émission: 14 août 2015
Date de réception: 24 juil. 2015
Date d'analyses: 12 août 2015
Projet: 167
Certificat: 35633

Échantillon #	Au ppb	Au g/t >1.0 g/t Gravimétrie
<i>Méthode utilisé:</i>	<i>TMT-G5B</i>	<i>TMT-G5C</i>
61983	<8	
61984	11	
62159	<8	
62160	<8	
62161	<8	
62162	<8	
62163	<8	
62164	<8	
62165	<8	
62166	22	
62167	<8	
62168	<8	
62169	<8	
62170	<8	
62171	9	
62172	<8	
62173	<8	
62174	<8	
62175	10	
62176	25	
62177	27	
62178	<8	
62179	21	
62180	<8	
62181	<8	
62182	<8	
62183	<8	
62184	<8	
62185	<8	
62186	<8	
62187	<8	
62188	11	
62189	17	
62190	37	
62191	<8	



TECHNI-LAB

pyroanalyse
géochimie
environnement

CERTIFICAT D'ANALYSE

À l'attention de Monsieur Jeannot Théberge

Client Visible Gold Mine
139, Avenue Québec
Rouyn-Noranda (Québec)
J9X 6M8

Date d'émission: 14 août 2015
Date de réception: 24 juil. 2015
Date d'analyses: 12 août 2015
Projet: 167
Certificat: 35633

Échantillon #	Au ppb	Au g/t >1.0 g/t Gravimétrie
<i>Méthode utilisé:</i>	<i>TMT-G5B</i>	<i>TMT-G5C</i>
62192	18	
62193	<8	
62194	<8	
62195	<8	
62196	<8	
62197	<8	
62198	13	
62199	20	
62200	27	
61957-Dup	<8	
61974-Dup	9	
61978-Dup	<8	
62164-Dup	<8	
62186-Dup	<8	
OXD 108	422	
OXD 108	426	
OXD 108	420	
OXD 108	396	
OXJ 120	2439	
OXJ 120	2507	
OXJ 120	2240	
OXJ 120	2331	
OXJ 120	2449	



CERTIFICAT D'ANALYSE - ANNEXE 1

TECHNI-LAB

pyroanalyse
géochimie
environnement

À l'attention de Monsieur Jeannot Thériège

Client: Visible Gold Mine
139, Avenue Québec
Rouyn-Noranda (Québec)
J9X 6M8

Date d'émission: 14 août 2015
Date de réception: 24 juil. 2015
Date d'analyse: 12 août 2015
Projet: 167
Certificat: 35633

MÉTHODE ACCRÉDITÉE

TMT-G5B Or par SAA avec digestion d'Aqua Regia par micro-ondes
TMT-G5C Or finition par gravimétrie
TMT-G5E Palladium et Platine par absorption atomique électrothermique (Four au Graphite)
TMT-G5F Ag, Cu, Pb, Zn, Ni et Co par ICP avec digestion d'Aqua Regia

MÉTHODE NON ACCRÉDITÉE

TMT-G5G Argent par Gravimétrie
TMT-G2 Densité
TMT-G5Z Titration du Zinc

MÉTHODE ACCRÉDITÉE PAR LE CCN

<i>Méthode</i>	<i>Paramètre</i>	<i>Limite de détection</i>	<i>Méthode</i>	<i>Paramètre</i>	<i>Limite de détection</i>
TMT-G5B	Au ppb (5 ml)	8	TMT-G5F	Ag ppm	0.3
TMT-G5B	Au g/t (10 ml)	0.01	TMT-G5F	Co ppm	2
TMT-G5C	Au gravimétrie g/t	0.08	TMT-G5F	Cu ppm	1
TMT-G5E	Pd ppb	2	TMT-G5F	Ni ppm	2
TMT-G5E	Pt ppb	3	TMT-G5F	Pb ppm	3
			TMT-G5F	Zn ppm	1

Ce rapport est pour l'usage exclusif du client et ne peut être reproduit, sinon en entier, sans l'autorisation écrite de Techni-Lab S.G.B. Abitibi inc.



Client :
Monsieur Jeannot Théberge

Visible Gold Mine
139, Avenue Québec
Rouyn-Noranda (Québec)
J9X 6M8

Date d'émission: 21 août 2015
Date de réception: 24 juillet 2015
Date d'analyses: 12 août 2015
Projet:
Certificat: 35634-C

CERTIFICAT D'ANALYSE

84 échantillons de roches ont été reçus pour analyses.

Notes : Certificat corrigé concernant les numéros d'échantillons 62032 et 62232.
Aucun changement pour les résultats.

Ce certificat remplace et annule tous certificats antérieurs, le cas échéant.

® Ce document est pour l'usage exclusif du client et ne peut être reproduit, sinon en entier, sans l'autorisation écrite de Techni-Lab S. G. B. Abitibi inc. Si vous avez reçu ce certificat par erreur, soyez avisé que tout usage, reproduction ou distribution de celui-ci est strictement interdit. Les échantillons seront conservés pendant 30 jours à partir de la date du certificat à moins d'avis écrit du client.

® Les résultats d'essai ne se rapportent qu'aux objets soumis à l'essai tels qu'ils ont été reçus par le laboratoire.



Les résultats des échantillons sont vérifiés et approuvés par :


Mathieu RANCOURT, chimiste 2007-109



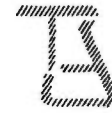
CERTIFICAT D'ANALYSE

À l'attention de Monsieur Jeannot Théberge

Client Visible Gold Mine
139, Avenue Québec
Rouyn-Noranda (Québec)
J9X 6M8

Date d'émission: 21 août 2015
Date de réception: 24 juil. 2015
Date d'analyses: 1 juil. 2015
Projet:
Certificat: 35634-C

Échantillon #	Au ppb	Au g/t >1.0 g/t Gravimétrie
Méthode utilisé:	TMT-G5B	TMT-G5C
61786	<8	
61787	<8	
61788	<8	
61789	<8	
61790	<8	
61791	<8	
62001	<8	
62002	<8	
62003	<8	
62004	<8	
62005	<8	
62006	<8	
62007	22	
62008	<8	
62009	134	
62010	18	
62011	<8	
62012	<8	
62013	<8	
62014	<8	
62015	30	
62016	528	
62017	663	
62018	14	
62019	19	
62020	29	
62021	73	
62022	48	
62023	<8	
62024	42	
62025	<8	
62026	<8	
62027	172	



TECHNI-LAB

pyroanalyse
géochimie
environnement

CERTIFICAT D'ANALYSE

À l'attention de Monsieur Jeannot Théberge

Client Visible Gold Mine
139, Avenue Québec
Rouyn-Noranda (Québec)
J9X 6M8

Date d'émission: 21 août 2015

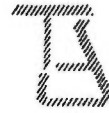
Date de réception: 24 juil. 2015

Date d'analyses: 1 juil. 2015

Projet:

Certificat: 35634-C

Échantillon #	Au	Au
	ppb	g/t >1.0 g/t Gravimétrie
<i>Méthode utilisé:</i>	<i>TMT-G5B</i>	<i>TMT-G5C</i>
62028	16	
62029	<8	
62030	<8	
62031	<8	
62032	<8	
62033	<8	
62034	<8	
62035	64	
62036	<8	
62037	<8	
62038	38	
62039	15	
62040	<8	
62041	<8	
62042	<8	
62043	<8	
62044	<8	
62045	<8	
62046	<8	
62047	<8	
62220	<8	
62221	<8	
62222	<8	
62223	<8	
62224	<8	
62225	<8	
62226	<8	
62227	<8	
62228	<8	
62229	<8	
62230	<8	
62231	<8	
62232	<8	



TECHNI-LAB

pyroanalyse
géochimie
environnement

CERTIFICAT D'ANALYSE

À l'attention de Monsieur Jeannot Théberge

Client Visible Gold Mine
139, Avenue Québec
Rouyn-Noranda (Québec)
J9X 6M8

Date d'émission: 21 août 2015

Date de réception: 24 juil. 2015

Date d'analyses: 1 juil. 2015

Projet:

Certificat: 35634-C

Échantillon #	Au ppb	Au g/t >1.0 g/t Gravimétrie
<i>Méthode utilisé:</i>	<i>TMT-G5B</i>	<i>TMT-G5C</i>
62233	<8	
62234	<8	
62235	<8	
62236	<8	
62237	<8	
62238	<8	
62239	11	
62240	<8	
62241	<8	
62242	<8	
62243	<8	
62244	<8	
62245	<8	
62246	<8	
62247	<8	
62248	9	
62249	28	
62250	42	
62026-Dup	<8	
62040-Dup	<8	
62228-Dup	<8	
62245-Dup	<8	
OXD 108	431	
OXD 108	416	
OXD 108	411	
OXD 108	414	
OXJ 120	2376	
OXJ 120	2374	
OXJ 120	2286	
OXJ 120	2210	
OXJ 120	2449	
OXJ 120	2449	

CERTIFICAT D'ANALYSE - ANNEXE 1



À l'attention de Monsieur Jeannot Thériège

Client: Visible Gold Mine
139, Avenue Québec
Rouyn-Noranda (Québec)
J9X 6M8

Date d'émission: 21 août 2015
Date de réception: 24 juil. 2015
Date d'analyse: 12 août 2015
Projet:
Certificat: 35634-C

MÉTHODE ACCRÉDITÉE

TMT-G5B Or par SAA avec digestion d'Aqua Regia par micro-ondes
TMT-G5C Or finition par gravimétrie
TMT-G5E Palladium et Platine par absorption atomique électrothermique (Four au Graphite)
TMT-G5F Ag, Cu, Pb, Zn, Ni et Co par ICP avec digestion d'Aqua Regia

MÉTHODE NON ACCRÉDITÉE

TMT-G5G Argent par Gravimétrie
TMT-G2 Densité
TMT-G5Z Titration du Zinc

MÉTHODE ACCRÉDITÉE PAR LE CCN

<i>Méthode</i>	<i>Paramètre</i>	<i>Limite de détection</i>	<i>Méthode</i>	<i>Paramètre</i>	<i>Limite de détection</i>
TMT-G5B	Au ppb (5 ml)	8	TMT-G5F	Ag ppm	0.3
TMT-G5B	Au g/t (10 ml)	0.01	TMT-G5F	Co ppm	2
TMT-G5C	Au gravimétrie g/t	0.08	TMT-G5F	Cu ppm	1
TMT-G5E	Pd ppb	2	TMT-G5F	Ni ppm	2
TMT-G5E	Pt ppb	3	TMT-G5F	Pb ppm	3
			TMT-G5F	Zn ppm	1

Ce rapport est pour l'usage exclusif du client et ne peut être reproduit, sinon en entier, sans l'autorisation écrite de Techni-Lab S.G.B. Abitibi inc.



Quality Analysis ...



Innovative Technologies

Date Submitted: 03-Jul-15
Invoice No.: A15-04848
Invoice Date: 10-Jul-15
Your Reference: 35485 SG15-0949 VISIBLE GOLD

Techni-Lab Abitibi Inc.(Actlabs)
184 Rue Principale
Ste-Germaine-Boule Quebec J0Z 1M0
Canada

ATTN: Andre Caouette

CERTIFICATE OF ANALYSIS

11 Pulp samples were submitted for analysis.

The following analytical package was requested:

Code 1F2 Total Digestion ICP(TOTAL)

REPORT **A15-04848**

This report may be reproduced without our consent. If only selected portions of the report are reproduced, permission must be obtained. If no instructions were given at time of sample submittal regarding excess material, it will be discarded within 90 days of this report. Our liability is limited solely to the analytical cost of these analyses. Test results are representative only of material submitted for analysis.

Notes:

Values which exceed the upper limit should be assayed for accurate numbers.

CERTIFIED BY:

A handwritten signature in black ink, appearing to read "Emmanuel Esemé". The signature is written over a horizontal line.

Emmanuel Esemé , Ph.D.
Quality Control

ACTIVATION LABORATORIES LTD.
41 Bittern Street, Ancaster, Ontario, Canada, L9G 4V5
TELEPHONE +905 648-9611 or +1.888.228.5227 FAX +1.905.648.9613
E-MAIL Ancaster@actlabs.com ACTLABS GROUP WEBSITE www.actlabs.com



Results

Analyte Symbol	Ag	Al	As	Ba	Be	Bi	Ca	Cd	Co	Cr	Cu	Fe	Ga	Hg	K	Mg	Li	Mn	Mo	Na	Ni	P	Pb
Unit Symbol	ppm	%	ppm	ppm	ppm	ppm	%	ppm	ppm	ppm	ppm	%	ppm	ppm	%	%	ppm	ppm	ppm	%	ppm	%	ppm
Lower Limit	0.3	0.01	3	7	1	2	0.01	0.3	1	1	1	0.01	1	1	0.01	0.01	1	1	1	0.01	1	0.001	3
Method Code	TD-ICP	TD-ICP	TD-ICP	TD-ICP	TD-ICP	TD-ICP	TD-ICP	TD-ICP	TD-ICP	TD-ICP	TD-ICP	TD-ICP	TD-ICP	TD-ICP	TD-ICP	TD-ICP	TD-ICP	TD-ICP	TD-ICP	TD-ICP	TD-ICP	TD-ICP	TD-ICP
62201	< 0.3	0.20	92	39	< 1	3	0.14	< 0.3	12	243	83	16.2	2	< 1	0.02	1.90	< 1	5690	15	0.02	69	0.004	5
62202	0.5	10.7	102	75	2	4	0.01	< 0.3	40	191	166	8.76	30	< 1	3.42	2.09	58	190	< 1	0.15	167	0.010	< 3
62203	< 0.3	0.15	103	< 7	< 1	< 2	0.25	< 0.3	7	323	25	16.1	< 1	< 1	0.02	2.70	< 1	6220	20	0.03	36	0.005	5
62204	< 0.3	2.84	1430	54	< 1	2	1.74	0.5	37	330	96	12.5	8	< 1	0.50	2.32	9	1530	15	0.11	85	0.026	5
62205	< 0.3	0.07	60	< 7	< 1	< 2	0.55	< 0.3	5	457	36	5.69	< 1	< 1	0.01	0.57	< 1	863	32	0.02	40	0.003	5
62206	< 0.3	0.03	84	< 7	< 1	< 2	0.11	< 0.3	4	312	9	7.54	< 1	< 1	< 0.01	1.09	< 1	1790	20	< 0.01	22	0.006	6
62207	< 0.3	8.25	39	164	< 1	< 2	5.83	0.5	32	572	208	5.59	16	< 1	1.82	3.42	21	1100	8	0.76	66	0.026	22
62208	< 0.3	0.07	32	< 7	< 1	< 2	0.17	< 0.3	5	380	150	6.72	< 1	< 1	0.01	0.33	< 1	722	24	0.01	28	0.018	5
62209	< 0.3	0.23	88	10	< 1	2	0.26	< 0.3	53	198	271	21.2	3	< 1	0.04	2.82	1	5520	13	0.03	144	0.007	15
62210	0.4	10.1	6	830	1	3	0.36	2.2	42	411	166	5.66	23	< 1	4.60	2.31	41	419	6	0.10	94	0.027	7
62211	< 0.3	0.11	27	< 7	< 1	< 2	1.09	< 0.3	5	667	37	7.15	1	< 1	0.02	0.41	9	777	46	0.03	20	0.036	< 3

Results

Analyte Symbol	Sb	S	Sc	Sr	Te	Ti	Tl	U	V	W	Y	Zn	Zr
Unit Symbol	ppm	%	ppm	ppm	ppm	%	ppm	ppm	ppm	ppm	ppm	ppm	ppm
Lower Limit	5	0.01	4	1	2	0.01	5	10	2	5	1	1	5
Method Code	TD-ICP	TD-ICP	TD-ICP	TD-ICP	TD-ICP	TD-ICP	TD-ICP	TD-ICP	TD-ICP	TD-ICP	TD-ICP	TD-ICP	TD-ICP
62201	7	0.93	< 4	2	6	< 0.01	< 5	< 10	9	< 5	4	138	11
62202	< 5	2.11	50	15	8	0.80	< 5	< 10	454	< 5	29	87	72
62203	7	2.61	< 4	< 1	7	< 0.01	< 5	< 10	8	< 5	3	115	7
62204	< 5	2.72	9	14	7	0.13	< 5	< 10	66	< 5	6	185	26
62205	< 5	1.41	< 4	2	7	< 0.01	< 5	< 10	7	< 5	1	49	< 5
62206	12	1.09	< 4	< 1	< 2	< 0.01	< 5	< 10	5	< 5	2	33	< 5
62207	< 5	2.11	64	174	4	0.45	< 5	< 10	310	5	12	248	28
62208	< 5	0.42	< 4	2	3	< 0.01	< 5	< 10	5	< 5	1	27	< 5
62209	6	5.91	8	3	3	< 0.01	< 5	< 10	32	< 5	5	275	11
62210	6	2.95	65	25	5	0.49	< 5	< 10	386	16	11	1030	42
62211	< 5	1.85	< 4	3	3	< 0.01	< 5	< 10	7	< 5	5	54	< 5

QC

Analyte Symbol	Ag	Al	As	Ba	Be	Bi	Ca	Cd	Co	Cr	Cu	Fe	Ga	Hg	K	Mg	Li	Mn	Mo	Na	Ni	P	Pb
Unit Symbol	ppm	%	ppm	ppm	ppm	ppm	%	ppm	ppm	ppm	ppm	%	ppm	ppm	%	%	ppm	ppm	ppm	%	ppm	%	ppm
Lower Limit	0.3	0.01	3	7	1	2	0.01	0.3	1	1	1	0.01	1	1	0.01	0.01	1	1	1	0.01	1	0.001	3
Method Code	TD-ICP	TD-ICP	TD-ICP	TD-ICP	TD-ICP	TD-ICP	TD-ICP	TD-ICP	TD-ICP	TD-ICP	TD-ICP	TD-ICP	TD-ICP	TD-ICP	TD-ICP	TD-ICP	TD-ICP	TD-ICP	TD-ICP	TD-ICP	TD-ICP	TD-ICP	TD-ICP
GXR-1 Meas	31.9	2.30	420	643	1	1380	0.88	2.0	9	19	1100	24.0	12	< 1	0.05	0.21	8	874	15	0.05	43	0.058	718
GXR-1 Cert	31.0	3.52	427	750	1.22	1380	0.960	3.30	8.20	12.0	1110	23.6	13.8	3.90	0.050	0.217	8.20	852	18.0	0.0520	41.0	0.0650	730
GXR-1 Meas	32.8	2.57	429	675	1	1450	0.90	1.9	10	16	1130	24.4	13	< 1	0.05	0.21	8	894	16	0.05	45	0.059	738
GXR-1 Cert	31.0	3.52	427	750	1.22	1380	0.960	3.30	8.20	12.0	1110	23.6	13.8	3.90	0.050	0.217	8.20	852	18.0	0.0520	41.0	0.0650	730
GXR-4 Meas	3.5	6.81	112	101	2	15	1.09	0.3	16	49	6530	3.16	17	< 1	2.79	1.68	11	147	319	0.50	44	0.134	45
GXR-4 Cert	4.0	7.20	98.0	1640	1.90	19.0	1.01	0.860	14.6	64.0	6520	3.09	20.0	0.110	4.01	1.66	11.1	155	310	0.564	42.0	0.120	52.0
GXR-4 Meas	3.7	6.79	112	143	2	15	1.09	0.3	16	45	6470	3.17	17	< 1	4.65	1.69	11	156	324	0.51	43	0.136	43
GXR-4 Cert	4.0	7.20	98.0	1640	1.90	19.0	1.01	0.860	14.6	64.0	6520	3.09	20.0	0.110	4.01	1.66	11.1	155	310	0.564	42.0	0.120	52.0
SDC-1 Meas		8.70	15	630	3		1.12		19	49	29	4.98	22	< 1	2.29	1.00	33	853		1.51	36	0.052	21
SDC-1 Cert		8.34	0.220	630	3.00		1.00		18.0	64.00	30.000	4.82	21.00	0.20	2.72	1.02	34.00	880.00		1.52	38.0	0.0690	25.00
SDC-1 Meas		8.51	16	615	3		1.10		20	46	28	4.88	20	< 1	2.80	0.98	32	872		1.47	36	0.053	20
SDC-1 Cert		8.34	0.220	630	3.00		1.00		18.0	64.00	30.000	4.82	21.00	0.20	2.72	1.02	34.00	880.00		1.52	38.0	0.0690	25.00
GXR-6 Meas	0.3	15.6	246	> 1000	1	< 2	0.23	< 0.3	13	57	60	5.09	31	< 1	1.76	0.63	36	962	1	0.11	24	0.033	81
GXR-6 Cert	1.30	17.7	330	1300	1.40	0.290	0.180	1.00	13.8	96.0	66.0	5.58	35.0	0.0680	1.87	0.609	32.0	1010	2.40	0.104	27.0	0.0350	101
GXR-6 Meas	0.3	13.8	295	> 1000	1	2	0.19	< 0.3	15	68	66	5.84	29	< 1	1.90	0.61	33	1080	1	0.10	27	0.038	93
GXR-6 Cert	1.30	17.7	330	1300	1.40	0.290	0.180	1.00	13.8	96.0	66.0	5.58	35.0	0.0680	1.87	0.609	32.0	1010	2.40	0.104	27.0	0.0350	101
SAR-M (U.S.G.S.) Meas	3.2	6.61	40	781	3	< 2	0.62	4.9	13	87	330	3.30	15		2.45	0.48	28	5400	11	1.17	53	0.060	1010
SAR-M (U.S.G.S.) Cert	3.64	6.30	38.8	801	2.20	1.94	0.61	5.27	10.70	79.7		2.99	17		2.94	0.50	27.4	5220	13.1	1.140	41.5	0.07	982
SAR-M (U.S.G.S.) Meas	3.6	6.58	38	808	3	< 2	0.62	4.9	13	88	323	3.35	16		3.46	0.48	28	5410	12	1.20	50	0.067	1010
SAR-M (U.S.G.S.) Cert	3.64	6.30	38.8	801	2.20	1.94	0.61	5.27	10.70	79.7		2.99	17		2.94	0.50	27.4	5220	13.1	1.140	41.5	0.07	982
DNC-1a Meas				90					55	258	89		13				4					241	< 3
DNC-1a Cert				118					57.0	270	100.00		15				5.20					247	6.3
DNC-1a Meas				93					57	142	90		13				4					248	5
DNC-1a Cert				118					57.0	270	100.00		15				5.20					247	6.3
SBC-1 Meas			35	548	3	4		< 0.3	24	76	30		25				137		3			85	27
SBC-1 Cert			25.7	788.0	3.20	0.70		0.40	22.7	109	31.0000		27.0				163.0		2.40			82.8	35.0
SBC-1 Meas			27	725	3	3		< 0.3	25	100	30		26				145		2			87	27
SBC-1 Cert			25.7	788.0	3.20	0.70		0.40	22.7	109	31.0000		27.0				163.0		2.40			82.8	35.0
62202 Orig	0.4	10.4	98	73	2	4	0.01	< 0.3	39	186	175	8.46	29	< 1	3.54	2.04	57	192	< 1	0.14	163	0.009	< 3
62202 Dup	0.5	10.9	106	77	2	5	0.01	< 0.3	40	196	158	9.07	30	< 1	3.30	2.15	59	188	< 1	0.15	171	0.010	< 3
62203 Orig	< 0.3	0.15	105	< 7	< 1	< 2	0.25	< 0.3	7	324	26	16.3	1	< 1	0.02	2.73	< 1	6250	21	0.03	37	0.005	4
62203 Dup	< 0.3	0.14	101	< 7	< 1	< 2	0.25	0.3	7	322	25	15.9	< 1	< 1	0.02	2.67	< 1	6180	20	0.03	36	0.005	5
Method Blank	< 0.3	< 0.01	< 3	< 7	< 1	< 2	< 0.01	< 0.3	< 1		1	< 0.01	< 1	< 1	< 0.01	< 0.01	< 1		< 1	< 0.01	< 1	< 0.001	< 3
Method Blank	< 0.3	< 0.01	< 3	< 7	< 1	< 2	< 0.01	< 0.3	< 1		< 1	< 0.01	< 1	< 1	< 0.01	< 0.01	< 1		< 1	< 0.01	< 1	< 0.001	< 3
Method Blank	< 0.3	< 0.01	< 3	< 7	< 1	< 2	< 0.01	< 0.3	< 1		< 1	< 0.01	< 1	< 1	< 0.01	< 0.01	< 1		< 1	< 0.01	< 1	< 0.001	< 3
Method Blank	< 0.3	< 0.01	< 3	< 7	< 1	< 2	< 0.01	< 0.3	< 1		< 1	< 0.01	< 1	< 1	< 0.01	< 0.01	< 1		< 1	< 0.01	< 1	< 0.001	< 3
Method Blank	< 0.3	< 0.01	< 3	< 7	< 1	< 2	< 0.01	< 0.3	< 1		7	< 0.01	< 1	< 1	< 0.01	< 0.01	< 1		2	< 0.01	< 1	< 0.001	< 3
Method Blank	< 0.3	< 0.01	< 3	< 7	< 1	< 2	< 0.01	< 0.3	< 1		6	< 0.01	< 1	< 1	< 0.01	< 0.01	< 1		< 1	< 0.01	< 1	< 0.001	< 3
Method Blank	< 0.3	< 0.01	< 3	< 7	< 1	< 2	< 0.01	< 0.3	< 1		< 1	< 0.01	< 1	< 1	< 0.01	< 0.01	< 1		< 1	< 0.01	< 1	< 0.001	< 3

QC

Analyte Symbol	Sb	S	Sc	Sr	Te	Ti	Tl	U	V	W	Y	Zn	Zr
Unit Symbol	ppm	%	ppm	ppm	ppm	%	ppm	ppm	ppm	ppm	ppm	ppm	ppm
Lower Limit	5	0.01	4	1	2	0.01	5	10	2	5	1	1	5
Method Code	TD-ICP	TD-ICP	TD-ICP	TD-ICP	TD-ICP	TD-ICP	TD-ICP	TD-ICP	TD-ICP	TD-ICP	TD-ICP	TD-ICP	TD-ICP
GXR-1 Meas	26	0.24	< 4	277	15	0.03	< 5	40	86	152	28	713	22
GXR-1 Cert	122	0.257	1.58	275	13.0	0.036	0.390	34.9	80.0	164	32.0	760	38.0
GXR-1 Meas	32	0.25	< 4	285	15	0.03	< 5	40	89	172	29	730	22
GXR-1 Cert	122	0.257	1.58	275	13.0	0.036	0.390	34.9	80.0	164	32.0	760	38.0
GXR-4 Meas	< 5	1.79	8	210	5	0.29	< 5	< 10	93	43	14	71	41
GXR-4 Cert	4.80	1.77	7.70	221	0.970	0.29	3.20	6.20	87.0	30.8	14.0	73.0	186
GXR-4 Meas	< 5	1.83	8	218	10	0.28	< 5	< 10	94	42	14	71	35
GXR-4 Cert	4.80	1.77	7.70	221	0.970	0.29	3.20	6.20	87.0	30.8	14.0	73.0	186
SDC-1 Meas	< 5		17	174		0.09	< 5	< 10	41	< 5		99	20
SDC-1 Cert	0.54		17.00	180.00		0.606	0.70	3.10	102.00	0.80		103.00	290.00
SDC-1 Meas	< 5		17	173		0.18	< 5	< 10	47	< 5		99	30
SDC-1 Cert	0.54		17.00	180.00		0.606	0.70	3.10	102.00	0.80		103.00	290.00
GXR-6 Meas	< 5	0.01	26	48	< 2		< 5	< 10	127	< 5	12	114	69
GXR-6 Cert	3.60	0.0160	27.6	35.0	0.0180		2.20	1.54	186	1.90	14.0	118	110
GXR-6 Meas	< 5	0.02	29	41	3		< 5	< 10	174	< 5	12	126	81
GXR-6 Cert	3.60	0.0160	27.6	35.0	0.0180		2.20	1.54	186	1.90	14.0	118	110
SAR-M (U.S.G.S.) Meas	5		9	156	9	0.37	< 5	< 10	70	18	32	985	
SAR-M (U.S.G.S.) Cert	6.0		7.83	151	0.96	0.38	2.7	3.57	67.2	9.78	28.00	930.0	
SAR-M (U.S.G.S.) Meas	7		9	155	5	0.38	< 5	< 10	73	20	32	970	
SAR-M (U.S.G.S.) Cert	6.0		7.83	151	0.96	0.38	2.7	3.57	67.2	9.78	28.00	930.0	
DNC-1a Meas	< 5		31	122		0.26			136		15	54	34
DNC-1a Cert	0.96		31	144.0		0.29			148.00		18.0	70.0	38.000
DNC-1a Meas	< 5		31	127		0.28			142		15	55	34
DNC-1a Cert	0.96		31	144.0		0.29			148.00		18.0	70.0	38.000
SBC-1 Meas	< 5		21	168		0.47	< 5	< 10	213	< 5	31	171	103
SBC-1 Cert	1.01		20.0	178.0		0.51	0.89	5.76	220.0	1.60	36.5	186.0	134.0
SBC-1 Meas	< 5		23	177		0.52	< 5	< 10	225	< 5	32	175	110
SBC-1 Cert	1.01		20.0	178.0		0.51	0.89	5.76	220.0	1.60	36.5	186.0	134.0
62202 Orig	< 5	2.05	49	14	8	0.75	< 5	< 10	441	< 5	28	86	70
62202 Dup	< 5	2.18	50	15	9	0.85	< 5	< 10	468	< 5	29	88	75
62203 Orig	6	2.62	< 4	< 1	6	0.01	< 5	< 10	8	< 5	3	116	7
62203 Dup	8	2.60	< 4	< 1	7	< 0.01	< 5	< 10	8	< 5	3	114	7
Method Blank	< 5	< 0.01	< 4	< 1	< 2	< 0.01	< 5	< 10	< 2	< 5	< 1	< 1	< 5
Method Blank	< 5	< 0.01	< 4	< 1	< 2	< 0.01	< 5	< 10	< 2	< 5	< 1	< 1	< 5
Method Blank	< 5	< 0.01	< 4	< 1	< 2	< 0.01	< 5	< 10	< 2	< 5	< 1	< 1	< 5
Method Blank	< 5	< 0.01	< 4	< 1	< 2	< 0.01	< 5	< 10	< 2	< 5	< 1	< 1	< 5
Method Blank	< 5	< 0.01	< 4	< 1	< 2	< 0.01	< 5	< 10	< 2	< 5	< 1	< 1	< 5
Method Blank	< 5	< 0.01	< 4	< 1	< 2	< 0.01	< 5	< 10	< 2	< 5	< 1	< 1	< 5
Method Blank	< 5	< 0.01	< 4	< 1	< 2	< 0.01	< 5	< 10	< 2	< 5	< 1	< 1	< 5



Date Submitted: 03-Jul-15
Invoice No.: A15-04849
Invoice Date: 10-Jul-15
Your Reference: 35486 SG15-0950 VISIBLE GOLD

Techni-Lab Abitibi Inc.(Actlabs)
184 Rue Principale
Ste-Germaine-Boule Quebec J0Z 1M0
Canada

ATTN: Andre Caouette

CERTIFICATE OF ANALYSIS

48 Pulp samples were submitted for analysis.

The following analytical package was requested:

Code 1F2 Total Digestion ICP(TOTAL)

REPORT **A15-04849**

This report may be reproduced without our consent. If only selected portions of the report are reproduced, permission must be obtained. If no instructions were given at time of sample submittal regarding excess material, it will be discarded within 90 days of this report. Our liability is limited solely to the analytical cost of these analyses. Test results are representative only of material submitted for analysis.

Notes:

Values which exceed the upper limit should be assayed for accurate numbers.

CERTIFIED BY:

A handwritten signature in black ink, appearing to read "Emmanuel Esemé". The signature is written in a cursive style and is positioned above a horizontal line.

Emmanuel Esemé , Ph.D.
Quality Control

ACTIVATION LABORATORIES LTD.
41 Bittern Street, Ancaster, Ontario, Canada, L9G 4V5
TELEPHONE +905 648-9611 or +1.888.228.5227 FAX +1.905.648.9613
E-MAIL Ancaster@actlabs.com ACTLABS GROUP WEBSITE www.actlabs.com



Results

Analyte Symbol	Ag	Al	As	Ba	Be	Bi	Ca	Cd	Co	Cr	Cu	Fe	Ga	Hg	K	Mg	Li	Mn	Mo	Na	Ni	P	Pb
Unit Symbol	ppm	%	ppm	ppm	ppm	ppm	%	ppm	ppm	ppm	ppm	%	ppm	ppm	%	%	ppm	ppm	ppm	%	ppm	%	ppm
Lower Limit	0.3	0.01	3	7	1	2	0.01	0.3	1	1	1	0.01	1	1	0.01	0.01	1	1	1	0.01	1	0.001	3
Method Code	TD-ICP	TD-ICP	TD-ICP	TD-ICP	TD-ICP	TD-ICP	TD-ICP	TD-ICP	TD-ICP	TD-ICP	TD-ICP	TD-ICP	TD-ICP	TD-ICP	TD-ICP	TD-ICP	TD-ICP	TD-ICP	TD-ICP	TD-ICP	TD-ICP	TD-ICP	TD-ICP
61801	< 0.3	8.58	6	490	< 1	< 2	6.42	< 0.3	35	128	45	7.98	19	< 1	0.94	3.40	16	1150	< 1	2.18	85	0.072	3
61802	< 0.3	0.29	25	8	< 1	< 2	0.19	< 0.3	5	335	159	9.52	2	< 1	0.01	1.07	< 1	2770	21	0.01	30	0.014	3
61803	< 0.3	0.85	228	26	< 1	4	0.18	0.5	18	40	105	29.9	4	< 1	0.03	3.64	2	9490	2	0.03	59	0.009	10
61804	0.4	3.04	47	37	< 1	3	0.32	0.6	40	112	89	21.5	7	< 1	0.20	4.20	8	9630	4	0.03	138	0.022	11
61805	< 0.3	8.09	12	297	< 1	2	5.15	< 0.3	54	236	401	11.0	21	< 1	1.18	2.80	29	2500	2	1.28	124	0.023	3
61806	< 0.3	8.63	4	227	< 1	< 2	3.20	< 0.3	17	124	33	3.70	17	< 1	2.98	1.38	24	517	8	1.46	30	0.047	5
61807	< 0.3	8.15	11	57	< 1	4	6.21	< 0.3	48	171	20	10.9	22	< 1	0.25	3.51	24	3850	2	1.57	99	0.024	< 3
61808	< 0.3	7.22	< 3	150	< 1	< 2	2.93	< 0.3	11	224	16	2.56	15	< 1	0.77	1.48	19	620	< 1	1.09	40	0.035	6
61809	< 0.3	0.22	40	23	< 1	< 2	0.45	< 0.3	5	210	8	11.2	1	< 1	0.02	1.73	< 1	2920	13	0.01	34	0.013	6
61810	< 0.3	3.08	168	217	< 1	< 2	0.10	3.2	25	532	22	6.83	7	< 1	0.46	0.71	12	3120	36	0.07	74	0.009	< 3
61811	< 0.3	0.12	14	< 7	< 1	< 2	0.12	< 0.3	4	200	4	14.4	2	< 1	< 0.01	0.96	< 1	3410	12	< 0.01	22	0.016	4
61812	< 0.3	8.09	6	303	< 1	< 2	3.01	< 0.3	29	510	199	7.92	15	< 1	1.21	5.29	43	1150	9	0.22	191	0.022	14
61813	< 0.3	8.79	< 3	130	< 1	3	4.92	< 0.3	52	230	185	11.7	22	< 1	0.62	3.21	38	2580	< 1	0.52	100	0.034	< 3
61814	< 0.3	0.12	247	< 7	< 1	4	0.14	< 0.3	8	469	38	11.4	< 1	< 1	< 0.01	0.98	< 1	2460	30	< 0.01	53	0.024	3
61815	< 0.3	5.94	< 3	23	< 1	< 2	5.92	< 0.3	73	80	440	13.5	18	< 1	0.08	3.02	6	1500	< 1	1.12	54	0.010	< 3
61816	0.4	9.85	46	159	1	2	0.33	< 0.3	50	217	46	13.6	28	< 1	1.49	3.62	67	682	< 1	0.08	87	0.097	< 3
61817	< 0.3	7.48	35	390	< 1	< 2	0.05	< 0.3	37	389	27	8.25	13	< 1	2.16	3.11	39	1030	10	0.05	136	0.015	< 3
61818	< 0.3	0.66	86	9	< 1	< 2	1.33	< 0.3	6	731	25	2.43	3	< 1	0.05	1.38	2	509	49	0.06	20	0.004	< 3
61819	< 0.3	0.30	14	< 7	< 1	< 2	0.36	< 0.3	3	459	36	0.85	1	< 1	0.02	0.23	2	137	34	0.03	16	0.001	< 3
61820	< 0.3	3.99	19	22	< 1	< 2	2.69	< 0.3	9	658	22	4.56	8	< 1	0.04	1.27	11	820	22	0.25	50	0.013	< 3
61821	< 0.3	6.46	7	42	< 1	< 2	7.10	< 0.3	49	246	236	12.3	13	< 1	0.18	5.36	18	2260	7	0.61	96	0.010	< 3
61822	< 0.3	6.75	3	52	< 1	< 2	6.08	0.3	56	205	93	12.6	15	< 1	0.17	6.55	28	2190	3	0.47	108	0.009	< 3
61823	< 0.3	8.45	< 3	61	< 1	2	5.20	< 0.3	51	179	65	9.73	20	< 1	0.24	2.48	16	2740	< 1	2.74	94	0.042	4
61824	0.6	4.19	303	38	< 1	< 2	0.07	< 0.3	157	252	2030	17.7	12	< 1	0.15	2.79	46	716	24	0.04	213	0.035	6
61825	0.7	2.91	514	16	< 1	2	0.03	< 0.3	133	203	4080	15.8	9	< 1	0.04	1.93	34	512	15	0.02	207	0.020	7
61826	0.8	2.92	> 5000	9	< 1	2	0.05	1.5	253	322	4500	19.2	8	< 1	0.02	1.58	26	354	25	0.08	309	0.018	8
61827	1.3	1.28	195	< 7	< 1	2	0.03	0.4	174	194	3770	27.8	6	< 1	< 0.01	0.85	14	253	15	0.02	314	0.013	10
61828	0.3	5.99	10	131	< 1	4	3.21	0.5	83	260	838	15.7	17	< 1	0.72	1.50	31	5350	6	0.72	48	0.038	< 3
61829	1.0	4.48	16	54	< 1	2	3.72	0.6	179	138	304	20.6	16	< 1	0.52	0.51	10	467	19	0.49	193	0.037	8
61830	0.8	2.38	78	15	< 1	< 2	0.03	< 0.3	114	284	813	20.4	11	< 1	0.14	1.35	23	449	21	0.01	219	0.028	9
61831	< 0.3	1.38	< 3	60	< 1	< 2	1.02	< 0.3	12	548	11	2.33	4	< 1	0.20	1.03	6	554	37	0.23	22	0.009	< 3
61832	< 0.3	0.68	< 3	9	< 1	< 2	2.95	< 0.3	14	543	7	4.46	2	< 1	0.04	3.03	1	1100	35	0.07	27	0.005	< 3
61833	< 0.3	7.30	< 3	43	< 1	< 2	3.18	< 0.3	54	101	51	10.9	21	< 1	0.05	3.31	55	1450	< 1	1.13	54	0.042	8
61834	0.4	7.91	34	67	< 1	4	5.19	< 0.3	31	211	66	9.62	21	< 1	1.51	3.46	28	1070	1	1.05	70	0.054	8
61835	< 0.3	7.40	< 3	52	< 1	< 2	5.28	< 0.3	46	161	107	9.23	21	< 1	0.13	3.07	31	1510	< 1	1.38	69	0.044	5
61836	0.4	8.64	4	277	< 1	3	3.38	< 0.3	26	201	45	6.72	18	< 1	1.40	2.22	24	765	8	2.22	59	0.106	< 3
61837	< 0.3	8.54	25	310	< 1	3	6.54	< 0.3	50	161	101	7.54	23	< 1	2.33	2.64	30	1470	< 1	0.36	78	0.053	7
61838	0.7	2.86	3090	137	< 1	2	0.46	0.7	308	246	1290	22.6	10	< 1	0.76	0.49	17	226	17	0.14	355	0.017	20
61839	0.5	2.27	987	63	< 1	2	0.21	< 0.3	163	314	298	18.9	8	< 1	0.92	0.39	10	202	16	0.13	196	0.016	16
61840	0.5	3.71	> 5000	32	< 1	< 2	0.58	2.5	337	505	509	15.8	9	< 1	0.61	0.58	15	311	38	0.74	275	0.020	20
61841	0.4	4.89	87	34	< 1	5	0.44	0.3	85	161	620	16.2	14	< 1	0.59	1.16	23	507	12	1.23	215	0.030	9
61842	0.3	1.88	14	37	< 1	< 2	1.21	< 0.3	95	452	537	14.6	10	< 1	1.02	1.69	8	548	9	0.10	193	0.013	20
61843	1.0	7.09	16	96	2	< 2	2.33	< 0.3	43	426	181	6.54	18	< 1	2.22	1.57	27	456	29	1.70	113	0.039	10
61844	0.7	6.00	15	43	1	< 2	0.38	< 0.3	26	241	206	9.32	19	< 1	4.28	0.99	17	476	24	0.90	59	0.064	69
61845	< 0.3	0.41	9	15	< 1	< 2	0.05	< 0.3	28	587	90	5.48	2	< 1	0.07	0.14	4	146	46	0.08	62	0.008	9
61846	0.5	8.85	6	212	2	2	0.42	< 0.3	28	289	37	7.17	20	< 1	3.40	2.63	47	813	21	0.94	107	0.078	114
61847	0.5	7.66	3	453	2	< 2	0.26	< 0.3	38	355	129	7.40	16	< 1	3.79	1.79	34	508	35	0.10	104	0.060	6
61848	0.5	5.96	5	20	< 1	< 2	6.67	< 0.3	45	182	865	15.5	12	< 1	0.15	4.47	17	2260	3	0.54	55	0.013	10

Results

Analyte Symbol	Sb	S	Sc	Sr	Te	Tl	Tl	U	V	W	Y	Zn	Zr
Unit Symbol	ppm	%	ppm	ppm	ppm	%	ppm	ppm	ppm	ppm	ppm	ppm	ppm
Lower Limit	5	0.01	4	1	2	0.01	5	10	2	5	1	1	5
Method Code	TD-ICP	TD-ICP	TD-ICP	TD-ICP	TD-ICP	TD-ICP	TD-ICP	TD-ICP	TD-ICP	TD-ICP	TD-ICP	TD-ICP	TD-ICP
61801	< 5	0.07	31	328	8	0.36	< 5	< 10	89	< 5	23	67	57
61802	< 5	0.40	< 4	3	3	< 0.01	< 5	< 10	10	< 5	4	30	6
61803	15	2.28	6	5	16	0.04	< 5	< 10	32	7	11	119	27
61804	11	4.80	12	19	9	0.14	< 5	< 10	64	8	10	303	45
61805	< 5	0.52	41	70	4	0.43	< 5	< 10	253	< 5	18	115	18
61806	< 5	0.01	12	116	< 2	0.30	< 5	< 10	80	< 5	13	67	114
61807	< 5	0.03	48	56	4	0.59	< 5	< 10	300	< 5	27	116	35
61808	< 5	< 0.01	13	78	< 2	0.11	< 5	< 10	37	< 5	15	47	69
61809	< 5	0.32	< 4	7	4	< 0.01	< 5	< 10	10	< 5	2	60	9
61810	< 5	0.38	5	26	4	0.14	< 5	< 10	55	9	6	632	41
61811	6	0.17	< 4	1	10	< 0.01	< 5	< 10	6	< 5	3	38	9
61812	< 5	0.96	49	119	4	0.37	< 5	< 10	249	< 5	13	202	41
61813	< 5	0.79	48	101	6	0.52	< 5	< 10	309	< 5	23	163	36
61814	15	1.97	< 4	3	4	< 0.01	< 5	< 10	9	< 5	4	32	< 5
61815	< 5	0.07	58	50	4	0.36	< 5	10	710	< 5	15	88	21
61816	< 5	0.20	48	10	10	0.40	< 5	< 10	247	< 5	12	167	54
61817	< 5	0.07	54	3	3	0.19	< 5	< 10	273	< 5	15	52	19
61818	< 5	0.01	4	2	< 2	0.08	< 5	< 10	56	< 5	3	24	5
61819	< 5	0.01	< 4	3	< 2	0.03	< 5	< 10	25	< 5	2	6	< 5
61820	< 5	0.02	19	45	3	0.34	< 5	< 10	112	< 5	11	36	19
61821	< 5	0.07	48	22	4	0.24	< 5	< 10	231	< 5	15	88	17
61822	< 5	0.01	59	5	4	0.24	< 5	< 10	262	< 5	18	109	16
61823	< 5	0.05	43	115	6	0.42	< 5	< 10	193	< 5	27	97	30
61824	< 5	12.8	14	3	7	0.16	< 5	< 10	115	< 5	13	44	81
61825	< 5	13.1	9	2	16	0.08	< 5	< 10	72	< 5	8	33	57
61826	16	19.0	7	5	8	0.06	< 5	< 10	52	< 5	9	26	64
61827	< 5	> 20.0	6	1	12	0.05	< 5	< 10	69	< 5	8	15	26
61828	< 5	2.52	25	44	10	0.57	< 5	< 10	220	< 5	25	91	51
61829	8	16.3	9	78	14	0.25	< 5	< 10	62	6	6	140	33
61830	< 5	15.0	10	2	10	0.09	< 5	< 10	85	8	13	28	83
61831	< 5	0.08	6	11	3	0.20	< 5	< 10	70	< 5	5	24	13
61832	< 5	0.03	< 4	2	4	0.08	< 5	< 10	44	< 5	5	49	8
61833	< 5	0.03	33	300	5	0.26	< 5	< 10	189	< 5	22	96	43
61834	< 5	4.20	33	187	11	0.74	< 5	< 10	200	< 5	22	92	57
61835	< 5	0.22	35	193	5	0.18	< 5	< 10	126	< 5	21	88	17
61836	< 5	0.80	20	150	6	0.50	< 5	< 10	126	< 5	19	93	159
61837	< 5	0.79	38	90	3	0.43	< 5	< 10	137	< 5	21	107	35
61838	9	17.8	11	17	6	0.14	< 5	< 10	76	5	9	99	55
61839	< 5	11.5	9	9	9	0.14	< 5	< 10	84	< 5	5	65	52
61840	< 5	12.8	21	31	10	0.20	< 5	< 10	121	< 5	10	324	43
61841	< 5	12.0	27	23	11	0.59	< 5	< 10	219	< 5	12	74	59
61842	< 5	4.17	9	8	11	0.12	< 5	< 10	72	< 5	5	141	26
61843	< 5	2.21	20	274	6	0.33	< 5	< 10	118	< 5	8	63	92
61844	< 5	3.71	9	75	4	0.18	< 5	< 10	50	< 5	9	96	73
61845	< 5	4.11	< 4	6	< 2	0.01	< 5	< 10	7	< 5	< 1	24	7
61846	< 5	1.22	21	46	3	0.39	< 5	< 10	138	6	14	137	116
61847	< 5	3.30	14	11	9	0.27	< 5	< 10	87	< 5	12	83	119
61848	< 5	0.78	44	9	5	0.22	< 5	< 10	215	< 5	15	87	16

QC

Analyte Symbol	Ag	Al	As	Ba	Be	Bi	Ca	Cd	Co	Cr	Cu	Fe	Ga	Hg	K	Mg	Li	Mn	Mo	Na	Ni	P	Pb
Unit Symbol	ppm	%	ppm	ppm	ppm	ppm	%	ppm	ppm	ppm	ppm	%	ppm	ppm	%	%	ppm	ppm	ppm	%	ppm	%	ppm
Lower Limit	0.3	0.01	3	7	1	2	0.01	0.3	1	1	1	0.01	1	1	0.01	0.01	1	1	1	0.01	1	0.001	3
Method Code	TD-ICP	TD-ICP	TD-ICP	TD-ICP	TD-ICP	TD-ICP	TD-ICP	TD-ICP	TD-ICP	TD-ICP	TD-ICP	TD-ICP	TD-ICP	TD-ICP	TD-ICP	TD-ICP	TD-ICP	TD-ICP	TD-ICP	TD-ICP	TD-ICP	TD-ICP	TD-ICP
GXR-1 Meas	31.9	2.30	420	643	1	1380	0.88	2.0	9	19	1100	24.0	12	< 1	0.05	0.21	8	874	15	0.05	43	0.058	718
GXR-1 Cert	31.0	3.52	427	750	1.22	1380	0.960	3.30	8.20	12.0	1110	23.6	13.8	3.90	0.050	0.217	8.20	852	18.0	0.0520	41.0	0.0650	730
GXR-1 Meas	32.8	2.57	429	675	1	1450	0.90	1.9	10	16	1130	24.4	13	< 1	0.05	0.21	8	894	16	0.05	45	0.059	738
GXR-1 Cert	31.0	3.52	427	750	1.22	1380	0.960	3.30	8.20	12.0	1110	23.6	13.8	3.90	0.050	0.217	8.20	852	18.0	0.0520	41.0	0.0650	730
GXR-4 Meas	3.5	6.81	112	101	2	15	1.09	0.3	16	49	6530	3.16	17	< 1	2.79	1.68	11	147	319	0.50	44	0.134	45
GXR-4 Cert	4.0	7.20	98.0	1640	1.90	19.0	1.01	0.860	14.6	64.0	6520	3.09	20.0	0.110	4.01	1.66	11.1	155	310	0.564	42.0	0.120	52.0
GXR-4 Meas	3.7	6.79	112	143	2	15	1.09	0.3	16	45	6470	3.17	17	< 1	4.65	1.69	11	156	324	0.51	43	0.136	43
GXR-4 Cert	4.0	7.20	98.0	1640	1.90	19.0	1.01	0.860	14.6	64.0	6520	3.09	20.0	0.110	4.01	1.66	11.1	155	310	0.564	42.0	0.120	52.0
SDC-1 Meas		8.70	15	630	3		1.12		19	49	29	4.98	22	< 1	2.29	1.00	33	853		1.51	36	0.052	21
SDC-1 Cert		8.34	0.220	630	3.00		1.00		18.0	64.00	30.000	4.82	21.00	0.20	2.72	1.02	34.00	880.00		1.52	38.0	0.0690	25.00
SDC-1 Meas		8.51	16	615	3		1.10		20	46	28	4.88	20	< 1	2.80	0.98	32	872		1.47	36	0.053	20
SDC-1 Cert		8.34	0.220	630	3.00		1.00		18.0	64.00	30.000	4.82	21.00	0.20	2.72	1.02	34.00	880.00		1.52	38.0	0.0690	25.00
GXR-6 Meas	0.3	15.6	246	> 1000	1	< 2	0.23	< 0.3	13	57	60	5.09	31	< 1	1.76	0.63	36	962	1	0.11	24	0.033	81
GXR-6 Cert	1.30	17.7	330	1300	1.40	0.290	0.180	1.00	13.8	96.0	66.0	5.58	35.0	0.0680	1.87	0.609	32.0	1010	2.40	0.104	27.0	0.0350	101
GXR-6 Meas	0.3	13.8	295	> 1000	1	2	0.19	< 0.3	15	68	66	5.84	29	< 1	1.90	0.61	33	1080	1	0.10	27	0.038	93
GXR-6 Cert	1.30	17.7	330	1300	1.40	0.290	0.180	1.00	13.8	96.0	66.0	5.58	35.0	0.0680	1.87	0.609	32.0	1010	2.40	0.104	27.0	0.0350	101
SAR-M (U.S.G.S.) Meas	3.2	6.61	40	781	3	< 2	0.62	4.9	13	87	330	3.30	15		2.45	0.48	28	5400	11	1.17	53	0.060	1010
SAR-M (U.S.G.S.) Cert	3.64	6.30	38.8	801	2.20	1.94	0.61	5.27	10.70	79.7		2.99	17		2.94	0.50	27.4	5220	13.1	1.140	41.5	0.07	982
SAR-M (U.S.G.S.) Meas	3.6	6.58	38	808	3	< 2	0.62	4.9	13	88	323	3.35	16		3.46	0.48	28	5410	12	1.20	50	0.067	1010
SAR-M (U.S.G.S.) Cert	3.64	6.30	38.8	801	2.20	1.94	0.61	5.27	10.70	79.7	331.0000	2.99	17		2.94	0.50	27.4	5220	13.1	1.140	41.5	0.07	982
DNC-1a Meas				90					55	258	89		13				4					241	< 3
DNC-1a Cert				118					57.0	270	100.00		15				5.20					247	6.3
DNC-1a Meas				93					57	142	90		13				4					248	5
DNC-1a Cert				118					57.0	270	100.00		15				5.20					247	6.3
SBC-1 Meas			35	548	3	4		< 0.3	24	76	30		25				137		3			85	27
SBC-1 Cert			25.7	788.0	3.20	0.70		0.40	22.7	109	31.0000		27.0				163.0		2.40			82.8	35.0
SBC-1 Meas			27	725	3	3		< 0.3	25	100	30		26				145		2			87	27
SBC-1 Cert			25.7	788.0	3.20	0.70		0.40	22.7	109	31.0000		27.0				163.0		2.40			82.8	35.0
61831 Orig	< 0.3	1.38	4	60	< 1	< 2	1.02	< 0.3	13	552	12	2.34	4	< 1	0.20	1.03	6	567	37	0.23	23	0.009	< 3
61831 Dup	< 0.3	1.38	< 3	60	< 1	< 2	1.02	< 0.3	12	545	10	2.31	4	< 1	0.20	1.03	6	542	36	0.23	22	0.009	< 3
61833 Orig	< 0.3	7.53	< 3	44	< 1	< 2	3.25	< 0.3	55	95	52	11.2	22	< 1	0.05	3.38	56	1460	< 1	1.15	55	0.039	8
61833 Dup	< 0.3	7.06	< 3	42	< 1	2	3.12	< 0.3	53	106	49	10.7	20	< 1	0.05	3.24	54	1450	< 1	1.10	54	0.045	7
Method Blank	< 0.3	< 0.01	< 3	< 7	< 1	< 2	< 0.01	< 0.3	< 1		1	< 0.01	< 1	< 1	< 0.01	< 0.01	< 1		< 1	< 0.01	< 1	< 0.001	< 3
Method Blank	< 0.3	< 0.01	< 3	< 7	< 1	< 2	< 0.01	< 0.3	< 1		< 1	< 0.01	< 1	< 1	< 0.01	< 0.01	< 1		< 1	< 0.01	< 1	< 0.001	< 3
Method Blank	< 0.3	< 0.01	< 3	< 7	< 1	< 2	< 0.01	< 0.3	< 1		< 1	< 0.01	< 1	< 1	< 0.01	< 0.01	< 1		< 1	< 0.01	< 1	< 0.001	< 3
Method Blank	< 0.3	< 0.01	< 3	< 7	< 1	< 2	< 0.01	< 0.3	< 1		7	< 0.01	< 1	< 1	< 0.01	< 0.01	< 1		2	< 0.01	< 1	< 0.001	< 3
Method Blank	< 0.3	< 0.01	< 3	< 7	< 1	< 2	< 0.01	< 0.3	< 1		6	< 0.01	< 1	< 1	< 0.01	< 0.01	< 1		< 1	< 0.01	< 1	< 0.001	< 3
Method Blank	< 0.3	< 0.01	< 3	< 7	< 1	< 2	< 0.01	< 0.3	< 1		< 1	< 0.01	< 1	< 1	< 0.01	< 0.01	< 1		< 1	< 0.01	< 1	< 0.001	< 3

QC

Analyte Symbol	Sb	S	Sc	Sr	Te	Ti	Tl	U	V	W	Y	Zn	Zr
Unit Symbol	ppm	%	ppm	ppm	ppm	%	ppm	ppm	ppm	ppm	ppm	ppm	ppm
Lower Limit	5	0.01	4	1	2	0.01	5	10	2	5	1	1	5
Method Code	TD-ICP	TD-ICP	TD-ICP	TD-ICP	TD-ICP	TD-ICP	TD-ICP	TD-ICP	TD-ICP	TD-ICP	TD-ICP	TD-ICP	TD-ICP
GXR-1 Meas	26	0.24	< 4	277	15	0.03	< 5	40	86	152	28	713	22
GXR-1 Cert	122	0.257	1.58	275	13.0	0.036	0.390	34.9	80.0	164	32.0	760	38.0
GXR-1 Meas	32	0.25	< 4	285	15	0.03	< 5	40	89	172	29	730	22
GXR-1 Cert	122	0.257	1.58	275	13.0	0.036	0.390	34.9	80.0	164	32.0	760	38.0
GXR-4 Meas	< 5	1.79	8	210	5	0.29	< 5	< 10	93	43	14	71	41
GXR-4 Cert	4.80	1.77	7.70	221	0.970	0.29	3.20	6.20	87.0	30.8	14.0	73.0	186
GXR-4 Meas	< 5	1.83	8	218	10	0.28	< 5	< 10	94	42	14	71	35
GXR-4 Cert	4.80	1.77	7.70	221	0.970	0.29	3.20	6.20	87.0	30.8	14.0	73.0	186
SDC-1 Meas	< 5		17	174		0.09	< 5	< 10	41	< 5		99	20
SDC-1 Cert	0.54		17.00	180.00		0.606	0.70	3.10	102.00	0.80		103.00	290.00
SDC-1 Meas	< 5		17	173		0.18	< 5	< 10	47	< 5		99	30
SDC-1 Cert	0.54		17.00	180.00		0.606	0.70	3.10	102.00	0.80		103.00	290.00
GXR-6 Meas	< 5	0.01	26	48	< 2		< 5	< 10	127	< 5	12	114	69
GXR-6 Cert	3.60	0.0160	27.6	35.0	0.0180		2.20	1.54	186	1.90	14.0	118	110
GXR-6 Meas	< 5	0.02	29	41	3		< 5	< 10	174	< 5	12	126	81
GXR-6 Cert	3.60	0.0160	27.6	35.0	0.0180		2.20	1.54	186	1.90	14.0	118	110
SAR-M (U.S.G.S.) Meas	5		9	156	9	0.37	< 5	< 10	70	18	32	985	
SAR-M (U.S.G.S.) Cert	6.0		7.83	151	0.96	0.38	2.7	3.57	67.2	9.78	28.00	930.0	
SAR-M (U.S.G.S.) Meas	7		9	155	5	0.38	< 5	< 10	73	20	32	970	
SAR-M (U.S.G.S.) Cert	6.0		7.83	151	0.96	0.38	2.7	3.57	67.2	9.78	28.00	930.0	
DNC-1a Meas	< 5		31	122		0.26			136		15	54	34
DNC-1a Cert	0.96		31	144.0		0.29			148.00		18.0	70.0	38.000
DNC-1a Meas	< 5		31	127		0.28			142		15	55	34
DNC-1a Cert	0.96		31	144.0		0.29			148.00		18.0	70.0	38.000
SBC-1 Meas	< 5		21	168		0.47	< 5	< 10	213	< 5	31	171	103
SBC-1 Cert	1.01		20.0	178.0		0.51	0.89	5.76	220.0	1.60	36.5	186.0	134.0
SBC-1 Meas	< 5		23	177		0.52	< 5	< 10	225	< 5	32	175	110
SBC-1 Cert	1.01		20.0	178.0		0.51	0.89	5.76	220.0	1.60	36.5	186.0	134.0
61831 Orig	< 5	0.08	6	11	3	0.20	< 5	< 10	70	< 5	5	25	13
61831 Dup	< 5	0.07	6	11	2	0.20	< 5	< 10	70	< 5	5	24	13
61833 Orig	< 5	0.03	34	306	3	0.21	< 5	< 10	170	< 5	23	98	38
61833 Dup	< 5	0.03	33	294	6	0.31	< 5	< 10	208	< 5	22	94	48
Method Blank	< 5	< 0.01	< 4	< 1	< 2	< 0.01	< 5	< 10	< 2	< 5	< 1	< 1	< 5
Method Blank	< 5	< 0.01	< 4	< 1	< 2	< 0.01	< 5	< 10	< 2	< 5	< 1	< 1	< 5
Method Blank	< 5	< 0.01	< 4	< 1	< 2	< 0.01	< 5	< 10	< 2	< 5	< 1	< 1	< 5
Method Blank	< 5	< 0.01	< 4	< 1	< 2	< 0.01	< 5	< 10	< 2	< 5	< 1	< 1	< 5
Method Blank	< 5	< 0.01	< 4	< 1	< 2	< 0.01	< 5	< 10	< 2	< 5	< 1	< 1	< 5
Method Blank	< 5	< 0.01	< 4	< 1	< 2	< 0.01	< 5	< 10	< 2	< 5	< 1	< 1	< 5
Method Blank	< 5	< 0.01	< 4	< 1	< 2	< 0.01	< 5	< 10	< 2	< 5	< 1	< 1	< 5



Date Submitted: 03-Jul-15
Invoice No.: A15-04850
Invoice Date: 10-Jul-15
Your Reference: 35487 SG15-0951 VISIBLE GOLD

Techni-Lab Abitibi Inc.(Actlabs)
184 Rue Principale
Ste-Germaine-Boule Quebec J0Z 1M0
Canada

ATTN: Andre Caouette

CERTIFICATE OF ANALYSIS

50 Pulp samples were submitted for analysis.

The following analytical package was requested:

Code 1F2 Total Digestion ICP(TOTAL)

REPORT **A15-04850**

This report may be reproduced without our consent. If only selected portions of the report are reproduced, permission must be obtained. If no instructions were given at time of sample submittal regarding excess material, it will be discarded within 90 days of this report. Our liability is limited solely to the analytical cost of these analyses. Test results are representative only of material submitted for analysis.

Notes:

Values which exceed the upper limit should be assayed for accurate numbers.

CERTIFIED BY:

A handwritten signature in black ink, appearing to read "Emmanuel Esemé". The signature is written over a horizontal line.

Emmanuel Esemé , Ph.D.
Quality Control

ACTIVATION LABORATORIES LTD.
41 Bittern Street, Ancaster, Ontario, Canada, L9G 4V5
TELEPHONE +905 648-9611 or +1.888.228.5227 FAX +1.905.648.9613
E-MAIL Ancaster@actlabs.com ACTLABS GROUP WEBSITE www.actlabs.com



Results

Analyte Symbol	Ag	Al	As	Ba	Be	Bi	Ca	Cd	Co	Cr	Cu	Fe	Ga	Hg	K	Mg	Li	Mn	Mo	Na	Ni	P	Pb
Unit Symbol	ppm	%	ppm	ppm	ppm	ppm	%	ppm	ppm	ppm	ppm	%	ppm	ppm	%	%	ppm	ppm	ppm	%	ppm	%	ppm
Lower Limit	0.3	0.01	3	7	1	2	0.01	0.3	1	1	1	0.01	1	1	0.01	0.01	1	1	1	0.01	1	0.001	3
Method Code	TD-ICP	TD-ICP	TD-ICP	TD-ICP	TD-ICP	TD-ICP	TD-ICP	TD-ICP	TD-ICP	TD-ICP	TD-ICP	TD-ICP	TD-ICP	TD-ICP	TD-ICP	TD-ICP	TD-ICP	TD-ICP	TD-ICP	TD-ICP	TD-ICP	TD-ICP	TD-ICP
61851	< 0.3	1.84	7	14	< 1	2	0.27	2.8	24	365	68	7.97	3	< 1	0.04	0.57	8	10600	27	0.02	100	0.018	4
61852	< 0.3	2.72	65	< 7	< 1	< 2	0.33	< 0.3	5	328	15	13.8	8	< 1	< 0.01	2.24	7	9070	23	< 0.01	30	0.018	4
61853	< 0.3	0.09	70	< 7	< 1	< 2	0.20	< 0.3	6	329	18	11.7	2	< 1	< 0.01	1.04	< 1	1860	21	< 0.01	40	0.029	< 3
61854	< 0.3	7.45	12	190	< 1	2	4.21	< 0.3	24	491	42	12.1	13	< 1	1.09	2.84	52	4620	9	1.09	93	0.020	< 3
61855	0.3	5.65	< 3	293	< 1	< 2	0.72	< 0.3	16	188	46	5.68	11	< 1	2.48	0.91	13	654	10	1.19	39	0.038	6
61856	2.2	3.87	82	143	< 1	2	0.08	8.3	209	177	1040	22.3	19	< 1	1.83	0.91	19	276	9	0.04	419	0.013	17
61857	< 0.3	10.3	59	24	< 1	< 2	7.11	< 0.3	47	264	99	10.5	24	< 1	0.04	2.74	15	1810	8	1.09	87	0.014	3
61858	0.5	4.94	5	34	1	< 2	2.31	0.5	15	183	77	23.3	16	< 1	0.22	3.51	14	11200	14	0.45	14	0.017	6
61859	< 0.3	0.18	1430	< 7	< 1	< 2	0.49	0.8	8	188	32	16.3	1	< 1	< 0.01	3.41	< 1	7520	14	0.03	35	0.003	5
61860	1.0	0.80	22	< 7	< 1	6	0.23	0.8	63	65	464	38.8	6	< 1	< 0.01	2.05	2	6140	4	< 0.01	210	0.007	21
61861	0.4	6.26	5	54	< 1	3	0.67	< 0.3	82	259	241	13.5	16	< 1	1.46	1.60	33	896	11	0.65	146	0.029	5
61862	1.6	4.83	11	48	< 1	2	0.31	4.7	130	246	906	21.3	16	< 1	0.88	1.37	26	612	13	1.55	224	0.011	36
61863	1.2	6.24	3320	37	< 1	< 2	1.88	20.5	292	172	968	12.2	22	< 1	1.18	1.37	23	259	19	0.61	295	0.018	22
61864	< 0.3	0.08	60	< 7	< 1	< 2	0.08	< 0.3	3	774	22	3.28	< 1	< 1	0.01	0.41	< 1	920	54	< 0.01	17	0.005	< 3
61865	0.6	5.53	14	36	< 1	< 2	4.35	< 0.3	99	229	1550	15.0	15	< 1	0.28	2.53	28	1410	9	1.01	119	0.030	< 3
61866	1.6	2.68	78	31	< 1	< 2	0.13	7.3	144	343	1490	17.6	10	< 1	0.59	0.75	15	428	25	0.27	355	0.010	31
61867	1.5	7.09	43	67	< 1	< 2	0.22	12.0	113	189	551	8.62	23	< 1	3.36	0.56	15	99	15	0.09	340	0.018	96
61868	1.1	5.20	38	47	< 1	2	2.25	< 0.3	208	287	490	20.7	12	< 1	0.54	1.63	23	967	16	0.30	333	0.014	21
61869	0.3	5.65	56	78	< 1	< 2	0.89	0.4	44	684	104	15.3	14	< 1	0.75	2.66	35	1080	8	0.48	115	0.029	13
61870	0.3	0.07	299	9	< 1	< 2	0.02	0.9	9	776	98	1.70	< 1	< 1	0.02	0.01	< 1	69	58	< 0.01	32	0.005	13
61871	1.8	0.15	362	< 7	< 1	< 2	0.14	0.6	111	253	255	6.64	1	< 1	0.01	0.06	1	64	30	< 0.01	94	0.039	63
61872	< 0.3	0.36	> 5000	< 7	< 1	< 2	0.03	0.8	37	637	89	3.34	< 1	< 1	0.01	0.21	4	212	47	0.02	73	0.003	28
61873	1.0	1.70	325	31	< 1	< 2	0.04	3.6	84	459	387	5.34	5	< 1	0.52	0.22	4	79	30	0.23	110	0.004	81
61874	0.4	4.38	980	357	< 1	< 2	0.01	< 0.3	48	508	65	1.63	15	< 1	2.42	0.16	7	84	45	0.06	48	0.008	8
61875	1.2	5.98	82	53	< 1	< 2	0.05	0.4	308	232	179	11.9	19	< 1	2.70	0.25	11	45	13	0.12	317	0.018	44
61876	< 0.3	7.22	28	106	< 1	< 2	2.64	< 0.3	35	524	59	5.41	19	< 1	0.24	4.16	29	876	17	1.96	241	0.059	16
61877	0.6	3.25	774	66	< 1	< 2	0.29	2.7	69	310	126	6.76	9	< 1	0.78	0.99	15	325	26	0.64	96	0.019	31
61878	1.4	4.70	961	184	< 1	< 2	0.08	< 0.3	240	292	348	6.63	23	< 1	2.15	0.77	12	88	32	0.07	266	0.019	13
61879	1.7	2.92	1080	28	< 1	3	0.09	1.1	54	270	197	27.5	11	< 1	0.32	2.72	7	3300	6	< 0.01	275	0.013	11
61880	< 0.3	3.18	32	9	< 1	< 2	18.8	< 0.3	19	87	30	11.0	7	< 1	0.07	1.57	8	6760	1	0.19	48	0.018	< 3
61881	< 0.3	8.78	6	156	1	3	4.23	< 0.3	36	166	91	7.77	19	< 1	0.92	1.18	31	1090	8	2.18	48	0.082	8
61882	0.3	1.26	15	< 7	< 1	< 2	0.69	0.5	28	301	177	19.0	4	< 1	0.03	1.77	2	3130	21	0.02	154	0.017	6
61883	0.4	5.94	1980	72	< 1	< 2	1.99	< 0.3	35	153	114	14.4	14	< 1	1.15	2.58	31	4140	9	0.59	139	0.031	5
61884	< 0.3	4.69	41	33	< 1	< 2	2.62	< 0.3	34	443	170	6.78	8	< 1	0.07	3.44	27	1480	18	0.29	95	0.009	< 3
61885	< 0.3	8.99	14	26	< 1	< 2	6.29	< 0.3	49	250	124	8.95	20	< 1	0.05	2.32	26	2020	1	1.93	131	0.032	< 3
61886	0.5	5.90	4	40	< 1	< 2	1.62	0.5	140	268	708	13.4	15	< 1	1.80	1.39	26	5120	15	0.28	170	0.034	6
61887	0.3	6.49	8	89	< 1	3	4.58	< 0.3	73	215	900	12.5	15	< 1	0.78	2.51	38	1820	12	1.15	126	0.035	< 3
61888	1.9	3.55	380	10	< 1	< 2	0.10	3.1	384	213	2620	25.7	12	< 1	0.25	1.32	11	127	16	0.51	999	0.019	17
61889	< 0.3	5.02	4	309	< 1	< 2	1.98	< 0.3	15	316	8	3.00	12	< 1	0.80	1.05	10	476	17	1.86	34	0.036	6
61890	0.4	7.96	4	160	1	< 2	4.43	< 0.3	22	214	69	5.29	16	< 1	0.45	1.59	7	1430	3	2.97	50	0.069	10
61891	0.5	6.32	51	146	< 1	2	0.82	4.3	98	180	332	13.1	20	< 1	1.86	1.87	30	377	11	0.46	198	0.026	14
61892	0.4	0.30	13	12	< 1	< 2	0.14	< 0.3	30	353	111	16.6	2	< 1	0.05	0.98	2	1700	22	0.02	105	0.006	7
61893	< 0.3	0.14	3480	< 7	< 1	< 2	0.23	0.4	12	322	24	9.49	< 1	< 1	0.02	1.71	< 1	3580	19	0.02	29	0.004	3
61894	< 0.3	2.35	33	48	< 1	2	0.21	0.4	32	203	144	20.4	8	< 1	0.28	2.24	13	3870	9	0.33	91	0.013	13
61895	< 0.3	0.52	15	12	< 1	< 2	0.21	< 0.3	4	245	32	13.8	2	< 1	0.06	1.27	3	2400	13	0.03	27	0.006	4
61896	0.3	9.66	15	146	< 1	4	0.16	< 0.3	50	206	140	10.9	26	< 1	2.53	3.13	88	528	4	0.68	125	0.081	4
61897	< 0.3	8.05	31	22	< 1	5	1.61	< 0.3	55	156	341	12.5	23	< 1	0.03	3.49	56	2990	1	2.50	88	0.057	< 3
61898	< 0.3	0.54	< 3	48	< 1	< 2	0.02	< 0.3	< 1	692	13	0.64	< 1	< 1	0.16	0.03	1	74	54	0.25	16	0.002	< 3
61899	< 0.3	6.50	< 3	183	2	< 2	4.77	0.9	6	226	182	5.11	19	< 1	0.70	0.96	6	1290	19	2.18	30	0.035	10

Analyte Symbol	Ag	Al	As	Ba	Be	Bi	Ca	Cd	Co	Cr	Cu	Fe	Ga	Hg	K	Mg	Li	Mn	Mo	Na	Ni	P	Pb
Unit Symbol	ppm	%	ppm	ppm	ppm	ppm	%	ppm	ppm	ppm	ppm	%	ppm	ppm	%	%	ppm	ppm	ppm	%	ppm	%	ppm
Lower Limit	0.3	0.01	3	7	1	2	0.01	0.3	1	1	1	0.01	1	1	0.01	0.01	1	1	1	0.01	1	0.001	3
Method Code	TD-ICP	TD-ICP	TD-ICP	TD-ICP	TD-ICP	TD-ICP	TD-ICP	TD-ICP	TD-ICP	TD-ICP	TD-ICP	TD-ICP	TD-ICP	TD-ICP	TD-ICP	TD-ICP	TD-ICP	TD-ICP	TD-ICP	TD-ICP	TD-ICP	TD-ICP	TD-ICP
61900	< 0.3	6.55	< 3	129	3	< 2	2.80	< 0.3	13	381	150	5.59	17	< 1	0.90	1.03	7	1050	34	2.15	25	0.075	4

Results

Analyte Symbol	Sb	S	Sc	Sr	Te	Ti	Tl	U	V	W	Y	Zn	Zr
Unit Symbol	ppm	%	ppm	ppm	ppm	%	ppm	ppm	ppm	ppm	ppm	ppm	ppm
Lower Limit	5	0.01	4	1	2	0.01	5	10	2	5	1	1	5
Method Code	TD-ICP	TD-ICP	TD-ICP	TD-ICP	TD-ICP	TD-ICP	TD-ICP	TD-ICP	TD-ICP	TD-ICP	TD-ICP	TD-ICP	TD-ICP
61851	< 5	4.11	5	4	< 2	0.07	< 5	< 10	24	7	8	497	29
61852	8	0.19	< 4	< 1	11	0.08	< 5	< 10	33	< 5	6	59	36
61853	8	1.06	< 4	4	3	< 0.01	< 5	< 10	8	< 5	4	38	5
61854	< 5	0.97	37	108	7	0.38	< 5	< 10	196	5	11	177	38
61855	< 5	0.38	11	111	6	0.28	< 5	< 10	74	< 5	7	81	117
61856	8	> 20.0	16	10	14	0.17	< 5	< 10	81	20	7	4360	56
61857	< 5	0.43	43	90	5	0.27	< 5	< 10	249	< 5	18	96	17
61858	6	0.37	14	25	8	0.14	< 5	< 10	41	11	22	227	185
61859	17	1.31	< 4	1	6	< 0.01	< 5	< 10	9	< 5	3	178	9
61860	< 5	> 20.0	< 4	1	16	0.03	< 5	< 10	21	9	3	239	20
61861	< 5	5.43	21	32	16	0.36	< 5	< 10	149	< 5	8	50	75
61862	9	14.1	19	98	9	0.22	< 5	< 10	175	16	4	1620	45
61863	< 5	8.59	27	166	10	0.24	< 5	< 10	119	< 5	10	7690	67
61864	< 5	0.10	< 4	< 1	< 2	< 0.01	< 5	< 10	8	< 5	2	37	< 5
61865	< 5	5.63	54	36	5	0.31	< 5	< 10	269	< 5	26	111	109
61866	< 5	13.7	24	31	10	0.07	< 5	< 10	66	12	8	3380	35
61867	11	8.64	22	30	11	0.32	< 5	< 10	141	< 5	13	5740	89
61868	6	14.7	33	200	10	0.28	< 5	< 10	204	< 5	7	174	26
61869	< 5	2.42	52	110	9	0.36	< 5	< 10	317	< 5	7	163	35
61870	6	0.96	< 4	2	< 2	< 0.01	< 5	< 10	8	< 5	1	256	< 5
61871	22	5.92	5	14	5	< 0.01	< 5	< 10	19	< 5	2	264	< 5
61872	33	1.50	< 4	3	3	< 0.01	< 5	< 10	7	< 5	< 1	216	< 5
61873	14	3.92	< 4	26	6	0.05	< 5	< 10	30	6	2	1660	23
61874	19	0.22	12	25	< 2	0.14	< 5	< 10	76	< 5	4	19	33
61875	8	13.0	12	39	11	0.19	< 5	< 10	89	< 5	6	103	79
61876	< 5	1.44	16	350	5	0.36	< 5	< 10	118	< 5	10	138	114
61877	< 5	3.95	8	89	3	0.13	< 5	< 10	55	10	5	592	44
61878	7	4.96	27	12	12	0.13	< 5	< 10	75	< 5	7	217	58
61879	18	6.09	9	3	16	0.11	< 5	< 10	62	6	6	136	38
61880	< 5	0.04	66	275	8	0.29	< 5	10	277	< 5	51	80	22
61881	< 5	2.46	15	143	7	0.65	< 5	< 10	175	< 5	12	187	76
61882	8	7.47	4	5	8	0.06	< 5	< 10	30	< 5	8	222	31
61883	< 5	5.64	16	57	8	0.35	< 5	< 10	112	< 5	17	113	112
61884	< 5	0.08	27	19	8	0.16	< 5	< 10	153	< 5	13	58	10
61885	< 5	0.05	47	242	3	0.24	< 5	< 10	150	< 5	23	67	10
61886	< 5	6.28	18	36	5	0.30	< 5	< 10	119	< 5	10	199	76
61887	< 5	3.36	31	37	4	0.40	< 5	< 10	178	< 5	19	103	74
61888	< 5	16.9	14	38	14	0.08	< 5	< 10	64	17	8	1040	42
61889	< 5	0.03	10	121	4	0.24	< 5	< 10	56	< 5	15	47	55
61890	< 5	0.06	17	322	2	0.23	< 5	10	69	< 5	25	80	122
61891	< 5	7.61	26	76	9	0.25	< 5	< 10	137	9	14	2180	71
61892	< 5	8.15	< 4	5	5	0.01	< 5	< 10	11	< 5	4	33	19
61893	24	0.77	< 4	2	10	< 0.01	< 5	< 10	13	< 5	3	63	8
61894	11	7.33	7	40	8	0.09	< 5	< 10	46	< 5	8	188	38
61895	< 5	1.14	< 4	1	5	0.03	< 5	< 10	12	< 5	4	95	15
61896	< 5	1.11	43	36	6	0.60	< 5	< 10	406	< 5	18	144	95
61897	< 5	1.34	37	57	11	0.71	< 5	< 10	327	< 5	9	134	68
61898	< 5	0.01	< 4	15	< 2	< 0.01	< 5	< 10	9	< 5	< 1	< 1	< 5
61899	< 5	0.85	10	424	< 2	0.12	< 5	20	65	< 5	18	334	87

Analyte Symbol	Sb	S	Sc	Sr	Te	Tl	Tl	U	V	W	Y	Zn	Zr
Unit Symbol	ppm	%	ppm	ppm	ppm	%	ppm	ppm	ppm	ppm	ppm	ppm	ppm
Lower Limit	5	0.01	4	1	2	0.01	5	10	2	5	1	1	5
Method Code	TD-ICP	TD-ICP	TD-ICP	TD-ICP	TD-ICP	TD-ICP	TD-ICP	TD-ICP	TD-ICP	TD-ICP	TD-ICP	TD-ICP	TD-ICP
61900	< 5	0.88	26	194	< 2	0.29	< 5	< 10	64	5	37	337	71

QC

Analyte Symbol	Ag	Al	As	Ba	Be	Bi	Ca	Cd	Co	Cr	Cu	Fe	Ga	Hg	K	Mg	Li	Mn	Mo	Na	Ni	P	Pb
Unit Symbol	ppm	%	ppm	ppm	ppm	ppm	%	ppm	ppm	ppm	ppm	%	ppm	ppm	%	%	ppm	ppm	ppm	%	ppm	%	ppm
Lower Limit	0.3	0.01	3	7	1	2	0.01	0.3	1	1	1	0.01	1	1	0.01	0.01	1	1	1	0.01	1	0.001	3
Method Code	TD-ICP	TD-ICP	TD-ICP	TD-ICP	TD-ICP	TD-ICP	TD-ICP	TD-ICP	TD-ICP	TD-ICP	TD-ICP	TD-ICP	TD-ICP	TD-ICP	TD-ICP	TD-ICP	TD-ICP	TD-ICP	TD-ICP	TD-ICP	TD-ICP	TD-ICP	TD-ICP
GXR-1 Meas	31.9	2.30	420	643	1	1380	0.88	2.0	9	19	1100	24.0	12	< 1	0.05	0.21	8	874	15	0.05	43	0.058	718
GXR-1 Cert	31.0	3.52	427	750	1.22	1380	0.960	3.30	8.20	12.0	1110	23.6	13.8	3.90	0.050	0.217	8.20	852	18.0	0.0520	41.0	0.0650	730
GXR-1 Meas	32.8	2.57	429	675	1	1450	0.90	1.9	10	16	1130	24.4	13	< 1	0.05	0.21	8	894	16	0.05	45	0.059	738
GXR-1 Cert	31.0	3.52	427	750	1.22	1380	0.960	3.30	8.20	12.0	1110	23.6	13.8	3.90	0.050	0.217	8.20	852	18.0	0.0520	41.0	0.0650	730
GXR-4 Meas	3.5	6.81	112	101	2	15	1.09	0.3	16	49	6530	3.16	17	< 1	2.79	1.68	11	147	319	0.50	44	0.134	45
GXR-4 Cert	4.0	7.20	98.0	1640	1.90	19.0	1.01	0.860	14.6	64.0	6520	3.09	20.0	0.110	4.01	1.66	11.1	155	310	0.564	42.0	0.120	52.0
GXR-4 Meas	3.7	6.79	112	143	2	15	1.09	0.3	16	45	6470	3.17	17	< 1	4.65	1.69	11	156	324	0.51	43	0.136	43
GXR-4 Cert	4.0	7.20	98.0	1640	1.90	19.0	1.01	0.860	14.6	64.0	6520	3.09	20.0	0.110	4.01	1.66	11.1	155	310	0.564	42.0	0.120	52.0
SDC-1 Meas	8.70	15	630	3			1.12		19	49	29	4.98	22	< 1	2.29	1.00	33	853		1.51	36	0.052	21
SDC-1 Cert	8.34	0.220	630	3.00			1.00		18.0	64.00	30.000	4.82	21.00	0.20	2.72	1.02	34.00	880.00		1.52	38.0	0.0690	25.00
SDC-1 Meas	8.51	16	615	3			1.10		20	46	28	4.88	20	< 1	2.80	0.98	32	872		1.47	36	0.053	20
SDC-1 Cert	8.34	0.220	630	3.00			1.00		18.0	64.00	30.000	4.82	21.00	0.20	2.72	1.02	34.00	880.00		1.52	38.0	0.0690	25.00
GXR-6 Meas	0.3	15.6	246	> 1000	1	< 2	0.23	< 0.3	13	57	60	5.09	31	< 1	1.76	0.63	36	962	1	0.11	24	0.033	81
GXR-6 Cert	1.30	17.7	330	1300	1.40	0.290	0.180	1.00	13.8	96.0	66.0	5.58	35.0	0.0680	1.87	0.609	32.0	1010	2.40	0.104	27.0	0.0350	101
GXR-6 Meas	0.3	13.8	295	> 1000	1	2	0.19	< 0.3	15	68	66	5.84	29	< 1	1.90	0.61	33	1080	1	0.10	27	0.038	93
GXR-6 Cert	1.30	17.7	330	1300	1.40	0.290	0.180	1.00	13.8	96.0	66.0	5.58	35.0	0.0680	1.87	0.609	32.0	1010	2.40	0.104	27.0	0.0350	101
SAR-M (U.S.G.S.) Meas	3.2	6.61	40	781	3	< 2	0.62	4.9	13	87	330	3.30	15		2.45	0.48	28	5400	11	1.17	53	0.060	1010
SAR-M (U.S.G.S.) Cert	3.64	6.30	38.8	801	2.20	1.94	0.61	5.27	10.70	79.7		2.99	17		2.94	0.50	27.4	5220	13.1	1.140	41.5	0.07	982
SAR-M (U.S.G.S.) Meas	3.6	6.58	38	808	3	< 2	0.62	4.9	13	88	323	3.35	16		3.46	0.48	28	5410	12	1.20	50	0.067	1010
SAR-M (U.S.G.S.) Cert	3.64	6.30	38.8	801	2.20	1.94	0.61	5.27	10.70	79.7		2.99	17		2.94	0.50	27.4	5220	13.1	1.140	41.5	0.07	982
DNC-1a Meas				90					55	258	89		13				4					241	< 3
DNC-1a Cert				118					57.0	270	100.00		15				5.20					247	6.3
DNC-1a Meas				93					57	142	90		13				4					248	5
DNC-1a Cert				118					57.0	270	100.00		15				5.20					247	6.3
SBC-1 Meas			35	548	3	4		< 0.3	24	76	30		25				137		3			85	27
SBC-1 Cert			25.7	788.0	3.20	0.70		0.40	22.7	109	31.0000		27.0				163.0		2.40			82.8	35.0
SBC-1 Meas			27	725	3	3		< 0.3	25	100	30		26				145		2			87	27
SBC-1 Cert			25.7	788.0	3.20	0.70		0.40	22.7	109	31.0000		27.0				163.0		2.40			82.8	35.0
61863 Orig	1.2	6.21	3320	30	< 1	< 2	1.88	20.6	292	180	966	12.1	22	< 1	1.18	1.36	23	256	20	0.61	296	0.018	22
61863 Dup	1.2	6.26	3320	44	< 1	< 2	1.88	20.4	292	164	970	12.3	23	< 1	1.17	1.38	23	262	19	0.62	295	0.018	22
61876 Orig	< 0.3	7.09	30	105	< 1	< 2	2.61	< 0.3	34	562	59	5.33	19	< 1	0.23	4.10	29	871	16	1.94	238	0.058	15
61876 Dup	< 0.3	7.35	26	107	< 1	< 2	2.68	< 0.3	36	486	59	5.50	20	< 1	0.24	4.21	30	881	18	1.99	244	0.060	16
61886 Orig	0.4	5.83	4	45	< 1	< 2	1.60	0.5	138	254	695	13.2	15	< 1	1.74	1.36	26	5060	15	0.28	167	0.034	6
61886 Dup	0.5	5.96	4	35	< 1	< 2	1.65	0.6	142	281	720	13.6	15	< 1	1.85	1.41	26	5170	16	0.28	174	0.034	5
Method Blank	< 0.3	< 0.01	< 3	< 7	< 1	< 2	< 0.01	< 0.3	< 1		1	< 0.01	< 1	< 1	< 0.01	< 0.01	< 1		< 1	< 0.01	< 1	< 0.001	< 3
Method Blank	< 0.3	< 0.01	< 3	< 7	< 1	< 2	< 0.01	< 0.3	< 1		< 1	< 0.01	< 1	< 1	< 0.01	< 0.01	< 1		< 1	< 0.01	< 1	< 0.001	< 3
Method Blank	< 0.3	< 0.01	< 3	< 7	< 1	< 2	< 0.01	< 0.3	< 1		< 1	< 0.01	< 1	< 1	< 0.01	< 0.01	< 1		< 1	< 0.01	< 1	< 0.001	< 3
Method Blank	< 0.3	< 0.01	< 3	< 7	< 1	< 2	< 0.01	< 0.3	< 1		< 1	< 0.01	< 1	< 1	< 0.01	< 0.01	< 1		< 1	< 0.01	< 1	< 0.001	< 3
Method Blank	< 0.3	< 0.01	< 3	< 7	< 1	< 2	< 0.01	< 0.3	< 1		7	< 0.01	< 1	< 1	< 0.01	< 0.01	< 1		2	< 0.01	< 1	< 0.001	< 3
Method Blank	< 0.3	< 0.01	< 3	< 7	< 1	< 2	< 0.01	< 0.3	< 1		6	< 0.01	< 1	< 1	< 0.01	< 0.01	< 1		< 1	< 0.01	< 1	< 0.001	< 3
Method Blank	< 0.3	< 0.01	< 3	< 7	< 1	< 2	< 0.01	< 0.3	< 1		< 1	< 0.01	< 1	< 1	< 0.01	< 0.01	< 1		< 1	< 0.01	< 1	< 0.001	< 3

QC

Analyte Symbol	Sb	S	Sc	Sr	Te	Ti	Tl	U	V	W	Y	Zn	Zr
Unit Symbol	ppm	%	ppm	ppm	ppm	%	ppm	ppm	ppm	ppm	ppm	ppm	ppm
Lower Limit	5	0.01	4	1	2	0.01	5	10	2	5	1	1	5
Method Code	TD-ICP	TD-ICP	TD-ICP	TD-ICP	TD-ICP	TD-ICP	TD-ICP	TD-ICP	TD-ICP	TD-ICP	TD-ICP	TD-ICP	TD-ICP
GXR-1 Meas	26	0.24	< 4	277	15	0.03	< 5	40	86	152	28	713	22
GXR-1 Cert	122	0.257	1.58	275	13.0	0.036	0.390	34.9	80.0	164	32.0	760	38.0
GXR-1 Meas	32	0.25	< 4	285	15	0.03	< 5	40	89	172	29	730	22
GXR-1 Cert	122	0.257	1.58	275	13.0	0.036	0.390	34.9	80.0	164	32.0	760	38.0
GXR-4 Meas	< 5	1.79	8	210	5	0.29	< 5	< 10	93	43	14	71	41
GXR-4 Cert	4.80	1.77	7.70	221	0.970	0.29	3.20	6.20	87.0	30.8	14.0	73.0	186
GXR-4 Meas	< 5	1.83	8	218	10	0.28	< 5	< 10	94	42	14	71	35
GXR-4 Cert	4.80	1.77	7.70	221	0.970	0.29	3.20	6.20	87.0	30.8	14.0	73.0	186
SDC-1 Meas	< 5		17	174		0.09	< 5	< 10	41	< 5		99	20
SDC-1 Cert	0.54		17.00	180.00		0.606	0.70	3.10	102.00	0.80		103.00	290.00
SDC-1 Meas	< 5		17	173		0.18	< 5	< 10	47	< 5		99	30
SDC-1 Cert	0.54		17.00	180.00		0.606	0.70	3.10	102.00	0.80		103.00	290.00
GXR-6 Meas	< 5	0.01	26	48	< 2		< 5	< 10	127	< 5	12	114	69
GXR-6 Cert	3.60	0.0160	27.6	35.0	0.0180		2.20	1.54	186	1.90	14.0	118	110
GXR-6 Meas	< 5	0.02	29	41	3		< 5	< 10	174	< 5	12	126	81
GXR-6 Cert	3.60	0.0160	27.6	35.0	0.0180		2.20	1.54	186	1.90	14.0	118	110
SAR-M (U.S.G.S.) Meas	5		9	156	9	0.37	< 5	< 10	70	18	32	985	
SAR-M (U.S.G.S.) Cert	6.0		7.83	151	0.96	0.38	2.7	3.57	67.2	9.78	28.00	930.0	
SAR-M (U.S.G.S.) Meas	7		9	155	5	0.38	< 5	< 10	73	20	32	970	
SAR-M (U.S.G.S.) Cert	6.0		7.83	151	0.96	0.38	2.7	3.57	67.2	9.78	28.00	930.0	
DNC-1a Meas	< 5		31	122		0.26			136		15	54	34
DNC-1a Cert	0.96		31	144.0		0.29			148.00		18.0	70.0	38.000
DNC-1a Meas	< 5		31	127		0.28			142		15	55	34
DNC-1a Cert	0.96		31	144.0		0.29			148.00		18.0	70.0	38.000
SBC-1 Meas	< 5		21	168		0.47	< 5	< 10	213	< 5	31	171	103
SBC-1 Cert	1.01		20.0	178.0		0.51	0.89	5.76	220.0	1.60	36.5	186.0	134.0
SBC-1 Meas	< 5		23	177		0.52	< 5	< 10	225	< 5	32	175	110
SBC-1 Cert	1.01		20.0	178.0		0.51	0.89	5.76	220.0	1.60	36.5	186.0	134.0
61863 Orig	7	8.67	26	166	8	0.24	< 5	< 10	119	6	9	7770	67
61863 Dup	< 5	8.52	27	165	11	0.24	< 5	< 10	118	< 5	10	7610	67
61876 Orig	< 5	1.43	16	344	4	0.36	< 5	< 10	116	< 5	10	135	113
61876 Dup	< 5	1.44	16	357	6	0.36	< 5	< 10	119	< 5	10	141	115
61886 Orig	< 5	6.15	18	36	6	0.29	< 5	< 10	116	< 5	10	196	75
61886 Dup	< 5	6.41	18	37	5	0.30	< 5	< 10	121	< 5	10	202	78
Method Blank	< 5	< 0.01	< 4	< 1	< 2	< 0.01	< 5	< 10	< 2	< 5	< 1	< 1	< 5
Method Blank	< 5	< 0.01	< 4	< 1	< 2	< 0.01	< 5	< 10	< 2	< 5	< 1	< 1	< 5
Method Blank	< 5	< 0.01	< 4	< 1	< 2	< 0.01	< 5	< 10	< 2	< 5	< 1	< 1	< 5
Method Blank	< 5	< 0.01	< 4	< 1	< 2	< 0.01	< 5	< 10	< 2	< 5	< 1	< 1	< 5
Method Blank	< 5	< 0.01	< 4	< 1	< 2	< 0.01	< 5	< 10	< 2	< 5	< 1	< 1	< 5
Method Blank	< 5	< 0.01	< 4	< 1	< 2	< 0.01	< 5	< 10	< 2	< 5	< 1	< 1	< 5

Quality Analysis ...



Innovative Technologies

Date Submitted: 03-Jul-15
Invoice No.: A15-04851
Invoice Date: 10-Jul-15
Your Reference: 35498 SG15-0944 VISIBLE GOLD

Techni-Lab Abitibi Inc.(Actlabs)
184 Rue Principale
Ste-Germaine-Boule Quebec J0Z 1M0
Canada

ATTN: Andre Caouette

CERTIFICATE OF ANALYSIS

9 Pulp samples were submitted for analysis.

The following analytical package was requested:

Code 1F2 Total Digestion ICP(TOTAL)

REPORT **A15-04851**

This report may be reproduced without our consent. If only selected portions of the report are reproduced, permission must be obtained. If no instructions were given at time of sample submittal regarding excess material, it will be discarded within 90 days of this report. Our liability is limited solely to the analytical cost of these analyses. Test results are representative only of material submitted for analysis.

Notes:

Values which exceed the upper limit should be assayed for accurate numbers.

CERTIFIED BY:

A handwritten signature in black ink, appearing to read "Emmanuel Esemé". The signature is written in a cursive, somewhat stylized font.

Emmanuel Esemé , Ph.D.
Quality Control

ACTIVATION LABORATORIES LTD.
41 Bittern Street, Ancaster, Ontario, Canada, L9G 4V5
TELEPHONE +905 648-9611 or +1.888.228.5227 FAX +1.905.648.9613
E-MAIL Ancaster@actlabs.com ACTLABS GROUP WEBSITE www.actlabs.com



Results

Analyte Symbol	Ag	Al	As	Ba	Be	Bi	Ca	Cd	Co	Cr	Cu	Fe	Ga	Hg	K	Mg	Li	Mn	Mo	Na	Ni	P	Pb
Unit Symbol	ppm	%	ppm	ppm	ppm	ppm	%	ppm	ppm	ppm	ppm	%	ppm	ppm	%	%	ppm	ppm	ppm	%	ppm	%	ppm
Lower Limit	0.3	0.01	3	7	1	2	0.01	0.3	1	1	1	0.01	1	1	0.01	0.01	1	1	1	0.01	1	0.001	3
Method Code	TD-ICP	TD-ICP	TD-ICP	TD-ICP	TD-ICP	TD-ICP	TD-ICP	TD-ICP	TD-ICP	TD-ICP	TD-ICP	TD-ICP	TD-ICP	TD-ICP	TD-ICP	TD-ICP	TD-ICP	TD-ICP	TD-ICP	TD-ICP	TD-ICP	TD-ICP	TD-ICP
61751	< 0.3	2.85	< 3	89	< 1	< 2	0.04	< 0.3	< 1	212	4	0.33	5	< 1	1.45	0.07	2	50	19	0.04	9	0.014	< 3
61752	< 0.3	0.23	62	20	< 1	< 2	0.16	< 0.3	6	109	12	20.2	2	< 1	0.01	2.40	< 1	5420	6	0.01	38	0.011	6
61753	< 0.3	0.10	5	< 7	< 1	< 2	0.02	< 0.3	< 1	191	9	1.21	< 1	< 1	< 0.01	0.12	< 1	253	20	< 0.01	7	0.003	< 3
61754	0.5	6.87	209	< 7	2	< 2	1.25	1.5	48	258	25	17.9	15	< 1	0.01	1.98	14	11900	22	0.04	176	0.030	9
61755	0.4	4.40	6	< 7	< 1	3	0.95	1.2	35	102	43	20.5	10	< 1	0.02	3.19	6	12400	9	0.02	103	0.021	8
61756	< 0.3	0.95	3	< 7	< 1	< 2	0.70	< 0.3	12	401	20	6.76	2	< 1	< 0.01	1.08	1	2220	27	0.01	42	0.009	< 3
61757	< 0.3	0.47	< 3	< 7	< 1	3	0.33	0.6	12	63	12	23.2	3	< 1	< 0.01	3.10	< 1	9240	4	0.02	31	0.009	8
61758	< 0.3	1.48	130	8	< 1	< 2	0.87	< 0.3	30	241	55	13.4	3	< 1	0.02	2.16	4	6030	18	0.03	97	0.009	10
61759	0.4	6.77	5	305	2	4	4.71	0.3	52	64	103	11.9	20	< 1	1.95	2.97	50	1740	1	2.40	38	0.055	8

Results

Analyte Symbol	Sb	S	Sc	Sr	Te	Ti	Tl	U	V	W	Y	Zn	Zr
Unit Symbol	ppm	%	ppm	ppm	ppm	%	ppm	ppm	ppm	ppm	ppm	ppm	ppm
Lower Limit	5	0.01	4	1	2	0.01	5	10	2	5	1	1	5
Method Code	TD-ICP	TD-ICP	TD-ICP	TD-ICP	TD-ICP	TD-ICP	TD-ICP	TD-ICP	TD-ICP	TD-ICP	TD-ICP	TD-ICP	TD-ICP
61751	< 5	0.01	< 4	155	< 2	0.04	< 5	< 10	14	< 5	3	2	19
61752	11	0.28	< 4	1	8	0.01	< 5	< 10	11	< 5	4	62	12
61753	< 5	0.01	< 4	2	< 2	< 0.01	< 5	< 10	5	< 5	< 1	6	< 5
61754	< 5	1.83	19	16	6	0.27	< 5	< 10	74	< 5	19	255	150
61755	< 5	2.91	14	2	8	0.16	< 5	< 10	52	6	14	265	102
61756	< 5	0.59	< 4	1	10	0.04	< 5	< 10	22	< 5	4	74	22
61757	6	0.70	< 4	< 1	9	0.02	< 5	< 10	19	11	8	251	17
61758	6	2.85	4	3	3	0.07	< 5	< 10	28	< 5	7	147	31
61759	< 5	2.22	51	447	10	0.68	< 5	< 10	261	< 5	31	117	24

QC

Analyte Symbol	Ag	Al	As	Ba	Be	Bi	Ca	Cd	Co	Cr	Cu	Fe	Ga	Hg	K	Mg	Li	Mn	Mo	Na	Ni	P	Pb
Unit Symbol	ppm	%	ppm	ppm	ppm	ppm	%	ppm	ppm	ppm	ppm	%	ppm	ppm	%	%	ppm	ppm	ppm	%	ppm	%	ppm
Lower Limit	0.3	0.01	3	7	1	2	0.01	0.3	1	1	1	0.01	1	1	0.01	0.01	1	1	1	0.01	1	0.001	3
Method Code	TD-ICP	TD-ICP	TD-ICP	TD-ICP	TD-ICP	TD-ICP	TD-ICP	TD-ICP	TD-ICP	TD-ICP	TD-ICP	TD-ICP	TD-ICP	TD-ICP	TD-ICP	TD-ICP	TD-ICP	TD-ICP	TD-ICP	TD-ICP	TD-ICP	TD-ICP	TD-ICP
GXR-1 Meas	31.9	2.30	420	643	1	1380	0.88	2.0	9	19	1100	24.0	12	< 1	0.05	0.21	8	874	15	0.05	43	0.058	718
GXR-1 Cert	31.0	3.52	427	750	1.22	1380	0.960	3.30	8.20	12.0	1110	23.6	13.8	3.90	0.050	0.217	8.20	852	18.0	0.0520	41.0	0.0650	730
GXR-1 Meas	32.8	2.57	429	675	1	1450	0.90	1.9	10	16	1130	24.4	13	< 1	0.05	0.21	8	894	16	0.05	45	0.059	738
GXR-1 Cert	31.0	3.52	427	750	1.22	1380	0.960	3.30	8.20	12.0	1110	23.6	13.8	3.90	0.050	0.217	8.20	852	18.0	0.0520	41.0	0.0650	730
GXR-4 Meas	3.5	6.81	112	101	2	15	1.09	0.3	16	49	6530	3.16	17	< 1	2.79	1.68	11	147	319	0.50	44	0.134	45
GXR-4 Cert	4.0	7.20	98.0	1640	1.90	19.0	1.01	0.860	14.6	64.0	6520	3.09	20.0	0.110	4.01	1.66	11.1	155	310	0.564	42.0	0.120	52.0
GXR-4 Meas	3.7	6.79	112	143	2	15	1.09	0.3	16	45	6470	3.17	17	< 1	4.65	1.69	11	156	324	0.51	43	0.136	43
GXR-4 Cert	4.0	7.20	98.0	1640	1.90	19.0	1.01	0.860	14.6	64.0	6520	3.09	20.0	0.110	4.01	1.66	11.1	155	310	0.564	42.0	0.120	52.0
SDC-1 Meas	8.70	15	630	3		1.12			19	49	29	4.98	22	< 1	2.29	1.00	33	853		1.51	36	0.052	21
SDC-1 Cert	8.34	0.220	630	3.00		1.00			18.0	64.00	30.000	4.82	21.00	0.20	2.72	1.02	34.00	880.00		1.52	38.0	0.0690	25.00
SDC-1 Meas	8.51	16	615	3		1.10			20	46	28	4.88	20	< 1	2.80	0.98	32	872		1.47	36	0.053	20
SDC-1 Cert	8.34	0.220	630	3.00		1.00			18.0	64.00	30.000	4.82	21.00	0.20	2.72	1.02	34.00	880.00		1.52	38.0	0.0690	25.00
GXR-6 Meas	0.3	15.6	246	> 1000	1	< 2	0.23	< 0.3	13	57	60	5.09	31	< 1	1.76	0.63	36	962	1	0.11	24	0.033	81
GXR-6 Cert	1.30	17.7	330	1300	1.40	0.290	0.180	1.00	13.8	96.0	66.0	5.58	35.0	0.0680	1.87	0.609	32.0	1010	2.40	0.104	27.0	0.0350	101
GXR-6 Meas	0.3	13.8	295	> 1000	1	2	0.19	< 0.3	15	68	66	5.84	29	< 1	1.90	0.61	33	1080	1	0.10	27	0.038	93
GXR-6 Cert	1.30	17.7	330	1300	1.40	0.290	0.180	1.00	13.8	96.0	66.0	5.58	35.0	0.0680	1.87	0.609	32.0	1010	2.40	0.104	27.0	0.0350	101
SAR-M (U.S.G.S.) Meas	3.2	6.61	40	781	3	< 2	0.62	4.9	13	87	330	3.30	15		2.45	0.48	28	5400	11	1.17	53	0.060	1010
SAR-M (U.S.G.S.) Cert	3.64	6.30	38.8	801	2.20	1.94	0.61	5.27	10.70	79.7		2.99	17		2.94	0.50	27.4	5220	13.1	1.140	41.5	0.07	982
SAR-M (U.S.G.S.) Meas	3.6	6.58	38	808	3	< 2	0.62	4.9	13	88	323	3.35	16		3.46	0.48	28	5410	12	1.20	50	0.067	1010
SAR-M (U.S.G.S.) Cert	3.64	6.30	38.8	801	2.20	1.94	0.61	5.27	10.70	79.7	331.0000	2.99	17		2.94	0.50	27.4	5220	13.1	1.140	41.5	0.07	982
DNC-1a Meas				90					55	258	89		13				4					241	< 3
DNC-1a Cert				118					57.0	270	100.00		15				5.20					247	6.3
DNC-1a Meas				93					57	142	90		13				4					248	5
DNC-1a Cert				118					57.0	270	100.00		15				5.20					247	6.3
SBC-1 Meas			35	548	3	4		< 0.3	24	76	30		25				137		3			85	27
SBC-1 Cert			25.7	788.0	3.20	0.70		0.40	22.7	109	31.0000		27.0				163.0		2.40			82.8	35.0
SBC-1 Meas			27	725	3	3		< 0.3	25	100	30		26				145		2			87	27
SBC-1 Cert			25.7	788.0	3.20	0.70		0.40	22.7	109	31.0000		27.0				163.0		2.40			82.8	35.0
61754 Orig	0.5	6.63	209	< 7	2	< 2	1.23	1.3	47	262	24	17.4	14	< 1	0.01	1.92	13	11700	21	0.04	172	0.029	10
61754 Dup	0.5	7.12	209	< 7	2	3	1.28	1.7	49	253	26	18.5	15	< 1	0.01	2.05	14	12000	22	0.04	180	0.032	9
Method Blank	< 0.3	< 0.01	< 3	< 7	< 1	< 2	< 0.01	< 0.3	< 1		1	< 0.01	< 1	< 1	< 0.01	< 0.01	< 1		< 1	< 0.01	< 1	< 0.001	< 3
Method Blank	< 0.3	< 0.01	< 3	< 7	< 1	< 2	< 0.01	< 0.3	< 1		< 1	< 0.01	< 1	< 1	< 0.01	< 0.01	< 1		< 1	< 0.01	< 1	< 0.001	< 3
Method Blank	< 0.3	< 0.01	< 3	< 7	< 1	< 2	< 0.01	< 0.3	< 1		< 1	< 0.01	< 1	< 1	< 0.01	< 0.01	< 1		< 1	< 0.01	< 1	< 0.001	< 3
Method Blank	< 0.3	< 0.01	< 3	< 7	< 1	< 2	< 0.01	< 0.3	< 1		< 1	< 0.01	< 1	< 1	< 0.01	< 0.01	< 1		< 1	< 0.01	< 1	< 0.001	< 3
Method Blank	< 0.3	< 0.01	< 3	< 7	< 1	< 2	< 0.01	< 0.3	< 1		7	< 0.01	< 1	< 1	< 0.01	< 0.01	< 1		2	< 0.01	< 1	< 0.001	< 3
Method Blank	< 0.3	< 0.01	< 3	< 7	< 1	< 2	< 0.01	< 0.3	< 1		6	< 0.01	< 1	< 1	< 0.01	< 0.01	< 1		< 1	< 0.01	< 1	< 0.001	< 3
Method Blank	< 0.3	< 0.01	< 3	< 7	< 1	< 2	< 0.01	< 0.3	< 1		< 1	< 0.01	< 1	< 1	< 0.01	< 0.01	< 1		< 1	< 0.01	< 1	< 0.001	< 3

QC

Analyte Symbol	Sb	S	Sc	Sr	Ta	Ti	Tl	U	V	W	Y	Zn	Zr
Unit Symbol	ppm	%	ppm	ppm	ppm	%	ppm	ppm	ppm	ppm	ppm	ppm	ppm
Lower Limit	5	0.01	4	1	2	0.01	5	10	2	5	1	1	5
Method Code	TD-ICP	TD-ICP	TD-ICP	TD-ICP	TD-ICP	TD-ICP	TD-ICP	TD-ICP	TD-ICP	TD-ICP	TD-ICP	TD-ICP	TD-ICP
GXR-1 Meas	26	0.24	< 4	277	15	0.03	< 5	40	86	152	28	713	22
GXR-1 Cert	122	0.257	1.58	275	13.0	0.036	0.390	34.9	80.0	164	32.0	760	38.0
GXR-1 Meas	32	0.25	< 4	285	15	0.03	< 5	40	89	172	29	730	22
GXR-1 Cert	122	0.257	1.58	275	13.0	0.036	0.390	34.9	80.0	164	32.0	760	38.0
GXR-4 Meas	< 5	1.79	8	210	5	0.29	< 5	< 10	93	43	14	71	41
GXR-4 Cert	4.80	1.77	7.70	221	0.970	0.29	3.20	6.20	87.0	30.8	14.0	73.0	186
GXR-4 Meas	< 5	1.83	8	218	10	0.28	< 5	< 10	94	42	14	71	35
GXR-4 Cert	4.80	1.77	7.70	221	0.970	0.29	3.20	6.20	87.0	30.8	14.0	73.0	186
SDC-1 Meas	< 5		17	174		0.09	< 5	< 10	41	< 5		99	20
SDC-1 Cert	0.54		17.00	180.00		0.606	0.70	3.10	102.00	0.80		103.00	290.00
SDC-1 Meas	< 5		17	173		0.18	< 5	< 10	47	< 5		99	30
SDC-1 Cert	0.54		17.00	180.00		0.606	0.70	3.10	102.00	0.80		103.00	290.00
GXR-6 Meas	< 5	0.01	26	48	< 2		< 5	< 10	127	< 5	12	114	69
GXR-6 Cert	3.60	0.0160	27.6	35.0	0.0180		2.20	1.54	186	1.90	14.0	118	110
GXR-6 Meas	< 5	0.02	29	41	3		< 5	< 10	174	< 5	12	126	81
GXR-6 Cert	3.60	0.0160	27.6	35.0	0.0180		2.20	1.54	186	1.90	14.0	118	110
SAR-M (U.S.G.S.) Meas	5		9	156	9	0.37	< 5	< 10	70	18	32	985	
SAR-M (U.S.G.S.) Cert	6.0		7.83	151	0.96	0.38	2.7	3.57	67.2	9.78	28.00	930.0	
SAR-M (U.S.G.S.) Meas	7		9	155	5	0.38	< 5	< 10	73	20	32	970	
SAR-M (U.S.G.S.) Cert	6.0		7.83	151	0.96	0.38	2.7	3.57	67.2	9.78	28.00	930.0	
DNC-1a Meas	< 5		31	122		0.26			136		15	54	34
DNC-1a Cert	0.96		31	144.0		0.29			148.00		18.0	70.0	38.000
DNC-1a Meas	< 5		31	127		0.28			142		15	55	34
DNC-1a Cert	0.96		31	144.0		0.29			148.00		18.0	70.0	38.000
SBC-1 Meas	< 5		21	168		0.47	< 5	< 10	213	< 5	31	171	103
SBC-1 Cert	1.01		20.0	178.0		0.51	0.89	5.76	220.0	1.60	36.5	186.0	134.0
SBC-1 Meas	< 5		23	177		0.52	< 5	< 10	225	< 5	32	175	110
SBC-1 Cert	1.01		20.0	178.0		0.51	0.89	5.76	220.0	1.60	36.5	186.0	134.0
61754 Orig	5	1.78	18	15	6	0.26	< 5	< 10	72	< 5	18	250	145
61754 Dup	< 5	1.87	20	16	6	0.28	< 5	< 10	75	< 5	19	260	154
Method Blank	< 5	< 0.01	< 4	< 1	< 2	< 0.01	< 5	< 10	< 2	< 5	< 1	< 1	< 5
Method Blank	< 5	< 0.01	< 4	< 1	< 2	< 0.01	< 5	< 10	< 2	< 5	< 1	< 1	< 5
Method Blank	< 5	< 0.01	< 4	< 1	< 2	< 0.01	< 5	< 10	< 2	< 5	< 1	< 1	< 5
Method Blank	< 5	< 0.01	< 4	< 1	< 2	< 0.01	< 5	< 10	< 2	< 5	< 1	< 1	< 5
Method Blank	< 5	< 0.01	< 4	< 1	< 2	< 0.01	< 5	< 10	< 2	< 5	< 1	< 1	< 5
Method Blank	< 5	< 0.01	< 4	< 1	< 2	< 0.01	< 5	< 10	< 2	< 5	< 1	< 1	< 5
Method Blank	< 5	< 0.01	< 4	< 1	< 2	< 0.01	< 5	< 10	< 2	< 5	< 1	< 1	< 5



Date Submitted: 03-Jul-15
Invoice No.: A15-04852
Invoice Date: 14-Jul-15
Your Reference: 35499 SG15-0945 VISIBLE GOLD

Techni-Lab Abitibi Inc.(Actlabs)
184 Rue Principale
Ste-Germaine-Boule Quebec J0Z 1M0
Canada

ATTN: Andre Caouette

CERTIFICATE OF ANALYSIS

50 Pulp samples were submitted for analysis.

The following analytical package was requested:

Code 1F2 Total Digestion ICP(TOTAL)

REPORT **A15-04852**

This report may be reproduced without our consent. If only selected portions of the report are reproduced, permission must be obtained. If no instructions were given at time of sample submittal regarding excess material, it will be discarded within 90 days of this report. Our liability is limited solely to the analytical cost of these analyses. Test results are representative only of material submitted for analysis.

Notes:

Values which exceed the upper limit should be assayed for accurate numbers.

CERTIFIED BY:

A handwritten signature in black ink, appearing to read "Emmanuel Esemé". The signature is written in a cursive style and is positioned above a horizontal line.

Emmanuel Esemé , Ph.D.
Quality Control

ACTIVATION LABORATORIES LTD.
41 Bittern Street, Ancaster, Ontario, Canada, L9G 4V5
TELEPHONE +905 648-9611 or +1.888.228.5227 FAX +1.905.648.9613
E-MAIL Ancaster@actlabs.com ACTLABS GROUP WEBSITE www.actlabs.com



Results

Analyte Symbol	As	Ag	Al	As	Ba	Be	Bi	Ca	Cd	Co	Cr	Cu	Fe	Ga	Hg	K	Mg	Li	Mn	Mo	Na	Ni	P
Unit Symbol	%	ppm	%	ppm	ppm	ppm	ppm	%	ppm	ppm	ppm	ppm	%	ppm	ppm	%	%	ppm	ppm	ppm	%	ppm	%
Lower Limit	0.01	0.3	0.01	3	7	1	2	0.01	0.3	1	1	1	0.01	1	1	0.01	0.01	1	1	1	0.01	1	0.001
Method Code	FUS-Na2 O2	TD-ICP	TD-ICP	TD-ICP	TD-ICP	TD-ICP	TD-ICP	TD-ICP	TD-ICP	TD-ICP	TD-ICP	TD-ICP	TD-ICP	TD-ICP	TD-ICP	TD-ICP	TD-ICP	TD-ICP	TD-ICP	TD-ICP	TD-ICP	TD-ICP	TD-ICP
61901		< 0.3	0.37	61	17	< 1	< 2	0.05	< 0.3	21	323	33	5.45	< 1	< 1	0.04	0.23	2	350	18	0.02	82	0.008
61902		< 0.3	0.23	77	7	< 1	2	0.17	0.3	10	58	24	26.5	3	< 1	0.01	3.63	1	10600	4	0.01	39	0.007
61903		< 0.3	3.21	432	183	< 1	< 2	0.10	0.8	54	381	23	3.82	6	< 1	1.18	0.30	8	910	29	0.08	175	0.017
61904		< 0.3	2.76	414	67	< 1	< 2	0.22	< 0.3	12	1090	16	7.45	8	< 1	0.33	0.51	9	3750	7	0.24	55	0.010
61905		< 0.3	0.04	33	< 7	< 1	< 2	0.12	< 0.3	3	247	8	8.32	< 1	< 1	< 0.01	0.69	< 1	1550	15	< 0.01	18	0.018
61906		0.3	9.28	< 3	> 1000	1	< 2	2.02	< 0.3	6	71	28	1.27	20	< 1	2.46	0.68	16	159	2	2.19	21	0.060
61907		< 0.3	3.22	15	148	< 1	< 2	4.93	< 0.3	15	293	112	2.72	7	< 1	0.57	2.43	6	510	20	0.13	51	0.021
61908	1.89	< 0.3	0.20	> 5000	< 7	< 1	< 2	0.23	0.4	65	85	75	20.8	2	< 1	< 0.01	3.49	1	6330	5	0.01	87	0.010
61909		< 0.3	8.51	104	159	< 1	3	3.62	< 0.3	50	257	441	9.32	17	< 1	1.47	2.81	48	1250	4	1.73	123	0.026
61910		2.2	3.51	40	39	< 1	< 2	0.27	7.2	135	160	1010	15.2	12	< 1	1.10	1.02	20	183	11	0.14	272	0.012
61911		< 0.3	6.56	6	26	< 1	3	6.01	< 0.3	49	164	379	10.1	19	< 1	0.07	3.59	12	1170	3	1.06	46	0.053
61912		< 0.3	0.36	5	< 7	< 1	4	2.57	0.5	33	21	227	30.2	8	< 1	< 0.01	3.87	1	12500	< 1	0.01	22	0.007
61913		< 0.3	7.05	< 3	83	< 1	3	7.20	< 0.3	48	206	64	13.3	16	< 1	0.40	3.85	17	4770	4	0.72	99	0.028
61914		< 0.3	9.35	4	90	< 1	< 2	4.97	< 0.3	18	129	45	2.82	20	< 1	0.12	0.99	7	484	9	3.47	26	0.111
61915		< 0.3	8.45	< 3	67	< 1	3	0.68	0.4	52	290	210	10.2	18	< 1	2.95	1.91	39	2430	6	0.24	104	0.030
61916		0.3	5.08	< 3	182	< 1	< 2	1.22	< 0.3	9	159	54	10.6	19	< 1	0.77	2.51	19	2710	9	0.47	24	0.014
61917		< 0.3	5.93	< 3	25	< 1	< 2	0.78	< 0.3	51	102	252	14.8	19	< 1	0.02	1.65	9	2580	< 1	0.89	16	0.042
61918		< 0.3	8.35	< 3	84	< 1	4	6.05	0.3	52	207	49	9.72	17	< 1	0.38	3.90	17	2240	5	1.39	113	0.030
61919		< 0.3	5.61	< 3	308	< 1	< 2	9.90	< 0.3	14	103	28	2.31	12	< 1	1.17	0.80	9	1610	3	1.03	43	0.029
61920		< 0.3	8.12	< 3	159	< 1	3	4.06	< 0.3	49	260	43	9.45	16	< 1	0.98	3.42	14	2660	8	1.27	116	0.032
61921		< 0.3	8.51	< 3	89	< 1	4	7.40	< 0.3	59	158	71	8.98	19	< 1	0.77	2.78	13	2370	2	1.40	97	0.037
61922		0.7	0.27	46	11	< 1	< 2	0.07	< 0.3	69	300	1100	4.31	1	< 1	< 0.01	0.06	< 1	1660	22	< 0.01	40	0.004
61923		< 0.3	0.15	12	< 7	< 1	< 2	0.01	< 0.3	31	378	160	2.17	< 1	< 1	0.01	0.06	< 1	157	29	< 0.01	44	0.002
61924		< 0.3	5.63	< 3	324	< 1	< 2	0.35	< 0.3	20	137	823	4.23	15	< 1	1.44	1.54	17	461	11	0.19	14	0.041
61925		< 0.3	0.04	16	< 7	< 1	< 2	0.01	< 0.3	30	436	307	2.53	< 1	< 1	< 0.01	0.01	< 1	60	29	< 0.01	30	0.003
61926		1.7	0.66	< 3	< 7	< 1	< 2	0.65	< 0.3	2	282	12	0.47	2	< 1	0.02	0.14	2	113	26	0.01	12	0.003
61927		< 0.3	7.55	< 3	265	< 1	2	5.64	< 0.3	50	229	104	11.6	19	< 1	0.86	2.33	27	3630	3	0.72	93	0.030
61928		< 0.3	8.33	< 3	292	< 1	< 2	6.55	< 0.3	57	187	98	9.76	20	< 1	1.41	1.83	21	2600	< 1	0.61	106	0.032
61929		< 0.3	6.48	4	40	< 1	3	7.40	< 0.3	83	190	291	10.9	21	< 1	0.12	2.77	12	2760	7	1.34	108	0.036
61930		< 0.3	7.25	< 3	14	< 1	< 2	6.12	< 0.3	66	186	130	14.1	17	< 1	0.06	5.81	30	3180	2	0.50	153	0.010
61931		< 0.3	8.25	< 3	137	< 1	4	4.72	< 0.3	64	255	70	10.9	22	< 1	0.78	2.87	20	2610	3	0.56	98	0.038
61932		< 0.3	7.93	< 3	37	< 1	5	6.97	< 0.3	43	175	89	10.8	24	< 1	0.15	3.84	14	1120	4	1.16	52	0.036
61933		< 0.3	7.61	3	47	< 1	4	6.00	< 0.3	57	183	213	11.6	19	< 1	0.20	3.39	17	3420	6	1.17	67	0.037
61934		< 0.3	12.6	< 3	416	2	< 2	0.02	< 0.3	3	63	4	0.86	28	< 1	5.14	0.11	3	26	< 1	0.41	44	0.011
61935		1.5	8.35	< 3	142	< 1	< 2	5.95	0.5	2	136	895	3.20	34	< 1	0.76	0.25	6	512	12	1.70	7	0.031
61936		0.8	5.80	< 3	113	< 1	< 2	1.76	< 0.3	67	117	240	7.49	16	< 1	0.74	1.80	24	602	8	0.65	44	0.044
61937		< 0.3	9.42	< 3	229	2	< 2	0.02	< 0.3	9	111	8	4.05	19	< 1	2.97	0.71	25	182	< 1	0.21	54	0.005
61938		< 0.3	10.9	< 3	544	3	< 2	0.05	< 0.3	10	52	59	2.02	21	< 1	4.75	0.25	10	70	< 1	0.31	89	0.023
61939		< 0.3	7.51	3	83	< 1	< 2	0.07	< 0.3	13	201	6	0.93	14	< 1	2.96	0.33	2	58	18	0.28	549	0.012
61940		< 0.3	15.0	< 3	118	1	< 2	< 0.01	< 0.3	< 1	111	< 1	0.56	28	< 1	6.93	0.02	3	15	< 1	0.25	10	0.004
61941		0.4	7.20	8	24	< 1	< 2	0.35	< 0.3	67	93	31	10.2	18	< 1	1.37	0.44	12	349	11	2.97	42	0.042
61942		< 0.3	3.01	< 3	95	< 1	2	0.05	0.3	47	251	284	17.3	12	< 1	0.53	1.09	25	5800	15	0.32	54	0.027
61943		0.4	8.86	17	76	1	6	0.01	0.4	140	137	13	25.2	25	< 1	1.08	4.12	119	1010	5	0.04	335	0.007
61944		< 0.3	16.1	< 3	131	< 1	< 2	< 0.01	< 0.3	1	132	< 1	0.62	30	< 1	5.96	0.04	3	23	< 1	0.51	7	0.003
61945		< 0.3	1.68	4	352	< 1	< 2	< 0.01	< 0.3	2	214	4	1.07	5	< 1	0.79	0.08	7	31	17	0.02	10	0.001
61946		< 0.3	8.00	15	195	1	< 2	9.82	< 0.3	38	575	163	6.54	14	< 1	1.45	3.07	10	1490	9	0.89	260	0.044
61947		0.8	7.82	< 3	78	2	< 2	1.71	< 0.3	18	217	127	6.09	18	< 1	1.98	1.49	44	837	13	2.39	57	0.067
61948		< 0.3	7.09	6	17	< 1	3	5.50	< 0.3	35	178	59	9.90	21	< 1	0.10	3.06	32	3020	2	0.02	88	0.022

Analyte Symbol	As	Ag	Al	As	Ba	Be	Bi	Ca	Cd	Co	Cr	Cu	Fe	Ga	Hg	K	Mg	Li	Mn	Mo	Na	Ni	P
Unit Symbol	%	ppm	%	ppm	ppm	ppm	ppm	%	ppm	ppm	ppm	ppm	%	ppm	ppm	%	%	ppm	ppm	ppm	%	ppm	%
Lower Limit	0.01	0.3	0.01	3	7	1	2	0.01	0.3	1	1	1	0.01	1	1	0.01	0.01	1	1	1	0.01	1	0.001
Method Code	FUS-Na2 O2	TD-ICP	TD-ICP	TD-ICP	TD-ICP	TD-ICP	TD-ICP	TD-ICP	TD-ICP	TD-ICP	TD-ICP	TD-ICP	TD-ICP	TD-ICP	TD-ICP	TD-ICP	TD-ICP	TD-ICP	TD-ICP	TD-ICP	TD-ICP	TD-ICP	TD-ICP
61949		1.0	3.36	121	76	< 1	< 2	0.03	55.3	46	260	187	2.32	4	< 1	1.07	0.44	13	74	23	0.08	137	0.024
61950		< 0.3	8.05	8	154	< 1	4	6.81	0.3	55	171	86	10.3	22	< 1	0.34	2.66	19	2900	2	1.49	96	0.030

Results

Analyte Symbol	Pb	Sb	S	Sc	Sr	Te	Tl	Tl	U	V	W	Y	Zn	Zr	Zn
Unit Symbol	ppm	ppm	%	ppm	ppm	ppm	%	ppm	ppm	ppm	ppm	ppm	ppm	ppm	%
Lower Limit	3	5	0.01	4	1	2	0.01	5	10	2	5	1	1	5	0.001
Method Code	TD-ICP	TD-ICP	TD-ICP	TD-ICP	TD-ICP	TD-ICP	TD-ICP	TD-ICP	TD-ICP	TD-ICP	TD-ICP	TD-ICP	TD-ICP	TD-ICP	ICP-OES
61901	< 3	< 5	2.90	< 4	4	3	0.04	< 5	< 10	13	< 5	4	24	12	
61902	9	10	1.48	< 4	1	7	0.01	< 5	< 10	20	< 5	5	81	14	
61903	21	10	0.97	4	41	< 2	0.13	< 5	< 10	43	7	5	500	55	
61904	16	< 5	0.30	10	86	6	0.44	< 5	< 10	122	6	4	454	37	
61905	< 3	6	0.20	< 4	1	2	< 0.01	< 5	< 10	5	< 5	3	15	8	
61906	10	< 5	< 0.01	12	368	< 2	0.27	< 5	< 10	80	< 5	12	22	88	
61907	4	< 5	0.02	5	96	3	0.11	< 5	< 10	44	< 5	8	35	14	
61908	10	78	4.35	11	1	11	0.02	< 5	< 10	39	< 5	7	91	15	
61909	< 3	< 5	0.74	54	83	10	0.58	< 5	< 10	308	< 5	21	85	31	
61910	416	< 5	10.5	13	21	9	0.13	< 5	< 10	72	11	8	3350	46	
61911	< 3	< 5	0.75	38	118	9	0.59	< 5	< 10	197	< 5	34	90	28	
61912	8	< 5	0.90	5	6	13	0.03	< 5	< 10	30	< 5	9	141	11	
61913	< 3	< 5	0.88	51	58	6	0.53	< 5	< 10	307	< 5	38	142	36	
61914	< 3	< 5	0.58	7	349	4	0.40	< 5	20	75	< 5	7	36	94	
61915	3	< 5	3.61	33	17	7	0.51	< 5	< 10	217	< 5	14	283	78	
61916	5	< 5	0.36	12	13	8	0.24	< 5	< 10	73	< 5	27	148	151	
61917	< 3	< 5	0.27	64	39	12	0.23	< 5	< 10	175	< 5	40	80	18	
61918	< 3	< 5	0.08	48	54	7	0.61	< 5	< 10	320	< 5	22	47	47	
61919	< 3	< 5	0.04	10	125	< 2	0.22	< 5	< 10	95	< 5	10	27	42	
61920	< 3	< 5	0.21	48	63	7	0.62	< 5	< 10	303	< 5	18	109	41	
61921	< 3	< 5	0.17	50	42	6	0.62	< 5	< 10	289	< 5	26	102	19	
61922	< 3	< 5	2.65	< 4	< 1	< 2	< 0.01	< 5	< 10	7	< 5	3	3	< 5	
61923	< 3	< 5	1.32	< 4	< 1	< 2	0.01	< 5	< 10	4	< 5	1	4	< 5	
61924	< 3	< 5	0.23	6	15	2	0.17	< 5	< 10	36	< 5	7	64	55	
61925	< 3	< 5	0.99	< 4	< 1	3	< 0.01	< 5	< 10	6	< 5	4	2	7	
61926	< 3	< 5	< 0.01	< 4	6	< 2	0.01	< 5	< 10	20	< 5	3	7	< 5	
61927	8	< 5	0.33	43	63	4	0.39	< 5	< 10	229	< 5	23	174	21	
61928	< 3	< 5	0.14	43	60	7	0.31	< 5	< 10	181	< 5	21	108	13	
61929	< 3	< 5	0.57	34	94	8	0.62	< 5	< 10	277	< 5	18	264	36	
61930	18	< 5	0.27	48	10	5	0.22	< 5	< 10	239	< 5	20	148	15	
61931	< 3	< 5	0.25	47	57	8	0.68	< 5	< 10	321	< 5	25	285	27	
61932	< 3	< 5	0.11	46	136	10	0.84	< 5	< 10	380	< 5	26	80	21	
61933	< 3	< 5	0.43	42	56	8	0.77	< 5	< 10	333	< 5	27	122	33	
61934	< 3	6	< 0.01	14	80	< 2	0.19	< 5	< 10	56	< 5	13	4	143	
61935	25	< 5	0.13	5	578	7	0.14	< 5	< 10	54	< 5	18	95	88	
61936	37	< 5	3.20	5	113	9	0.18	< 5	< 10	36	< 5	8	75	134	
61937	< 3	< 5	0.01	12	28	< 2	0.06	< 5	< 10	20	< 5	9	18	50	
61938	< 3	< 5	< 0.01	20	51	< 2	0.23	< 5	< 10	112	< 5	12	10	140	
61939	4	< 5	< 0.01	12	120	< 2	0.16	< 5	< 10	107	< 5	6	13	64	
61940	< 3	< 5	< 0.01	30	19	< 2	0.36	< 5	< 10	103	< 5	24	2	94	
61941	9	< 5	8.58	8	80	5	0.16	< 5	10	50	< 5	5	19	113	
61942	4	< 5	0.20	13	9	13	0.09	< 5	< 10	108	< 5	7	28	35	
61943	5	5	0.10	33	4	12	0.65	< 5	10	447	< 5	12	107	95	
61944	< 3	< 5	< 0.01	52	99	< 2	0.34	< 5	< 10	113	< 5	39	2	42	
61945	< 3	< 5	0.78	< 4	7	< 2	0.04	< 5	< 10	14	< 5	4	1	16	
61946	6	< 5	0.38	21	154	6	0.18	< 5	< 10	88	< 5	14	81	17	
61947	10	< 5	1.85	15	134	5	0.29	< 5	< 10	89	< 5	15	141	121	
61948	< 3	< 5	0.13	43	81	5	0.59	< 5	< 10	262	< 5	20	100	30	
61949	21	< 5	1.66	12	20	3	0.02	< 5	< 10	43	< 5	15	> 10000	14	1.73

Analyte Symbol	Pb	Sb	S	Sc	Sr	Te	Ti	Tl	U	V	W	Y	Zn	Zr	Zn
Unit Symbol	ppm	ppm	%	ppm	ppm	ppm	%	ppm	ppm	ppm	ppm	ppm	ppm	ppm	%
Lower Limit	3	5	0.01	4	1	2	0.01	5	10	2	5	1	1	5	0.001
Method Code	TD-ICP	TD-ICP	TD-ICP	TD-ICP	TD-ICP	TD-ICP	TD-ICP	TD-ICP	TD-ICP	TD-ICP	TD-ICP	TD-ICP	TD-ICP	TD-ICP	ICP-OES
61950	< 3	< 5	0.21	46	52	7	0.66	< 5	< 10	311	< 5	22	155	22	

QC

Analyte Symbol	As	Ag	Al	As	Ba	Be	Bi	Ca	Cd	Co	Cr	Cu	Fe	Ga	Hg	K	Mg	Li	Mn	Mo	Na	Ni	P
Unit Symbol	%	ppm	%	ppm	ppm	ppm	ppm	%	ppm	ppm	ppm	ppm	%	ppm	ppm	%	%	ppm	ppm	ppm	%	ppm	%
Lower Limit	0.01	0.3	0.01	3	7	1	2	0.01	0.3	1	1	1	0.01	1	1	0.01	0.01	1	1	1	0.01	1	0.001
Method Code	FUS-Na2 O2	TD-ICP	TD-ICP	TD-ICP	TD-ICP	TD-ICP	TD-ICP	TD-ICP	TD-ICP	TD-ICP	TD-ICP	TD-ICP	TD-ICP	TD-ICP	TD-ICP	TD-ICP	TD-ICP	TD-ICP	TD-ICP	TD-ICP	TD-ICP	TD-ICP	TD-ICP
GXR-1 Meas		31.9	2.30	420	643	1	1380	0.88	2.0	9	19	1100	24.0	12	< 1	0.05	0.21	8	874	15	0.05	43	0.058
GXR-1 Cert		31.0	3.52	427	750	1.22	1380	0.960	3.30	8.20	12.0	1110	23.6	13.8	3.90	0.050	0.217	8.20	852	18.0	0.0520	41.0	0.0650
GXR-1 Meas		32.8	2.57	429	675	1	1450	0.90	1.9	10	16	1130	24.4	13	< 1	0.05	0.21	8	894	16	0.05	45	0.059
GXR-1 Cert		31.0	3.52	427	750	1.22	1380	0.960	3.30	8.20	12.0	1110	23.6	13.8	3.90	0.050	0.217	8.20	852	18.0	0.0520	41.0	0.0650
GXR-4 Meas	0.01	3.5	6.81	112	101	2	15	1.09	0.3	16	49	6530	3.16	17	< 1	2.79	1.68	11	147	319	0.50	44	0.134
GXR-4 Cert	0.00980	4.0	7.20	98.0	1640	1.90	19.0	1.01	0.860	14.6	64.0	6520	3.09	20.0	0.110	4.01	1.66	11.1	155	310	0.564	42.0	0.120
GXR-4 Meas		3.7	6.79	112	143	2	15	1.09	0.3	16	45	6470	3.17	17	< 1	4.65	1.69	11	156	324	0.51	43	0.136
GXR-4 Cert		4.0	7.20	98.0	1640	1.90	19.0	1.01	0.860	14.6	64.0	6520	3.09	20.0	0.110	4.01	1.66	11.1	155	310	0.564	42.0	0.120
PTM-1a Meas	0.22																						
PTM-1a Cert	0.220																						
SDC-1 Meas			8.70	15	630	3		1.12		19	49	29	4.98	22	< 1	2.29	1.00	33	853		1.51	36	0.052
SDC-1 Cert			8.34	0.220	630	3.00		1.00		18.0	64.00	30.000	4.82	21.00	0.20	2.72	1.02	34.00	880.00		1.52	38.0	0.0690
SDC-1 Meas			8.51	16	615	3		1.10		20	46	28	4.88	20	< 1	2.80	0.98	32	872		1.47	36	0.053
SDC-1 Cert			8.34	0.220	630	3.00		1.00		18.0	64.00	30.000	4.82	21.00	0.20	2.72	1.02	34.00	880.00		1.52	38.0	0.0690
GXR-6 Meas		0.3	15.6	246	> 1000	1	< 2	0.23	< 0.3	13	57	60	5.09	31	< 1	1.76	0.63	36	962	1	0.11	24	0.033
GXR-6 Cert		1.30	17.7	330	1300	1.40	0.290	0.180	1.00	13.8	96.0	66.0	5.58	35.0	0.0680	1.87	0.609	32.0	1010	2.40	0.104	27.0	0.0350
GXR-6 Meas		0.3	13.8	295	> 1000	1	2	0.19	< 0.3	15	68	66	5.84	29	< 1	1.90	0.61	33	1080	1	0.10	27	0.038
GXR-6 Cert		1.30	17.7	330	1300	1.40	0.290	0.180	1.00	13.8	96.0	66.0	5.58	35.0	0.0680	1.87	0.609	32.0	1010	2.40	0.104	27.0	0.0350
CD-1 Meas	0.68																						
CD-1 Cert	0.660																						
OREAS 134b (Fusion) Meas	0.02																						
OREAS 134b (Fusion) Cert	0																						
MP-1b Meas	2.31																						
MP-1b Cert	2.30																						
SAR-M (U.S.G.S.) Meas		3.2	6.61	40	781	3	< 2	0.62	4.9	13	87	330	3.30	15		2.45	0.48	28	5400	11	1.17	53	0.060
SAR-M (U.S.G.S.) Cert		3.64	6.30	38.8	801	2.20	1.94	0.61	5.27	10.70	79.7	331.0000	2.99	17		2.94	0.50	27.4	5220	13.1	1.140	41.5	0.07
SAR-M (U.S.G.S.) Meas		3.6	6.58	38	808	3	< 2	0.62	4.9	13	88	323	3.35	16		3.46	0.48	28	5410	12	1.20	50	0.067
SAR-M (U.S.G.S.) Cert		3.64	6.30	38.8	801	2.20	1.94	0.61	5.27	10.70	79.7	331.0000	2.99	17		2.94	0.50	27.4	5220	13.1	1.140	41.5	0.07
DNC-1a Meas					90					55	258	89		13									241
DNC-1a Cert					118					57.0	270	100.00		15									247
DNC-1a Meas					93					57	142	90		13									248
DNC-1a Cert					118					57.0	270	100.00		15									247
CCU-1d Meas																							
CCU-1d Cert																							
CZN-4 Meas	0.04																						
CZN-4 Cert	0.0356																						
SBC-1 Meas				35	548	3	4		< 0.3	24	76	30		25									85
SBC-1 Cert				25.7	788.0	3.20	0.70		0.40	22.7	109	31.0000		27.0									82.8
SBC-1 Meas				27	725	3	3		< 0.3	25	100	30		26									87
SBC-1 Cert				25.7	788.0	3.20	0.70		0.40	22.7	109	31.0000		27.0									82.8
PTC-1b Meas																							
PTC-1b Cert																							
61908 Orig	1.88																						

Analyte Symbol	As	Ag	Al	As	Ba	Be	Bi	Ca	Cd	Co	Cr	Cu	Fe	Ga	Hg	K	Mg	Li	Mn	Mo	Na	Ni	P
Unit Symbol	%	ppm	%	ppm	ppm	ppm	ppm	%	ppm	ppm	ppm	ppm	%	ppm	ppm	%	%	ppm	ppm	ppm	%	ppm	%
Lower Limit	0.01	0.3	0.01	3	7	1	2	0.01	0.3	1	1	1	0.01	1	1	0.01	0.01	1	1	1	0.01	1	0.001
Method Code	FUS-Na2 O2	TD-ICP	TD-ICP	TD-ICP	TD-ICP	TD-ICP	TD-ICP	TD-ICP	TD-ICP	TD-ICP	TD-ICP	TD-ICP	TD-ICP	TD-ICP	TD-ICP	TD-ICP	TD-ICP	TD-ICP	TD-ICP	TD-ICP	TD-ICP	TD-ICP	TD-ICP
61908 Dup	1.89																						
61919 Orig		< 0.3	5.54	< 3	304	< 1	< 2	9.81	< 0.3	14	103	28	2.28	13	< 1	1.15	0.79	9	1590	4	1.02	43	0.029
61919 Dup		< 0.3	5.69	< 3	312	< 1	< 2	9.99	< 0.3	15	103	28	2.33	12	< 1	1.19	0.81	9	1620	2	1.05	43	0.030
61922 Orig		0.7	0.28	47	11	< 1	< 2	0.07	< 0.3	69	308	1060	4.36	1	< 1	< 0.01	0.06	< 1	1700	22	< 0.01	39	0.004
61922 Dup		0.6	0.27	46	10	< 1	< 2	0.07	< 0.3	69	293	1140	4.25	1	< 1	< 0.01	0.06	< 1	1630	22	< 0.01	40	0.004
61949 Orig																							
61949 Dup																							
Method Blank		< 0.3	< 0.01	< 3	< 7	< 1	< 2	< 0.01	< 0.3	< 1		1	< 0.01	< 1	< 1	< 0.01	< 0.01	< 1		< 1	< 0.01	< 1	< 0.001
Method Blank		< 0.3	< 0.01	< 3	< 7	< 1	< 2	< 0.01	< 0.3	< 1		< 1	< 0.01	< 1	< 1	< 0.01	< 0.01	< 1		< 1	< 0.01	< 1	< 0.001
Method Blank		< 0.3	< 0.01	< 3	< 7	< 1	< 2	< 0.01	< 0.3	< 1		< 1	< 0.01	< 1	< 1	< 0.01	< 0.01	< 1		< 1	< 0.01	< 1	< 0.001
Method Blank		< 0.3	< 0.01	< 3	< 7	< 1	< 2	< 0.01	< 0.3	< 1		< 1	< 0.01	< 1	< 1	< 0.01	< 0.01	< 1		< 1	< 0.01	< 1	< 0.001
Method Blank		< 0.3	< 0.01	< 3	< 7	< 1	< 2	< 0.01	< 0.3	< 1		7	< 0.01	< 1	< 1	< 0.01	< 0.01	< 1		2	< 0.01	< 1	< 0.001
Method Blank		< 0.3	< 0.01	< 3	< 7	< 1	< 2	< 0.01	< 0.3	< 1		6	< 0.01	< 1	< 1	< 0.01	< 0.01	< 1		< 1	< 0.01	< 1	< 0.001
Method Blank		< 0.3	< 0.01	< 3	< 7	< 1	< 2	< 0.01	< 0.3	< 1		< 1	< 0.01	< 1	< 1	< 0.01	< 0.01	< 1		< 1	< 0.01	< 1	< 0.001
Method Blank		< 0.3	< 0.01	< 3	< 7	< 1	< 2	< 0.01	< 0.3	< 1													
Method Blank	< 0.01																						

QC

Analyte Symbol	Pb	Sb	S	Sc	Sr	Te	Tl	Tl	U	V	W	Y	Zn	Zr	Zn
Unit Symbol	ppm	ppm	%	ppm	ppm	ppm	%	ppm	ppm	ppm	ppm	ppm	ppm	ppm	%
Lower Limit	3	5	0.01	4	1	2	0.01	5	10	2	5	1	1	5	0.001
Method Code	TD-ICP	TD-ICP	TD-ICP	TD-ICP	TD-ICP	TD-ICP	TD-ICP	TD-ICP	TD-ICP	TD-ICP	TD-ICP	TD-ICP	TD-ICP	TD-ICP	ICP-OES
GXR-1 Meas	718	26	0.24	< 4	277	15	0.03	< 5	40	86	152	28	713	22	
GXR-1 Cert	730	122	0.257	1.58	275	13.0	0.036	0.390	34.9	80.0	164	32.0	760	38.0	
GXR-1 Meas	738	32	0.25	< 4	285	15	0.03	< 5	40	89	172	29	730	22	
GXR-1 Cert	730	122	0.257	1.58	275	13.0	0.036	0.390	34.9	80.0	164	32.0	760	38.0	
GXR-4 Meas	45	< 5	1.79	8	210	5	0.29	< 5	< 10	93	43	14	71	41	
GXR-4 Cert	52.0	4.80	1.77	7.70	221	0.970	0.29	3.20	6.20	87.0	30.8	14.0	73.0	186	
GXR-4 Meas	43	< 5	1.83	8	218	10	0.28	< 5	< 10	94	42	14	71	35	
GXR-4 Cert	52.0	4.80	1.77	7.70	221	0.970	0.29	3.20	6.20	87.0	30.8	14.0	73.0	186	
PTM-1a Meas															
PTM-1a Cert															
SDC-1 Meas	21	< 5		17	174		0.09	< 5	< 10	41	< 5		99	20	
SDC-1 Cert	25.00	0.54		17.00	180.00		0.606	0.70	3.10	102.00	0.80		103.00	290.00	
SDC-1 Meas	20	< 5		17	173		0.18	< 5	< 10	47	< 5		99	30	
SDC-1 Cert	25.00	0.54		17.00	180.00		0.606	0.70	3.10	102.00	0.80		103.00	290.00	
GXR-6 Meas	81	< 5	0.01	26	48	< 2		< 5	< 10	127	< 5	12	114	69	
GXR-6 Cert	101	3.60	0.0160	27.6	35.0	0.0180		2.20	1.54	186	1.90	14.0	118	110	
GXR-6 Meas	93	< 5	0.02	29	41	3		< 5	< 10	174	< 5	12	126	81	
GXR-6 Cert	101	3.60	0.0160	27.6	35.0	0.0180		2.20	1.54	186	1.90	14.0	118	110	
CD-1 Meas															
CD-1 Cert															
OREAS 134b (Fusion) Meas															
OREAS 134b (Fusion) Cert															
MP-1b Meas															16.7
MP-1b Cert															16.67
SAR-M (U.S.G.S.) Meas	1010	5		9	156	9	0.37	< 5	< 10	70	18	32	985		

Analyte Symbol	Pb	Sb	S	Sc	Sr	Te	Ti	Tl	U	V	W	Y	Zn	Zr	Zn
Unit Symbol	ppm	ppm	%	ppm	ppm	ppm	%	ppm	ppm	ppm	ppm	ppm	ppm	ppm	%
Lower Limit	3	5	0.01	4	1	2	0.01	5	10	2	5	1	1	5	0.001
Method Code	TD-ICP	TD-ICP	TD-ICP	TD-ICP	TD-ICP	TD-ICP	TD-ICP	TD-ICP	TD-ICP	TD-ICP	TD-ICP	TD-ICP	TD-ICP	TD-ICP	ICP-OES
SAR-M (U.S.G.S.) Cert	982	6.0		7.83	151	0.96	0.38	2.7	3.57	67.2	9.78	28.00	930.0		
SAR-M (U.S.G.S.) Meas	1010	7		9	155	5	0.38	< 5	< 10	73	20	32	970		
SAR-M (U.S.G.S.) Cert	982	6.0		7.83	151	0.96	0.38	2.7	3.57	67.2	9.78	28.00	930.0		
DNC-1a Meas	< 3	< 5		31	122		0.26			136		15	54	34	
DNC-1a Cert	6.3	0.96		31	144.0		0.29			148.00		18.0	70.0	38.000	
DNC-1a Meas	5	< 5		31	127		0.28			142		15	55	34	
DNC-1a Cert	6.3	0.96		31	144.0		0.29			148.00		18.0	70.0	38.000	
CCU-1d Meas															2.58
CCU-1d Cert															2.63
CZN-4 Meas															55.2
CZN-4 Cert															55.07
SBC-1 Meas	27	< 5		21	168		0.47	< 5	< 10	213	< 5	31	171	103	
SBC-1 Cert	35.0	1.01		20.0	178.0		0.51	0.89	5.76	220.0	1.60	36.5	186.0	134.0	
SBC-1 Meas	27	< 5		23	177		0.52	< 5	< 10	225	< 5	32	175	110	
SBC-1 Cert	35.0	1.01		20.0	178.0		0.51	0.89	5.76	220.0	1.60	36.5	186.0	134.0	
PTC-1b Meas															0.215
PTC-1b Cert															0.2083
61908 Orig															
61908 Dup															
61919 Orig	< 3	< 5	0.04	10	123	< 2	0.24	< 5	< 10	102	< 5	10	27	42	
61919 Dup	< 3	< 5	0.04	10	127	< 2	0.20	< 5	< 10	89	< 5	10	27	41	
61922 Orig	< 3	< 5	2.65	< 4	< 1	2	< 0.01	< 5	< 10	7	< 5	3	3	< 5	
61922 Dup	< 3	< 5	2.65	< 4	< 1	< 2	< 0.01	< 5	< 10	7	< 5	3	2	< 5	
61949 Orig															1.74
61949 Dup															1.73
Method Blank	< 3	< 5	< 0.01	< 4	< 1	< 2	< 0.01	< 5	< 10	< 2	< 5	< 1	< 1	< 5	
Method Blank	< 3	< 5	< 0.01	< 4	< 1	< 2	< 0.01	< 5	< 10	< 2	< 5	< 1	< 1	< 5	
Method Blank	< 3	< 5	< 0.01	< 4	< 1	< 2	< 0.01	< 5	< 10	< 2	< 5	< 1	< 1	< 5	
Method Blank	< 3	< 5	< 0.01	< 4	< 1	< 2	< 0.01	< 5	< 10	< 2	< 5	< 1	< 1	< 5	
Method Blank	< 3	< 5	< 0.01	< 4	< 1	< 2	< 0.01	< 5	< 10	< 2	< 5	< 1	< 1	< 5	
Method Blank	< 3	< 5	< 0.01	< 4	< 1	< 2	< 0.01	< 5	< 10	< 2	< 5	< 1	< 1	< 5	
Method Blank															< 0.001
Method Blank															

Quality Analysis ...



Innovative Technologies

Date Submitted: 03-Jul-15
Invoice No.: A15-04853
Invoice Date: 10-Jul-15
Your Reference: 35500 SG15-0946 VISIBLE GOLD

Techni-Lab Abitibi Inc.(Actlabs)
184 Rue Principale
Ste-Germaine-Boule Quebec J0Z 1M0
Canada

ATTN: Andre Caouette

CERTIFICATE OF ANALYSIS

14 Pulp samples were submitted for analysis.

The following analytical package was requested:

Code 1F2 Total Digestion ICP(TOTAL)

REPORT **A15-04853**

This report may be reproduced without our consent. If only selected portions of the report are reproduced, permission must be obtained. If no instructions were given at time of sample submittal regarding excess material, it will be discarded within 90 days of this report. Our liability is limited solely to the analytical cost of these analyses. Test results are representative only of material submitted for analysis.

Notes:

Values which exceed the upper limit should be assayed for accurate numbers.

CERTIFIED BY:

A handwritten signature in black ink, appearing to read "Emmanuel Esemé". The signature is written in a cursive style with some loops and flourishes.

Emmanuel Esemé , Ph.D.
Quality Control

ACTIVATION LABORATORIES LTD.
41 Bittern Street, Ancaster, Ontario, Canada, L9G 4V5
TELEPHONE +905 648-9611 or +1.888.228.5227 FAX +1.905.648.9613
E-MAIL Ancaster@actlabs.com ACTLABS GROUP WEBSITE www.actlabs.com



Results

Analyte Symbol	Ag	Al	As	Ba	Be	Bi	Ca	Cd	Co	Cr	Cu	Fe	Ga	Hg	K	Mg	Li	Mn	Mo	Na	Ni	P	Pb
Unit Symbol	ppm	%	ppm	ppm	ppm	ppm	%	ppm	ppm	ppm	ppm	%	ppm	ppm	%	%	ppm	ppm	ppm	%	ppm	%	ppm
Lower Limit	0.3	0.01	3	7	1	2	0.01	0.3	1	1	1	0.01	1	1	0.01	0.01	1	1	1	0.01	1	0.001	3
Method Code	TD-ICP	TD-ICP	TD-ICP	TD-ICP	TD-ICP	TD-ICP	TD-ICP	TD-ICP	TD-ICP	TD-ICP	TD-ICP	TD-ICP	TD-ICP	TD-ICP	TD-ICP	TD-ICP	TD-ICP	TD-ICP	TD-ICP	TD-ICP	TD-ICP	TD-ICP	TD-ICP
62101	< 0.3	5.88	4	32	< 1	5	2.23	< 0.3	59	200	221	17.0	15	< 1	0.31	1.73	20	6470	6	0.21	122	0.028	3
62102	< 0.3	7.08	4	31	< 1	4	7.39	< 0.3	56	167	162	16.3	18	< 1	0.25	2.66	26	6700	3	0.50	88	0.025	4
62103	< 0.3	8.51	17	217	2	3	5.42	< 0.3	49	240	209	8.50	17	< 1	1.01	3.81	22	1350	2	2.22	110	0.030	8
62104	< 0.3	7.63	4	650	1	< 2	0.05	< 0.3	7	229	9	2.05	15	< 1	2.94	0.23	3	66	24	0.05	39	0.013	< 3
62105	0.6	7.28	< 3	106	2	4	2.74	0.3	12	209	165	10.6	30	< 1	0.64	2.27	32	686	1	2.38	20	0.056	115
62106	< 0.3	7.12	< 3	254	1	3	4.24	< 0.3	45	96	231	8.57	16	< 1	0.80	1.85	8	868	< 1	2.93	25	0.090	9
62107	0.7	1.81	10	16	< 1	< 2	0.09	< 0.3	13	261	84	4.49	6	< 1	0.17	0.31	8	145	25	0.64	31	0.012	34
62108	0.7	4.07	10	62	25	5	3.94	< 0.3	57	229	218	13.8	14	< 1	0.30	0.49	3	596	20	0.82	121	0.024	13
62109	1.1	6.08	6	161	2	3	1.56	< 0.3	23	153	154	3.90	15	< 1	0.93	0.70	15	243	19	2.48	44	0.034	9
62110	4.5	5.27	< 3	52	12	103	2.80	< 0.3	45	194	233	10.4	25	< 1	0.47	0.20	9	630	15	2.08	11	0.274	78
62111	3.2	6.33	7	114	< 1	< 2	2.54	< 0.3	27	173	311	9.56	19	< 1	0.50	0.68	13	349	36	2.46	100	0.038	7
62112	0.4	7.42	29	217	1	< 2	3.69	< 0.3	25	211	127	6.44	19	< 1	0.92	1.32	8	660	48	3.12	49	0.041	10
62113	< 0.3	0.32	25	< 7	< 1	< 2	3.13	< 0.3	19	181	129	17.8	3	< 1	0.04	1.05	20	4680	11	0.04	111	0.007	6
62114	0.5	7.73	6	306	3	< 2	0.12	< 0.3	22	342	35	3.10	41	< 1	3.63	0.67	19	119	171	0.04	54	0.059	< 3

Results

Analyte Symbol	Sb	S	Sc	Sr	Te	Ti	Tl	U	V	W	Y	Zn	Zr
Unit Symbol	ppm	%	ppm	ppm	ppm	%	ppm	ppm	ppm	ppm	ppm	ppm	ppm
Lower Limit	5	0.01	4	1	2	0.01	5	10	2	5	1	1	5
Method Code	TD-ICP	TD-ICP	TD-ICP	TD-ICP	TD-ICP	TD-ICP	TD-ICP	TD-ICP	TD-ICP	TD-ICP	TD-ICP	TD-ICP	TD-ICP
62101	< 5	1.61	40	3	14	0.58	< 5	< 10	322	< 5	24	91	37
62102	< 5	0.96	39	14	7	0.69	< 5	< 10	304	< 5	20	119	30
62103	< 5	2.43	43	191	8	0.59	< 5	< 10	272	< 5	20	100	21
62104	< 5	0.02	6	21	< 2	0.12	< 5	< 10	38	< 5	35	12	22
62105	< 5	0.81	38	152	7	0.49	< 5	< 10	274	< 5	14	185	72
62106	< 5	1.43	37	293	7	0.51	< 5	10	100	< 5	36	60	22
62107	< 5	2.21	4	15	5	0.05	< 5	< 10	15	< 5	1	64	45
62108	< 5	5.46	15	304	12	0.26	< 5	< 10	54	< 5	8	58	75
62109	< 5	1.88	10	112	5	0.22	< 5	< 10	45	< 5	10	60	127
62110	< 5	4.73	19	645	14	0.31	< 5	< 10	197	< 5	39	29	115
62111	< 5	4.51	13	188	10	0.27	< 5	10	82	< 5	10	94	133
62112	< 5	2.18	21	170	7	0.34	< 5	10	78	< 5	13	101	112
62113	< 5	5.27	< 4	43	10	0.01	< 5	< 10	8	< 5	7	55	11
62114	< 5	1.12	12	14	3	0.32	< 5	< 10	95	< 5	11	14	164

QC

Analyte Symbol	Ag	Al	As	Ba	Be	Bi	Ca	Cd	Co	Cr	Cu	Fe	Ga	Hg	K	Mg	Li	Mn	Mo	Na	Ni	P	Pb
Unit Symbol	ppm	%	ppm	ppm	ppm	ppm	%	ppm	ppm	ppm	ppm	%	ppm	ppm	%	%	ppm	ppm	ppm	%	ppm	%	ppm
Lower Limit	0.3	0.01	3	7	1	2	0.01	0.3	1	1	1	0.01	1	1	0.01	0.01	1	1	1	0.01	1	0.001	3
Method Code	TD-ICP	TD-ICP	TD-ICP	TD-ICP	TD-ICP	TD-ICP	TD-ICP	TD-ICP	TD-ICP	TD-ICP	TD-ICP	TD-ICP	TD-ICP	TD-ICP	TD-ICP	TD-ICP	TD-ICP	TD-ICP	TD-ICP	TD-ICP	TD-ICP	TD-ICP	TD-ICP
GXR-1 Meas	31.9	2.30	420	643	1	1380	0.88	2.0	9	19	1100	24.0	12	< 1	0.05	0.21	8	874	15	0.05	43	0.058	718
GXR-1 Cert	31.0	3.52	427	750	1.22	1380	0.960	3.30	8.20	12.0	1110	23.6	13.8	3.90	0.050	0.217	8.20	852	18.0	0.0520	41.0	0.0650	730
GXR-1 Meas	32.8	2.57	429	675	1	1450	0.90	1.9	10	16	1130	24.4	13	< 1	0.05	0.21	8	894	16	0.05	45	0.059	738
GXR-1 Cert	31.0	3.52	427	750	1.22	1380	0.960	3.30	8.20	12.0	1110	23.6	13.8	3.90	0.050	0.217	8.20	852	18.0	0.0520	41.0	0.0650	730
GXR-4 Meas	3.5	6.81	112	101	2	15	1.09	0.3	16	49	6530	3.16	17	< 1	2.79	1.68	11	147	319	0.50	44	0.134	45
GXR-4 Cert	4.0	7.20	98.0	1640	1.90	19.0	1.01	0.860	14.6	64.0	6520	3.09	20.0	0.110	4.01	1.66	11.1	155	310	0.564	42.0	0.120	52.0
GXR-4 Meas	3.7	6.79	112	143	2	15	1.09	0.3	16	45	6470	3.17	17	< 1	4.65	1.69	11	156	324	0.51	43	0.136	43
GXR-4 Cert	4.0	7.20	98.0	1640	1.90	19.0	1.01	0.860	14.6	64.0	6520	3.09	20.0	0.110	4.01	1.66	11.1	155	310	0.564	42.0	0.120	52.0
SDC-1 Meas		8.70	15	630	3		1.12		19	49	29	4.98	22	< 1	2.29	1.00	33	853		1.51	36	0.052	21
SDC-1 Cert		8.34	0.220	630	3.00		1.00		18.0	64.00	30.000	4.82	21.00	0.20	2.72	1.02	34.00	880.00		1.52	38.0	0.0690	25.00
SDC-1 Meas		8.51	16	615	3		1.10		20	46	28	4.88	20	< 1	2.80	0.98	32	872		1.47	36	0.053	20
SDC-1 Cert		8.34	0.220	630	3.00		1.00		18.0	64.00	30.000	4.82	21.00	0.20	2.72	1.02	34.00	880.00		1.52	38.0	0.0690	25.00
GXR-6 Meas	0.3	15.6	246	> 1000	1	< 2	0.23	< 0.3	13	57	60	5.09	31	< 1	1.76	0.63	36	962	1	0.11	24	0.033	81
GXR-6 Cert	1.30	17.7	330	1300	1.40	0.290	0.180	1.00	13.8	96.0	66.0	5.58	35.0	0.0680	1.87	0.609	32.0	1010	2.40	0.104	27.0	0.0350	101
GXR-6 Meas	0.3	13.8	295	> 1000	1	2	0.19	< 0.3	15	68	66	5.84	29	< 1	1.90	0.61	33	1080	1	0.10	27	0.038	93
GXR-6 Cert	1.30	17.7	330	1300	1.40	0.290	0.180	1.00	13.8	96.0	66.0	5.58	35.0	0.0680	1.87	0.609	32.0	1010	2.40	0.104	27.0	0.0350	101
SAR-M (U.S.G.S.) Meas	3.2	6.61	40	781	3	< 2	0.62	4.9	13	87	330	3.30	15		2.45	0.48	28	5400	11	1.17	53	0.060	1010
SAR-M (U.S.G.S.) Cert	3.64	6.30	38.8	801	2.20	1.94	0.61	5.27	10.70	79.7		2.99	17		2.94	0.50	27.4	5220	13.1	1.140	41.5	0.07	982
SAR-M (U.S.G.S.) Meas	3.6	6.58	38	808	3	< 2	0.62	4.9	13	88	323	3.35	16		3.46	0.48	28	5410	12	1.20	50	0.067	1010
SAR-M (U.S.G.S.) Cert	3.64	6.30	38.8	801	2.20	1.94	0.61	5.27	10.70	79.7		2.99	17		2.94	0.50	27.4	5220	13.1	1.140	41.5	0.07	982
DNC-1a Meas				90					55	258	89		13				4				241		< 3
DNC-1a Cert				118					57.0	270	100.00		15				5.20				247		6.3
DNC-1a Meas				93					57	142	90		13				4				248		5
DNC-1a Cert				118					57.0	270	100.00		15				5.20				247		6.3
SBC-1 Meas			35	548	3	4		< 0.3	24	76	30		25				137		3		85		27
SBC-1 Cert			25.7	788.0	3.20	0.70		0.40	22.7	109	31.0000		27.0				163.0		2.40		82.8		35.0
SBC-1 Meas			27	725	3	3		< 0.3	25	100	30		26				145		2		87		27
SBC-1 Cert			25.7	788.0	3.20	0.70		0.40	22.7	109	31.0000		27.0				163.0		2.40		82.8		35.0
Method Blank	< 0.3	< 0.01	< 3	< 7	< 1	< 2	< 0.01	< 0.3	< 1		1	< 0.01	< 1	< 1	< 0.01	< 0.01	< 1		< 1	< 0.01	< 1	< 0.001	< 3
Method Blank	< 0.3	< 0.01	< 3	< 7	< 1	< 2	< 0.01	< 0.3	< 1		< 1	< 0.01	< 1	< 1	< 0.01	< 0.01	< 1		< 1	< 0.01	< 1	< 0.001	< 3
Method Blank	< 0.3	< 0.01	< 3	< 7	< 1	< 2	< 0.01	< 0.3	< 1		< 1	< 0.01	< 1	< 1	< 0.01	< 0.01	< 1		< 1	< 0.01	< 1	< 0.001	< 3
Method Blank	< 0.3	< 0.01	< 3	< 7	< 1	< 2	< 0.01	< 0.3	< 1		< 1	< 0.01	< 1	< 1	< 0.01	< 0.01	< 1		< 1	< 0.01	< 1	< 0.001	< 3
Method Blank	< 0.3	< 0.01	< 3	< 7	< 1	< 2	< 0.01	< 0.3	< 1		7	< 0.01	< 1	< 1	< 0.01	< 0.01	< 1		2	< 0.01	< 1	< 0.001	< 3
Method Blank	< 0.3	< 0.01	< 3	< 7	< 1	< 2	< 0.01	< 0.3	< 1		6	< 0.01	< 1	< 1	< 0.01	< 0.01	< 1		< 1	< 0.01	< 1	< 0.001	< 3
Method Blank	< 0.3	< 0.01	< 3	< 7	< 1	< 2	< 0.01	< 0.3	< 1		< 1	< 0.01	< 1	< 1	< 0.01	< 0.01	< 1		< 1	< 0.01	< 1	< 0.001	< 3

QC

Analyte Symbol	Sb	S	Sc	Sr	Te	Tl	Tl	U	V	W	Y	Zn	Zr
Unit Symbol	ppm	%	ppm	ppm	ppm	%	ppm	ppm	ppm	ppm	ppm	ppm	ppm
Lower Limit	5	0.01	4	1	2	0.01	5	10	2	5	1	1	5
Method Code	TD-ICP	TD-ICP	TD-ICP	TD-ICP	TD-ICP	TD-ICP	TD-ICP	TD-ICP	TD-ICP	TD-ICP	TD-ICP	TD-ICP	TD-ICP
GXR-1 Meas	26	0.24	< 4	277	15	0.03	< 5	40	86	152	28	713	22
GXR-1 Cert	122	0.257	1.58	275	13.0	0.036	0.390	34.9	80.0	164	32.0	760	38.0
GXR-1 Meas	32	0.25	< 4	285	15	0.03	< 5	40	89	172	29	730	22
GXR-1 Cert	122	0.257	1.58	275	13.0	0.036	0.390	34.9	80.0	164	32.0	760	38.0

Analyte Symbol	Sb	S	Sc	Sr	Te	Ti	Tl	U	V	W	Y	Zn	Zr
Unit Symbol	ppm	%	ppm	ppm	ppm	%	ppm	ppm	ppm	ppm	ppm	ppm	ppm
Lower Limit	5	0.01	4	1	2	0.01	5	10	2	5	1	1	5
Method Code	TD-ICP	TD-ICP	TD-ICP	TD-ICP	TD-ICP	TD-ICP	TD-ICP	TD-ICP	TD-ICP	TD-ICP	TD-ICP	TD-ICP	TD-ICP
GXR-4 Meas	< 5	1.79	8	210	5	0.29	< 5	< 10	93	43	14	71	41
GXR-4 Cert	4.80	1.77	7.70	221	0.970	0.29	3.20	6.20	87.0	30.8	14.0	73.0	186
GXR-4 Meas	< 5	1.83	8	218	10	0.28	< 5	< 10	94	42	14	71	35
GXR-4 Cert	4.80	1.77	7.70	221	0.970	0.29	3.20	6.20	87.0	30.8	14.0	73.0	186
SDC-1 Meas	< 5		17	174		0.09	< 5	< 10	41	< 5		99	20
SDC-1 Cert	0.54		17.00	180.00		0.606	0.70	3.10	102.00	0.80		103.00	290.00
SDC-1 Meas	< 5		17	173		0.18	< 5	< 10	47	< 5		99	30
SDC-1 Cert	0.54		17.00	180.00		0.606	0.70	3.10	102.00	0.80		103.00	290.00
GXR-6 Meas	< 5	0.01	26	48	< 2		< 5	< 10	127	< 5	12	114	69
GXR-6 Cert	3.60	0.0160	27.6	35.0	0.0180		2.20	1.54	186	1.90	14.0	118	110
GXR-6 Meas	< 5	0.02	29	41	3		< 5	< 10	174	< 5	12	126	81
GXR-6 Cert	3.60	0.0160	27.6	35.0	0.0180		2.20	1.54	186	1.90	14.0	118	110
SAR-M (U.S.G.S.) Meas	5		9	156	9	0.37	< 5	< 10	70	18	32	985	
SAR-M (U.S.G.S.) Cert	6.0		7.83	151	0.96	0.38	2.7	3.57	67.2	9.78	28.00	930.0	
SAR-M (U.S.G.S.) Meas	7		9	155	5	0.38	< 5	< 10	73	20	32	970	
SAR-M (U.S.G.S.) Cert	6.0		7.83	151	0.96	0.38	2.7	3.57	67.2	9.78	28.00	930.0	
DNC-1a Meas	< 5		31	122		0.26			136		15	54	34
DNC-1a Cert	0.96		31	144.0		0.29			148.00		18.0	70.0	38.000
DNC-1a Meas	< 5		31	127		0.28			142		15	55	34
DNC-1a Cert	0.96		31	144.0		0.29			148.00		18.0	70.0	38.000
SBC-1 Meas	< 5		21	168		0.47	< 5	< 10	213	< 5	31	171	103
SBC-1 Cert	1.01		20.0	178.0		0.51	0.89	5.76	220.0	1.60	36.5	186.0	134.0
SBC-1 Meas	< 5		23	177		0.52	< 5	< 10	225	< 5	32	175	110
SBC-1 Cert	1.01		20.0	178.0		0.51	0.89	5.76	220.0	1.60	36.5	186.0	134.0
Method Blank	< 5	< 0.01	< 4	< 1	< 2	< 0.01	< 5	< 10	< 2	< 5	< 1	< 1	< 5
Method Blank	< 5	< 0.01	< 4	< 1	< 2	< 0.01	< 5	< 10	< 2	< 5	< 1	< 1	< 5
Method Blank	< 5	< 0.01	< 4	< 1	< 2	< 0.01	< 5	< 10	< 2	< 5	< 1	< 1	< 5
Method Blank	< 5	< 0.01	< 4	< 1	< 2	< 0.01	< 5	< 10	< 2	< 5	< 1	< 1	< 5
Method Blank	< 5	< 0.01	< 4	< 1	< 2	< 0.01	< 5	< 10	< 2	< 5	< 1	< 1	< 5
Method Blank	< 5	< 0.01	< 4	< 1	< 2	< 0.01	< 5	< 10	< 2	< 5	< 1	< 1	< 5

Quality Analysis ...



Innovative Technologies

Date Submitted: 03-Jul-15
Invoice No.: A15-04854
Invoice Date: 10-Jul-15
Your Reference: 35501 SG15-0947 VISIBLE GOLD

Techni-Lab Abitibi Inc.(Actlabs)
184 Rue Principale,
Ste-Germaine-Boule Quebec J0Z 1M0 Canada

ATTN: Andre Caouette

CERTIFICATE OF ANALYSIS

18 Pulp samples were submitted for analysis.

The following analytical package was requested:

Code 1F2 Total Digestion ICP(TOTAL)

REPORT **A15-04854**

This report may be reproduced without our consent. If only selected portions of the report are reproduced, permission must be obtained. If no instructions were given at time of sample submittal regarding excess material, it will be discarded within 90 days of this report. Our liability is limited solely to the analytical cost of these analyses. Test results are representative only of material submitted for analysis.

Notes:

Values which exceed the upper limit should be assayed for accurate numbers.

CERTIFIED BY:

A handwritten signature in black ink, appearing to read "Emmanuel Eserne". The signature is written in a cursive style and is positioned above a horizontal line.

Emmanuel Eserne , Ph.D.
Quality Control

ACTIVATION LABORATORIES LTD.
41 Bittern Street, Ancaster, Ontario, Canada, L9G 4V5
TELEPHONE +905 648-9611 or +1.888.228.5227 FAX +1.905.648.9613
E-MAIL Ancaster@actlabs.com ACTLABS GROUP WEBSITE www.actlabs.com



Results

Analyte Symbol	Ag	Al	As	Ba	Be	Bi	Ca	Cd	Co	Cr	Cu	Fe	Ga	Hg	K	Mg	Li	Mn	Mo	Na	Ni	P	Pb
Unit Symbol	ppm	%	ppm	ppm	ppm	ppm	%	ppm	ppm	ppm	ppm	%	ppm	ppm	%	%	ppm	ppm	ppm	%	ppm	%	ppm
Lower Limit	0.3	0.01	3	7	1	2	0.01	0.3	1	1	1	0.01	1	1	0.01	0.01	1	1	1	0.01	1	0.001	3
Method Code	TD-ICP	TD-ICP	TD-ICP	TD-ICP	TD-ICP	TD-ICP	TD-ICP	TD-ICP	TD-ICP	TD-ICP	TD-ICP	TD-ICP	TD-ICP	TD-ICP	TD-ICP	TD-ICP	TD-ICP	TD-ICP	TD-ICP	TD-ICP	TD-ICP	TD-ICP	TD-ICP
61849	0.5	8.09	< 3	28	2	< 2	0.38	0.4	24	70	81	8.65	17	< 1	3.92	1.31	48	272	10	0.76	118	0.049	21
61850	< 0.3	6.83	< 3	65	< 1	3	5.90	< 0.3	46	222	62	8.99	15	< 1	0.29	4.00	11	1310	8	1.25	59	0.023	< 3
62151	1.0	6.91	20	45	< 1	< 2	1.94	1.5	49	93	212	9.53	16	< 1	0.37	1.00	20	456	146	2.73	98	0.052	70
62152	< 0.3	6.24	21	178	< 1	2	2.28	0.4	212	556	107	11.6	14	< 1	0.64	5.01	35	1510	9	0.08	675	0.034	4
62153	0.8	6.14	1170	58	< 1	< 2	3.72	4.3	67	136	228	8.73	19	< 1	1.44	1.49	18	1380	18	0.61	60	0.041	7
62154	0.8	1.62	9	10	< 1	< 2	0.51	< 0.3	90	355	301	13.6	6	< 1	0.05	0.46	10	172	27	0.44	129	0.003	18
62155	0.8	6.99	< 3	263	2	2	1.63	2.9	15	257	156	4.75	19	< 1	1.36	0.68	25	261	28	2.16	29	0.042	62
62156	0.4	2.08	4	23	2	< 2	0.35	6.8	21	597	202	4.22	8	< 1	0.14	0.31	10	164	53	0.90	43	0.053	33
62157	< 0.3	5.77	< 3	498	5	4	5.82	0.3	21	98	45	17.7	25	< 1	0.98	0.86	3	1630	3	2.07	7	0.336	25
62158	1.4	4.29	27	32	< 1	< 2	0.38	7.6	17	442	371	3.82	9	< 1	0.45	0.11	7	103	58	2.22	45	0.030	187
62212	< 0.3	4.13	< 3	< 7	< 1	< 2	3.86	< 0.3	74	2100	47	7.49	8	< 1	0.24	12.1	7	1020	5	0.70	805	0.014	< 3
62213	0.3	10.3	< 3	668	3	< 2	0.17	< 0.3	14	395	8	3.15	28	< 1	3.08	0.58	14	46	5	0.06	83	0.072	< 3
62214	< 0.3	5.82	< 3	932	< 1	< 2	0.06	< 0.3	2	240	16	0.30	8	< 1	2.74	0.03	< 1	33	20	1.60	7	0.016	21
62215	< 0.3	0.13	< 3	< 7	< 1	< 2	0.02	< 0.3	21	784	10	0.90	< 1	< 1	0.03	0.02	< 1	60	61	0.05	27	0.001	< 3
62216	< 0.3	6.45	< 3	901	< 1	< 2	0.06	< 0.3	3	137	8	0.54	10	< 1	2.86	0.06	1	37	22	2.54	8	0.010	16
62217	< 0.3	0.04	4	< 7	< 1	< 2	0.02	< 0.3	1	722	144	0.61	< 1	< 1	0.01	< 0.01	< 1	62	59	0.03	16	0.001	< 3
62218	0.8	7.23	12	165	6	< 2	1.48	< 0.3	20	250	94	3.80	20	< 1	3.49	0.93	21	314	23	0.59	46	0.053	18
62219	< 0.3	7.58	3	> 1000	3	< 2	0.29	< 0.3	3	234	43	2.53	21	< 1	3.84	0.57	27	118	26	0.14	25	0.017	5

Results

Analyte Symbol	Sb	S	Sc	Sr	Te	Ti	Tl	U	V	W	Y	Zn	Zr
Unit Symbol	ppm	%	ppm	ppm	ppm	%	ppm	ppm	ppm	ppm	ppm	ppm	ppm
Lower Limit	5	0.01	4	1	2	0.01	5	10	2	5	1	1	5
Method Code	TD-ICP	TD-ICP	TD-ICP	TD-ICP	TD-ICP	TD-ICP	TD-ICP	TD-ICP	TD-ICP	TD-ICP	TD-ICP	TD-ICP	TD-ICP
61849	< 5	6.39	11	77	5	0.23	< 5	< 10	61	7	13	254	157
61850	< 5	0.13	45	83	13	0.48	< 5	< 10	276	< 5	18	64	30
62151	< 5	6.09	19	101	5	0.23	< 5	20	58	7	9	257	115
62152	< 5	1.51	27	83	7	0.42	< 5	< 10	168	< 5	17	194	103
62153	< 5	5.29	15	149	4	0.29	< 5	< 10	97	7	13	1400	87
62154	< 5	13.3	6	28	8	0.12	< 5	< 10	58	< 5	3	109	19
62155	< 5	1.38	11	145	4	0.30	< 5	< 10	37	14	12	769	176
62156	< 5	2.52	< 4	22	< 2	0.09	< 5	< 10	22	< 5	7	2100	49
62157	< 5	0.34	55	443	10	0.45	< 5	< 10	13	< 5	133	96	50
62158	< 5	2.23	7	54	5	0.14	< 5	< 10	27	15	9	1010	91
62212	< 5	0.21	26	11	6	0.22	< 5	< 10	143	< 5	8	81	26
62213	< 5	0.02	26	9	6	0.36	< 5	< 10	141	< 5	10	7	134
62214	< 5	0.02	< 4	111	< 2	< 0.01	< 5	< 10	2	< 5	3	3	13
62215	< 5	0.18	< 4	11	3	< 0.01	< 5	< 10	9	< 5	< 1	3	< 5
62216	< 5	0.03	4	115	< 2	< 0.01	< 5	< 10	12	< 5	1	4	11
62217	< 5	0.02	< 4	5	< 2	< 0.01	< 5	< 10	4	< 5	< 1	2	< 5
62218	< 5	1.40	11	431	< 2	0.26	< 5	10	66	< 5	9	39	98
62219	< 5	0.23	7	94	< 2	0.12	< 5	< 10	33	< 5	5	14	69

QC

Analyte Symbol	Ag	Al	As	Ba	Be	Bi	Ca	Cd	Co	Cr	Cu	Fe	Ga	Hg	K	Mg	Li	Mn	Mo	Na	Ni	P	Pb
Unit Symbol	ppm	%	ppm	ppm	ppm	ppm	%	ppm	ppm	ppm	ppm	%	ppm	ppm	%	%	ppm	ppm	ppm	%	ppm	%	ppm
Lower Limit	0.3	0.01	3	7	1	2	0.01	0.3	1	1	1	0.01	1	1	0.01	0.01	1	1	1	0.01	1	0.001	3
Method Code	TD-ICP	TD-ICP	TD-ICP	TD-ICP	TD-ICP	TD-ICP	TD-ICP	TD-ICP	TD-ICP	TD-ICP	TD-ICP	TD-ICP	TD-ICP	TD-ICP	TD-ICP	TD-ICP	TD-ICP	TD-ICP	TD-ICP	TD-ICP	TD-ICP	TD-ICP	TD-ICP
GXR-1 Meas	31.9	2.30	420	643	1	1380	0.88	2.0	9	19	1100	24.0	12	< 1	0.05	0.21	8	874	15	0.05	43	0.058	718
GXR-1 Cert	31.0	3.52	427	750	1.22	1380	0.960	3.30	8.20	12.0	1110	23.6	13.8	3.90	0.050	0.217	8.20	852	18.0	0.0520	41.0	0.0650	730
GXR-1 Meas	32.8	2.57	429	675	1	1450	0.90	1.9	10	16	1130	24.4	13	< 1	0.05	0.21	8	894	16	0.05	45	0.059	738
GXR-1 Cert	31.0	3.52	427	750	1.22	1380	0.960	3.30	8.20	12.0	1110	23.6	13.8	3.90	0.050	0.217	8.20	852	18.0	0.0520	41.0	0.0650	730
GXR-4 Meas	3.5	6.81	112	101	2	15	1.09	0.3	16	49	6530	3.16	17	< 1	2.79	1.68	11	147	319	0.50	44	0.134	45
GXR-4 Cert	4.0	7.20	98.0	1640	1.90	19.0	1.01	0.860	14.6	64.0	6520	3.09	20.0	0.110	4.01	1.66	11.1	155	310	0.564	42.0	0.120	52.0
GXR-4 Meas	3.7	6.79	112	143	2	15	1.09	0.3	16	45	6470	3.17	17	< 1	4.65	1.69	11	156	324	0.51	43	0.136	43
GXR-4 Cert	4.0	7.20	98.0	1640	1.90	19.0	1.01	0.860	14.6	64.0	6520	3.09	20.0	0.110	4.01	1.66	11.1	155	310	0.564	42.0	0.120	52.0
SDC-1 Meas		8.70	15	630	3		1.12		19	49	29	4.98	22	< 1	2.29	1.00	33	853		1.51	36	0.052	21
SDC-1 Cert		8.34	0.220	630	3.00		1.00		18.0	64.00	30.000	4.82	21.00	0.20	2.72	1.02	34.00	880.00		1.52	38.0	0.0690	25.00
SDC-1 Meas		8.51	16	615	3		1.10		20	46	28	4.88	20	< 1	2.80	0.98	32	872		1.47	36	0.053	20
SDC-1 Cert		8.34	0.220	630	3.00		1.00		18.0	64.00	30.000	4.82	21.00	0.20	2.72	1.02	34.00	880.00		1.52	38.0	0.0690	25.00
GXR-6 Meas	0.3	15.6	246	> 1000	1	< 2	0.23	< 0.3	13	57	60	5.09	31	< 1	1.76	0.63	36	962	1	0.11	24	0.033	81
GXR-6 Cert	1.30	17.7	330	1300	1.40	0.290	0.180	1.00	13.8	96.0	66.0	5.58	35.0	0.0680	1.87	0.609	32.0	1010	2.40	0.104	27.0	0.0350	101
GXR-6 Meas	0.3	13.8	295	> 1000	1	2	0.19	< 0.3	15	68	66	5.84	29	< 1	1.90	0.61	33	1080	1	0.10	27	0.038	93
GXR-6 Cert	1.30	17.7	330	1300	1.40	0.290	0.180	1.00	13.8	96.0	66.0	5.58	35.0	0.0680	1.87	0.609	32.0	1010	2.40	0.104	27.0	0.0350	101
SAR-M (U.S.G.S.) Meas	3.2	6.61	40	781	3	< 2	0.62	4.9	13	87	330	3.30	15		2.45	0.48	28	5400	11	1.17	53	0.060	1010
SAR-M (U.S.G.S.) Cert	3.64	6.30	38.8	801	2.20	1.94	0.61	5.27	10.70	79.7		2.99	17		2.94	0.50	27.4	5220	13.1	1.140	41.5	0.07	982
SAR-M (U.S.G.S.) Meas	3.6	6.58	38	808	3	< 2	0.62	4.9	13	88	323	3.35	16		3.46	0.48	28	5410	12	1.20	50	0.067	1010
SAR-M (U.S.G.S.) Cert	3.64	6.30	38.8	801	2.20	1.94	0.61	5.27	10.70	79.7		2.99	17		2.94	0.50	27.4	5220	13.1	1.140	41.5	0.07	982
DNC-1a Meas				90					55	258	89		13				4					241	< 3
DNC-1a Cert				118					57.0	270	100.00		15				5.20					247	6.3
DNC-1a Meas				93					57	142	90		13				4					248	5
DNC-1a Cert				118					57.0	270	100.00		15				5.20					247	6.3
SBC-1 Meas			35	548	3	4		< 0.3	24	76	30		25				137		3		85		27
SBC-1 Cert			25.7	788.0	3.20	0.70		0.40	22.7	109	31.0000		27.0				163.0		2.40		82.8		35.0
SBC-1 Meas			27	725	3	3		< 0.3	25	100	30		26				145		2		87		27
SBC-1 Cert			25.7	788.0	3.20	0.70		0.40	22.7	109	31.0000		27.0				163.0		2.40		82.8		35.0
62154 Orig	0.8	1.63	13	11	< 1	< 2	0.51	< 0.3	91	354	301	13.6	7	< 1	0.05	0.46	10	175	27	0.44	130	0.003	18
62154 Dup	0.9	1.61	4	10	< 1	2	0.51	< 0.3	89	355	302	13.6	6	< 1	0.04	0.45	10	169	27	0.44	129	0.003	17
Method Blank	< 0.3	< 0.01	< 3	< 7	< 1	< 2	< 0.01	< 0.3	< 1		1	< 0.01	< 1	< 1	< 0.01	< 0.01	< 1		< 1	< 0.01	< 1	< 0.001	< 3
Method Blank	< 0.3	< 0.01	< 3	< 7	< 1	< 2	< 0.01	< 0.3	< 1		< 1	< 0.01	< 1	< 1	< 0.01	< 0.01	< 1		< 1	< 0.01	< 1	< 0.001	< 3
Method Blank	< 0.3	< 0.01	< 3	< 7	< 1	< 2	< 0.01	< 0.3	< 1		< 1	< 0.01	< 1	< 1	< 0.01	< 0.01	< 1		< 1	< 0.01	< 1	< 0.001	< 3
Method Blank	< 0.3	< 0.01	< 3	< 7	< 1	< 2	< 0.01	< 0.3	< 1		< 1	< 0.01	< 1	< 1	< 0.01	< 0.01	< 1		< 1	< 0.01	< 1	< 0.001	< 3
Method Blank	< 0.3	< 0.01	< 3	< 7	< 1	< 2	< 0.01	< 0.3	< 1		7	< 0.01	< 1	< 1	< 0.01	< 0.01	< 1		2	< 0.01	< 1	< 0.001	< 3
Method Blank	< 0.3	< 0.01	< 3	< 7	< 1	< 2	< 0.01	< 0.3	< 1		6	< 0.01	< 1	< 1	< 0.01	< 0.01	< 1		< 1	< 0.01	< 1	< 0.001	< 3
Method Blank	< 0.3	< 0.01	< 3	< 7	< 1	< 2	< 0.01	< 0.3	< 1		< 1	< 0.01	< 1	< 1	< 0.01	< 0.01	< 1		< 1	< 0.01	< 1	< 0.001	< 3

QC

Analyte Symbol	Sb	S	Sc	Sr	Te	Ti	Tl	U	V	W	Y	Zn	Zr
Unit Symbol	ppm	%	ppm	ppm	ppm	%	ppm	ppm	ppm	ppm	ppm	ppm	ppm
Lower Limit	5	0.01	4	1	2	0.01	5	10	2	5	1	1	5
Method Code	TD-ICP	TD-ICP	TD-ICP	TD-ICP	TD-ICP	TD-ICP	TD-ICP	TD-ICP	TD-ICP	TD-ICP	TD-ICP	TD-ICP	TD-ICP
GXR-1 Meas	26	0.24	< 4	277	15	0.03	< 5	40	86	152	28	713	22
GXR-1 Cert	122	0.267	1.58	275	13.0	0.036	0.390	34.9	80.0	164	32.0	760	38.0
GXR-1 Meas	32	0.25	< 4	285	15	0.03	< 5	40	89	172	29	730	22
GXR-1 Cert	122	0.267	1.58	275	13.0	0.036	0.390	34.9	80.0	164	32.0	760	38.0
GXR-4 Meas	< 5	1.79	8	210	5	0.29	< 5	< 10	93	43	14	71	41
GXR-4 Cert	4.80	1.77	7.70	221	0.970	0.29	3.20	6.20	87.0	30.8	14.0	73.0	186
GXR-4 Meas	< 5	1.83	8	218	10	0.28	< 5	< 10	94	42	14	71	35
GXR-4 Cert	4.80	1.77	7.70	221	0.970	0.29	3.20	6.20	87.0	30.8	14.0	73.0	186
SDC-1 Meas	< 5		17	174		0.09	< 5	< 10	41	< 5		99	20
SDC-1 Cert	0.54		17.00	180.00		0.606	0.70	3.10	102.00	0.80		103.00	290.00
SDC-1 Meas	< 5		17	173		0.18	< 5	< 10	47	< 5		99	30
SDC-1 Cert	0.54		17.00	180.00		0.606	0.70	3.10	102.00	0.80		103.00	290.00
GXR-6 Meas	< 5	0.01	26	48	< 2		< 5	< 10	127	< 5	12	114	69
GXR-6 Cert	3.60	0.0160	27.6	35.0	0.0180		2.20	1.54	186	1.90	14.0	118	110
GXR-6 Meas	< 5	0.02	29	41	3		< 5	< 10	174	< 5	12	126	81
GXR-6 Cert	3.60	0.0160	27.6	35.0	0.0180		2.20	1.54	186	1.90	14.0	118	110
SAR-M (U.S.G.S.) Meas	5		9	156	9	0.37	< 5	< 10	70	18	32	985	
SAR-M (U.S.G.S.) Cert	6.0		7.83	151	0.96	0.38	2.7	3.57	67.2	9.78	28.00	930.0	
SAR-M (U.S.G.S.) Meas	7		9	155	5	0.38	< 5	< 10	73	20	32	970	
SAR-M (U.S.G.S.) Cert	6.0		7.83	151	0.96	0.38	2.7	3.57	67.2	9.78	28.00	930.0	
DNC-1a Meas	< 5		31	122		0.26			136		15	54	34
DNC-1a Cert	0.96		31	144.0		0.29			148.00		18.0	70.0	38.000
DNC-1a Meas	< 5		31	127		0.28			142		15	55	34
DNC-1a Cert	0.96		31	144.0		0.29			148.00		18.0	70.0	38.000
SBC-1 Meas	< 5		21	168		0.47	< 5	< 10	213	< 5	31	171	103
SBC-1 Cert	1.01		20.0	178.0		0.51	0.89	5.76	220.0	1.60	36.5	186.0	134.0
SBC-1 Meas	< 5		23	177		0.52	< 5	< 10	225	< 5	32	175	110
SBC-1 Cert	1.01		20.0	178.0		0.51	0.89	5.76	220.0	1.60	36.5	186.0	134.0
62154 Orig	< 5	13.4	6	28	8	0.12	< 5	< 10	57	< 5	3	110	19
62154 Dup	< 5	13.1	6	28	7	0.12	< 5	< 10	58	< 5	3	108	19
Method Blank	< 5	< 0.01	< 4	< 1	< 2	< 0.01	< 5	< 10	< 2	< 5	< 1	< 1	< 5
Method Blank	< 5	< 0.01	< 4	< 1	< 2	< 0.01	< 5	< 10	< 2	< 5	< 1	< 1	< 5
Method Blank	< 5	< 0.01	< 4	< 1	< 2	< 0.01	< 5	< 10	< 2	< 5	< 1	< 1	< 5
Method Blank	< 5	< 0.01	< 4	< 1	< 2	< 0.01	< 5	< 10	< 2	< 5	< 1	< 1	< 5
Method Blank	< 5	< 0.01	< 4	< 1	< 2	< 0.01	< 5	< 10	< 2	< 5	< 1	< 1	< 5
Method Blank	< 5	< 0.01	< 4	< 1	< 2	< 0.01	< 5	< 10	< 2	< 5	< 1	< 1	< 5
Method Blank	< 5	< 0.01	< 4	< 1	< 2	< 0.01	< 5	< 10	< 2	< 5	< 1	< 1	< 5



Date Submitted: 12-Aug-15
Invoice No.: A15-06448
Invoice Date: 20-Aug-15
Your Reference: SG15-1149 35632 VISIBLE GOLD

Techni-Lab Abitibi Inc.(Actlabs)
184 Rue Principale
Ste-Germaine-Boule Quebec J0Z 1M0
Canada

ATTN: Andre Caouette

CERTIFICATE OF ANALYSIS

62 Pulp samples were submitted for analysis.

The following analytical package was requested:

Code 1F2 Total Digestion ICP(TOTAL)

REPORT **A15-06448**

This report may be reproduced without our consent. If only selected portions of the report are reproduced, permission must be obtained. If no instructions were given at time of sample submittal regarding excess material, it will be discarded within 90 days of this report. Our liability is limited solely to the analytical cost of these analyses. Test results are representative only of material submitted for analysis.

Notes:

Values which exceed the upper limit should be assayed for accurate numbers.

CERTIFIED BY:

A handwritten signature in black ink, appearing to read "Emmanuel Esemé". The signature is written over a horizontal line.

Emmanuel Esemé , Ph.D.
Quality Control

ACTIVATION LABORATORIES LTD.
41 Bittern Street, Ancaster, Ontario, Canada, L9G 4V5
TELEPHONE +905 648-9611 or +1.888.228.5227 FAX +1.905.648.9613
E-MAIL Ancaster@actlabs.com ACTLABS GROUP WEBSITE www.actlabs.com



Results

Analyte Symbol	Ag	Al	As	Ba	Be	Bi	Ca	Cd	Co	Cr	Cu	Fe	Ga	Hg	K	Mg	Li	Mn	Mo	Na	Ni	P	Pb
Unit Symbol	ppm	%	ppm	ppm	ppm	ppm	%	ppm	ppm	ppm	ppm	%	ppm	ppm	%	%	ppm	ppm	ppm	%	ppm	%	ppm
Lower Limit	0.3	0.01	3	7	1	2	0.01	0.3	1	1	1	0.01	1	1	0.01	0.01	1	1	1	0.01	1	0.001	3
Method Code	TD-ICP	TD-ICP	TD-ICP	TD-ICP	TD-ICP	TD-ICP	TD-ICP	TD-ICP	TD-ICP	TD-ICP	TD-ICP	TD-ICP	TD-ICP	TD-ICP	TD-ICP	TD-ICP	TD-ICP	TD-ICP	TD-ICP	TD-ICP	TD-ICP	TD-ICP	TD-ICP
62115	< 0.3	7.58	18	609	4	< 2	1.77	< 0.3	17	275	32	3.74	19	< 1	1.99	1.58	63	548	14	2.86	64	0.062	12
62116	< 0.3	7.74	4	606	3	< 2	1.60	< 0.3	16	292	23	3.97	19	< 1	2.29	1.71	68	655	15	2.74	57	0.061	10
62117	< 0.3	7.93	< 3	725	2	< 2	2.18	< 0.3	14	247	15	4.02	19	< 1	2.41	1.85	72	587	9	2.51	52	0.065	12
62118	0.6	7.48	< 3	461	1	< 2	2.39	< 0.3	26	363	92	4.98	19	< 1	1.79	1.47	19	901	16	2.06	73	0.067	14
62119	< 0.3	7.46	4	516	2	< 2	1.73	< 0.3	17	264	22	4.22	21	< 1	2.91	1.55	59	517	12	2.75	66	0.185	18
62120	0.8	8.06	< 3	> 1000	2	< 2	3.09	< 0.3	14	121	134	3.15	18	< 1	2.77	1.71	19	711	5	3.68	57	0.132	23
62121	0.8	6.04	4	165	1	< 2	5.53	0.3	37	185	374	9.09	18	< 1	2.10	2.66	24	1640	6	0.55	58	0.047	7
62122	1.7	4.03	< 3	145	3	3	5.04	0.5	56	70	173	16.2	14	< 1	0.33	2.02	11	2150	< 1	2.31	10	0.105	23
62123	0.9	2.60	< 3	151	2	< 2	1.40	< 0.3	47	297	94	5.98	8	< 1	0.22	0.52	6	619	25	1.60	9	0.052	17
62124	< 0.3	0.14	< 3	136	< 1	< 2	0.56	< 0.3	22	546	68	3.48	1	< 1	0.02	0.24	6	324	38	0.04	13	0.047	3
62125	1.1	5.35	< 3	139	2	3	4.48	0.3	73	96	84	10.8	18	< 1	0.44	1.71	11	1590	1	3.24	9	0.040	46
62126	< 0.3	7.44	< 3	670	2	< 2	1.84	< 0.3	14	161	13	3.78	19	< 1	1.65	1.44	24	521	4	2.74	39	0.048	11
62127	< 0.3	7.80	9	308	2	< 2	1.85	< 0.3	61	270	91	5.08	18	< 1	1.44	1.03	111	1650	13	2.55	175	0.030	8
62128	< 0.3	6.87	4	354	< 1	< 2	2.77	< 0.3	2	116	7	1.53	17	< 1	2.68	0.49	25	317	12	0.73	5	0.025	< 3
62129	< 0.3	7.60	4	558	< 1	< 2	4.23	0.4	37	38	7	8.30	19	< 1	2.12	3.19	59	1270	< 1	2.76	13	0.072	< 3
62130	0.4	6.07	557	451	2	< 2	1.76	< 0.3	36	246	151	4.32	13	2	2.49	1.61	56	1200	20	2.24	100	0.076	10
62131	< 0.3	2.77	9	232	< 1	< 2	0.43	< 0.3	6	356	25	1.44	6	< 1	0.73	0.46	28	152	23	0.92	33	0.022	7
62132	< 0.3	5.27	10	179	1	< 2	4.32	< 0.3	18	376	149	9.17	17	< 1	1.49	1.92	13	1580	27	0.47	98	0.065	< 3
62133	0.7	8.53	< 3	117	3	< 2	2.06	< 0.3	26	91	255	7.64	23	< 1	2.73	1.63	119	534	13	3.03	69	0.038	23
62134	< 0.3	4.41	6	311	2	< 2	2.99	< 0.3	21	187	10	3.21	8	< 1	3.21	2.21	5	618	15	0.89	55	0.004	23
62135	< 0.3	5.73	< 3	68	< 1	< 2	10.2	< 0.3	28	145	284	9.92	12	< 1	0.34	3.74	24	3210	6	0.88	51	0.005	< 3
62136	< 0.3	6.51	7	214	< 1	< 2	7.60	0.3	28	210	130	14.9	14	< 1	0.42	4.01	27	6060	4	1.32	66	0.019	< 3
62137	0.5	7.17	7	< 7	4	< 2	5.99	< 0.3	53	126	879	8.33	13	< 1	0.05	2.97	41	2750	5	3.39	86	0.049	< 3
62138	< 0.3	5.96	< 3	31	< 1	2	7.31	0.5	39	148	263	15.1	15	< 1	0.27	4.74	27	3810	8	1.24	74	0.018	< 3
62139	< 0.3	6.13	4	23	< 1	< 2	7.01	0.4	37	134	144	14.9	15	< 1	0.20	4.28	37	3970	3	1.32	71	0.022	< 3
62140	< 0.3	6.04	< 3	< 7	< 1	2	13.4	< 0.3	28	76	2	6.54	17	< 1	0.03	2.93	4	1310	< 1	1.49	47	0.006	11
62141	< 0.3	6.82	< 3	180	1	< 2	6.45	< 0.3	47	325	96	8.49	15	< 1	1.02	4.78	24	1440	10	1.43	109	0.017	6
62142	0.4	7.86	4	267	< 1	< 2	2.36	0.7	19	161	35	4.02	19	< 1	1.63	1.54	32	1560	8	3.27	58	0.061	29
62143	2.1	1.99	8	53	< 1	3	0.61	1.3	96	84	355	36.8	9	6	0.63	0.52	5	645	4	0.39	467	0.008	14
62144	< 0.3	6.43	4	> 1000	3	< 2	5.49	< 0.3	34	170	8	6.90	19	< 1	3.22	4.23	67	1330	4	2.53	98	0.337	13
62145	< 0.3	0.64	< 3	11	< 1	< 2	0.04	< 0.3	< 1	385	6	0.47	2	< 1	0.39	0.03	< 1	53	30	0.24	7	0.005	< 3
62146	0.7	3.25	< 3	491	4	< 2	10.2	0.4	48	198	3	10.2	20	< 1	1.74	5.99	45	1730	3	1.31	138	0.575	8
62147	2.0	1.33	8	15	2	4	4.57	5.3	54	125	2460	25.0	9	2	0.05	0.93	4	3910	12	0.05	116	0.016	7
62148	0.6	1.47	8	56	1	3	1.32	3.9	56	281	328	20.1	11	< 1	0.25	0.70	13	1000	27	0.29	112	0.018	6
62149	0.7	0.41	< 3	< 7	1	3	4.90	0.6	46	152	501	21.4	7	< 1	0.04	1.39	9	5160	13	0.07	87	0.005	8
62150	1.1	0.84	4	30	< 1	2	2.55	1.3	37	257	837	14.2	6	< 1	0.10	1.18	16	2290	20	0.18	67	0.021	12
61760	1.0	3.56	13	52	< 1	< 2	4.69	0.5	88	216	490	21.0	11	4	0.77	0.50	9	1190	21	0.21	297	0.039	6
61761	0.7	6.09	16	52	4	< 2	2.14	1.0	24	234	123	8.13	15	< 1	1.87	1.69	143	1700	18	0.67	87	0.069	13
61762	< 0.3	8.01	5	354	< 1	< 2	5.15	< 0.3	19	168	13	4.55	21	< 1	1.27	1.90	19	771	4	3.27	62	0.113	8
61763	0.7	0.29	5	< 7	< 1	4	3.43	1.3	3	33	154	38.1	15	4	0.04	3.05	< 1	6300	< 1	0.06	44	0.003	5
61764	< 0.3	0.36	7	37	< 1	< 2	1.99	0.4	39	311	128	9.04	6	< 1	0.09	0.83	< 1	3600	21	0.05	30	0.005	6
61765	0.3	0.07	5	< 7	< 1	3	2.44	0.9	10	192	110	22.0	5	< 1	0.01	1.62	< 1	7560	11	0.03	17	< 0.001	4
61766	0.9	1.28	5	59	< 1	< 2	0.21	9.0	37	347	267	5.63	7	< 1	0.21	0.32	25	334	30	0.38	43	0.011	20
61767	0.7	0.37	< 3	9	2	2	5.54	0.6	40	185	654	16.5	5	< 1	0.01	1.81	9	5610	14	0.04	67	0.006	9
61768	0.7	1.94	46	164	< 1	< 2	0.27	5.1	46	335	151	2.33	11	< 1	2.33	0.09	6	118	25	0.12	36	0.016	142
61769	1.0	0.11	4	< 7	1	< 2	2.88	1.6	60	282	1250	14.8	3	< 1	0.01	0.87	4	2950	21	0.03	67	0.005	22
61770	0.6	0.28	7	10	< 1	2	5.12	1.6	23	203	690	14.8	7	< 1	0.03	1.32	8	6570	15	0.07	45	0.004	5
61771	2.4	0.86	< 3	12	1	< 2	0.63	5.3	5	310	5550	17.7	6	< 1	0.04	0.37	15	1010	24	0.03	97	0.023	3
61772	1.0	9.84	4	551	2	< 2	2.32	< 0.3	8	55	541	3.43	20	< 1	1.91	1.23	78	270	6	4.63	7	0.014	< 3

Analyte Symbol	Ag	Al	As	Ba	Be	Bi	Ca	Cd	Co	Cr	Cu	Fe	Ga	Hg	K	Mg	Li	Mn	Mo	Na	Ni	P	Pb
Unit Symbol	ppm	%	ppm	ppm	ppm	ppm	%	ppm	ppm	ppm	ppm	%	ppm	ppm	%	%	ppm	ppm	ppm	%	ppm	%	ppm
Lower Limit	0.3	0.01	3	7	1	2	0.01	0.3	1	1	1	0.01	1	1	0.01	0.01	1	1	1	0.01	1	0.001	3
Method Code	TD-ICP	TD-ICP	TD-ICP	TD-ICP	TD-ICP	TD-ICP	TD-ICP	TD-ICP	TD-ICP	TD-ICP	TD-ICP	TD-ICP	TD-ICP	TD-ICP	TD-ICP	TD-ICP	TD-ICP	TD-ICP	TD-ICP	TD-ICP	TD-ICP	TD-ICP	TD-ICP
61773	2.8	2.41	8	25	< 1	4	1.99	1.0	32	113	577	35.2	10	3	0.57	0.48	6	661	16	0.39	237	0.018	12
61774	1.1	7.20	3	63	< 1	< 2	3.09	0.3	45	150	119	11.9	19	< 1	1.71	0.98	19	2050	10	1.18	67	0.023	18
61775	2.8	3.97	5	57	< 1	< 2	3.90	4.1	38	129	986	28.9	13	4	1.17	0.89	8	1090	12	0.87	180	0.023	14
61776	3.3	3.26	14	49	< 1	2	3.15	2.8	106	99	764	29.9	12	4	0.25	0.82	8	1040	16	0.38	164	0.022	24
61777	0.4	3.34	5	25	3	< 2	0.32	2.8	30	430	134	5.68	9	< 1	0.22	0.22	8	229	43	2.29	78	0.022	15
61778	0.8	8.12	5	315	< 1	< 2	2.45	0.5	22	230	49	4.63	15	< 1	1.39	2.58	54	1650	8	3.56	83	0.059	275
61779	0.4	6.80	4	146	< 1	< 2	6.45	< 0.3	112	203	464	9.80	15	< 1	0.86	3.86	37	1380	5	1.36	522	0.028	3
61780	0.5	6.63	3	206	< 1	< 2	1.65	< 0.3	77	220	444	4.09	14	< 1	0.91	0.61	26	226	18	2.65	485	0.011	11
61781	< 0.3	6.39	< 3	145	< 1	< 2	4.73	< 0.3	55	488	53	7.43	12	< 1	0.88	8.18	43	1890	3	1.19	241	0.019	5
61782	< 0.3	4.34	< 3	472	< 1	< 2	0.10	< 0.3	4	221	4	1.36	11	< 1	2.15	0.19	5	72	20	0.05	8	0.026	< 3
61783	< 0.3	7.83	< 3	171	< 1	< 2	4.73	< 0.3	43	57	2	8.32	21	< 1	0.85	3.77	56	1480	2	3.33	20	0.063	< 3
61784	< 0.3	1.25	< 3	118	< 1	< 2	0.03	< 0.3	4	413	11	0.89	4	< 1	0.52	0.18	16	89	26	0.03	26	0.004	< 3
61785	< 0.3	7.20	< 3	297	4	< 2	5.63	< 0.3	30	140	82	6.68	17	< 1	1.54	3.34	43	1290	10	2.02	39	0.147	6

Results

Analyte Symbol	Sb	S	Sc	Sr	Te	Ti	Tl	U	V	W	Y	Zn	Zr
Unit Symbol	ppm	%	ppm	ppm	ppm	%	ppm	ppm	ppm	ppm	ppm	ppm	ppm
Lower Limit	5	0.01	4	1	2	0.01	5	10	2	5	1	1	5
Method Code	TD-ICP	TD-ICP	TD-ICP	TD-ICP	TD-ICP	TD-ICP	TD-ICP	TD-ICP	TD-ICP	TD-ICP	TD-ICP	TD-ICP	TD-ICP
62115	< 5	0.24	13	376	5	0.29	< 5	10	85	< 5	11	69	117
62116	< 5	0.20	15	389	9	0.32	< 5	< 10	96	< 5	13	69	111
62117	< 5	0.09	14	562	4	0.30	< 5	< 10	95	< 5	8	77	106
62118	< 5	0.33	15	347	8	0.42	< 5	< 10	108	< 5	18	97	209
62119	< 5	0.16	13	303	11	0.27	< 5	< 10	85	< 5	39	88	109
62120	< 5	0.01	9	1600	4	0.23	< 5	< 10	83	< 5	17	74	187
62121	< 5	2.22	31	161	12	0.67	< 5	< 10	212	14	22	98	43
62122	< 5	7.20	57	270	12	0.79	< 5	< 10	153	< 5	48	120	26
62123	< 5	2.86	15	178	5	0.56	< 5	< 10	98	< 5	14	36	25
62124	< 5	1.75	6	16	4	0.20	< 5	< 10	39	< 5	8	17	6
62125	< 5	4.24	41	394	13	0.58	< 5	< 10	142	< 5	31	84	29
62126	< 5	0.10	10	365	< 2	0.21	< 5	< 10	63	< 5	8	57	96
62127	< 5	1.71	31	300	< 2	0.43	< 5	< 10	175	8	14	127	77
62128	< 5	0.57	< 4	106	< 2	0.13	< 5	< 10	24	< 5	6	33	72
62129	< 5	0.11	27	272	7	0.22	< 5	< 10	98	< 5	18	85	45
62130	< 5	0.89	16	227	< 2	0.27	< 5	< 10	83	< 5	8	59	73
62131	< 5	0.14	< 4	123	< 2	0.08	< 5	< 10	24	< 5	2	16	21
62132	< 5	2.04	12	101	8	0.22	< 5	< 10	72	< 5	15	81	75
62133	< 5	3.69	11	269	12	0.27	< 5	10	86	< 5	7	80	193
62134	< 5	0.32	8	241	< 2	0.08	< 5	< 10	46	< 5	3	41	25
62135	< 5	0.11	41	79	3	0.36	< 5	< 10	198	< 5	13	63	11
62136	< 5	0.68	43	39	5	0.43	< 5	< 10	239	5	19	243	21
62137	< 5	0.45	25	90	5	0.36	< 5	< 10	182	< 5	15	78	12
62138	< 5	1.02	43	32	14	0.45	< 5	< 10	243	< 5	18	72	21
62139	< 5	0.39	43	19	4	0.45	< 5	< 10	252	< 5	19	163	25
62140	< 5	0.10	30	265	< 2	0.18	< 5	< 10	79	< 5	19	44	7
62141	< 5	1.26	46	115	3	0.50	< 5	< 10	262	< 5	19	158	26
62142	< 5	1.73	11	176	5	0.35	< 5	< 10	88	< 5	7	131	84
62143	< 5	> 20.0	6	32	9	0.09	< 5	< 10	44	< 5	6	70	49
62144	< 5	0.07	19	1090	7	0.57	< 5	< 10	172	< 5	39	143	129
62145	< 5	0.02	< 4	9	< 2	0.02	< 5	< 10	3	< 5	7	2	38
62146	< 5	0.02	31	348	5	0.44	< 5	< 10	253	< 5	68	158	310
62147	< 5	15.2	4	63	6	0.05	< 5	< 10	56	12	5	975	25
62148	< 5	13.6	5	35	5	0.08	< 5	< 10	67	9	5	689	38
62149	< 5	11.3	< 4	80	8	0.02	< 5	< 10	188	6	3	404	17
62150	< 5	7.66	< 4	50	5	0.04	< 5	< 10	86	6	4	364	20
61760	< 5	10.8	9	99	8	0.14	< 5	< 10	65	< 5	7	176	52
61761	< 5	4.73	13	177	2	0.24	< 5	< 10	73	6	14	405	129
61762	< 5	0.03	14	602	5	0.30	< 5	< 10	80	< 5	10	69	42
61763	6	4.02	< 4	59	6	0.03	< 5	< 10	321	18	5	516	16
61764	< 5	3.20	< 4	51	< 2	0.01	< 5	< 10	97	< 5	3	266	9
61765	< 5	1.57	< 4	33	3	< 0.01	< 5	< 10	53	8	2	439	7
61766	< 5	3.50	5	27	< 2	0.06	< 5	< 10	33	< 5	3	2390	24
61767	< 5	8.67	5	62	10	0.01	< 5	< 10	115	< 5	6	379	12
61768	< 5	1.27	7	22	2	0.11	< 5	< 10	27	< 5	4	2090	36
61769	< 5	8.54	< 4	41	4	< 0.01	< 5	< 10	58	7	2	559	11
61770	< 5	5.39	< 4	90	7	0.02	< 5	< 10	156	9	3	742	11
61771	< 5	12.2	< 4	21	7	0.07	< 5	< 10	51	14	5	855	34
61772	< 5	0.94	6	523	7	0.38	< 5	10	57	< 5	12	49	226

Analyte Symbol	Sb	S	Sc	Sr	Te	Ti	Tl	U	V	W	Y	Zn	Zr
Unit Symbol	ppm	%	ppm	ppm	ppm	%	ppm	ppm	ppm	ppm	ppm	ppm	ppm
Lower Limit	5	0.01	4	1	2	0.01	5	10	2	5	1	1	5
Method Code	TD-ICP	TD-ICP	TD-ICP	TD-ICP	TD-ICP	TD-ICP	TD-ICP	TD-ICP	TD-ICP	TD-ICP	TD-ICP	TD-ICP	TD-ICP
61773	< 5	> 20.0	6	50	3	0.11	< 5	< 10	47	< 5	6	112	49
61774	< 5	7.06	16	117	5	0.33	< 5	< 10	119	6	17	195	78
61775	< 5	12.7	12	79	10	0.19	< 5	< 10	68	9	11	675	74
61776	< 5	16.9	8	104	5	0.14	< 5	< 10	59	6	7	398	47
61777	< 5	5.32	10	56	2	0.15	< 5	< 10	30	10	7	877	69
61778	< 5	0.91	19	172	7	0.37	< 5	10	107	< 5	13	140	108
61779	< 5	1.77	35	183	8	0.50	< 5	< 10	281	< 5	10	83	20
61780	< 5	1.71	6	250	< 2	0.12	< 5	10	33	< 5	2	35	39
61781	< 5	1.65	37	53	7	0.34	< 5	< 10	188	< 5	18	95	45
61782	< 5	0.47	< 4	14	< 2	0.13	< 5	< 10	24	< 5	3	12	58
61783	< 5	0.12	25	318	9	0.60	< 5	< 10	199	< 5	14	135	74
61784	< 5	0.12	< 4	6	< 2	0.05	< 5	< 10	16	< 5	< 1	11	8
61785	< 5	2.22	29	388	7	0.46	< 5	< 10	203	< 5	15	82	73

QC

Analyte Symbol	Ag	Al	As	Ba	Be	Bi	Ca	Cd	Co	Cr	Cu	Fe	Ga	Hg	K	Mg	Li	Mn	Mo	Na	Ni	P	Pb	
Unit Symbol	ppm	%	ppm	ppm	ppm	ppm	%	ppm	ppm	ppm	ppm	%	ppm	ppm	%	%	ppm	ppm	ppm	%	ppm	%	ppm	
Lower Limit	0.3	0.01	3	7	1	2	0.01	0.3	1	1	1	0.01	1	1	0.01	0.01	1	1	1	0.01	1	0.001	3	
Method Code	TD-ICP	TD-ICP	TD-ICP	TD-ICP	TD-ICP	TD-ICP	TD-ICP	TD-ICP	TD-ICP	TD-ICP	TD-ICP	TD-ICP	TD-ICP	TD-ICP	TD-ICP	TD-ICP	TD-ICP	TD-ICP	TD-ICP	TD-ICP	TD-ICP	TD-ICP	TD-ICP	
GXR-1 Meas	31.0	1.94	405	629	1	1340	0.86	2.4	8	11	1120	23.3	13	7	0.04	0.20	8	888	14	0.04	39	0.069	715	
GXR-1 Cert	31.0	3.52	427	750	1.22	1380	0.960	3.30	8.20	12.0	1110	23.6	13.8	3.90	0.050	0.217	8.20	852	18.0	0.0520	41.0	0.0650	730	
DH-1a Meas																								
DH-1a Cert																								
GXR-4 Meas	3.5	6.28	106	124	2	11	1.04	0.3	14	41	6540	3.07	15	< 1	3.60	1.68	11	162	296	0.52	40	0.131	42	
GXR-4 Cert	4.0	7.20	98.0	1640	1.90	19.0	1.01	0.860	14.6	64.0	6520	3.09	20.0	0.110	4.01	1.66	11.1	155	310	0.564	42.0	0.120	52.0	
SDC-1 Meas		7.89	< 3	618	3		1.06		18	42	29	4.77	20	< 1	2.70	0.98	34	845		1.51	34	0.052	20	
SDC-1 Cert		8.34	0.220	630	3.00		1.00		18.0	64.00	30.000	4.82	21.00	0.20	2.72	1.02	34.00	880.00		1.52	38.0	0.0690	25.00	
DNC-1a Meas				94					54	141	97		13				4					248	< 3	
DNC-1a Cert				118					57.0	270	100.00		15				5.20					247	6.3	
SBC-1 Meas			28	742	3	< 2		< 0.3	22	99	34		26				154		2		83		25	
SBC-1 Cert			25.7	788.0	3.20	0.70		0.40	22.7	109	31.0000		27.0				163.0		2.40		82.8		35.0	
OREAS 45d (4-Acid) Meas		7.55	6	175	< 1	< 2	0.18		32	451	375	13.9	20		0.40	0.24	22	484	3	0.09	233	0.033	17	
OREAS 45d (4-Acid) Cert		8.150	13.80	183.0	0.79	0.31	0.185		29.50	549.0	371.0	14.520	21.20		0.412	0.245	21.50	490.000	2.500	0.101	231.0	0.042	21.8	
SdAR-M2 (U.S.G.S.) Meas				987	7	< 2		5.2	13	38	232		16	2			18		11		51		817	
SdAR-M2 (U.S.G.S.) Cert				990	6.6	1.05		5.1	12.4	49.6			17.6	1.44			17.9		13.3		48.8		808	
61760 Orig	1.0	3.57	15	55	< 1	< 2	4.72	0.5	89	204	495	21.0	11	4	0.77	0.50	9	1170	22	0.21	298	0.040	6	
61760 Dup	1.0	3.55	12	49	< 1	< 2	4.67	0.5	88	229	485	21.0	11	4	0.78	0.50	9	1200	20	0.21	296	0.039	7	
61762 Orig	< 0.3	8.00	6	352	< 1	< 2	5.14	< 0.3	19	170	9	4.55	22	< 1	1.27	1.90	19	770	3	3.28	62	0.112	7	
61762 Dup	< 0.3	8.01	3	355	< 1	< 2	5.16	< 0.3	19	166	16	4.56	20	< 1	1.27	1.90	19	773	4	3.27	62	0.114	8	
Method Blank	< 0.3	< 0.01	< 3	< 7	< 1	< 2	< 0.01	< 0.3	< 1			< 1	< 0.01	< 1	< 1	< 0.01	< 0.01	< 1		< 1	< 0.01	< 1	< 0.001	< 3
Method Blank	< 0.3	0.02	< 3	< 7	< 1	< 2	< 0.01	< 0.3	< 1			< 1	< 0.01	< 1	< 1	< 0.01	< 0.01	< 1		< 1	< 0.01	< 1	< 0.001	< 3
Method Blank	< 0.3	< 0.01	< 3	< 7	< 1	< 2	< 0.01	< 0.3	< 1			< 1	< 0.01	< 1	< 1	< 0.01	< 0.01	< 1		< 1	< 0.01	< 1	< 0.001	< 3
Method Blank	< 0.3	0.01	< 3	< 7	< 1	< 2	< 0.01	< 0.3	< 1		2	< 0.01	< 1	< 1	< 0.01	< 0.01	< 1		< 1	< 0.01	< 1	< 0.001	< 3	

QC

Analyte Symbol	Sb	S	Sc	Sr	Te	Ti	Tl	U	V	W	Y	Zn	Zr
Unit Symbol	ppm	%	ppm	ppm	ppm	%	ppm	ppm	ppm	ppm	ppm	ppm	ppm
Lower Limit	5	0.01	4	1	2	0.01	5	10	2	5	1	1	5
Method Code	TD-ICP	TD-ICP	TD-ICP	TD-ICP	TD-ICP	TD-ICP	TD-ICP	TD-ICP	TD-ICP	TD-ICP	TD-ICP	TD-ICP	TD-ICP
GXR-1 Meas	18	0.24	< 4	282	15	0.03	< 5	30	85	134	34	727	21
GXR-1 Cert	122	0.257	1.58	275	13.0	0.036	0.390	34.9	80.0	164	32.0	760	38.0
DH-1a Meas								2380					
DH-1a Cert								2629					
GXR-4 Meas	< 5	1.78	8	211	7	0.28	< 5	< 10	85	35	15	70	32
GXR-4 Cert	4.80	1.77	7.70	221	0.970	0.29	3.20	6.20	87.0	30.8	14.0	73.0	186
SDC-1 Meas	< 5		16	170		0.12	< 5	< 10	39	< 5		98	24
SDC-1 Cert	0.54		17.00	180.00		0.606	0.70	3.10	102.00	0.80		103.00	290.00
DNC-1a Meas	< 5		30	125		0.27			136		16	59	34
DNC-1a Cert	0.96		31	144.0		0.29			148.00		18.0	70.0	38.000
SBC-1 Meas	< 5		20	171		0.49	< 5	< 10	207	< 5	32	181	95
SBC-1 Cert	1.01		20.0	178.0		0.51	0.89	5.76	220.0	1.60	36.5	186.0	134.0
OREAS 45d (4-Acid)	< 5	0.04	55	31		0.14	< 5	< 10	85	< 5	13	41	39

Analyte Symbol	Sb	S	Sc	Sr	Te	Ti	Tl	U	V	W	Y	Zn	Zr
Unit Symbol	ppm	%	ppm	ppm	ppm	%	ppm	ppm	ppm	ppm	ppm	ppm	ppm
Lower Limit	5	0.01	4	1	2	0.01	5	10	2	5	1	1	5
Method Code	TD-ICP	TD-ICP	TD-ICP	TD-ICP	TD-ICP	TD-ICP	TD-ICP	TD-ICP	TD-ICP	TD-ICP	TD-ICP	TD-ICP	TD-ICP
Meas													
OREAS 45d (4-Acid) Cert	0.82	0.049	49.30	31.30		0.773	0.27	2.63	235.0	1.62	9.53	45.7	141
SdAR-M2 (U.S.G.S.) Meas			4	141				< 10	25	9	29	774	93
SdAR-M2 (U.S.G.S.) Cert			4.1	144				2.53	25.2	2.8	32.7	760	259
61760 Orig	< 5	11.1	9	100	11	0.14	< 5	< 10	65	< 5	7	177	52
61760 Dup	< 5	10.5	9	99	4	0.14	< 5	< 10	64	< 5	7	174	53
61762 Orig	< 5	0.04	14	588	2	0.29	< 5	< 10	77	< 5	10	69	43
61762 Dup	< 5	0.03	14	617	8	0.31	< 5	< 10	83	< 5	9	69	42
Method Blank	< 5	< 0.01	< 4	< 1	< 2	< 0.01	< 5	< 10	< 2	< 5	< 1	< 1	< 5
Method Blank	< 5	< 0.01	< 4	1	< 2	< 0.01	< 5	< 10	< 2	< 5	< 1	< 1	< 5
Method Blank	< 5	< 0.01	< 4	< 1	< 2	< 0.01	< 5	< 10	< 2	< 5	< 1	< 1	< 5
Method Blank	< 5	< 0.01	< 4	< 1	< 2	< 0.01	< 5	< 10	< 2	< 5	< 1	< 1	< 5

Quality Analysis ...



Innovative Technologies

Date Submitted: 12-Aug-15
Invoice No.: A15-06449
Invoice Date: 20-Aug-15
Your Reference: SG15-1150 35633 VISIBLE GOLD

Techni-Lab Abitibi Inc.(Actlabs)
184 Rue Principale
Ste-Germaine-Boule Quebec J0Z 1M0
Canada

ATTN: Andre Caouette

CERTIFICATE OF ANALYSIS

76 Pulp samples were submitted for analysis.

The following analytical package was requested:

Code 1F2 Total Digestion ICP(TOTAL)

REPORT **A15-06449**

This report may be reproduced without our consent. If only selected portions of the report are reproduced, permission must be obtained. If no instructions were given at time of sample submittal regarding excess material, it will be discarded within 90 days of this report. Our liability is limited solely to the analytical cost of these analyses. Test results are representative only of material submitted for analysis.

Notes:

Values which exceed the upper limit should be assayed for accurate numbers.

CERTIFIED BY:

A handwritten signature in black ink, appearing to read "Emmanuel Esemé". The signature is written in a cursive style and is positioned above a horizontal line.

Emmanuel Esemé , Ph.D.
Quality Control

ACTIVATION LABORATORIES LTD.
41 Bittern Street, Ancaster, Ontario, Canada, L9G 4V5
TELEPHONE +905 648-9611 or +1.888.228.5227 FAX +1.905.648.9613
E-MAIL Ancaster@actlabs.com ACTLABS GROUP WEBSITE www.actlabs.com



Results

Analyte Symbol	Ag	Al	As	Ba	Be	Bi	Ca	Cd	Co	Cr	Cu	Fe	Ga	Hg	K	Mg	Li	Mn	Mo	Na	Ni	P	Pb
Unit Symbol	ppm	%	ppm	ppm	ppm	ppm	%	ppm	ppm	ppm	ppm	%	ppm	ppm	%	%	ppm	ppm	ppm	%	ppm	%	ppm
Lower Limit	0.3	0.01	3	7	1	2	0.01	0.3	1	1	1	0.01	1	1	0.01	0.01	1	1	1	0.01	1	0.001	3
Method Code	TD-ICP	TD-ICP	TD-ICP	TD-ICP	TD-ICP	TD-ICP	TD-ICP	TD-ICP	TD-ICP	TD-ICP	TD-ICP	TD-ICP	TD-ICP	TD-ICP	TD-ICP	TD-ICP	TD-ICP	TD-ICP	TD-ICP	TD-ICP	TD-ICP	TD-ICP	TD-ICP
62159	< 0.3	8.04	5	556	3	< 2	1.75	< 0.3	20	233	28	4.32	19	< 1	1.73	1.84	52	564	11	2.64	75	0.063	8
62160	0.8	7.97	< 3	121	2	< 2	2.33	< 0.3	50	234	157	7.95	17	< 1	2.01	1.77	31	610	24	2.34	50	0.064	27
62161	0.3	5.96	3	251	2	< 2	3.04	0.3	30	101	256	12.8	25	< 1	1.71	1.28	36	1620	5	1.08	6	0.112	6
62162	< 0.3	5.79	3	60	< 1	6	5.12	0.4	57	79	47	14.4	22	2	0.64	1.89	16	2030	< 1	1.33	10	0.049	8
62163	< 0.3	5.89	< 3	245	2	< 2	1.45	0.4	50	90	233	14.0	24	< 1	2.31	1.30	36	1180	< 1	0.78	6	0.086	< 3
62164	0.6	6.92	4	167	28	< 2	3.29	0.6	63	79	382	12.3	43	< 1	1.84	3.18	55	1700	< 1	1.68	60	0.087	6
62165	< 0.3	6.97	< 3	81	< 1	< 2	5.92	0.3	48	116	169	10.7	19	< 1	0.76	3.79	16	1670	1	1.77	60	0.041	< 3
62166	0.4	6.62	5	341	2	< 2	3.37	< 0.3	96	130	22	6.99	22	< 1	2.84	1.39	28	912	1	1.79	32	0.114	30
62167	< 0.3	6.98	11	141	3	< 2	6.97	< 0.3	47	103	163	9.07	18	< 1	2.61	3.09	54	1740	< 1	0.68	64	0.051	7
62168	< 0.3	7.56	< 3	229	2	< 2	0.88	< 0.3	18	227	4	5.33	21	< 1	1.98	1.57	47	499	9	2.89	62	0.067	10
62169	0.9	10.0	5	351	2	3	1.33	< 0.3	37	347	1	8.58	44	< 1	2.68	3.79	75	1120	3	2.71	136	0.227	< 3
62170	< 0.3	7.74	4	> 1000	2	< 2	1.52	< 0.3	12	171	23	3.23	18	< 1	2.58	1.24	24	587	11	2.98	34	0.053	16
62171	< 0.3	5.63	7	26	< 1	< 2	5.68	< 0.3	52	47	218	11.6	21	< 1	0.13	1.94	12	1530	< 1	2.62	38	0.039	< 3
62172	< 0.3	6.44	17	77	< 1	2	5.02	< 0.3	51	67	182	11.5	17	< 1	0.37	3.16	22	1640	2	3.14	49	0.051	< 3
62173	< 0.3	6.94	4	48	< 1	< 2	5.36	0.4	52	78	285	12.7	17	< 1	0.34	2.80	16	1700	2	1.84	69	0.023	< 3
62174	< 0.3	5.20	< 3	116	< 1	< 2	4.64	0.4	55	119	533	14.8	24	< 1	0.20	1.85	11	1700	< 1	1.19	13	0.056	< 3
62175	< 0.3	5.05	4	75	< 1	2	2.57	0.4	24	156	28	14.7	25	< 1	0.23	2.09	19	2120	10	0.22	18	0.145	< 3
62176	0.6	6.61	614	181	2	< 2	0.52	0.4	30	201	73	3.98	14	< 1	3.29	0.90	21	236	18	2.35	85	0.037	13
62177	0.6	7.53	27	378	2	< 2	0.54	< 0.3	12	144	49	3.78	18	< 1	4.05	1.23	34	274	14	0.87	34	0.050	16
62178	19.2	6.23	7	34	< 1	< 2	2.73	0.7	62	167	1250	12.7	16	< 1	1.78	2.25	19	556	14	1.26	265	0.046	109
62179	1.2	8.49	280	643	3	< 2	0.96	1.4	19	212	69	4.97	22	< 1	2.97	1.82	43	614	12	2.28	71	0.077	121
62180	0.6	3.46	43	61	2	2	2.49	2.1	47	294	133	18.2	12	< 1	0.86	0.54	7	1710	19	0.34	85	0.019	23
62181	< 0.3	2.24	8	47	2	< 2	2.31	< 0.3	16	239	123	9.63	9	< 1	0.85	1.25	5	3460	21	0.28	72	0.085	10
62182	< 0.3	7.50	11	185	< 1	< 2	6.15	0.5	39	163	226	7.74	15	< 1	0.88	4.82	58	1570	3	2.16	77	0.047	< 3
62183	< 0.3	7.26	30	125	3	< 2	2.69	< 0.3	27	319	87	5.94	21	< 1	3.64	5.49	81	1350	3	0.86	62	0.023	5
62184	0.3	8.44	59	430	2	< 2	0.41	0.7	33	376	80	9.23	37	< 1	5.59	4.37	118	969	4	0.58	52	0.074	3
62185	0.4	2.51	6	70	9	2	5.96	0.9	25	286	205	11.0	12	< 1	0.40	2.55	23	2540	21	0.59	48	0.011	6
62186	< 0.3	3.11	4	95	2	< 2	2.25	< 0.3	4	312	30	1.80	6	< 1	0.41	0.22	11	384	26	0.99	15	0.444	6
62187	< 0.3	1.14	< 3	74	< 1	< 2	2.21	1.5	10	541	90	7.97	4	< 1	0.23	0.83	3	3870	41	0.12	35	0.054	< 3
62188	< 0.3	7.45	4	359	1	< 2	7.63	< 0.3	30	223	7	6.37	24	< 1	3.31	0.80	6	811	15	1.13	45	0.040	13
62189	< 0.3	5.87	10	163	2	< 2	3.85	< 0.3	21	268	131	5.61	15	< 1	1.85	1.42	14	634	36	1.13	66	0.215	4
62190	< 0.3	0.78	9	42	5	3	6.18	0.5	6	190	269	15.5	7	< 1	0.08	0.38	9	462	17	0.16	20	0.125	< 3
62191	< 0.3	5.73	48	313	< 1	< 2	5.45	< 0.3	54	851	64	6.96	11	< 1	0.99	8.03	109	1230	2	0.85	311	0.037	6
62192	0.5	0.52	405	20	< 1	< 2	0.11	< 0.3	8	441	89	2.81	3	< 1	0.11	0.25	11	254	31	0.02	12	0.005	< 3
62193	0.6	5.10	550	152	< 1	< 2	0.57	5.6	28	149	81	5.25	20	< 1	1.19	0.91	64	516	46	2.10	31	0.065	13
62194	< 0.3	5.84	600	50	< 1	< 2	3.94	3.1	44	518	92	7.18	15	< 1	0.59	5.30	85	1040	23	1.64	206	0.040	5
62195	< 0.3	8.26	14	274	< 1	< 2	4.25	< 0.3	31	108	44	6.40	20	< 1	0.82	3.47	44	1120	4	3.33	45	0.104	4
62196	< 0.3	9.15	5	425	1	< 2	3.67	< 0.3	32	119	73	6.70	21	< 1	0.96	3.80	94	1080	6	3.09	45	0.122	6
62197	< 0.3	5.01	20	323	< 1	< 2	10.9	< 0.3	41	338	85	5.90	10	1	1.61	7.00	34	1710	3	0.25	192	0.020	5
62198	< 0.3	0.20	367	8	< 1	< 2	2.19	0.8	5	337	35	3.70	2	< 1	0.04	0.79	2	1450	22	0.03	12	0.003	< 3
62199	0.9	1.15	1020	59	< 1	< 2	2.37	5.4	22	283	348	10.2	6	< 1	0.41	1.34	9	1690	41	0.10	83	0.053	15
62200	0.5	6.31	21	165	1	< 2	5.91	< 0.3	14	252	209	7.91	16	< 1	0.91	1.06	20	922	16	0.72	51	0.055	5
61951	< 0.3	8.85	5	119	1	< 2	3.32	< 0.3	34	107	96	5.80	22	< 1	1.85	0.70	34	669	9	2.69	25	0.122	28
61952	0.4	6.68	5	166	< 1	< 2	2.40	< 0.3	49	296	208	7.13	17	< 1	0.75	2.08	23	1630	12	2.97	126	0.096	< 3
61953	1.2	1.78	5	< 7	11	4	5.78	0.5	56	220	1370	18.7	12	< 1	< 0.01	0.91	8	2460	16	0.06	110	0.046	9
61954	< 0.3	5.79	< 3	174	3	< 2	2.35	< 0.3	5	216	101	2.03	12	< 1	1.14	0.48	20	1590	18	1.72	12	0.261	58
61955	1.0	7.16	511	85	3	< 2	4.71	< 0.3	34	148	81	6.26	16	2	2.06	3.21	35	1260	9	2.39	44	0.178	10
61956	0.7	6.22	9	42	10	< 2	3.45	0.5	27	250	259	8.79	18	< 1	0.48	1.02	10	612	19	2.35	149	0.084	8
61957	2.0	3.87	109	61	< 1	< 2	1.54	2.0	85	341	560	21.2	12	4	1.46	0.84	4	1390	7	1.58	217	0.030	23

Analyte Symbol	Ag	Al	As	Ba	Be	Bi	Ca	Cd	Co	Cr	Cu	Fe	Ga	Hg	K	Mg	Li	Mn	Mo	Na	Ni	P	Pb
Unit Symbol	ppm	%	ppm	ppm	ppm	ppm	%	ppm	ppm	ppm	ppm	%	ppm	ppm	%	%	ppm	ppm	ppm	%	ppm	%	ppm
Lower Limit	0.3	0.01	3	7	1	2	0.01	0.3	1	1	1	0.01	1	1	0.01	0.01	1	1	1	0.01	1	0.001	3
Method Code	TD-ICP	TD-ICP	TD-ICP	TD-ICP	TD-ICP	TD-ICP	TD-ICP	TD-ICP	TD-ICP	TD-ICP	TD-ICP	TD-ICP	TD-ICP	TD-ICP	TD-ICP	TD-ICP	TD-ICP	TD-ICP	TD-ICP	TD-ICP	TD-ICP	TD-ICP	TD-ICP
61958	3.1	5.28	15	31	< 1	< 2	3.16	6.0	88	119	6150	19.9	17	3	1.25	1.39	20	926	7	1.18	215	0.018	11
61959	1.1	2.60	18	33	< 1	5	0.99	1.1	151	84	622	34.1	9	3	0.61	0.63	18	367	4	0.61	404	0.016	9
61960	1.1	2.13	5	39	< 1	4	0.34	1.0	156	102	525	31.7	8	3	0.56	0.42	19	274	6	0.70	394	0.019	10
61961	0.4	8.57	14	278	< 1	< 2	2.47	< 0.3	29	225	120	6.02	19	< 1	1.62	1.05	45	2890	13	2.45	88	0.026	11
61962	< 0.3	4.19	6	91	< 1	< 2	2.89	2.5	57	260	460	9.22	12	< 1	0.62	3.40	29	971	10	1.23	131	0.015	7
61963	1.0	5.59	12	57	< 1	3	2.89	0.9	571	124	172	15.7	15	< 1	0.96	1.10	23	1640	15	1.60	159	0.015	14
61964	< 0.3	6.86	< 3	40	< 1	< 2	7.63	< 0.3	141	371	92	9.05	22	< 1	0.18	0.21	4	699	35	1.45	69	0.020	7
61965	0.9	1.00	7	26	< 1	4	0.37	1.2	218	132	427	36.6	8	3	0.29	0.17	8	357	10	0.22	534	0.007	5
61966	0.6	4.02	13	54	< 1	2	2.18	2.3	112	122	518	21.6	12	2	1.24	0.77	30	423	9	0.26	266	0.029	7
61967	1.4	3.19	24	61	< 1	8	1.77	0.7	152	100	963	28.7	11	5	0.84	0.81	23	439	6	0.15	356	0.019	18
61968	1.5	1.68	130	49	< 1	6	0.31	0.6	220	101	915	33.2	8	5	0.68	0.33	15	253	7	0.06	506	0.016	17
61969	0.6	4.92	5	62	< 1	< 2	3.58	< 0.3	75	117	1780	13.3	14	< 1	1.53	0.48	2	494	10	1.31	174	0.019	8
61970	1.0	3.32	97	50	< 1	3	2.92	1.3	167	125	779	27.8	13	4	0.81	0.63	5	790	11	0.23	372	0.017	7
61971	0.7	3.09	4	26	< 1	5	1.86	0.8	108	197	289	22.8	10	4	0.60	1.02	19	621	9	0.93	277	0.017	6
61972	1.2	1.41	63	32	< 1	7	0.17	1.0	204	83	690	39.2	8	1	0.55	0.23	16	226	5	0.15	492	0.012	12
61973	< 0.3	7.58	< 3	323	< 1	< 2	4.60	< 0.3	20	150	47	5.78	15	< 1	0.99	2.88	36	1180	7	2.30	69	0.032	8
61974	1.2	1.91	4	35	< 1	4	0.90	1.2	197	78	916	36.8	8	3	0.82	0.25	5	230	5	0.29	465	0.018	10
61975	0.6	5.65	3	76	< 1	2	3.09	0.4	74	141	478	12.2	15	1	0.95	1.06	17	563	14	1.71	186	0.041	6
61976	0.6	6.68	< 3	158	< 1	< 2	2.50	0.8	37	154	347	8.75	16	< 1	1.61	1.25	42	966	11	1.89	95	0.013	16
61977	0.4	3.22	1900	< 7	< 1	3	0.23	< 0.3	39	78	138	23.1	10	3	0.02	4.28	6	6010	3	0.03	136	0.018	7
61978	< 0.3	0.15	1530	10	< 1	< 2	0.06	< 0.3	2	461	25	7.98	1	< 1	0.01	1.43	< 1	2910	29	0.01	25	0.004	< 3
61979	< 0.3	0.07	2350	< 7	< 1	3	0.14	< 0.3	4	193	22	11.0	2	< 1	< 0.01	1.61	< 1	2410	12	< 0.01	30	0.030	< 3
61980	< 0.3	0.35	194	9	< 1	2	0.12	0.4	7	171	26	15.3	3	< 1	0.02	2.54	2	5510	9	< 0.01	34	0.006	3
61981	< 0.3	0.10	> 5000	< 7	< 1	3	0.15	0.6	9	176	21	12.8	2	< 1	< 0.01	1.66	< 1	2440	10	< 0.01	81	0.021	< 3
61982	< 0.3	0.08	368	< 7	< 1	2	1.07	< 0.3	5	172	37	11.7	2	< 1	< 0.01	2.86	< 1	2560	11	0.01	54	0.016	4
61983	< 0.3	6.01	363	144	< 1	< 2	5.43	< 0.3	56	892	64	8.23	11	< 1	0.48	8.84	44	1350	2	0.44	503	0.017	6
61984	0.6	7.90	178	153	2	< 2	1.61	13.2	61	150	926	8.27	27	< 1	0.80	0.91	15	205	17	2.98	226	0.028	10

Results

Analyte Symbol	Sb	S	Sc	Sr	Te	Ti	Tl	U	V	W	Y	Zn	Zr
Unit Symbol	ppm	%	ppm	ppm	ppm	%	ppm	ppm	ppm	ppm	ppm	ppm	ppm
Lower Limit	5	0.01	4	1	2	0.01	5	10	2	5	1	1	5
Method Code	TD-ICP	TD-ICP	TD-ICP	TD-ICP	TD-ICP	TD-ICP	TD-ICP	TD-ICP	TD-ICP	TD-ICP	TD-ICP	TD-ICP	TD-ICP
62159	< 5	0.16	14	472	5	0.34	< 5	< 10	100	< 5	9	74	120
62160	< 5	2.65	16	812	4	0.36	< 5	< 10	106	34	11	70	126
62161	< 5	0.85	42	167	10	0.62	< 5	< 10	97	< 5	80	104	95
62162	< 5	0.23	50	101	< 2	0.17	< 5	< 10	66	< 5	44	182	9
62163	< 5	0.56	53	99	5	0.47	< 5	< 10	30	< 5	56	51	76
62164	< 5	0.64	50	105	< 2	0.37	< 5	< 10	247	< 5	45	205	29
62165	< 5	0.36	47	92	11	0.48	< 5	< 10	206	< 5	32	101	25
62166	< 5	1.62	51	249	7	0.76	< 5	< 10	46	< 5	66	75	96
62167	< 5	3.42	38	173	4	0.53	< 5	< 10	151	< 5	32	201	13
62168	< 5	0.11	14	149	4	0.34	< 5	10	97	< 5	21	101	127
62169	< 5	0.11	37	29	6	0.88	< 5	60	158	< 5	205	131	413
62170	< 5	0.08	10	323	< 2	0.27	< 5	< 10	69	< 5	9	52	114
62171	< 5	1.27	58	49	8	0.39	< 5	< 10	281	< 5	28	133	34
62172	< 5	0.18	46	101	8	0.63	< 5	< 10	239	< 5	28	95	70
62173	< 5	0.57	60	99	8	0.49	< 5	< 10	285	< 5	22	93	20
62174	< 5	1.87	57	56	4	0.45	< 5	< 10	219	< 5	53	91	33
62175	< 5	0.70	28	16	7	0.67	< 5	< 10	11	< 5	108	179	112
62176	< 5	1.67	16	216	10	0.28	< 5	< 10	82	6	11	156	112
62177	< 5	0.95	10	106	< 2	0.24	< 5	20	62	6	10	93	114
62178	< 5	7.43	25	185	< 2	0.29	< 5	< 10	97	< 5	21	122	52
62179	< 5	0.77	18	269	6	0.34	< 5	< 10	110	< 5	13	178	106
62180	< 5	13.7	16	43	3	0.14	< 5	< 10	53	11	9	901	81
62181	< 5	7.07	7	58	10	0.10	< 5	< 10	38	< 5	17	134	42
62182	< 5	0.46	46	198	6	0.41	< 5	< 10	260	< 5	15	61	27
62183	< 5	1.75	49	139	5	0.41	< 5	< 10	227	< 5	18	80	12
62184	< 5	1.29	41	137	3	0.49	< 5	< 10	236	< 5	14	130	46
62185	< 5	4.88	17	65	4	0.09	< 5	< 10	70	6	6	475	20
62186	< 5	0.73	< 4	146	2	0.03	< 5	< 10	15	221	23	67	< 5
62187	< 5	3.96	< 4	31	< 2	0.04	< 5	< 10	19	207	9	404	20
62188	< 5	1.24	15	1210	< 2	0.32	< 5	< 10	114	15	16	25	82
62189	< 5	1.91	12	261	6	0.20	< 5	< 10	78	33	15	52	65
62190	< 5	2.40	< 4	86	5	0.02	< 5	< 10	12	41	12	32	16
62191	< 5	0.32	29	78	6	0.24	< 5	< 10	149	11	11	62	12
62192	< 5	0.49	< 4	4	2	0.03	< 5	< 10	17	< 5	1	36	14
62193	< 5	1.26	14	76	3	0.33	< 5	< 10	74	< 5	14	2030	149
62194	< 5	0.63	27	46	< 2	0.32	< 5	< 10	137	15	15	1020	85
62195	< 5	0.37	21	338	5	0.51	< 5	10	168	< 5	9	124	68
62196	< 5	0.43	24	311	9	0.53	< 5	< 10	181	< 5	9	125	74
62197	< 5	1.02	25	94	7	0.25	< 5	< 10	147	< 5	13	69	12
62198	< 5	0.31	< 4	17	5	0.01	< 5	< 10	10	< 5	3	159	7
62199	< 5	5.07	7	49	3	0.04	< 5	< 10	69	7	18	1740	21
62200	< 5	1.60	9	295	< 2	0.21	< 5	< 10	64	< 5	12	49	71
61951	< 5	2.35	11	566	8	0.45	< 5	20	104	< 5	8	111	87
61952	< 5	1.50	17	271	10	0.69	< 5	< 10	149	< 5	15	82	134
61953	< 5	10.3	< 4	276	3	0.03	< 5	< 10	38	< 5	11	290	15
61954	< 5	0.36	4	222	6	0.06	< 5	< 10	32	< 5	6	17	11
61955	< 5	2.35	29	272	9	0.46	< 5	< 10	208	< 5	14	77	60
61956	< 5	4.33	18	506	9	0.26	< 5	< 10	104	< 5	14	70	77
61957	< 5	14.2	17	92	9	0.18	< 5	< 10	82	8	9	680	44

Analyte Symbol	Sb	S	Sc	Sr	Te	Ti	Tl	U	V	W	Y	Zn	Zr
Unit Symbol	ppm	%	ppm	ppm	ppm	%	ppm	ppm	ppm	ppm	ppm	ppm	ppm
Lower Limit	5	0.01	4	1	2	0.01	5	10	2	5	1	1	5
Method Code	TD-ICP	TD-ICP	TD-ICP	TD-ICP	TD-ICP	TD-ICP	TD-ICP	TD-ICP	TD-ICP	TD-ICP	TD-ICP	TD-ICP	TD-ICP
61958	< 5	11.7	10	86	4	0.21	< 5	< 10	79	20	9	1250	86
61959	< 5	> 20.0	7	34	10	0.12	< 5	< 10	43	< 5	6	108	50
61960	< 5	> 20.0	7	18	6	0.10	< 5	< 10	29	< 5	6	123	50
61961	< 5	1.74	16	176	4	0.33	< 5	< 10	113	< 5	13	152	108
61962	< 5	5.22	22	49	< 2	0.12	< 5	< 10	127	10	10	899	31
61963	< 5	13.5	11	132	2	0.22	< 5	< 10	76	< 5	10	192	79
61964	< 5	5.29	13	184	< 2	0.27	< 5	< 10	111	< 5	12	37	100
61965	5	> 20.0	< 4	10	10	0.05	< 5	< 10	23	< 5	4	15	36
61966	< 5	14.8	10	40	7	0.20	< 5	< 10	55	8	9	512	59
61967	< 5	> 20.0	10	40	10	0.15	< 5	< 10	56	< 5	8	64	57
61968	< 5	> 20.0	5	8	5	0.07	< 5	< 10	28	< 5	5	23	45
61969	< 5	9.18	7	121	< 2	0.20	< 5	< 10	52	< 5	13	20	84
61970	< 5	> 20.0	6	69	11	0.15	< 5	< 10	61	7	11	430	66
61971	< 5	15.0	13	50	10	0.16	< 5	< 10	69	< 5	9	118	38
61972	7	> 20.0	4	6	15	0.08	< 5	< 10	23	< 5	3	9	40
61973	< 5	0.19	17	157	5	0.34	< 5	< 10	114	< 5	14	59	101
61974	7	> 20.0	6	20	6	0.10	< 5	< 10	26	< 5	6	56	47
61975	< 5	9.33	12	113	< 2	0.26	< 5	< 10	65	< 5	16	117	106
61976	< 5	4.48	10	89	3	0.21	< 5	< 10	66	< 5	10	326	100
61977	20	4.40	11	11	3	0.14	< 5	< 10	73	9	11	351	44
61978	9	0.41	< 4	6	< 2	< 0.01	< 5	< 10	14	< 5	3	65	< 5
61979	11	1.14	< 4	2	3	< 0.01	< 5	< 10	6	< 5	6	40	7
61980	26	0.82	< 4	2	5	0.01	< 5	< 10	20	< 5	5	243	9
61981	28	1.42	< 4	3	3	< 0.01	< 5	< 10	10	< 5	4	35	5
61982	6	1.62	< 4	3	5	< 0.01	< 5	< 10	8	< 5	3	101	< 5
61983	< 5	0.70	37	93	< 2	0.28	< 5	< 10	185	< 5	13	235	32
61984	< 5	5.13	27	382	4	0.31	< 5	< 10	131	7	14	3560	98

QC

Analyte Symbol	Ag	Al	As	Ba	Be	Bi	Ca	Cd	Co	Cr	Cu	Fe	Ga	Hg	K	Mg	Li	Mn	Mo	Na	Ni	P	Pb	
Unit Symbol	ppm	%	ppm	ppm	ppm	ppm	%	ppm	ppm	ppm	ppm	%	ppm	ppm	%	%	ppm	ppm	ppm	%	ppm	%	ppm	
Lower Limit	0.3	0.01	3	7	1	2	0.01	0.3	1	1	1	0.01	1	1	0.01	0.01	1	1	1	0.01	1	0.001	3	
Method Code	TD-ICP	TD-ICP	TD-ICP	TD-ICP	TD-ICP	TD-ICP	TD-ICP	TD-ICP	TD-ICP	TD-ICP	TD-ICP	TD-ICP	TD-ICP	TD-ICP	TD-ICP	TD-ICP	TD-ICP	TD-ICP	TD-ICP	TD-ICP	TD-ICP	TD-ICP	TD-ICP	
GXR-1 Meas	31.0	1.94	405	629	1	1340	0.86	2.4	8	11	1120	23.3	13	7	0.04	0.20	8	888	14	0.04	39	0.069	715	
GXR-1 Cert	31.0	3.52	427	750	1.22	1380	0.960	3.30	8.20	12.0	1110	23.6	13.8	3.90	0.050	0.217	8.20	852	18.0	0.0520	41.0	0.0650	730	
DH-1a Meas																								
DH-1a Cert																								
GXR-4 Meas	3.5	6.28	106	124	2	11	1.04	0.3	14	41	6540	3.07	15	< 1	3.60	1.68	11	162	296	0.52	40	0.131	42	
GXR-4 Cert	4.0	7.20	98.0	1640	1.90	19.0	1.01	0.860	14.6	64.0	6520	3.09	20.0	0.110	4.01	1.66	11.1	155	310	0.564	42.0	0.120	52.0	
SDC-1 Meas		7.89	< 3	618	3		1.06		18	42	29	4.77	20	< 1	2.70	0.98	34	845		1.51	34	0.052	20	
SDC-1 Cert		8.34	0.220	630	3.00		1.00		18.0	64.00	30.000	4.82	21.00	0.20	2.72	1.02	34.00	880.00		1.52	38.0	0.0690	25.00	
DNC-1a Meas				94					54	141	97		13				4					248	< 3	
DNC-1a Cert				118					57.0	270	100.00		15				5.20					247	6.3	
SBC-1 Meas			28	742	3	< 2		< 0.3	22	99	34		26				154		2		83		25	
SBC-1 Cert			25.7	788.0	3.20	0.70		0.40	22.7	109	31.0000		27.0				163.0		2.40		82.8		35.0	
OREAS 45d (4-Acid) Meas		7.55	6	175	< 1	< 2	0.18		32	451	375	13.9	20		0.40	0.24	22	484	3	0.09	233	0.033	17	
OREAS 45d (4-Acid) Cert		8.150	13.80	183.0	0.79	0.31	0.185		29.50	549.0	371.0	14.520	21.20		0.412	0.245	21.50	490.000	2.500	0.101	231.0	0.042	21.8	
SdAR-M2 (U.S.G.S.) Meas				987	7	< 2			5.2	13	38	232		16	2				11			51		817
SdAR-M2 (U.S.G.S.) Cert				990	6.6	1.05			5.1	12.4	49.6			17.6	1.44				13.3			48.8		808
62176 Orig	0.6	6.59	620	116	2	< 2	0.53	0.3	30	207	66	3.99	15	< 1	3.30	0.90	21	237	18	2.35	85	0.037	12	
62176 Dup	0.6	6.62	608	246	2	< 2	0.52	0.6	30	195	80	3.97	14	< 1	3.28	0.90	21	235	18	2.35	86	0.036	13	
61957 Orig	2.0	3.85	116	59	< 1	2	1.53	1.9	84	322	557	20.9	12	4	1.45	0.83	4	1370	7	1.57	215	0.030	24	
61957 Dup	2.1	3.89	103	63	< 1	< 2	1.55	2.1	85	361	563	21.4	13	3	1.47	0.85	4	1420	7	1.59	219	0.030	22	
61967 Orig	1.4	3.20	24	63	< 1	7	1.76	0.7	152	97	967	28.9	11	5	0.84	0.82	23	435	6	0.15	356	0.020	17	
61967 Dup	1.4	3.17	24	59	< 1	9	1.77	0.7	152	102	958	28.5	11	4	0.83	0.81	23	443	6	0.15	356	0.019	18	
61969 Orig	0.6	4.61	5	31	< 1	2	3.53	0.3	74	133	1760	13.0	14	1	1.50	0.46	2	517	10	1.28	170	0.019	7	
61969 Dup	0.5	5.23	5	94	< 1	< 2	3.64	< 0.3	77	100	1800	13.5	13	< 1	1.56	0.51	2	471	10	1.33	178	0.019	8	
Method Blank	< 0.3	< 0.01	< 3	< 7	< 1	< 2	< 0.01	< 0.3	< 1		< 1	< 0.01	< 1	< 1	< 0.01	< 0.01	< 1		< 1	< 0.01	< 1	< 0.001	< 3	
Method Blank	< 0.3	0.02	< 3	< 7	< 1	< 2	< 0.01	< 0.3	< 1		< 1	< 0.01	< 1	< 1	< 0.01	< 0.01	< 1		< 1	< 0.01	< 1	< 0.001	< 3	
Method Blank	< 0.3	< 0.01	< 3	< 7	< 1	< 2	< 0.01	< 0.3	< 1		< 1	< 0.01	< 1	< 1	< 0.01	< 0.01	< 1		< 1	< 0.01	< 1	< 0.001	< 3	
Method Blank	< 0.3	0.01	< 3	< 7	< 1	< 2	< 0.01	< 0.3	< 1		2	< 0.01	< 1	< 1	< 0.01	< 0.01	< 1		< 1	< 0.01	< 1	< 0.001	< 3	

QC

Analyte Symbol	Sb	S	Sc	Sr	Te	Ti	Tl	U	V	W	Y	Zn	Zr
Unit Symbol	ppm	%	ppm	ppm	ppm	%	ppm	ppm	ppm	ppm	ppm	ppm	ppm
Lower Limit	5	0.01	4	1	2	0.01	5	10	2	5	1	1	5
Method Code	TD-ICP	TD-ICP	TD-ICP	TD-ICP	TD-ICP	TD-ICP	TD-ICP	TD-ICP	TD-ICP	TD-ICP	TD-ICP	TD-ICP	TD-ICP
GXR-1 Meas	18	0.24	< 4	282	15	0.03	< 5	30	85	134	34	727	21
GXR-1 Cert	122	0.257	1.58	275	13.0	0.036	0.390	34.9	80.0	164	32.0	760	38.0
DH-1a Meas								2380					
DH-1a Cert								2629					
GXR-4 Meas	< 5	1.78	8	211	7	0.28	< 5	< 10	85	35	15	70	32
GXR-4 Cert	4.80	1.77	7.70	221	0.970	0.29	3.20	6.20	87.0	30.8	14.0	73.0	186
SDC-1 Meas	< 5		16	170		0.12	< 5	< 10	39			98	24
SDC-1 Cert	0.54		17.00	180.00		0.606	0.70	3.10	102.00	0.80		103.00	290.00
DNC-1a Meas	< 5		30	125		0.27			136		16	59	34
DNC-1a Cert	0.96		31	144.0		0.29			148.00		18.0	70.0	38.000
SBC-1 Meas	< 5		20	171		0.49	< 5	< 10	207	< 5	32	181	95

Analyte Symbol	Sb	S	Sc	Sr	Te	Ti	Tl	U	V	W	Y	Zn	Zr
Unit Symbol	ppm	%	ppm	ppm	ppm	%	ppm	ppm	ppm	ppm	ppm	ppm	ppm
Lower Limit	5	0.01	4	1	2	0.01	5	10	2	5	1	1	5
Method Code	TD-ICP	TD-ICP	TD-ICP	TD-ICP	TD-ICP	TD-ICP	TD-ICP	TD-ICP	TD-ICP	TD-ICP	TD-ICP	TD-ICP	TD-ICP
SBC-1 Cert	1.01		20.0	178.0		0.51	0.89	5.76	220.0	1.60	36.5	186.0	134.0
OREAS 45d (4-Acid) Meas	< 5	0.04	55	31		0.14	< 5	< 10	85	< 5	13	41	39
OREAS 45d (4-Acid) Cert	0.82	0.049	49.30	31.30		0.773	0.27	2.63	235.0	1.62	9.53	45.7	141
SdAR-M2 (U.S.G.S.) Meas			4	141				< 10	25	9	29	774	93
SdAR-M2 (U.S.G.S.) Cert			4.1	144				2.53	25.2	2.8	32.7	760	259
62176 Orig	< 5	1.67	16	216	12	0.28	< 5	< 10	82	5	11	158	112
62176 Dup	< 5	1.67	16	216	8	0.28	< 5	< 10	82	6	11	155	113
61957 Orig	< 5	13.8	17	93	6	0.18	< 5	< 10	81	7	9	671	44
61957 Dup	< 5	14.7	17	92	13	0.18	< 5	< 10	82	9	9	690	43
61967 Orig	< 5	> 20.0	10	40	13	0.15	< 5	< 10	55	< 5	8	61	58
61967 Dup	< 5	> 20.0	10	40	7	0.15	< 5	< 10	56	< 5	8	66	56
61969 Orig	< 5	9.08	7	118	< 2	0.19	< 5	< 10	51	< 5	12	20	85
61969 Dup	< 5	9.28	7	124	< 2	0.20	< 5	< 10	53	< 5	13	21	84
Method Blank	< 5	< 0.01	< 4	< 1	< 2	< 0.01	< 5	< 10	< 2	< 5	< 1	< 1	< 5
Method Blank	< 5	< 0.01	< 4	1	< 2	< 0.01	< 5	< 10	< 2	< 5	< 1	< 1	< 5
Method Blank	< 5	< 0.01	< 4	< 1	< 2	< 0.01	< 5	< 10	< 2	< 5	< 1	< 1	< 5
Method Blank	< 5	< 0.01	< 4	< 1	< 2	< 0.01	< 5	< 10	< 2	< 5	< 1	< 1	< 5

Quality Analysis ...



Innovative Technologies

Date Submitted: 14-Aug-15
Invoice No.: A15-06584
Invoice Date: 26-Aug-15
Your Reference: SG15-1151 35634 VISIBLE GOLD

Techni-Lab Abitibi Inc.(Actlabs)
184 Rue Principale
Ste-Germaine-Boule Quebec JOZ 1M0
Canada

ATTN: Andre Caouette

CERTIFICATE OF ANALYSIS

84 Pulp samples were submitted for analysis.

The following analytical package was requested:

Code 1F2 Total Digestion ICP(TOTAL)

REPORT **A15-06584**

This report may be reproduced without our consent. If only selected portions of the report are reproduced, permission must be obtained. If no instructions were given at time of sample submittal regarding excess material, it will be discarded within 90 days of this report. Our liability is limited solely to the analytical cost of these analyses. Test results are representative only of material submitted for analysis.

Notes:

Values which exceed the upper limit should be assayed for accurate numbers.

CERTIFIED BY:

A handwritten signature in black ink, appearing to read "Elitsa Hrischeva".

Elitsa Hrischeva, Ph.D.
Quality Control

ACTIVATION LABORATORIES LTD.

41 Bittern Street, Ancaster, Ontario, Canada, L9G 4V5
TELEPHONE +905 648-9611 or +1.888.228.5227 FAX +1.905.648.9613
E-MAIL Ancaster@actlabs.com ACTLABS GROUP WEBSITE www.actlabs.com



Results

Analyte Symbol	Ag	Al	As	Ba	Be	Bi	Ca	Cd	Co	Cr	Cu	Fe	Ga	Hg	K	Mg	Li	Mn	Mo	Na	Ni	P	Pb
Unit Symbol	ppm	%	ppm	ppm	ppm	ppm	%	ppm	ppm	ppm	ppm	%	ppm	ppm	%	%	ppm	ppm	ppm	%	ppm	%	ppm
Lower Limit	0.3	0.01	3	7	1	2	0.01	0.3	1	1	1	0.01	1	1	0.01	0.01	1	1	1	0.01	1	0.001	3
Method Code	TD-ICP	TD-ICP	TD-ICP	TD-ICP	TD-ICP	TD-ICP	TD-ICP	TD-ICP	TD-ICP	TD-ICP	TD-ICP	TD-ICP	TD-ICP	TD-ICP	TD-ICP	TD-ICP	TD-ICP	TD-ICP	TD-ICP	TD-ICP	TD-ICP	TD-ICP	TD-ICP
61786	0.4	7.79	4	411	< 1	< 2	1.28	< 0.3	28	346	93	6.70	20	< 1	3.19	2.39	24	514	10	1.92	156	0.030	20
61787	< 0.3	7.23	5	150	< 1	< 2	3.68	1.2	23	109	48	8.40	20	< 1	0.81	2.31	30	1180	< 1	2.33	46	0.036	5
61788	< 0.3	3.95	< 3	94	2	4	3.33	< 0.3	27	282	184	6.41	11	< 1	0.64	1.88	7	996	13	0.99	42	0.035	< 3
61789	0.4	6.33	4	86	2	< 2	4.83	1.2	33	88	174	11.4	27	< 1	0.83	2.91	17	1810	9	1.59	54	0.035	4
61790	< 0.3	10.6	< 3	227	< 1	< 2	2.56	< 0.3	75	117	24	6.26	29	< 1	0.54	2.60	30	1960	< 1	3.60	201	0.038	4
61791	< 0.3	7.83	< 3	99	< 1	< 2	2.39	1.1	42	180	56	12.4	22	< 1	0.42	1.56	30	2950	< 1	2.05	108	0.038	< 3
62001	0.4	8.28	< 3	92	2	< 2	0.59	0.8	30	134	64	4.76	18	< 1	3.04	1.51	51	374	13	3.28	91	0.061	17
62002	0.5	7.91	3	419	1	< 2	1.73	< 0.3	27	293	41	5.52	18	1	2.79	2.05	64	777	11	1.97	128	0.062	13
62003	< 0.3	8.23	5	> 1000	1	< 2	4.40	< 0.3	23	215	43	5.24	18	< 1	2.00	2.39	26	1120	< 1	2.31	65	0.149	6
62004	< 0.3	6.42	4	917	2	< 2	2.69	< 0.3	9	134	21	3.26	19	< 1	2.11	0.50	18	669	10	3.25	8	0.061	13
62005	< 0.3	4.95	< 3	112	< 1	< 2	6.71	1.0	54	613	205	13.2	10	< 1	0.64	2.53	17	2190	2	0.68	311	0.018	< 3
62006	< 0.3	6.00	< 3	69	< 1	< 2	6.17	0.8	34	231	77	12.2	14	< 1	0.54	3.23	16	3470	1	1.00	100	0.017	< 3
62007	2.8	0.46	44	10	< 1	< 2	0.94	4.2	46	93	829	28.4	11	2	0.06	1.07	3	1920	10	0.09	138	0.004	5
62008	0.3	4.60	< 3	60	2	< 2	1.78	1.5	30	274	126	9.65	17	< 1	0.98	0.98	46	381	13	1.26	95	0.039	20
62009	< 0.3	4.85	< 3	20	< 1	11	7.62	1.3	33	116	325	13.4	14	< 1	0.11	2.96	10	6850	2	0.61	59	0.018	< 3
62010	< 0.3	5.05	< 3	83	< 1	3	6.35	1.6	27	127	101	14.8	16	< 1	0.30	3.30	10	5900	5	0.65	54	0.020	< 3
62011	< 0.3	5.52	4	36	< 1	3	7.48	1.4	26	127	23	13.5	16	< 1	0.15	3.28	13	3500	2	0.60	66	0.016	< 3
62012	0.3	8.32	< 3	518	2	< 2	1.89	< 0.3	16	171	80	4.83	19	< 1	2.88	1.79	63	624	16	2.64	59	0.056	13
62013	0.3	5.36	< 3	293	< 1	< 2	2.23	< 0.3	< 1	211	30	2.22	14	< 1	1.21	0.17	7	169	19	2.26	11	0.044	30
62014	1.4	0.28	< 3	11	< 1	< 2	0.05	1.1	13	474	2370	12.7	2	< 1	0.06	0.05	4	142	34	0.01	95	0.005	7
62015	< 0.3	5.26	8	62	2	< 2	5.44	1.4	14	504	122	10.8	13	< 1	1.86	2.59	42	2720	2	0.80	74	0.015	14
62016	0.7	4.60	> 5000	55	2	< 2	2.14	1.6	199	211	685	12.2	14	< 1	0.94	1.27	19	1400	34	1.76	104	0.050	27
62017	0.4	3.67	> 5000	37	1	< 2	1.85	1.7	216	145	188	10.0	11	< 1	0.57	1.04	11	1230	29	1.50	94	0.038	32
62018	0.5	5.78	40	52	2	< 2	1.82	1.8	15	144	316	12.6	20	< 1	1.59	1.66	44	3590	7	1.49	55	0.070	16
62019	< 0.3	0.24	183	7	< 1	< 2	1.84	3.1	8	197	66	13.8	5	< 1	0.04	0.84	3	4300	14	0.04	14	0.030	5
62020	0.5	1.45	753	19	< 1	< 2	0.51	4.5	59	354	155	8.77	6	< 1	0.16	0.50	11	1910	25	0.08	60	0.010	13
62021	0.5	1.55	990	< 7	< 1	< 2	1.89	< 0.3	40	190	169	15.8	9	< 1	0.08	1.58	5	7290	13	0.07	33	0.012	< 3
62022	0.3	2.91	1220	< 7	< 1	< 2	6.44	< 0.3	34	111	157	18.6	13	< 1	0.16	3.03	7	9740	3	0.21	51	0.011	7
62023	< 0.3	7.55	207	244	< 1	< 2	2.16	0.8	30	289	37	8.53	16	< 1	1.86	1.30	80	2530	3	1.59	78	0.018	39
62024	0.7	1.35	674	74	< 1	< 2	2.45	3.8	28	211	139	6.74	7	< 1	0.42	1.71	3	1370	52	0.27	27	0.008	28
62025	< 0.3	6.45	< 3	19	< 1	7	2.81	0.7	36	56	102	9.29	17	< 1	0.29	2.22	25	1740	< 1	2.82	14	0.042	5
62026	0.4	8.79	< 3	620	< 1	< 2	1.93	< 0.3	22	205	39	4.47	17	< 1	2.91	1.39	36	948	10	3.44	49	0.095	38
62027	0.4	2.85	9	108	25	< 2	6.94	1.8	25	138	232	13.6	16	< 1	0.62	0.28	12	1230	26	0.22	66	0.117	< 3
62028	< 0.3	3.38	< 3	122	6	< 2	4.95	1.1	17	235	118	8.81	11	< 1	0.96	0.80	28	779	47	0.29	52	0.052	< 3
62029	< 0.3	6.46	< 3	367	< 1	< 2	3.18	< 0.3	12	215	27	4.07	13	< 1	1.31	1.44	22	1080	14	2.01	41	0.055	14
62030	< 0.3	5.93	69	290	< 1	< 2	8.92	< 0.3	53	1180	60	6.17	10	< 1	0.91	3.45	21	1690	3	1.12	320	0.013	< 3
62031	< 0.3	8.29	< 3	9	1	< 2	14.2	< 0.3	40	107	111	6.86	32	< 1	0.08	1.72	18	1410	5	0.15	95	0.015	5
62032	< 0.3	5.61	12	24	< 1	2	10.3	0.9	45	219	240	12.3	14	< 1	0.18	2.67	43	4970	5	0.42	130	0.019	4
62033	0.7	7.76	< 3	46	2	< 2	2.95	16.0	41	98	159	7.14	25	< 1	0.30	0.85	44	355	11	2.96	164	0.022	11
62034	< 0.3	5.08	< 3	76	1	< 2	6.27	1.2	24	618	81	10.1	10	< 1	3.13	2.18	8	3110	6	0.91	120	0.043	20
62035	0.3	8.22	142	432	1	< 2	1.69	< 0.3	16	189	27	3.76	17	< 1	2.49	1.27	38	515	13	2.99	55	0.048	18
62036	< 0.3	10.9	< 3	189	5	< 2	2.38	0.8	16	101	146	3.42	32	< 1	1.35	1.19	71	659	6	4.62	53	0.052	78
62037	< 0.3	8.75	< 3	551	2	< 2	8.69	< 0.3	16	100	11	4.21	22	< 1	2.35	1.60	36	1200	6	1.69	44	0.086	< 3
62038	1.1	2.18	15	52	< 1	< 2	0.73	3.3	165	75	841	28.4	16	< 1	0.71	0.38	6	287	2	0.71	472	0.013	5
62039	2.8	6.59	< 3	74	< 1	< 2	5.97	0.6	11	414	3180	8.30	15	< 1	0.43	2.15	8	1030	8	1.91	21	0.031	< 3
62040	< 0.3	5.28	< 3	616	< 1	< 2	1.07	< 0.3	12	341	32	2.96	10	< 1	1.78	0.96	29	420	27	1.51	53	0.010	7
62041	0.4	8.81	< 3	245	< 1	< 2	4.19	< 0.3	17	110	32	4.43	17	< 1	1.21	1.51	55	755	2	2.44	45	0.046	6
62042	0.4	7.19	< 3	40	< 1	< 2	1.04	1.9	58	170	129	16.0	19	< 1	0.24	1.90	35	2430	< 1	0.38	109	0.015	< 3
62043	< 0.3	4.82	< 3	278	< 1	< 2	6.26	< 0.3	52	276	83	5.64	17	< 1	3.87	1.25	21	1120	7	0.11	79	0.033	37

Analyte Symbol	Ag	Al	As	Ba	Be	Bi	Ca	Cd	Co	Cr	Cu	Fe	Ga	Hg	K	Mg	Li	Mn	Mo	Na	Ni	P	Pb
Unit Symbol	ppm	%	ppm	ppm	ppm	ppm	%	ppm	ppm	ppm	ppm	%	ppm	ppm	%	%	ppm	ppm	ppm	%	ppm	%	ppm
Lower Limit	0.3	0.01	3	7	1	2	0.01	0.3	1	1	1	0.01	1	1	0.01	0.01	1	1	1	0.01	1	0.001	3
Method Code	TD-ICP	TD-ICP	TD-ICP	TD-ICP	TD-ICP	TD-ICP	TD-ICP	TD-ICP	TD-ICP	TD-ICP	TD-ICP	TD-ICP	TD-ICP	TD-ICP	TD-ICP	TD-ICP	TD-ICP	TD-ICP	TD-ICP	TD-ICP	TD-ICP	TD-ICP	TD-ICP
62044	1.5	7.03	< 3	51	< 1	5	1.04	2.5	93	104	1570	18.2	22	< 1	1.94	1.28	39	1360	< 1	0.26	75	0.056	< 3
62045	< 0.3	2.06	< 3	< 7	< 1	< 2	1.57	< 0.3	14	294	63	2.00	5	< 1	0.02	0.50	2	441	21	0.98	13	0.018	< 3
62046	2.3	9.54	34	51	2	< 2	0.16	0.9	6	74	134	6.30	14	< 1	5.92	0.84	40	756	18	1.33	55	0.052	50
62047	1.1	2.98	< 3	62	< 1	< 2	5.85	0.9	33	137	988	10.4	10	< 1	0.98	2.00	7	1170	13	0.19	249	0.074	< 3
62220	0.6	7.29	< 3	369	1	< 2	1.94	< 0.3	41	287	211	4.11	19	< 1	2.42	0.35	13	330	20	1.33	52	0.057	13
62221	1.0	8.53	4	190	2	< 2	1.73	< 0.3	19	232	206	4.28	20	< 1	2.42	1.67	51	549	13	2.62	71	0.066	19
62222	0.5	7.91	< 3	265	2	< 2	2.02	< 0.3	21	255	160	4.32	19	< 1	2.28	1.46	50	613	25	2.52	75	0.062	13
62223	< 0.3	9.38	< 3	389	2	5	4.98	0.6	27	54	26	7.98	26	< 1	1.68	2.10	24	1520	3	2.42	34	0.103	4
62224	< 0.3	7.13	< 3	210	< 1	9	5.51	0.9	44	48	95	11.5	22	< 1	1.06	2.42	13	1580	< 1	1.69	29	0.042	< 3
62225	0.5	7.79	< 3	584	1	< 2	0.60	< 0.3	6	234	6	6.86	18	< 1	2.12	0.60	12	236	13	3.70	36	0.037	11
62226	0.4	6.19	< 3	371	1	2	0.57	< 0.3	13	283	4	4.15	19	< 1	1.56	1.28	23	413	12	3.25	58	0.057	7
62227	< 0.3	6.04	< 3	153	2	< 2	0.22	< 0.3	13	308	15	3.11	15	< 1	1.36	1.03	30	371	19	2.17	50	0.017	9
62228	0.4	8.78	< 3	399	3	< 2	0.72	< 0.3	25	169	37	5.45	23	< 1	2.67	1.80	49	729	1	2.73	99	0.035	18
62229	< 0.3	3.85	< 3	411	2	< 2	0.12	< 0.3	7	362	12	2.98	9	< 1	3.15	0.71	33	181	28	0.07	30	0.031	4
62230	< 0.3	3.05	< 3	777	1	< 2	0.09	< 0.3	4	365	11	1.28	6	< 1	3.03	0.40	17	128	34	0.19	18	0.014	< 3
62231	0.5	8.49	< 3	287	2	< 2	1.45	< 0.3	15	246	81	4.20	18	< 1	2.22	1.12	42	342	22	3.07	54	0.046	18
62232	0.5	7.74	< 3	324	2	< 2	1.55	< 0.3	23	150	32	5.07	15	< 1	1.74	1.83	55	931	9	2.04	44	0.034	13
62233	< 0.3	7.57	< 3	311	1	< 2	2.53	< 0.3	7	177	117	1.67	17	< 1	2.85	0.31	10	286	16	0.75	26	0.116	19
62234	< 0.3	0.89	< 3	52	< 1	< 2	0.03	< 0.3	< 1	505	12	0.66	2	< 1	0.39	0.04	3	64	38	0.31	12	0.002	< 3
62235	< 0.3	5.45	< 3	278	< 1	< 2	3.39	< 0.3	10	356	75	2.33	15	< 1	1.58	0.62	12	609	24	0.46	30	0.132	23
62236	1.4	1.39	< 3	80	< 1	< 2	0.09	< 0.3	6	614	10	2.05	5	< 1	0.76	0.48	19	261	54	0.23	29	0.002	< 3
62237	0.5	7.25	< 3	222	2	< 2	1.12	< 0.3	12	291	29	4.29	19	< 1	2.10	1.09	44	563	11	2.56	51	0.007	17
62238	0.5	9.40	< 3	849	2	< 2	1.26	< 0.3	18	219	32	4.32	23	< 1	3.28	1.72	81	568	9	2.95	76	0.046	20
62239	0.9	7.82	< 3	59	3	< 2	1.42	0.4	54	147	845	6.43	23	< 1	2.76	1.42	39	484	11	1.47	75	0.074	4
62240	0.8	7.88	< 3	168	2	< 2	1.14	< 0.3	15	226	62	3.09	20	< 1	1.85	0.98	48	298	19	3.14	51	0.030	51
62241	0.4	8.26	< 3	338	2	< 2	1.28	< 0.3	19	235	39	4.64	25	< 1	2.76	1.55	68	495	6	2.81	60	0.025	20
62242	< 0.3	6.02	< 3	242	4	< 2	3.34	0.6	30	231	121	9.21	18	< 1	1.73	2.07	18	1520	3	0.64	27	0.022	6
62243	< 0.3	6.30	< 3	187	4	< 2	4.16	0.8	36	123	94	9.95	19	< 1	1.76	2.58	17	1560	< 1	0.87	46	0.052	9
62244	0.3	6.60	< 3	137	3	9	2.08	0.6	51	180	134	9.84	25	< 1	2.26	2.00	39	1310	2	1.05	63	0.061	8
62245	< 0.3	1.37	< 3	165	< 1	< 2	6.53	< 0.3	50	1650	4	4.00	6	< 1	0.50	10.7	9	789	< 1	0.24	663	0.025	< 3
62246	< 0.3	6.81	< 3	56	< 1	< 2	5.60	0.6	46	116	57	8.42	14	< 1	0.26	3.99	17	1340	1	1.65	94	0.022	< 3
62247	0.5	8.71	< 3	317	2	< 2	1.30	0.7	35	169	87	5.28	21	< 1	2.74	1.79	158	449	11	2.84	142	0.026	13
62248	< 0.3	6.39	< 3	93	10	14	6.23	2.5	25	276	126	15.2	24	< 1	1.39	2.02	18	7480	< 1	0.62	57	0.013	< 3
62249	0.7	8.05	< 3	775	2	< 2	4.84	1.3	6	134	79	2.84	19	< 1	2.51	0.88	35	631	13	0.58	21	0.056	160
62250	0.6	3.43	< 3	11	< 1	< 2	4.81	2.1	111	1520	332	19.9	13	< 1	0.08	2.59	10	7510	3	0.30	1360	0.016	< 3

Results

Analyte Symbol	Sb	S	Sc	Sr	Te	Ti	Tl	U	V	W	Y	Zn	Zr	Ni
Unit Symbol	ppm	%	ppm	ppm	ppm	%	ppm	ppm	ppm	ppm	ppm	ppm	ppm	%
Lower Limit	5	0.01	4	1	2	0.01	5	10	2	5	1	1	5	
Method Code	TD-ICP	TD-ICP	TD-ICP	TD-ICP	TD-ICP	TD-ICP	TD-ICP	TD-ICP	TD-ICP	TD-ICP	TD-ICP	TD-ICP	TD-ICP	ICP-OES
61786	< 5	0.71	22	217	< 2	0.42	< 5	< 10	136	< 5	12	124	121	
61787	< 5	0.28	34	110	< 2	0.23	< 5	< 10	136	< 5	31	177	29	
61788	< 5	0.45	24	81	< 2	0.46	< 5	< 10	201	< 5	16	56	24	
61789	< 5	0.50	41	112	< 2	0.33	< 5	< 10	291	< 5	27	119	37	
61790	< 5	0.03	49	190	< 2	0.14	< 5	< 10	128	< 5	23	79	15	
61791	< 5	0.26	43	98	< 2	0.37	< 5	< 10	210	< 5	27	445	24	
62001	< 5	1.49	16	221	< 2	0.29	< 5	< 10	98	< 5	11	331	124	
62002	< 5	0.78	20	250	< 2	0.35	< 5	< 10	132	< 5	11	88	93	
62003	< 5	0.01	22	452	< 2	0.35	< 5	< 10	144	< 5	19	90	77	
62004	< 5	0.21	< 4	384	< 2	0.27	< 5	< 10	61	< 5	4	52	89	
62005	< 5	4.03	25	134	< 2	0.19	< 5	< 10	134	< 5	13	61	14	
62006	< 5	0.37	38	44	< 2	0.33	< 5	< 10	217	< 5	16	83	13	
62007	< 5	17.2	< 4	12	2	0.03	< 5	< 10	12	11	5	219	17	
62008	< 5	5.08	11	31	< 2	0.15	< 5	< 10	62	< 5	7	288	64	
62009	< 5	1.29	28	32	< 2	0.31	< 5	< 10	186	< 5	13	131	13	
62010	< 5	0.26	33	21	< 2	0.36	< 5	< 10	217	< 5	14	199	16	
62011	< 5	0.05	35	40	2	0.36	< 5	< 10	215	< 5	15	126	13	
62012	< 5	0.34	12	397	< 2	0.27	< 5	< 10	82	< 5	10	76	102	
62013	< 5	0.01	< 4	1530	< 2	0.10	< 5	< 10	43	< 5	9	6	12	
62014	< 5	7.47	< 4	5	< 2	0.01	< 5	< 10	20	< 5	< 1	55	7	
62015	< 5	4.56	31	145	< 2	0.29	< 5	< 10	179	< 5	12	401	15	
62016	< 5	6.68	11	135	< 2	0.24	< 5	< 10	83	12	9	883	60	
62017	< 5	4.64	8	109	< 2	0.19	< 5	< 10	60	10	9	632	51	
62018	< 5	4.68	13	390	< 2	0.33	< 5	< 10	127	< 5	8	511	63	
62019	< 5	1.09	< 4	7	< 2	0.01	< 5	< 10	15	< 5	6	423	7	
62020	< 5	2.90	5	10	< 2	0.07	< 5	< 10	31	9	4	1060	28	
62021	< 5	2.97	7	7	< 2	0.10	< 5	< 10	63	< 5	6	617	29	
62022	< 5	2.24	19	18	< 2	0.17	< 5	< 10	106	6	19	504	17	
62023	< 5	0.26	46	142	< 2	0.29	< 5	< 10	234	< 5	15	158	25	
62024	< 5	3.09	5	21	< 2	0.06	< 5	< 10	25	< 5	6	621	27	
62025	< 5	0.71	42	110	< 2	0.58	< 5	< 10	347	< 5	36	85	57	
62026	< 5	0.24	17	330	< 2	0.35	< 5	< 10	123	< 5	11	77	87	
62027	< 5	3.78	< 4	323	7	0.02	< 5	< 10	23	57	21	153	12	
62028	< 5	2.91	< 4	133	< 2	0.03	< 5	< 10	16	24	12	98	13	
62029	< 5	0.18	15	330	< 2	0.23	< 5	< 10	109	< 5	10	56	48	
62030	< 5	0.21	35	236	< 2	0.27	< 5	< 10	192	< 5	14	69	8	
62031	< 5	0.30	30	221	< 2	0.33	< 5	< 10	174	< 5	15	34	16	
62032	< 5	1.50	38	49	< 2	0.36	< 5	< 10	204	< 5	24	60	15	
62033	< 5	3.73	18	257	< 2	0.18	< 5	< 10	73	< 5	24	6510	208	
62034	< 5	5.31	21	376	< 2	0.20	< 5	< 10	103	< 5	17	279	22	
62035	< 5	0.71	12	384	< 2	0.28	< 5	< 10	85	< 5	12	60	119	
62036	< 5	0.31	19	333	< 2	0.22	< 5	< 10	75	< 5	11	168	47	
62037	< 5	0.04	14	168	< 2	0.33	< 5	< 10	188	26	10	68	15	
62038	< 5	> 20.0	6	30	18	0.10	< 5	< 10	36	15	6	115	48	
62039	< 5	2.14	24	275	< 2	0.36	< 5	< 10	152	< 5	7	91	47	
62040	< 5	0.10	8	258	< 2	0.19	< 5	< 10	60	< 5	6	43	76	
62041	< 5	0.03	17	221	< 2	0.27	< 5	< 10	92	< 5	17	58	105	
62042	< 5	0.04	24	11	< 2	0.36	< 5	< 10	121	< 5	32	145	130	
62043	< 5	0.35	11	332	< 2	0.29	< 5	< 10	106	< 5	11	209	30	

Analyte Symbol	Sb	S	Sc	Sr	Te	Ti	Tl	U	V	W	Y	Zn	Zr	Ni
Unit Symbol	ppm	%	ppm	ppm	ppm	%	ppm	ppm	ppm	ppm	ppm	ppm	ppm	%
Lower Limit	5	0.01	4	1	2	0.01	5	10	2	5	1	1	5	
Method Code	TD-ICP	TD-ICP	TD-ICP	TD-ICP	TD-ICP	TD-ICP	TD-ICP	TD-ICP	TD-ICP	TD-ICP	TD-ICP	TD-ICP	TD-ICP	ICP-OES
62044	< 5	4.79	23	23	< 2	0.64	< 5	< 10	111	< 5	42	484	129	
62045	< 5	0.49	8	76	< 2	0.14	< 5	< 10	48	< 5	4	18	6	
62046	< 5	4.43	15	168	< 2	0.22	< 5	< 10	69	6	14	295	178	
62047	< 5	4.58	7	288	5	0.11	< 5	< 10	43	117	15	71	46	
62220	< 5	1.03	9	268	< 2	0.20	< 5	< 10	68	< 5	8	13	80	
62221	< 5	1.10	14	455	< 2	0.32	< 5	< 10	107	< 5	12	85	121	
62222	< 5	0.82	13	463	< 2	0.31	< 5	< 10	98	< 5	12	61	110	
62223	< 5	0.18	30	442	< 2	0.47	< 5	< 10	278	92	30	75	29	
62224	< 5	0.45	37	382	< 2	0.58	< 5	< 10	365	< 5	35	83	18	
62225	< 5	0.02	11	164	< 2	0.29	< 5	< 10	115	< 5	10	31	99	
62226	< 5	0.11	10	138	< 2	0.35	< 5	< 10	106	< 5	9	63	151	
62227	< 5	0.05	12	87	< 2	0.20	< 5	< 10	74	< 5	9	62	67	
62228	< 5	0.13	22	179	9	0.27	< 5	< 10	128	< 5	17	99	100	
62229	< 5	0.01	6	33	< 2	0.13	< 5	< 10	59	< 5	8	19	20	
62230	< 5	0.02	< 4	30	< 2	0.05	< 5	< 10	21	< 5	2	11	16	
62231	< 5	0.36	8	350	< 2	0.24	< 5	< 10	71	< 5	10	70	84	
62232	< 5	0.05	22	72	< 2	0.31	< 5	< 10	106	< 5	33	115	162	
62233	< 5	0.36	4	200	< 2	0.10	< 5	< 10	32	342	8	19	29	
62234	< 5	0.01	< 4	10	< 2	0.02	< 5	< 10	8	< 5	1	11	8	
62235	< 5	0.18	6	148	< 2	0.17	< 5	< 10	53	9	14	35	82	
62236	< 5	0.03	6	20	< 2	0.16	< 5	< 10	31	< 5	3	39	431	
62237	< 5	0.15	14	223	< 2	0.25	< 5	< 10	57	< 5	8	74	165	
62238	< 5	0.12	15	383	< 2	0.31	< 5	< 10	104	< 5	20	80	138	
62239	< 5	2.67	12	366	< 2	0.29	< 5	< 10	86	< 5	11	277	123	
62240	< 5	0.23	10	248	< 2	0.20	< 5	< 10	55	< 5	48	67	173	
62241	< 5	0.17	16	244	< 2	0.28	< 5	< 10	79	6	30	90	144	
62242	< 5	0.89	27	172	< 2	0.40	< 5	< 10	198	< 5	24	88	31	
62243	< 5	0.71	38	178	< 2	0.31	< 5	< 10	152	< 5	32	96	18	
62244	< 5	1.84	42	189	< 2	0.61	< 5	< 10	271	< 5	41	105	61	
62245	< 5	0.05	18	90	< 2	0.11	< 5	< 10	33	< 5	6	64	16	
62246	< 5	0.01	36	152	4	0.34	< 5	< 10	196	< 5	17	75	25	
62247	< 5	0.74	19	366	3	0.31	< 5	< 10	109	< 5	13	131	140	
62248	< 5	2.56	42	84	< 2	0.43	< 5	< 10	248	< 5	29	488	29	
62249	< 5	0.15	8	332	< 2	0.32	< 5	< 10	63	< 5	16	106	194	
62250	< 5	4.96	19	21	< 2	0.20	< 5	< 10	119	< 5	17	207	26	

QC

Analyte Symbol	Ag	Al	As	Ba	Be	Bi	Ca	Cd	Co	Cr	Cu	Fe	Ga	Hg	K	Mg	Li	Mn	Mo	Na	Ni	P	Pb
Unit Symbol	ppm	%	ppm	ppm	ppm	ppm	%	ppm	ppm	ppm	ppm	%	ppm	ppm	%	%	ppm	ppm	ppm	%	ppm	%	ppm
Lower Limit	0.3	0.01	3	7	1	2	0.01	0.3	1	1	1	0.01	1	1	0.01	0.01	1	1	1	0.01	1	0.001	3
Method Code	TD-ICP	TD-ICP	TD-ICP	TD-ICP	TD-ICP	TD-ICP	TD-ICP	TD-ICP	TD-ICP	TD-ICP	TD-ICP	TD-ICP	TD-ICP	TD-ICP	TD-ICP	TD-ICP	TD-ICP	TD-ICP	TD-ICP	TD-ICP	TD-ICP	TD-ICP	TD-ICP
GXR-1 Meas	31.5	2.11	445	585	< 1	1400	0.82	5.2	10	39	1070	23.4	16	< 1	0.04	0.19	7	909	18	0.04	41	0.057	715
GXR-1 Cert	31.0	3.52	427	750	1.22	1380	0.960	3.30	8.20	12.0	1110	23.6	13.8	3.90	0.050	0.217	8.20	852	18.0	0.0520	41.0	0.0650	730
GXR-4 Meas	3.5	7.16	106	182	2	4	1.04	< 0.3	15	53	6560	3.43	15	< 1	3.53	1.70	11	166	329	0.52	42	0.142	47
GXR-4 Cert	4.0	7.20	98.0	1640	1.90	19.0	1.01	0.860	14.6	64.0	6520	3.09	20.0	0.110	4.01	1.66	11.1	155	310	0.564	42.0	0.120	52.0
SDC-1 Meas		8.56	< 3	630	3		1.05		19	54	28	5.13	20	< 1	2.48	0.98	34	894		1.50	38	0.059	21
SDC-1 Cert		8.34	0.220	630	3.00		1.00		18.0	64.00	30.000	4.82	21.00	0.20	2.72	1.02	34.00	880.00		1.52	38.0	0.0690	25.00
GXR-6 Meas	0.3	15.5	248	> 1000	1	< 2	0.23	< 0.3	12	41	57	5.01	31	< 1	1.89	0.61	37	904	4	0.10	23	0.032	81
GXR-6 Cert	1.30	17.7	330	1300	1.40	0.290	0.180	1.00	13.8	96.0	66.0	5.58	35.0	0.0680	1.87	0.609	32.0	1010	2.40	0.104	27.0	0.0350	101
DNC-1a Meas				80					46	225	83		12				3					225	3
DNC-1a Cert				118					57.0	270	100.00		15				5.20					247	6.3
SBC-1 Meas			14	614	3	3		0.6	22	94	28		23				142		3			82	26
SBC-1 Cert			25.7	788.0	3.20	0.70		0.40	22.7	109	31.0000		27.0				163.0		2.40			82.8	35.0
PTC-1b Meas																							
PTC-1b Cert																							
SdAR-M2 (U.S.G.S.) Meas				> 1000	7	< 2		5.9	14	40	246		15	< 1			18		16			55	843
SdAR-M2 (U.S.G.S.) Cert				990	6.6	1.05		5.1	12.4	49.6	236.0000		17.6	1.44			17.9		13.3			48.8	808
62020 Orig	0.5	1.45	756	19	< 1	< 2	0.51	4.4	59	361	154	8.77	7	< 1	0.16	0.50	11	1900	26	0.08	60	0.010	13
62020 Dup	0.6	1.45	750	19	< 1	< 2	0.51	4.7	60	347	156	8.76	5	< 1	0.16	0.50	11	1910	25	0.08	59	0.010	13
62021 Orig	0.5	1.57	1020	< 7	< 1	< 2	1.91	< 0.3	41	198	171	15.9	10	< 1	0.08	1.59	5	7350	13	0.07	33	0.012	< 3
62021 Dup	0.4	1.54	957	< 7	< 1	< 2	1.88	2.3	39	183	167	15.7	9	< 1	0.08	1.56	5	7220	12	0.07	33	0.012	< 3
62232 Orig	0.4	7.82	< 3	325	2	< 2	1.57	< 0.3	23	151	32	5.10	16	< 1	1.76	1.84	55	911	8	2.05	45	0.033	14
62232 Dup	0.5	7.66	< 3	324	1	< 2	1.54	< 0.3	23	148	33	5.05	14	< 1	1.72	1.82	55	952	10	2.02	43	0.034	11
62234 Orig	< 0.3	0.95	< 3	55	< 1	< 2	0.03	< 0.3	1	487	15	0.70	2	< 1	0.41	0.05	3	69	40	0.33	13	0.002	< 3
62234 Dup	< 0.3	0.84	< 3	50	< 1	< 2	0.02	< 0.3	< 1	523	10	0.63	2	< 1	0.37	0.04	2	59	37	0.30	10	0.002	< 3
62250 Orig	0.6	3.46	< 3	12	< 1	< 2	4.96	2.1	112	1530	336	20.1	13	< 1	0.08	2.62	10	7560	3	0.31	1380	0.016	6
62250 Dup	0.5	3.40	< 3	11	< 1	< 2	4.66	2.1	109	1510	327	19.7	12	< 1	0.08	2.57	10	7460	3	0.30	1350	0.015	< 3
Method Blank	< 0.3	< 0.01	< 3	< 7	< 1	< 2	< 0.01	< 0.3	< 1		< 1	< 0.01	< 1	< 1	< 0.01	< 0.01	< 1		< 1	< 0.01	< 1	< 0.001	< 3
Method Blank	< 0.3	< 0.01	< 3	< 7	< 1	< 2	< 0.01	< 0.3	< 1		< 1	< 0.01	< 1	< 1	< 0.01	< 0.01	< 1		< 1	< 0.01	< 1	< 0.001	< 3
Method Blank	< 0.3	< 0.01	< 3	< 7	< 1	< 2	< 0.01	< 0.3	< 1		1	< 0.01	< 1	< 1	< 0.01	< 0.01	< 1		< 1	< 0.01	< 1	< 0.001	< 3
Method Blank																							

QC

Analyte Symbol	Sb	S	Sc	Sr	Te	Ti	Tl	U	V	W	Y	Zn	Zr	Ni
Unit Symbol	ppm	%	ppm	ppm	ppm	%	ppm	ppm	ppm	ppm	ppm	ppm	ppm	%
Lower Limit	5	0.01	4	1	2	0.01	5	10	2	5	1	1	5	0.003
Method Code	TD-ICP	TD-ICP	TD-ICP	TD-ICP	TD-ICP	TD-ICP	TD-ICP	TD-ICP	TD-ICP	TD-ICP	TD-ICP	TD-ICP	TD-ICP	ICP-OES
GXR-1 Meas	13	0.22	< 4	267	13	0.03	< 5	40	85	161	31	723	16	
GXR-1 Cert	122	0.257	1.58	275	13.0	0.036	0.390	34.9	80.0	164	32.0	760	38.0	
GXR-4 Meas	< 5	1.80	8	216	< 2	0.29	< 5	< 10	95	33	17	79	43	
GXR-4 Cert	4.80	1.77	7.70	221	0.970	0.29	3.20	6.20	87.0	30.8	14.0	73.0	186	
SDC-1 Meas	< 5		17	176		0.23	< 5	< 10	60	< 5		100	38	
SDC-1 Cert	0.54		17.00	180.00		0.606	0.70	3.10	102.00	0.80		103.00	290.00	
GXR-6 Meas	< 5	0.02	25	47	< 2		< 5	< 10	144	< 5	14	111	84	
GXR-6 Cert	3.60	0.0160	27.6	35.0	0.0180		2.20	1.54	186	1.90	14.0	118	110	
DNC-1a Meas	< 5		21	114		0.25			128		13	49	29	
DNC-1a Cert	0.96		31	144.0		0.29			148.00		18.0	70.0	38.000	
SBC-1 Meas	< 5		20	163		0.44	< 5	< 10	207	< 5	35	167	103	

Analyte Symbol	Sb	S	Sc	Sr	Ta	Ti	Tl	U	V	W	Y	Zn	Zr	Ni
Unit Symbol	ppm	%	ppm	ppm	ppm	%	ppm	ppm	ppm	ppm	ppm	ppm	ppm	%
Lower Limit	5	0.01	4	1	2	0.01	5	10	2	5	1	1	5	0.003
Method Code	TD-ICP	TD-ICP	TD-ICP	TD-ICP	TD-ICP	TD-ICP	TD-ICP	TD-ICP	TD-ICP	TD-ICP	TD-ICP	TD-ICP	TD-ICP	ICP-OES
SBC-1 Cert	1.01		20.0	178.0		0.51	0.89	5.76	220.0	1.60	36.5	186.0	134.0	
PTC-1b Meas														10.9
PTC-1b Cert														11.29
SdAR-M2 (U.S.G.S.) Meas			5	152				< 10	29	7	31	808	108	
SdAR-M2 (U.S.G.S.) Cert			4.1	144				2.53	25.2	2.8	32.7	760	259	
62020 Orig	< 5	2.90	5	10	< 2	0.07	< 5	< 10	31	8	4	1060	29	
62020 Dup	< 5	2.90	5	10	< 2	0.07	< 5	< 10	31	9	4	1060	27	
62021 Orig	< 5	3.00	7	7	< 2	0.10	< 5	< 10	63	< 5	6	625	29	
62021 Dup	< 5	2.95	7	7	< 2	0.10	< 5	< 10	63	5	6	609	29	
62232 Orig	< 5	0.05	22	73	< 2	0.30	< 5	< 10	104	< 5	34	115	160	
62232 Dup	< 5	0.05	22	72	< 2	0.32	< 5	< 10	108	< 5	33	115	164	
62234 Orig	< 5	0.01	< 4	11	< 2	0.02	< 5	< 10	9	8	1	13	8	
62234 Dup	< 5	0.01	< 4	10	< 2	0.02	< 5	< 10	8	< 5	1	9	8	
62250 Orig	< 5	5.11	20	21	3	0.19	< 5	< 10	119	< 5	17	212	27	
62250 Dup	< 5	4.81	19	20	< 2	0.20	< 5	< 10	118	< 5	16	202	26	
Method Blank	< 5	< 0.01	< 4	< 1	< 2	< 0.01	< 5	< 10	< 2	< 5	< 1	< 1	< 5	
Method Blank	< 5	< 0.01	< 4	< 1	< 2	< 0.01	< 5	< 10	< 2	< 5	< 1	< 1	< 5	
Method Blank	< 5	< 0.01	< 4	< 1	< 2	< 0.01	< 5	< 10	< 2	< 5	< 1	< 1	< 5	
Method Blank														< 0.003